福島第一原子力発電所 特定原子力施設に係る実施計画

別冊集

本資料は、「福島第一原子力発電所特定原子力施設に係る実施計画の内容を補足するものです。

本資料は、東京電力株式会社またはその他の企業の秘密情報が含まれていることから、 一部マスキングを実施しております。

平成 25 年 4 月 12 日東京電力株式会社

- 別冊1 原子炉圧力容器・格納容器注水設備に係る補足説明
 - I. 原子炉圧力容器・格納容器注水設備の構造強度及び耐震性について
- 別冊2 原子炉格納容器内窒素封入設備に係る補足説明
 - I. 原子炉格納容器内窒素封入設備の構造強度及び耐震性について
- 別冊3 使用済燃料プール設備に係る補足説明
 - I. 使用済燃料プール設備の構造強度及び耐震性について
- 別冊4 原子炉圧力容器・格納容器ホウ酸水注入設備に係る補足説明
 - I. 原子炉圧力容器・格納容器ホウ酸水注入設備の構造強度及び耐震性について
- 別冊5 汚染水処理設備等に係る補足説明
 - I. 汚染水処理設備等の構造強度及び耐震性について
- 別冊6 原子炉格納容器ガス管理設備に係る補足説明
 - I. 原子炉格納容器ガス管理設備の構造強度及び耐震性について
- 別冊7 使用済燃料プールからの燃料取り出し設備に係る補足説明
 - I. 燃料取り出し用カバー換気設備の構造強度及び耐震性について
- 別冊8 使用済燃料乾式キャスク仮保管設備に係る補足説明
 - I. 乾式キャスク仮保管設備の構造強度及び耐震性について
- 別冊9 放射性液体廃棄物処理施設及び関連施設に係る補足説明
 - I. 放射性液体廃棄物処理施設及び関連施設の構造強度及び耐震性について

別冊1

原子炉圧力容器・格納容器注水設備に係る補足説明

I 原子炉圧力容器・格納容器注水設備の構造強度及び耐震性について

1. 新設設備の構造強度および耐震性

1.1 ポンプ

1.1.1 常用高台炉注水ポンプおよび非常用高台炉注水ポンプ

(1) 耐震性

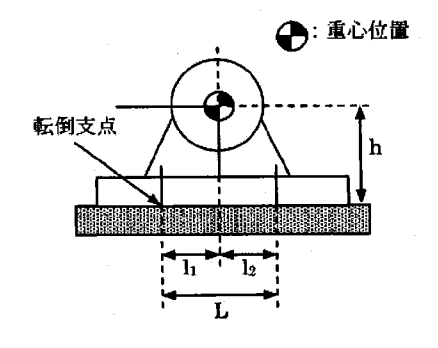
常用高台炉注水ポンプおよび非常用高台炉注水ポンプについては、ポンプユニットを、ダンパを有するトラックに搭載することにより耐震性を向上させるとともに、ボルト等で固定することで、転倒防止策を講じている。これを踏まえ、耐震性の評価として、ボルトの強度が確保されること、およびトラックが転倒しないことの評価を行った。なお、基準地震動 Ss に対する動的解析を行うことが困難であることから、耐震設計審査指針上の耐震 B クラス設備に適用される静的地震力による評価を行った。

a. ボルトの強度評価

原子力発電所耐震設計技術規程(JEAC4601-2008)の横型ポンプの強度評価方法に準拠して評価を行った結果、ボルトの強度が確保されることを確認した。なお、耐震 S クラス設備に適用される静的地震力に対しても、ボルトの強度が確保されることを確認した(表-1 参照)。

表-1 常用および非常用高台炉注水ポンプのボルトの強度評価結果

	耐震 B クラス れる静的地震		耐震Sクラス設備に適用され る静的地震力による評価			
	算出応力 [MPa]	許容応力 算出応力 [MPa] [MPa]		許容応力 [MPa]		
引張応力	作用しない	158	5	190		
せん断応力	3	122	5	146		



- 支点としている基礎ボルトより最大引張応力がかかる mm) 基礎ボルトまでの距離(
- m 機器の運転時質量(
- 重力加速度 (9.80665 m/s²)
- h 据付面から重心までの距離 (mm)
- Mp ポンプ回転により働くモーメント ※基礎ボルトに Mp は作用しない
- 重心と基礎ボルト間の水平方向距離 (mm)
- nf 引張力の作用する基礎ボルトの評価本数()
- 基礎ボルトの本数(■)
- Ab 基礎ボルトの軸断面積(
- CH 水平方向設計震度

√ 耐震 B クラス設備に適用される加速度:0.36(1.8Ci) | 耐震Sクラス設備に適用される加速度:0.72(3.6Ci)|

Cv 鉛直方向設計震度

「耐震 B クラス設備に適用される加速度: − 耐震 S クラス設備に適用される加速度: 0.29C_P ポンプ振動による震度(

ボルトに作用する引張力: $F_b = \frac{1}{I} \{ mg(C_H + C_p)h + M_P - mg(1 - C_V - C_p)l_1 \}$

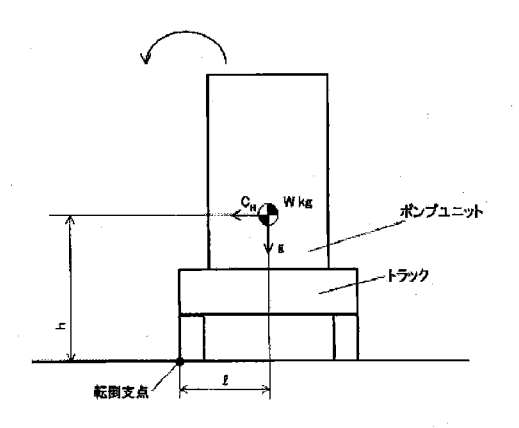
ボルトの引張応力: $\sigma_b = \frac{F_b}{n_b A_b}$

ボルトに作用するせん断力: $Q_b = mg(C_H + C_p)$

ボルトのせん断応力: $\tau b = \frac{Q_b}{n \Delta b}$

b. トラックの転倒評価

ポンプユニット、およびそれを搭載しているトラックについて、地震によ るモーメントと自重によるモーメントを算出し、それらを比較することで転 倒評価を行った。ポンプユニットおよびトラックが転倒するのは、地震によ るモーメント>自重によるモーメントとなる場合であるが、耐震 B クラス設 備に適用される静的地震力による評価の結果、地震によるモーメント<自重 によるモーメントとなることから、ポンプユニットおよびトラックが転倒し ないことを確認した。なお、耐震Sクラス設備に適用される静的地震力に対 しても、トラックが転倒しないことを確認した。



CH 水平方向設計震度

【 耐震 B クラス設備に適用される加速度: 0.36(1.8Ci) 耐震 S クラス設備に適用される加速度: 0.72(3.6Ci)

- W 機器重量
- g 重力加速度
- h 据付面から重心までの距離(
 - 対面から重心までの距離(mm)

■ 転倒評価

地震によるモーメント: $M_1 = W \times g \times C_H \times h$

自重によるモーメント: $M_2=W\times g\times \ell$

 $M_1 - M_2 = (WgC_H h) - (Wg\ell) = Wg(C_H h - \ell)$

 $C_H = 0.36$ の場合: $(C_H h - \ell) = -$

 $C_H = 0.72$ の場合: $(C_H h - \ell) = -$

1.1.2 純水タンク脇炉注水ポンプ

(1) 耐震性

純水タンク脇炉注水ポンプは、常用高台炉注水ポンプと同様の構造(ポンプユニットをトラックに搭載し、ボルト等で固定)であることから、耐震性についても同様に評価を行った。なお、基準地震動 Ss に対する動的解析を行うことが困難であることから、耐震設計審査指針上の耐震 B クラス設備に適用される静的地震力による評価を行った。

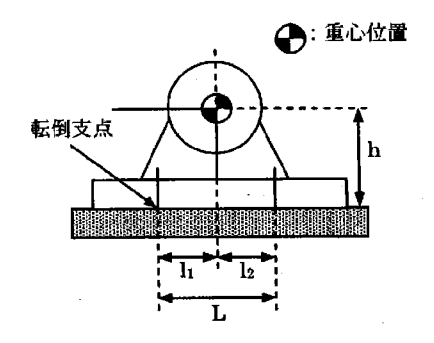
a. ボルトの強度評価

常用高台炉注水ポンプと同様の手法でボルトの評価を行った結果、ボルトの強度が確保されることを確認した。なお、耐震 S クラス設備に適用される静的地震力に対しても、ボルトの強度が確保されることを確認した(表-2 参照)。

表-2 純水タンク脇炉注水ポンプのボルトの強度評価結果

耐震 B クラス	設備に適用さ	耐震Sクラス設備に適用され				
れる静的地震	力による評価	る静的地震力による評価				
算出応力	許容応力	算出応力	許容応力			
[MPa]	[MPa]	[MPa]	[MPa]			

引張応力	作用しない	158	6	190
せん断応力	3	122	5	146



- L 支点としている基礎ボルトより最大引張応力が かかる基礎ボルトまでの距離 (mm)
- m 機器の運転時質量(kg)
- 重力加速度(9.80665 m/s²)
- h 据付面から重心までの距離 (mm
- \mathbf{M}_{P} ポンプ回転により働くモーメント
 - ※基礎ボルトに Mr は作用しない
- lı 重心と基礎ボルト間の水平方向距離 (mm
- nf 引張力の作用する基礎ボルトの評価本数()
- n 基礎ボルトの本数(**B**)
- Ab 基礎ボルトの軸断面積 (mm²)
- CH 水平方向設計震度

【耐震 B クラス設備に適用される加速度: 0.36(1.8Ci) 耐震 S クラス設備に適用される加速度: 0.72(3.6Ci)

CV 鉛直方向設計震度

耐震 B クラス設備に適用される加速度: −
 耐震 S クラス設備に適用される加速度: 0.29

C_P ポンプ振動による震度(

ボルトに作用する引張力: $F_b = \frac{1}{L} \{ mg(C_H + C_p)h + M_P - mg(1 - C_V - C_p)l_1 \}$

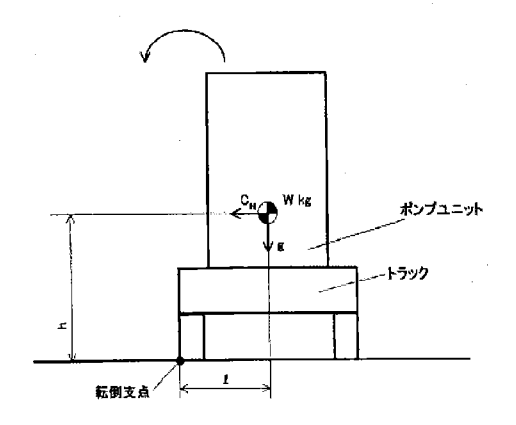
ボルトの引張応力: $\sigma_b = \frac{F_b}{n_f A_b}$

ボルトに作用するせん断力: $Q_b = mg(C_H + C_p)$

ボルトのせん断応力: $tb = \frac{Q_b}{nA_b}$

b. トラックの転倒評価

常用高台炉注水ポンプと同様に、耐震 B クラス設備に適用される静的地震力による評価を行った結果、地震によるモーメント<自重によるモーメントとなることから、純水タンク脇ポンプのポンプユニットおよびトラックが転倒しないことを確認した。



CH 水平方向設計震度

【耐震 B クラス設備に適用される加速度: 0.36 (1.8Ci)】 【耐震 S クラス設備に適用される加速度: 0.72 (3.6Ci)】

- W 機器重量
- g 重力加速度
- h 据付面から重心までの距離 (mm)
- ℚ 転倒支点から機器重心までの距離 (mm)

■ 転倒評価

地震によるモーメント: $M_1 = W \times g \times C_H \times h$

自重によるモーメント: $M_2 = W \times g \times \ell$

 $M_1 - M_2 = (WgC_H h) - (Wg\ell) = Wg(C_H h - \ell)$

 $C_H = 0.360$ 場合: $(C_H h - \ell) = -$

 $C_H = 0.72$ 少場合: $(C_H h - \ell) =$

1.1.3 タービン建屋内炉注水ポンプ

(1) 耐震性

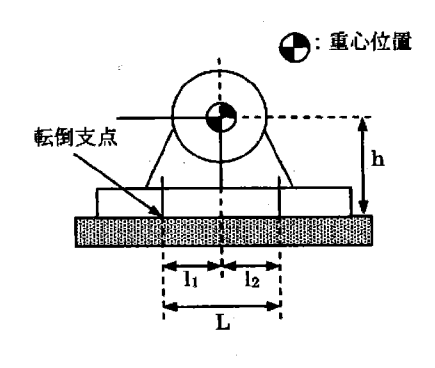
タービン建屋内炉注水ポンプは、基礎ボルトによりタービン建屋 1 階の床面に固定されていることを踏まえ、耐震性の評価として、ボルトの強度が確保されることの評価を行った。なお、基準地震動 Ss に対する動的解析を行うことが困難であることから、耐震設計審査指針上の耐震 B クラス設備に適用される静的地震力による評価を行った。

a. ボルトの強度評価

常用高台炉注水ポンプと同様の手法でボルトの評価を行った結果、ボルトの強度が確保されることを確認した。なお、耐震 S クラス設備に適用される静的地震力に対しても、ボルトの強度が確保されることを確認した(表-3 参照)。

表-3 タービン建屋内炉注水ポンプのボルトの強度評価結果

	 	耐震 B クラス れる静的地震	設備に適用さ 力による評価	耐震Sクラス設備に適用される静的地震力による評価			
クが	<i> </i>	第出応力 許容応力 [MPa] [MPa]		算出応力 [MPa]	許容応力 [MPa]		
1F-1	引張応力	作用しない	158	2	190		
115-1	せん断応力	2,	122	3	146		
1F-2/3	引張応力	作用しない	180	3	207		
11-2/3	せん断応力	3	139	4	159		



- 支点としている基礎ボルトより最大引張応力がかかる 基礎ボルトまでの距離 (1 号機 mm、2/3 号機
- 機器の運転時質量(1号機 kg、2/3号機
- 重力加速度(9.80665 m/s²)
- 据付面から重心までの距離(1号機 mm、2/3号機 mm)
- M_P ポンプ回転により働くモーメント ※基礎ボルトに MP は作用しない
- 重心と基礎ボルト間の水平方向距離(1号機 2/3 号機 mm)
- 引張力の作用する基礎ボルトの評価本数(1号機■本、 2/3 号機 本)
- 基礎ボルトの本数 (1/2/3 号機 本)
- Ab 基礎ボルトの軸断面積(1/2/3号機
- CH 水平方向設計震度

【耐震 B クラス設備に適用される加速度: 0.36 (1.8Ci) 耐震 S クラス設備に適用される加速度: 0.72 (3.6Ci)

Cv 鉛直方向設計震度

【耐震 B クラス設備に適用される加速度: - 耐震 S クラス設備に適用さ<u>れる</u>加速度: 0.29

C_P ポンプ振動による震度(

ボルトに作用する引張力: $F_b = \frac{1}{L} \{ mg(C_H + C_p)h + M_P - mg(1 - C_V - C_p)l_1 \}$

ボルトの引張応力: $\sigma_b = \frac{F_b}{n_f A_b}$

ボルトに作用するせん断力: $Q_b = mg(C_H + C_p)$

ボルトのせん断応力: $\tau b = \frac{Q_b}{nA_b}$

1.1.4 CST 炉注水ポンプ

(1) 耐震性

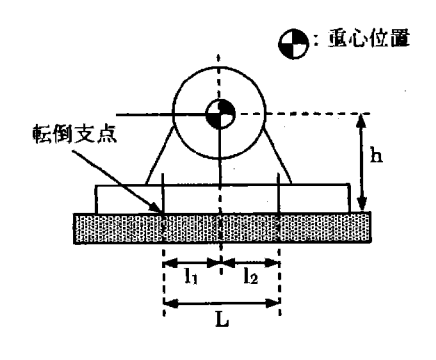
CST 炉注水ポンプは、基礎ボルトによりタービン建屋 1 階の床面に固定されていることを踏まえ、耐震性の評価として、ボルトの強度が確保されることの評価を行う。なお、耐震 S クラス相当の設備に求められる解析評価を行うことが困難であることから、耐震設計審査指針上の耐震 B クラス設備に適用される静的地震力による評価を行う。

a. ボルトの強度評価

常用高台炉注水ポンプと同様の手法でボルトの評価を行った結果、ボルトの強度が確保されることを確認した。なお、耐震 S クラス設備に適用される静的地震力に対しても、ボルトの強度が確保されることを確認した。(表-4 参照)。

表-4 CST炉注水ポンプのボルトの強度評価結果

号機	応力分類		設備に適用さ 力による評価	耐震 S クラス設備に適用さ れる静的地震力による評価			
万亿效	心刀刀類	算出応力 [MPa]	許容応力 [MPa]	算出応力 [MPa]	許容応力 [MPa]		
1F-	引張応力	作用しない	180	2	207		
1/2/3	せん断応力	3	139	4	159		



- L 支点としている基礎ボルトより最大引張応力がかかる 基礎ボルトまでの距離 (1/2/3 号機 mm)
- m 機器の運転時質量(1/2/3 号機 kg)
- g 重力加速度 (9.80665 m/s²)
- h 据付面から重心までの距離(1/2/3 号機 mm
- Mp ポンプ回転により働くモーメント ※基礎ボルトに Mp は作用しない
- l₁ 重心と基礎ボルト間の水平方向距離 (1/2/3 号機 mm)
- n_f 引張力の作用する基礎ボルトの評価本数 (1/2/3 号機 本)
- n 基礎ボルトの本数 (1/2/3 号機 本)
- Ab 基礎ボルトの軸断面積 (1/2/3 号機 mm²)
- CH 水平方向設計震度

| 耐震 B クラス設備に適用される加速度: 0.36 (1.8Ci) | 耐震 S クラス設備に適用される加速度: 0.72 (3.6Ci) |

Cv 鉛直方向設計震度

| 耐震 B クラス設備に適用される加速度: - 耐震 S クラス設備に適用される加速度: 0.29

C_P ポンプ振動による震度(

ボルトに作用する引張力: $F_b = \frac{1}{L} \{ mg(C_H + C_p)h + M_P - mg(1 - C_V - C_p)l_1 \}$

ボルトの引張応力: σ_b = $\frac{F_b}{n_f A_b}$

ボルトに作用するせん断力: $Q_b = mg(C_H + C_p)$

ボルトのせん断応力: $\tau b = \frac{Q_b}{nA_b}$

1.2 タンクの構造強度および耐震性

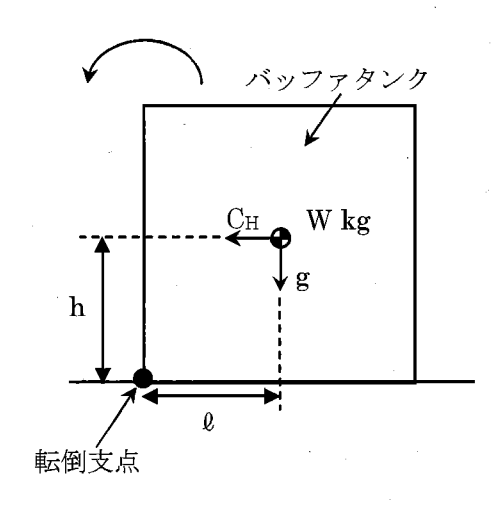
1.2.1 処理水バッファタンク

(1) 耐震性

処理水バッファタンクは、事務本館脇海側駐車場に設置されており、ボルトによる固定はされていないことを踏まえ、耐震性の評価として、タンクが転倒しないことの評価を行った。なお、基準地震動 Ss に対する動的解析を行うことが困難であることから、静的地震力を用いて、耐震設計審査指針上の耐震 Bクラス相当の評価を行った。

a. 処理水バッファタンクの転倒評価

タンクについて、地震によるモーメントと自重によるモーメントを算出し、 それらを比較することで転倒評価を行った。タンクが転倒するのは、地震に よるモーメント>自重によるモーメントの場合であるが、評価の結果、地震 によるモーメント<自重によるモーメントであり、タンクが転倒しないこと を確認した。



Cu 水平方向設計雲度

| 耐震 B クラス設備に適用される加速度: 0.36 (1.8Ci) | 耐震 S クラス設備に適用される加速度: 0.72 (3.6Ci)

W 機器重量

g 重力加速度

h 据付面から重心までの距離 (mm)

ℚ 転倒支点から機器重心までの距離(mm

■ 転倒評価

地震によるモーメント: $M_1 = W \times g \times C_H \times h$

自重によるモーメント: $M_2=W\times g\times \ell$

$$M_1 - M_2 = (WgC_H h) - (Wg\ell) = Wg(C_H h - \ell)$$

 $C_H = 0.36$ の場合: $(C_H h - \ell) = -$

 $C_H = 0.72$ の場合: $(C_H h - \ell) = -$

1.3 管の構造強度及び耐震性

1.3.1 鋼管

(1) 構造強度

鋼管については、「設計・建設規格」に基づき、最高使用圧力に対して十分な厚さを有していることを確認しており、原子炉注水系における使用条件に対し、十分な構造強度を有していると評価している(表-4参照)。

表-4 原子炉注水系における鋼管の構造強度評価結果*1

	材料	外径 : D0 [mm]	最高 使用 圧力 : P [MPa]	許容引張 応力 : S [MPa]	公称 肉厚 [mm]	管の計算上 必要な 厚さ:t [mm]	炭素鋼 鋼管の必要 最小厚さ ^{*2} [mm]
【1~3 号機高台 炉注水ライン】	SUS304TP	60.5	1.4	128	3.5	0.33	-
	SUS304TP	76.3	1.4	128	3.5	0.42	
ポンプユニット	SUS304TP	89.1	1.4	128	4.0	0.49	-
【1~3 号機高台 炉注水ライン】	SUS304TP	60.5	0.98	128	3.9	0.24	_
が在外ノイン	SUS304TP	89.1	0.98	128	5.5	0.35	_ '
	SUS304TP	165.2	0.98	128	7.1	0.64	_
	STPT370	89.1	0.98	93	5.5	0.47	3.0
	STPT370	60.5	0.98	93	5.5	0.32	2.4
	STPT410	318.5	0.98	103	10.3	1,51	3.8
	STPG370	60.5	0.98	93	3.9	0.32	2.4
	STPG370	76.3	0.98	93	5.2	0.41	2.7
	STPG370	89.1	0.98	93	5.5	0.47	3.0
	STPG370	60.5	0.98	93	5.5	0.32	2.4
【1~3 号機純水 タンク脇炉注水ラ	SUS304TP	60.5	1.4	128	3.5	0.33	
イン】	SUS304TP	76.3	1.4	128	3.5	0.42	_
ポンプユニット	SUS304TP	89.1	1.4	128	5.5	0.49	_
【1~3 号機純水 タンク脇炉注水ラ	SGP	165.2	0.98	74	5.0	1.09	3.8
イン】	SGP	216.3	0.98	74	5.8	1.43	3.8
【1~3 号機ター ビン建屋内炉注水	STPT370	76.3	1.4	93	5.2	0.41	2.7
ライン】	STPT370	60.5	1.4	93	5.5	0.32	2.4
ポンプユニット	SUS304TP	60.5	1.4	128	5.5	0.33	_
【1~3 号機ター ビン建屋内炉注水	STPT370	76.3	0.98	93	5.2	0.41	2.7
ライン】	STPT370	89.1	0.98	93	5.5	0.47	3.0
	STPT370	114.3	0.98	93	6.0	0.6	3,4
	STPT370	165.2	0.98	93	7.1	0.87	3.8

	STPT370	60.5	0.98	93	8.7	0.32	2.4
	STPG370	89.1	0.98	93	5.5	0.47	3.0
	STPG370	165.2	0.98	93	7.1	0.87	3.8
	STPG370	318.5	0.98	93	10.3	1.68	3.8
	STPG370	60.5	0.98	93	5.5	0.32	2.4
【1~3 号機 CST 炉注水ライン】	STPT410	34.0	0.96	103	4.5	0.16	1.7
	STPT410	60.5	0.96	103	5.5	0.29	2.4
ポンプユニット	STPT410	89.1	0.96	103	- 5.5	0.42	3.0
【1~3 号機 CST	STPT410	60.5	0.96	103	5.5	0.29	2.4
炉注水ライン】	STPT410	76.3	0.96	103	5.2	0.36	2.7
	STPT410	89.1	0.96	103	5.5	0.42	3.0
	STPT410	114.3	0.96	103	6.0	0.54	3.4
·	STPT410	165.2	0.96	103	7.1	0.77	3.8

※1 長手継手の効率 η は全で 1※2 表-5 に定める値

■ 内圧を受ける直管

最高使用圧力に対する直管の厚さは、(式 1-1) により計算した値および表-5 に定め る値のいずれか大きい方の値以上でなければならない。

$$t = \frac{PD_0}{2S\eta + 0.8P} \qquad (\not \stackrel{\sim}{\precsim} 1-1)$$

t:管の計算上必要な厚さ (mm)

P:最高使用圧力 (MPa)

D₀: 管の外径 (mm)

S: 最高使用温度における「設計・建設規格 付 録材料図 表 Part5 表 5」に規定する材料 の許容引張応力 (MPa)

η:長手継手の効率で、「設計・建設規格 PVC-3130」に定めるところによる。

表-5 炭素鋼鋼管の必要最小厚さ

管の外径 (mm)	管の厚さ (mm)
25 未満	1.4
25 以上 38 未満	1.7
38 以上 45 未満	1.9
45 以上 57 未満	2.2
57 以上 64 未満	2.4
64 以上 82 未満	2.7
82 以上 101 未満	3.0
101 以上 127 未満	3.4
127以上	3.8

別冊2

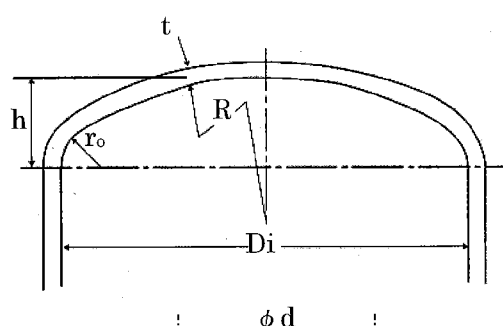
原子炉格納容器内窒素封入設備に係る補足説明

原子炉格納容器内窒素封入設備の構造強度及び耐震性について

窒素ガス分離装置の構造強度及び耐震性

(1) 構造強度

窒素ガス分離装置(A),(B),(C)及び非常用窒素ガス分離装置に用いる容器の一 部については、圧力容器構造規格の第二種圧力容器構造規格を適用しており、JISB8265 (圧力容器の構造-一般事項)の規格計算を行い、必要板厚を満足することを確認する。



t :必要計算厚さ (mm)

P:設計圧力(MPa) Di : 胴の内径 (mm)

σa: 設計温度における材料の許容引張応力 (N/mm²)

n :溶接継手効率 α : 腐れ代 (mm)

M:皿形鏡板の形状による係数

R:皿形鏡板の中央の球形部の内半径 (mm) r。: 皿形鏡板のすみの丸みの内半径 (mm) D: 半だ円形鏡板のだ円の内長径 (mm)

2h: 半だ円形鏡板のだ円の内短径 (mm) K : 半だ円形鏡板の形状による係数

d: 円形平ふた板のボルト中心円の直径 (mm)

 $t = \frac{PDi}{2\sigma_a \eta - 1.2P} + \alpha \quad P \le 0.385\sigma_a \eta$ の場合 円筒胴の計算厚さ(内径基準)

 $t = \frac{PRM}{2\sigma_{\alpha}\eta - 0.2P} + \alpha$ 皿形鏡板の計算厚さ(内径基準)

 $M = \frac{1}{4} \left(3 + \sqrt{\frac{R}{r_0}} \right)$ 皿形鏡板の形状による係数

 $t = \frac{PDK}{2\sigma_{\alpha}\eta - 0.2P} + \alpha$ 半だ円形鏡板の計算厚さ(内径基準):

 $K = \frac{1}{6} \left(2 + \left(\frac{D}{2h} \right)^2 \right)$ 半だ円形鏡板の形状による係数

: $t = d\sqrt{\frac{0.25P}{\sigma}}$ 円形平ふた板の計算厚さ

必要板厚計算に用いるパラメータは下表の通り。

設備名	, I	部位	Р	D_{i}	. σ _a	η	α
窒素ガス	吸着槽						-
分離装置(A)	製品槽						
窒素ガス	吸着槽						
分離装置(B)	製品槽						
	活性炭槽	٠					
窒素ガス	空気槽	胴板					
分離装置(C)	吸着槽						
	製品槽						
非常用	活性炭槽						
窒素ガス	吸着槽						
分離装置	製品槽						

設備名	, 1	部位	P	R	σa	η	α	r _o
窒素ガス 分離装置(A)	吸着槽 製品槽							
窒素ガス 分離装置(B)	吸着槽 製品槽	■形鏡板						
非常用窒素ガス	活性炭槽							
・	製品槽							

設備名		部位	P	D	σa	η	α	2h
窒素ガス 分離装置(A)	吸着槽							
窒素ガス 分離装置(B)	吸着槽							
窒素ガス 分離装置(C)	活性炭槽 空気槽 吸着槽	 半だ円形 鏡板						
非常用 窒素ガス 分離装置	製品槽 吸着槽							

設備名	*	部位	Р	σa	η	d
窒素ガス 分離装置(A)	吸着槽	e				
窒素ガス 分離装置(B)	吸着槽	円形 平ふた板				
窒素ガス 分離装置(C)	活性炭槽 吸着槽					

表一1に板厚計算の結果を示す。当該機器は必要板厚を満足しており、原子炉格納容 器内窒素封入設備の最高使用圧力に十分耐えうる構造強度を有していることを確認した。

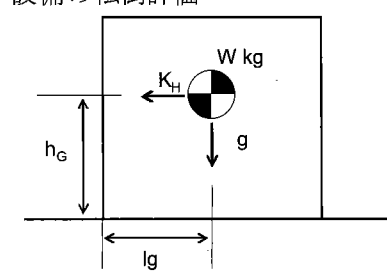
表一1 第二種圧力容器 板厚計算結果

設備	名	部位	必要板厚 (mm)	使用板厚(mm)
		胴板	5. 56	9
<i>m</i> ≠ 2 ~	四. 芝排	皿形鏡板	5. 86	9
窒素ガス	│ 吸着槽 ├	半楕円形鏡板	4. 17	12
分離装置		平ふた板	21. 93	26
(A)	集川口 長 井	胴板	5. 21	6
	製品槽	皿形鏡板	5. 49	6
		胴板	4. 86	6
かまぶっ	加杂排	皿形鏡板	5. 11	6
窒素ガス	吸着槽	半楕円形鏡板	3. 69	9
分離装置 (B)		平ふた板	21.93	26
(D)	集 日 	胴板	4. 86	6
	製品槽	皿形鏡板	5. 11	6
	活性炭槽	胴板	3. 51	4.5
		半楕円形鏡板	2.75	4.5
		平ふた板	11.94	22
佐主ゴッ	か /=	胴板	4. 23	4. 5
窒素ガス 分離装置	空気槽	半楕円形鏡板	3. 24	4. 5
分離装直 (C)		胴板	4. 23	4.5
(0)	吸着槽	半楕円形鏡板	3. 24	4. 5
	,	平ふた板	17.67	24
	製品槽	胴板	4. 23	4. 5
	袋帕帽	半楕円形鏡板	3. 24	4. 5
	活性炭	胴板	4.07	6
北岸田	槽	皿形鏡板	4. 27	5
非常用	瓜美埔	胴板	4. 39	6
窒素ガス	吸着槽 	半楕円形鏡板	4. 19	5
分離装置	集川口 北 郡	胴板	3.77	6
	製品槽	皿形鏡板	3.94	5

(2) 耐震性

窒素ガス分離装置(A),(B),(C)及び非常用窒素ガス分離装置については,「建築設備耐震設計・施工指針(2005年版)」を参考とし,静的地震力を用いて,耐震設計審査指針上の耐震Cクラス相当の地震力(1.2Ci = 0.24)にて設備が転倒しないことの評価を行う。

・設備の転倒評価



KH 水平方向設計震度

W 機器重量

g 重力加速度

hg 据付面から重心までの距離

Qg 転倒支点から機器重心までの距離

地震によるモーメント: $M_1 = W \times g \times K_H \times h_G$

自重によるモーメント: $M_2 = W \times g \times \ell_g$

転倒評価に用いるパラメータは下表の通り。

	K _H	g	W	h _G	l g
窒素ガス分離装置(A)					
窒素ガス分離装置(B)	0. 24	9.80665			
窒素ガス分離装置(C)	0.24	9.00000			
非常用窒素ガス分離装置					

表―2に転倒評価の結果を示す。当該機器は地震力に対して転倒せず、必要な耐震性を有していることを確認した。

表一2 窒素ガス分離装置 転倒評価結果(耐震 C クラス相当の静的震度)

設備名称	地震によるモーメント	自重によるモーメント M 「N …]	評価
	$M_1 [N \cdot m]$	$\mathbf{M}_2 \ [\mathbf{N} \cdot \mathbf{m}]$	
窒素ガス分離装置(A)	4920	14023	転倒しない
窒素ガス分離装置(B)	3602	9169	転倒しない
窒素ガス分離装置 (C)	7259	15877	転倒しない
非常用窒素ガス分離装置	24172	85219	転倒しない

なお,非常用窒素ガス分離装置については耐震Sクラス相当の静的震度(3.6Ci = 0.72)での評価も行い,転倒しないことを確認した。表─3に転倒評価の結果を示す。

表一3 非常用窒素ガス分離装置 転倒評価結果(耐震Sクラス相当の静的震度)

設備名称	地震によるモーメント M ₁ [N·m]	自重によるモーメント M ₂ [N·m]	評価
非常用窒素ガス分離装置	72515	85219	転倒しない

2. ゴムホース

(1) 構造強度

ゴムホースは設計・建設規格に記載がない材料であるが、通常運転状態における漏えい確認試験を行い、有意な変形や漏えいがないことを確認していることから、必要な構造強度を有しているものと判断する。

(2) 耐震性

ゴムホースは、フレキシビリティを有しており、地震変位による有意な応力は発生しないと考えられる。

3. 既設設備の耐震性

原子炉圧力容器及び原子炉格納容器への窒素の封入ライン(既設配管)の耐震性は以下の表-3の通り。

原子炉格納容器 原子炉圧力容器 原子炉圧力容器頂部冷却系 不活性ガス系 1 号機 (耐震Cクラス) (耐震Sクラス) 原子炉圧力容器水位計装ライン 可燃性ガス濃度制御系 2号機 (耐震Sクラス) (耐震Sクラス) 原子炉圧力容器水位計装ライン 原子炉格納容器漏えい率検査用予備ライン 3号機 (耐震Sクラス) (耐震Sクラス)

表-3 窒素封入ライン (既設配管) の耐震性

2/3号機については、原子炉圧力容器及び原子炉格納容器とも耐震Sクラス配管より窒素が供給されており、耐震上問題はない。

1号機については原子炉格納容器への窒素の封入は耐震Cクラス設備である不活性ガス系より行われているため、大きな地震が発生した場合、既設配管の影響が懸念される。 しかし、原子炉圧力容器への窒素封入ラインが耐震Sクラスであることから、原子炉圧 力容器へ封入した窒素が原子炉格納容器側に流入し窒素で満たされるため問題はない。 これらの既設封入ラインは東北地方太平洋沖地震でも健全性が維持されていたものであ ることから、実力的にSクラス相当の耐震性を有しているものと考えられる。

なお、既設設備の強度、耐震性等については以下の工事計画認可申請書等による。

· 1号機 原子炉圧力容器頂部冷却系 建設時第7回工事計画認可申請書(43公第13412号 昭和44年4月7日認可) 建設時第4回工事計画軽微変更届出書(総官第503号 昭和45年7月2日届出) 工事計画認可申請書(53資庁第10621号 昭和53年9月25日認可)

工事計画認可申請書(平成 20·08·26 原第 10 号 平成 20 年 9 月 10 日認可)

- 2号機 原子炉圧力容器水位計装ライン
 建設時第14回工事計画認可申請書(46公第11145号 昭和46年8月17日認可)
 建設時第3回工事計画軽微変更届出書(総官第685号 昭和47年9月28日届出)
 工事計画認可申請書(53資庁第13643号 昭和54年1月5日認可)
- 3号機 原子炉圧力容器水位計装ライン
 建設時第11回工事計画認可申請書(47公第8267号 昭和47年9月28日認可)
 建設時第26回工事計画軽微変更届出書(総官第459号 昭和49年7月11日届出)

使用済燃料プール設備に係る補足説明

BBC WELLSHAMEREL VERY

on the grade of the second of the second

and a white or a weight contain the containing of the first of the fir

The second of th

I 使用済燃料プール設備の構造強度及び耐震性について

1. ポンプ

1.1 1号機二次系ポンプ

(1) 耐震性

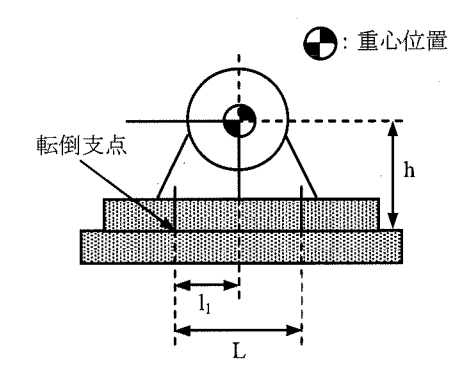
1号機二次系ポンプについては、サージタンクや配管、弁等と共にトレーラ上に搭載し、トレーラ含めてユニット化(以下、二次系ユニット)することで耐震性を向上させるとともに、ボルト等で固定することで転倒防止策を講じている。また、二次系ユニットについては、1号機原子炉建屋脇の屋外に設置し、敷鉄板と溶接等行い転倒防止策を講じている。これを踏まえ、耐震性の評価として、ボルトの強度が確保されること及び二次系ユニットが転倒しないことの評価を行った。なお、評価においては水平方向震度を耐震 B クラス相当の評価である 0.36G とし、耐震設計審査指針上の耐震 B クラス相当の評価を行った。

a. ボルトの強度評価

原子力発電所耐震設計技術規程(JEAC4601-2008)の横型ポンプの強度評価方法に 準拠して評価を行った。また、ボルトの許容応力については、供用状態 Cs におけ る許容応力を適用し、ボルトの評価温度は100℃とみなして、許容応力を求めた。 評価結果を以下に示す。算出応力は全て許容応力以下となっている。

(i) 評価方法及び条件

適用基準:原子力発電所耐震設計技術規定「JEAC4601 (2008)」 横形ポンプの強度評価方法に準拠して計算を行う。



・評価部位:基礎ボルト

・考慮する荷重:地震荷重/ポンプ振動による荷重

・計算に用いる数式

引張力
$$F_b = \frac{1}{L} \{ mg(C_H + C_P)h + M_P - mg(1 - C_V - C_P)l_1 \}$$

引張応力
$$\sigma_b = \frac{F_b}{n_f A_b}$$

せん断力
$$Q_b = mg(C_H + C_P)$$

せん断応力
$$au_b = \frac{Q_b}{nA_b}$$

- L 支点としている基礎ボルトより最大引張応力がかかる 基礎ボルトまでの距離
- m 機器の運転時質量
- g 重力加速度(=9.80665)
- h 据付面から重心までの距離
- M_P ポンプ回転により働くモーメント ※基礎ボルトに M_P は作用しない
- 1 重心と基礎ボルト間の水平方向距離
- nf 引張力の作用する基礎ボルトの評価本数
- n 基礎ボルトの本数
- A_b 基礎ボルトの軸断面積
- CH 水平方向設計震度
- Cv 鉛直方向設計震度 (=0)
- Cpポンプ振動による震度
- ・許容応力: 供用状態 Cs における許容応力を適用し、以下の式で設定基礎ボルトの許容引張応力 : $1.5f_t = \min(f_{to}, f_{ts})$ 基礎ボルトの許容せん断応力: $1.5f_s = F/\sqrt{3}$ ここで、Fは日本機械学会 設計・建設規格 JSME S NC1-2005 付属図表 Part 5 表 8 及び表 9 より、以下となる。

F = min (Sy, 0.7Su)

Sy:表8より 100℃:194MPa

Su:表9より 100℃:373MPa

従って、

 $F = min (Sy, 0.7Su) = min (194, 0.7 \times 373) = 194 MPa$

基礎ボルトの許容引張応力: 1.5f_t = min(f_{to}, f_{ts}) = (145,199) = 145 MPa

$$f_{to} = F/2*1.5 = 145.5$$
MPa $\rightarrow 145$ MPa
$$f_{ts} = 1.4 \times f_{to} - 1.6 \times \tau_b = 1.4 \times 145 - 1.6 \times 2 = 199.8$$
MPa
$$\rightarrow 199$$
MPa 基礎ボルトの許容せん断応力: $1.5f_s = F/\sqrt{3} = 112.0$ MPa

・設計震度:水平方向のみを考慮 C_H=0.36

(ii)機器要目

L	m	g	h	l_1
[mm]	[kg]	9.80665	[mm]	[mm]

n_{f}	n	A_b	C_{H}	$C_{\mathtt{P}}$
		[mm ²]	0.36	

S_y	$\mathbf{S_u}$	F
194*[MPa]	373*[MPa]	194[MPa]
(40mm<径≦100mm)	(40mm<径≦100mm)	

*保守的な評価となるように'40mm<径≦100mm'の値を使用。

(ⅲ) 評価結果

	算出応力	許容応力
引張	作用しない	145[MPa]
せん断	2[MPa]	112[MPa]

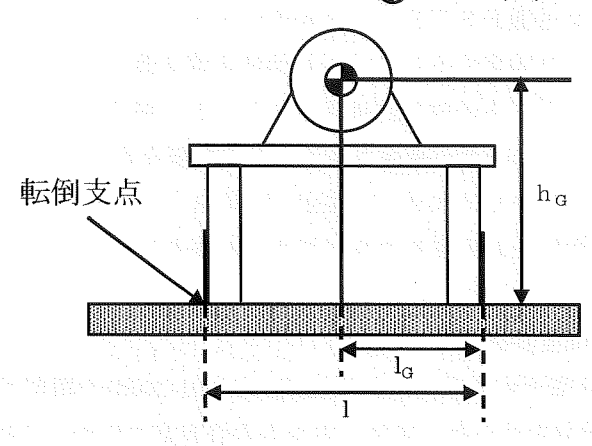
※ 浮き上がりが生じないため引張応力は評価不要

b. 二次系ユニットの転倒評価

「建築設備耐震設計・施工指針(2005年版)」を準用し、敷鉄板との溶接を考慮しない状態で、二次系ユニットに発生する垂直力により転倒評価を行った。

発生する垂直力は以下の計算式で算出することができる。

→: 重心位置



$$R_{b} = \frac{F_{H} \cdot h_{G} - (W - F_{V}) \cdot l_{G}}{l \cdot n_{t}}$$

$$= \frac{\{0.36 \times 10^{-4} \times 10^{-4} - 0) \times 10^{-4} \times 9.80665}{10^{-4} \times 10^{-4} \times 10^{-4}$$

ここに、 F_H : 設計水平地震力 $(K_H \cdot W) = 0.36 \times$ [kg]

K_H:設計用水平震度 =0.36

W :機器重量 = [kg]

h_G:据付面より機器重心までの高さ = [mm]

F_v:設計用鉛直地震力 =0

Q_G :検討する方向からみた評価点から機器重心までの距離 = [mm]

0 :検討する方向から見た評価点スパン =

n _t :機器転倒を考えた場合の引張を受ける評価点の数 =

転倒評価結果

設備名称	発生する垂直力[N]	評価
1号機二次系ユニット	-1938	転倒しない

1.2 2 号機一次系ポンプ

(1) 耐震性

2号機一次系ポンプについては、熱交換器、弁等と共にトレーラ上に搭載し、トレーラ含めてユニット化(以下、熱交換器ユニット)することで耐震性を向上させるとともに、ボルト等で固定することで転倒防止策を講じている。また、熱交換器ユニットについては2号機FSTR(フィルター・スラッジタンクルーム)建屋の床面にアンカボルトにより固定することで、転倒防止策を講じている。これを踏まえ、耐震性の評価として、ボルトの強度が確保されること、熱交換器ユニットが転倒しないこと及びアンカボルトの強度が確保されることの評価を行った。

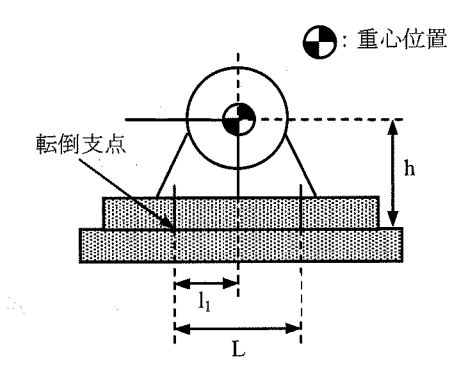
なお、評価においては水平方向震度を耐震 B クラス相当の評価である 0.36G とし、耐震設計審査指針上の耐震 B クラス相当の評価を行った。

a. ボルトの強度評価

原子力発電所耐震設計技術規程(JEAC4601-2008)の横型ポンプの強度評価方法に 準拠して評価を行った。また、ボルトの許容応力については、供用状態 Cs におけ る許容応力を適用し、ボルトの評価温度は100℃とみなして、許容応力を求めた。 評価結果を以下に示す。算出応力は全て許容応力以下となっている。

(i) 評価方法及び条件

適用基準:原子力発電所耐震設計技術規定「JEAC4601 (2008)」 横形ポンプの強度評価方法に準拠して計算を行う。



・評価部位:基礎ボルト

・考慮する荷重:地震荷重/ポンプ振動による荷重

・計算に用いる数式

引張力
$$F_b = \frac{1}{L} \{ mg(C_H + C_P)h + M_P - mg(1 - C_V - C_P)l_1 \}$$

引張応力 $\sigma_b = \frac{F_b}{n_f A_b}$

せん断力 $Q_b = mg(C_H + C_P)$

せん断応力 $au_b = \frac{Q_b}{nA_b}$

- L 支点としている基礎ボルトより最大引張応力がかかる 基礎ボルトまでの距離
- m 機器の運転時質量
- g 重力加速度(=9.80665)
- h 据付面から重心までの距離
- M_P ポンプ回転により働くモーメント ※基礎ボルトに M_P は作用しない
- 11 重心と基礎ボルト間の水平方向距離
- n_f 引張力の作用する基礎ボルトの評価本数
- n 基礎ボルトの本数
- A_b 基礎ボルトの軸断面積
- C_H 水平方向設計震度
- Cv 鉛直方向設計震度 (=0)
- C_P ポンプ振動による震度
- ・許容応力: 供用状態 Cs における許容応力を適用し、以下の式で設定基礎ボルトの許容引張応力 : $1.5f_t = \min(f_{to}, f_{ts})$

基礎ボルトの許容せん断応力: $1.5f_s = F/\sqrt{3}$

ここで、Fは日本機械学会 設計・建設規格 JSME S NC1-2005 付属図表 Part 5表8及び表9より、以下となる。

F = min (Sy, 0.7Su)

Sy:表8より 100℃:194MPa

Su:表9より 100℃:373MPa

従って、

 $F = min (Sy, 0.7Su) = min (194, 0.7 \times 373) = 194 MPa$

基礎ボルトの許容引張応力: 1.5f_t = min(f_{to}, f_{ts}) = (145,198) = 145 MPa

 $\mathrm{f_{to}} = \mathrm{F/2*1.5} = 145.5\mathrm{MPa} \, \rightarrow \, 145\mathrm{MPa}$

 $f_{ts} = 1.4 \times f_{to} - 1.6 \times \tau_b = 1.4 \times 145 - 1.6 \times 3 = 198.2 MPa$

 \rightarrow 198MPa

基礎ボルトの許容せん断応力: $1.5f_s = F/\sqrt{3} = 112.0$ MPa

→ 112 MPa

・設計震度:水平方向のみを考慮

 $C_{H} = 0.36$

(ii)機器要目

L	m	g	h	l_1
[mm]	[kg]	9.80665	[mm]	[mm]
$n_{\mathbf{f}}$	n	A_b	C_{H}	C_P

	$n_{ m f}$	n	A_b	C_{H}	$\mathrm{C}_{\mathtt{P}}$
Ī			[mm ²]	0.36	

S_y	S_{u}	F
194*[MPa]	373*[MPa]	194[MPa]
(40mm<径≦100mm)	(40mm<径≦100mm)	

^{*}保守的な評価となるように '40mm<径≦100mm' の値を使用。

(iii) 評価結果

	算出応力	許容応力
引張	作用しない	145[MPa]
せん断	3[MPa]	112[MPa]

※ 浮き上がりが生じないため引張応力は評価不要

b. 熱交換器ユニットの転倒評価及びアンカボルトの強度評価

後述の「3.2 2号機熱交換器ユニット(1)耐震性」において、水平方向震度 0.36G で、熱交換器ユニットは転倒しない及び熱交換器ユニットを固定しているアンカボルトの強度が確保される評価となっている。

1.3 2号機二次系ポンプ

(1) 耐震性

2号機二次系ポンプについては、2号機FSTR (フィルター・スラッジタンクルーム) 建屋の屋外にハウスを設置し、ハウスにボルト等で固定することで転倒防止策を講じている。

これを踏まえ、耐震性の評価として、ボルトの強度が確保されることの評価を行った。

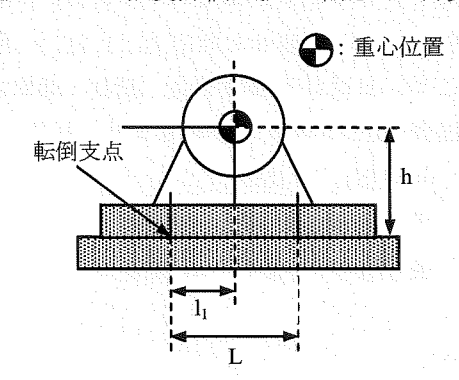
なお、評価においては水平方向震度を耐震 B クラス相当の評価である 0.36G とし、耐震設計審査指針上の耐震 B クラス相当の評価を行った。

a. ボルトの強度評価

原子力発電所耐震設計技術規程(JEAC4601-2008)の横型ポンプの強度評価方法に 準拠して評価を行った。また、ボルトの許容応力については、供用状態 Cs におけ る許容応力を適用し、ボルトの評価温度は100℃とみなして、許容応力を求めた。 評価結果を以下に示す。算出応力は全て許容応力以下となっている。

(i) 評価方法及び条件

適用基準:原子力発電所耐震設計技術規定「JEAC4601 (2008)」 横形ポンプの強度評価方法に準拠して計算を行う。



- ・評価部位:基礎ボルト
- ・考慮する荷重:地震荷重/ポンプ振動による荷重
- ・計算に用いる数式

引張力
$$F_b = \frac{1}{L} \{ mg(C_H + C_P)h + M_P - mg(1 - C_V - C_P)l_1 \}$$
 引張応力
$$\sigma_b = \frac{F_b}{n_f A_b}$$

せん断力 $Q_b = mg(C_H + C_P)$

せん断応力 $au_b = \frac{Q_b}{nA_b}$

- L 支点としている基礎ボルトより最大引張応力がかかる 基礎ボルトまでの距離
- m 機器の運転時質量
- g 重力加速度(=9.80665)
- h 据付面から重心までの距離
- M_P ポンプ回転により働くモーメント %基礎ボルトに M_P は作用しない
- 11 重心と基礎ボルト間の水平方向距離
- n_f 引張力の作用する基礎ボルトの評価本数
- n 基礎ボルトの本数
- A_b 基礎ボルトの軸断面積
- C_H 水平方向設計震度
- Cv 鉛直方向設計震度 (=0)
- C_P ポンプ振動による震度
- ・許容応力: 供用状態 Cs における許容応力を適用し、以下の式で設定基礎ボルトの許容引張応力 : $1.5f_t = \min(f_{to}, f_{ts})$ 基礎ボルトの許容せん断応力: $1.5f_s = F/\sqrt{3}$ ここで、F は日本機械学会 設計・建設規格 JSME S NC1-2005 付属図表 Part 5 表 8 及び表 9 より、以下となる。

F = min (Sy, 0.7Su)

Sy:表8より 100℃:194MPa

Su:表9より 100℃:373MPa

従って、

 $F = min (Sy, 0.7Su) = min (194, 0.7 \times 373) = 194 MPa$

基礎ボルトの許容引張応力: $1.5f_t = min(f_{to}, f_{ts}) = (145, 198)$

= 145 MPa

 $f_{to} = F/2*1.5 = 145.5$ MPa $\rightarrow 145$ MPa

 $f_{ts} = 1.4 \times f_{to} - 1.6 \times \tau_b = 1.4 \times 145 - 1.6 \times 3 = 198.2 MPa$

→ 198MPa

基礎ボルトの許容せん断応力 : 1.5f_s = $F/\sqrt{3}$ = 112.0 MPa

・設計震度:水平方向のみを考慮

And Laborator	m	g	h . N	$\mathbf{l_l}$
[mm]	[kg]	9.80665	[mm]	[mm]

$n_{\mathbf{f}}$	n	A_b C_H	$\mathbb{C}_{\mathtt{P}}$
		$[\text{mm}^2]$ 0.30	6
1			

٠.	S_{y}^{+1}	$S_{ m u}$	while \mathbf{r}
	194*[MPa]	373*[MPa]	194[MPa]
	(40mm<径≦100mm)	(40mm<径≦100mm)	- 具质基膜域化位

^{*}保守的な評価となるように '40mm<径≤100mm' の値を使用。

(iii) 評価結果

	算出応力	許容応力	
引張	2[MPa]	145[MPa]	
せん断	3[MPa]	112[MPa]	

1.4 3 号機一次系ポンプ

(1) 耐震性

3号機一次系ポンプについては、熱交換器、弁等と共にトレーラ上に搭載し、トレーラ含めてユニット化(以下、熱交換器ユニット)することで耐震性を向上させるとともに、ボルト等で固定することで転倒防止策を講じている。また、熱交換器ユニットについては3号機廃棄物処理建屋の床面にアンカボルトにより固定することで、転倒防止策を講じている。これを踏まえ、耐震性の評価として、ボルトの強度が確保されること、熱交換器ユニットが転倒しないこと及びアンカボルトの強度が確保されることの評価を行った。

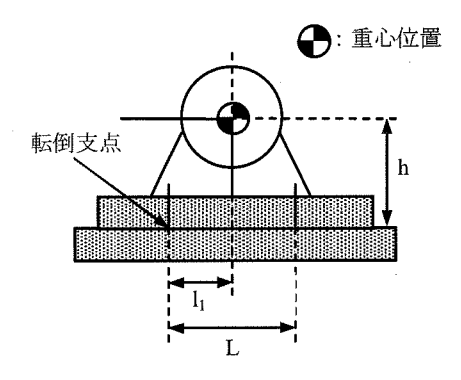
なお、評価においては水平方向震度を耐震 B クラス相当の評価である 0.36G とし、耐震設計審査指針上の耐震 B クラス相当の評価を行った。

a. ボルトの強度評価

原子力発電所耐震設計技術規程(JEAC4601-2008)の横型ポンプの強度評価方法に準拠して評価を行った。また、ボルトの許容応力については、供用状態 Cs における許容応力を適用し、ボルトの評価温度は100℃とみなして、許容応力を求めた。 評価結果を以下に示す。算出応力は全て許容応力以下となっている。

(i) 評価方法及び条件

適用基準:原子力発電所耐震設計技術規定「JEAC4601 (2008)」 横形ポンプの強度評価方法に準拠して計算を行う。



- ・評価部位:基礎ボルト
- ・考慮する荷重:地震荷重/ポンプ振動による荷重
- ・計算に用いる数式

引張力
$$F_b = \frac{1}{L} \{ mg(C_H + C_P)h + M_P - mg(1 - C_V - C_P)l_1 \}$$

引張応力
$$\sigma_b = \frac{F_b}{n_f A_b}$$

せん断力 $Q_b = mg(C_H + C_P)$

せん断応力 $au_b = \frac{Q_b}{nA_b}$

- L 支点としている基礎ボルトより最大引張応力がかかる 基礎ボルトまでの距離
- m 機器の運転時質量
- g 重力加速度(=9.80665)
- h 据付面から重心までの距離
- M_P ポンプ回転により働くモーメント % 基礎ボルトに M_P は作用しない
- 1 重心と基礎ボルト間の水平方向距離
- n_f 引張力の作用する基礎ボルトの評価本数
- n 基礎ボルトの本数
- A_b 基礎ボルトの軸断面積
- C_H 水平方向設計震度
- Cv 鉛直方向設計震度 (=0)
- C_P ポンプ振動による震度
- ・許容応力:供用状態 Cs における許容応力を適用し、以下の式で設定基礎ボルトの許容引張応力 : $1.5f_t = \min(f_{to}, f_{ts})$ 基礎ボルトの許容せん断応力: $1.5f_s = F/\sqrt{3}$ ここで、F は日本機械学会 設計・建設規格 JSME S NC1-2005 付属図表 Part 5 表 8 及び表 9 より、以下となる。

F = min (Sy, 0.7Su)

Sy:表8より 100℃:194MPa

Su:表9より 100℃:373MPa

従って、

 $F = min (Sy, 0.7Su) = min (194, 0.7 \times 373) = 194 MPa$

基礎ボルトの許容引張応力: $1.5f_t = min(f_{to}, f_{ts}) = (145, 198)$ = 145 MPa

 $f_{to} = F/2*1.5 = 145.5 MPa \rightarrow 145 MPa$

 $f_{ts} = 1.4 \times f_{to} - 1.6 \times \tau_b = 1.4 \times 145 - 1.6 \times 3 = 198.2 MPa$

→ 198MPa

基礎ボルトの許容せん断応力: $1.5f_s = F/\sqrt{3} = 112.0$ MPa

・設計震度:水平方向のみを考慮 C_H=0.36

(ii)機器要目

L	m	g	h	11
[mm]	[kg]	9.80665	[mm]	[mm]

$n_{ m f}$	n	A_b	C_{H}	C_{P}
		[mm ²]	0.36	

Sy	S_{u}	F
194*[MPa]	373*[MPa]	194[MPa]
(40mm<径≦100mm)	(40mm<径≦100mm)	

^{*}保守的な評価となるように '40mm<径≦100mm' の値を使用。

(ⅲ) 評価結果

	算出応力	許容応力
引張	作用しない	145[MPa]
せん断	3[MPa]	112[MPa]

※ 浮き上がりが生じないため引張応力は評価不要

b. 熱交換器ユニットの転倒評価及びアンカボルトの強度評価

後述の「3.4 3号機熱交換器ユニット(1)耐震性」において、水平方向震度 0.36G で、熱交換器ユニットは転倒しない及び熱交換器ユニットを固定しているアンカボルトの強度が確保される評価となっている。

1.5 3号機二次系ポンプ

(1) 耐震性

3号機二次系ポンプについては、3号機廃棄物処理建屋の屋外にハウスを設置し、 ハウスにボルト等で固定することで転倒防止策を講じている。

これを踏まえ、耐震性の評価として、ボルトの強度が確保されることの評価を行った。

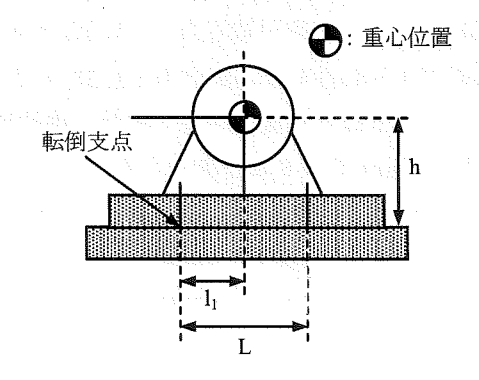
なお、評価においては水平方向震度 を耐震 B クラス相当の評価である 0.36G とし、耐震設計審査指針上の耐震 B クラス相当の評価を行った。

a. ボルトの強度評価

原子力発電所耐震設計技術規程(JEAC4601-2008)の横型ポンプの強度評価方法に 準拠して評価を行った。また、ボルトの許容応力については、供用状態 Cs におけ る許容応力を適用し、ボルトの評価温度は100℃とみなして、許容応力を求めた。 評価結果を以下に示す。算出応力は全て許容応力以下となっている。

(i)評価方法及び条件

適用基準:原子力発電所耐震設計技術規定「JEAC4601 (2008)」 横形ポンプの強度評価方法に準拠して計算を行う。



- ・評価部位:基礎ボルト
- ・考慮する荷重:地震荷重/ポンプ振動による荷重
- ・計算に用いる数式

引張力
$$F_b=rac{1}{L}\{mg(C_H+C_P)h+M_P-mg(1-C_V-C_P)l_1\}$$
 引張応力 $\sigma_b=rac{F_b}{n_fA_b}$ せん断力 $Q_b=mg(C_H+C_P)$

せん断応力 $au_b = \frac{Q_b}{nA_b}$

- L 支点としている基礎ボルトより最大引張応力がかかる 基礎ボルトまでの距離
- m 機器の運転時質量
- g 重力加速度(=9.80665)
- h 据付面から重心までの距離
- M_P ポンプ回転により働くモーメント ※基礎ボルトに M_P は作用しない
- 1 重心と基礎ボルト間の水平方向距離
- n_f 引張力の作用する基礎ボルトの評価本数
- n 基礎ボルトの本数
- A_b 基礎ボルトの軸断面積
- C_H 水平方向設計震度
- Cv 鉛直方向設計震度(=0)
- C_P ポンプ振動による震度
- ・許容応力: 供用状態 Cs における許容応力を適用し、以下の式で設定基礎ボルトの許容引張応力 : $1.5f_t = \min(f_{to}, f_{ts})$ 基礎ボルトの許容せん断応力: $1.5f_s = F/\sqrt{3}$ ここで、F は日本機械学会 設計・建設規格 JSME S NC1-2005 付属図表 Part 5 表 8 及び表 9 より、以下となる。

F = min (Sy, 0.7Su)

Sy:表8より 100℃:194MPa

Su:表9より 100℃:373MPa

従って、

 $F = min (Sy, 0.7Su) = min (194, 0.7 \times 373) = 194 MPa$

基礎ボルトの許容引張応力: $1.5f_t = min(f_{to}, f_{ts}) = (145, 198)$ = 145 MPa

 $f_{to} = F/2*1.5 = 145.5 MPa \rightarrow 145 MPa$

 $\mathrm{f_{ts}}$ = 1.4× $\mathrm{f_{to}}{-}1.6\times$ τ_{b} = 1.4×145 - 1.6×3 = 198.2MPa

→ 198MPa

基礎ボルトの許容せん断応力 : 1.5 $\mathrm{f_s}=F/\sqrt{3}=112.0~\mathrm{MPa}$

→ 112 MPa

・設計震度:水平方向のみを考慮 C_H=0.36

(ii)機器要具。1994年1月1日 1994年1日 19

\mathbf{L}_{i}	m	g	h	\mathbf{l}_1
[mm]	[kg]	9.80665	[mm]	[mm]
$n_{ m f}$	n	A_b	\mathbf{C}_{H}	$\mathbf{C}_{\mathtt{P}}$
		[mm ²]	0.36	

S_{y}	S_{u}	\mathbf{F}
194*[MPa]	373*[MPa]	194[MPa]
(40mm<径≦100mm)	(40mm<径≦100mm)	

^{*}保守的な評価となるように '40mm<径≦100mm' の値を使用。

(ⅲ) 評価結果

	算出応力	許容応力
引張	2[MPa]	145[MPa]
せん断	3[MPa]	112[MPa]

1.6 4号機一次系ポンプ

(1) 耐震性

4号機一次系ポンプについては、熱交換器、弁等と共に架台に組み込み、架台含めてユニット化(以下、熱交換器ユニット)することで、耐震性を向上させるとともに、ボルト等に固定することで転倒防止策を講じている。また、熱交換器ユニットについては4号機廃棄物処理建屋の床面にアンカボルトにより固定することで、転倒防止策を講じている。これを踏まえ、耐震性の評価として、ボルトの強度が確保されること、熱交換器ユニットが転倒しないこと及びアンカボルトの強度が確保されることの評価を行った。なお、評価においては水平方向震度を耐震 B クラス相当の評価である 0.36G とし、耐震設計審査規定「JEAC4601 (2008)」の耐震 B クラス相当の評価を行った。

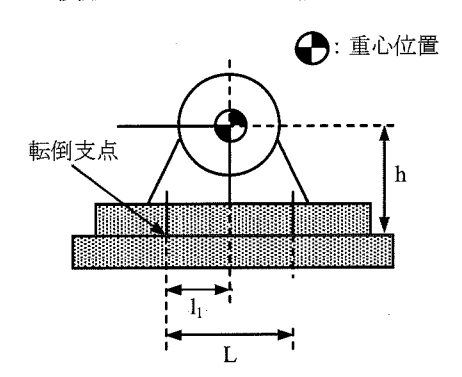
a. ボルトの強度評価

原子力発電所耐震設計技術規程(JEAC4601-2008)の横型ポンプの強度評価方法に準拠して評価を行った。また、ボルトの許容応力については、供用状態 Cs における許容応力を適用し、ボルトの評価温度は100℃とみなして、許容応力を求めた。

評価結果を以下に示す。算出応力は全て許容応力以下となっている。

(i) 評価方法及び条件

適用基準:原子力発電所耐震設計技術規定「JEAC4601 (2008)」 横形ポンプの強度評価方法に準拠して計算を行う。



- ・評価部位:基礎ボルト
- ・考慮する荷重:地震荷重/ポンプ振動による荷重
- ・計算に用いる数式

引張力
$$F_b = \frac{1}{L} \{ mg(C_H + C_P)h + M_P - mg(1 - C_V - C_P)l_1 \}$$

引張応力
$$\sigma_b = \frac{F_b}{n_f A_b}$$

せん断力 $Q_b = mg(C_H + C_P)$

せん断応力 $au_b = rac{Q_b}{nA_b}$

- L 支点としている基礎ボルトより最大引張応力がかかる基礎ボルトまでの距離
- m 機器の運転時質量
- g 重力加速度(=9.80665)
- h 据付面から重心までの距離
- M_P ポンプ回転により働くモーメント ※基礎ボルトに M_P は作用しない
- l₁ 重心と基礎ボルト間の水平方向距離
- nf 引張力の作用する基礎ボルトの評価本数
- n 基礎ボルトの本数
- A_b 基礎ボルトの軸断面積
- C_H 水平方向設計震度
- Cv 鉛直方向設計震度 (=0)
- C_P ポンプ振動による震度
- ・許容応力: 供用状態 Cs における許容応力を適用し、以下の式で設定基礎ボルトの許容引張応力 : $1.5f_t = \min(f_{to}, f_{ts})$ 基礎ボルトの許容せん断応力: $1.5f_s = F/\sqrt{3}$ ここで、F は日本機械学会 設計・建設規格 JSME S NC1-2005 付属図表 Part 5 表 8 及び表 9 より、以下となる。

F = min (Sy, 0.7Su)

Sy:表8より 100℃:194MPa

Su:表9より 100℃:373MPa

従って、

 $F = min (Sy, 0.7Su) = min (194, 0.7 \times 373) = 194 MPa$

基礎ボルトの許容引張応力: 1.5f_t = min(f_{to}, f_{ts}) = (145,195)

 $f_{to} = F/2*1.5 = 145.5 MPa \rightarrow 145 MPa$

 $f_{ts} = 1.4 \times f_{to} - 1.6 \times \tau_{b} = 1.4 \times 145 - 1.6 \times 5 = 195 MPa$

→ 195MPa

基礎ボルトの許容せん断応力: 1.5 $f_s = F/\sqrt{3} = 112.0 \text{ MPa}$

設計震度:水平方向のみを考慮 C_H=0.36

(ii)機器要目

L	m	g	h	11
[mm]	[kg]	9.80665	[mm]	[mm]
$n_{ m f}$	n	A_b	C_{H}	C_{P}
		[mm ²]	0.36	

S _y	S_{u}	F
194*[MPa]	373*[MPa]	194[MPa]
(40mm<径≦100mm)	(40mm<径≦100mm)	

*保守的な評価となるように'40mm<径≦100mm'の値を使用。

(iii) 評価結果

		算出応力	許容応力
Γ	引張	作用しない	145[MPa]
	せん断	5[MPa]	112[MPa]

※ 浮き上がりが生じないため引張応力は評価不要

b. 熱交換器ユニットの転倒評価及びアンカボルトの強度評価

後述の「3.6 4号機熱交換器ユニット(1)耐震性」において、水平方向震度 0.36G で、熱交換器ユニットは転倒しない及び熱交換器ユニットを固定しているアンカボルトの強度が確保される評価となっている。

1.7 4号機二次系ポンプ

(1) 耐震性

4号機二次系ポンプについては、サージタンクや配管、弁等と共にトレーラ上に搭載し、トレーラ含めてユニット化(以下、二次系ユニット)することで耐震性を向上させるとともに、ボルト等で固定することで転倒防止策を講じている。また、二次系ユニットについては、共用プール建屋脇の屋外に設置し、敷鉄板と溶接等行い転倒防止策を講じている。これを踏まえ、耐震性の評価として、ボルトの強度が確保されること及び二次系ユニットが転倒しないことの評価を行った。なお、評価においては水平方向震度を耐震 B クラス相当の評価である 0.36G とし、耐震設計審査指針上の耐震 B クラス相当の評価を行った。

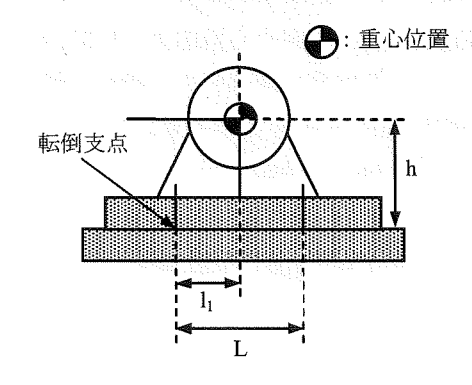
a. ボルトの強度評価

原子力発電所耐震設計技術規程(JEAC4601-2008)の横型ポンプの強度評価方法に準拠して評価を行った。また、ボルトの許容応力については、供用状態 Cs における許容応力を適用し、ボルトの評価温度は100℃とみなして、許容応力を求めた。

評価結果を以下に示す。算出応力は全て許容応力以下となっている。

(i) 評価方法及び条件

適用基準:原子力発電所耐震設計技術規定「JEAC4601 (2008)」 横形ポンプの強度評価方法に準拠して計算を行う。



- ・評価部位:基礎ボルト
- ・考慮する荷重:地震荷重 / ポンプ振動による荷重
- ・計算に用いる数式

引張力
$$F_b = \frac{1}{L} \{ mg(C_H + C_P)h + M_P - mg(1 - C_V - C_P)l_1 \}$$

引張応力
$$\sigma_b = \frac{F_b}{n_f A_b}$$

せん断力 $Q_b = mg(C_H + C_P)$

せん断応力 $au_b = rac{Q_b}{nA_b}$

- L 支点としている基礎ボルトより最大引張応力がかかる 基礎ボルトまでの距離
- m 機器の運転時質量
- g 重力加速度(=9.80665)
- h 据付面から重心までの距離
- M_P ポンプ回転により働くモーメント ※基礎ボルトに M_P は作用しない
- 11 重心と基礎ボルト間の水平方向距離
- n_f 引張力の作用する基礎ボルトの評価本数
- n 基礎ボルトの本数
- A_b 基礎ボルトの軸断面積
- C_H 水平方向設計震度
- Cv 鉛直方向設計震度(=0)
- C_P ポンプ振動による震度
- ・許容応力: 供用状態 Cs における許容応力を適用し、以下の式で設定基礎ボルトの許容引張応力 : $1.5f_t = \min(f_{to}, f_{ts})$

基礎ボルトの許容せん断応力: $1.5f_s = F/\sqrt{3}$

ここで、Fは日本機械学会 設計・建設規格 JSME S NC1-2005 付属図表 Part 5 表 8 及び表 9 より、以下となる。

F = min (Sy, 0.7Su)

Sy:表8より 100℃:194MPa

Su:表9より 100℃:373MPa

従って、

 $F = min (Sy, 0.7Su) = min (194, 0.7 \times 373) = 194 MPa$

基礎ボルトの許容引張応力: $1.5f_t = min(f_t, f_t) = (145, 199)$

 $f_{to} = F/2*1.5 = 145.5 MPa \rightarrow 145 MPa$

 $f_{ts} = 1.4 \times f_{to} - 1.6 \times \tau_{b} = 1.4 \times 145 - 1.6 \times 2 = 199.8 MPa$

→ 199MPa

基礎ボルトの許容せん断応力: 1.5 $f_s = F/\sqrt{3} = 112.0 \text{ MPa}$

・設計震度:水平方向のみを考慮 C_H=0.36

(ii)機器要目

L	m	g	h	$\mathbf{l_1}$
[mm]	[kg]	9.80665	[mm]	[mm]

$n_{ m f}$	n	A_b	Сн	C_{P}
		$[mm^2]$	0.36	

$\mathbf{S}_{\mathbf{y}}$	S_{u}	F
194*[MPa]	373*[MPa]	194[MPa]
(40mm<径≦100mm)	(40mm<径≦100mm)	

*保守的な評価となるように'40mm<径≦100mm'の値を使用。

(iii) 評価結果

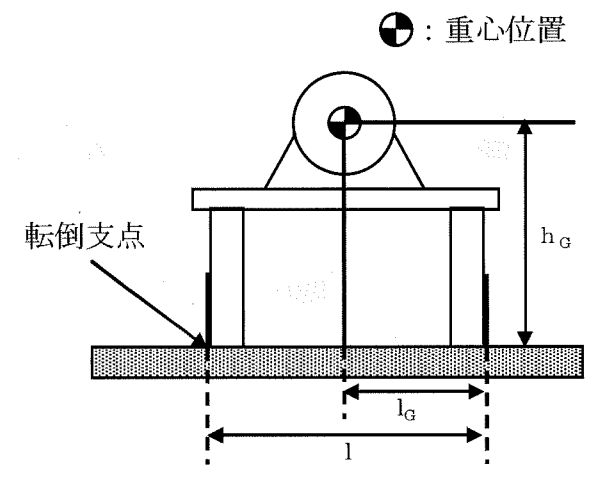
***************************************		算出応力	許容応力
	引張	作用しない	145[MPa]
	せん断	2[MPa]	112[MPa]

※ 浮き上がりが生じないため引張応力は評価不要

b. 二次系ユニットの転倒評価

「建築設備耐震設計・施工指針 (2005 年版)」を準用し、敷鉄板との溶接を考慮しない状態で、二次系ユニットに発生する垂直力により転倒評価を行った。

発生する垂直力は以下の計算式で算出することができる。



$$R_{b} = \frac{F_{H} \cdot h_{G} - (W - F_{V}) \cdot \ell_{G}}{\ell \cdot n_{t}} \times 9.80665$$

$$= \frac{0.36 \times 1000 \times 1000}{1000 \times 1000} \times 9.80665$$

$$= -1938.9[N] \rightarrow -1938[N]$$

ここに、 F_H : 設計水平地震力 $(K_H \cdot W) = 0.36 \cdot$ = [kg]

K_H:設計用水平震度 =0.36

W :機器重量 = [kg]

 h_G :据付面より機器重心までの高さ = [mm]

F_v:設計用鉛直地震力 =0

 $\ell_{
m G}$:検討する方向からみた評価点から機器重心までの距離 = [mm]

ℓ :検討する方向から見た評価点スパン = [mm]

n _t :機器転倒を考えた場合の評価点の数 =

転倒評価結果

設備名称	機器に発生する垂直力[N]	評価
4号機二次系ユニット	-1938	転倒しない

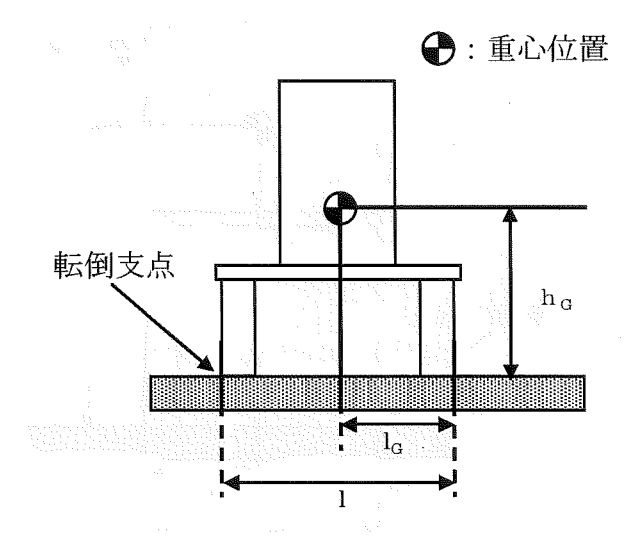
2. タンク

2.1 1号機サージタンク

(1) 耐震性

1号機サージタンクについては、二次系ポンプや配管、弁等と共にトレーラ上に搭載し、トレーラ含めてユニット化(二次系ユニット)することで耐震性を向上させている。 二次系ユニットは、1号機原子炉建屋脇の屋外に設置し、敷鉄板と溶接等行い転倒防止 策を講じている。これを踏まえ、耐震性の評価として、「建築設備耐震設計・施工指針(2005 年版)」を準用し、二次系ユニットに発生する垂直力により転倒評価を行った。

1.1 の「b.二次系ユニットの転倒評価結果」より、二次系ユニットに発生する垂直力は 圧縮の方向に働いているため、本条件における転倒は発生しないといえる。



(機器重心までの高さおよび評価点から機器重心までの距離は,1号機二次系ポンプと同様の値となる。)

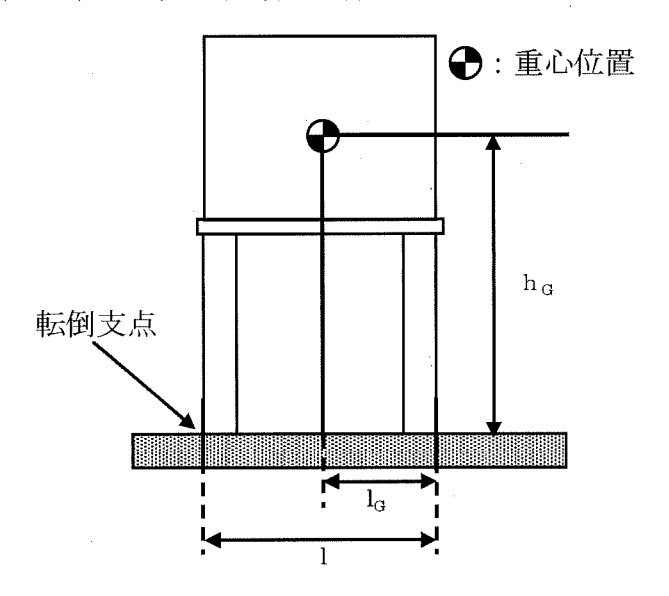
2.2 2号機サージタンク

(1) 耐震性

2号機サージタンクについては、2号機FSTR(フィルター・スラッジタンクルーム)建屋の屋外に設置し、杭またはワイヤーロープ等を用いた転倒防止策を講じているが、これら転倒防止策を考慮せず、耐震性の評価として、「建築設備耐震設計・施工指針(2005年版)」を準用し、サージタンクに発生する垂直力により転倒評価を行った。なお、評価においては水平方向震度を耐震Bクラス相当の評価である0.36Gとし、耐震設計審査指針上の耐震Bクラス相当の評価を行った。

a. 転倒評価

機器に発生する垂直力は以下の計算式で算出することができる。



$$R_b = \frac{F_H \cdot h_G - (W - F_V) \cdot \ell_G}{\ell \cdot n_t} \times 9.80665$$

$$= \frac{1.00 \times 1.00}{1.00 \times 1.00} \times 9.80665$$

$$= 292.3[N] \rightarrow 293[N]$$

ここに、 F_H : 設計水平地震力 $(K_H \cdot W) = 0.36 \cdot$ = [kg]

K_H:設計用水平震度 =0.36

W :機器重量 = [kg]

h_c:据付面より機器重心までの高さ = [mm]

 F_V : 設計用鉛直地震力 =0

 $\ell_{\rm c}$:検討する方向からみた評価点から機器重心までの距離 = [mm]

0 :検討する方向から見た評価点スパン =

n t :機器転倒を考えた場合の評価点の数 =

転倒評価結果

 $[\mathrm{mm}]$, is a suppose i

設備名称	機器に発生する垂直力[N]	評価
2号機サージタンク	293	転倒する

なお、耐震 B クラス相当の評価(静的震度 0.36G)では転倒の恐れがあることから、 杭またはワイヤー等を用いた転倒防止策を講じている。

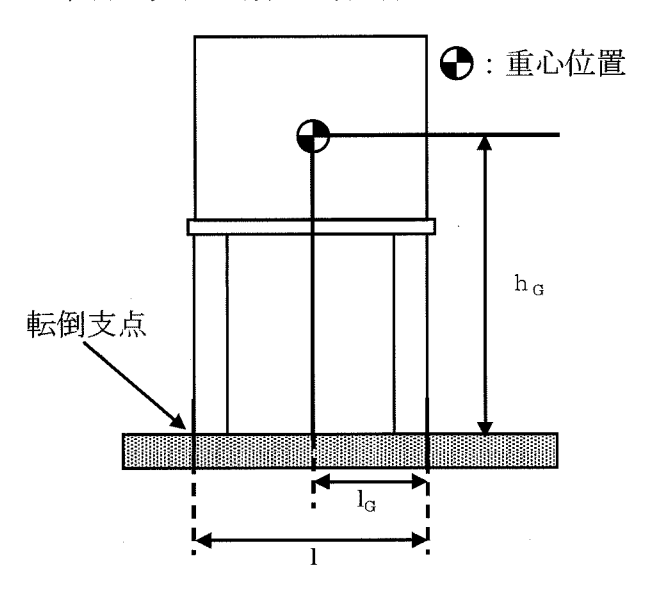
2.3 3号機サージタンク

(1) 耐震性

3号機サージタンクについては、3号機廃棄物処理建屋の屋外に設置し、杭またはワイヤーロープ等を用いた転倒防止策を講じているが、これら転倒防止策を考慮せず、耐震性の評価として、「建築設備耐震設計・施工指針(2005 年版)」を準用し、サージタンクに発生する垂直力により転倒評価を行った。なお、評価においては水平方向震度を耐震 B クラス相当の評価である 0.36G とし、耐震設計審査指針上の耐震 B クラス相当の評価を行った。

a. 転倒評価

機器に発生する垂直力は以下の計算式で算出することができる。



$$R_{b} = \frac{F_{H} \cdot h_{G} - (W - F_{V}) \cdot \ell_{G}}{\ell \cdot n_{t}} \times 9.80665$$

$$= \frac{W - (W - F_{V}) \cdot \ell_{G}}{V - (W - F_{V}) \cdot \ell_{G}} \times 9.80665$$

$$= 292.3 [N] \rightarrow 293[N]$$

ここに、 F_H :設計水平地震力 $(K_H \cdot W) = 0.36 \cdot$ [kg]

K_H:設計用水平震度 =0.36

W :機器重量 = [kg]

h_G:据付面より機器重心までの高さ = [mm]

 F_{v} :設計用鉛直地震力 =0

 $\ell_{\rm G}$:検討する方向からみた評価点から機器重心までの距離 = [mm]

ℓ :検討する方向から見た評価点スパン = [mm]

n t :機器転倒を考えた場合の評価点の数 =

転倒評価結果

	設備名称	機器に発生する垂直力[N]	評価	See and
3	号機サージタンク	293	転倒する	

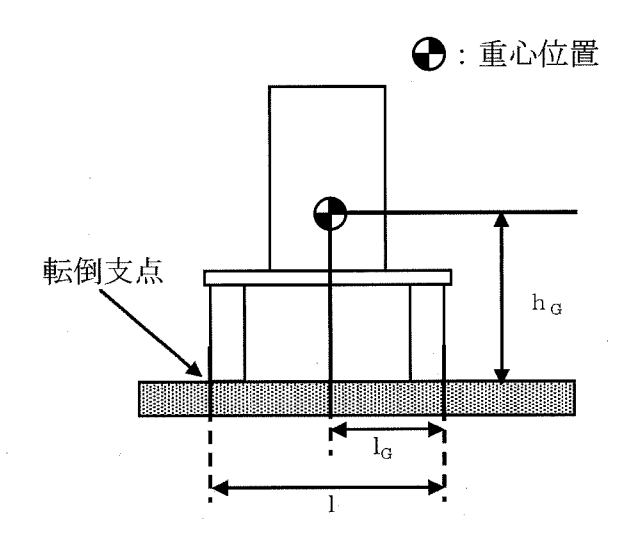
なお、耐震 B クラス相当の評価(静的震度 0.36G)では転倒の恐れがあることから、 杭またはワイヤー等を用いた転倒防止策を講じている。

2.4 4号機サージタンク

(1) 耐震性

4号機サージタンクについては、二次系ポンプや配管、弁等と共にトレーラ上に搭載し、トレーラ含めてユニット化(以下、二次系ユニット)することで耐震性を向上させている。二次系ユニットは、共用プール建屋脇の屋外に設置し、敷鉄板と溶接等行い転倒防止策を講じている。これを踏まえ、耐震性の評価として、「建築設備耐震設計・施工指針(2005年版)」を準用し、二次系ユニットに発生する垂直力により転倒評価を行った。

1.7 の「b.二次系ユニットの転倒評価結果」より、二次系ユニットに発生する垂直力は圧縮の方向に働いているため、本条件における転倒は発生しないといえる。



(機器重心までの高さおよび評価点から機器重心までの距離は、4号機二次系ポンプと同様の値となる。)

3.熱交換器

3.1 2号機熱交換器

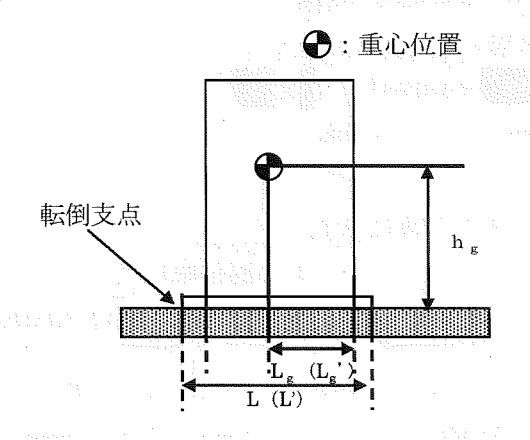
(1) 耐震性

2号機プレート式熱交換器については、一次系ポンプや配管、弁等と共にトレーラ上に搭載し、トレーラ含めてユニット化(以下、熱交換器ユニット)することで耐震性を向上させるとともに、ボルト等で固定することで転倒防止策を講じている。また、熱交換器ユニットについては2号機FSTR(フィルター・)建屋の床面にアンカボルトにより固定することで、転倒防止策を講じている。これを踏まえ、耐震性の評価として、ボルトの強度が確保されること、熱交換器ユニットが転倒しないこと及びアンカボルトの強度が確保されることの評価を行った。

なお、評価においては水平方向震度を耐震 B クラス相当の評価である 0.36G に余裕を持たせた 0.66G、耐震 B クラス相当の評価では求められていないが、メーカ基準として設定した垂直方向震度 0.33G とし、耐震設計審査指針上の耐震 B クラス相当の評価を行った。

また、許容応力については、「建築設備耐震設計・施工指針(2005 年版)」の短期許容 応力度(ボルト材質 SS400) を適用した。

a. ボルトの強度評価



(i) 評価条件

- ・機器質量 W= [kg]
- ・重心高さ h g = [mm]
- ・重心位置(長辺) Lg = [mm]
- ・重心位置(短辺) L g '= [mm]
- ・基礎ボルト片側本数 nt=本
- ・基礎ボルト総本数 n= 本
- ・ボルトスパン(長辺) L= [mm]

- ・ボルトスパン (短辺) L'= [mm]
- ·水平震度 Kh=0.66
- ·鉛直震度 Kv=0.33

(ii) 評価結果

・基礎ボルトにかかる長辺方向の引張応力 σ1

$$\sigma 1 = (K h \times W \times G \times h g - (W - K v \times W) \times L g \times G) / (L \times n t \times A)$$

$$= (0.66 \times W \times 9.80665 \times W - (W - 0.33 \times W) \times 9.80665) /$$

$$(W \times V \times W)$$

$$= 9.6 \text{ [MPa]} \rightarrow 10 \text{ [MPa]}$$

・基礎ボルトにかかる短辺方向の引張応力 σ2

$$\sigma 2 = (K h \times W \times G \times h g - (W - K v \times W) \times L g' \times G) / (L' \times n t \times A)$$

$$= (0.66 \times 2.80 \times 9.80665 \times 2.80 - (2.80 \times 9.80665) / (2.80 \times 2.80665) /$$

・基礎ボルト1本にかかるせん断応力 τ 1

許容応力との比較を下表に示す。

応力評価結果

部位	材料	応力種類	算出応力[MPa]	許容応力[MPa]
###41	55400	引張	47	176
基礎ボルト	SS400	せん断	11	101

発生する引張応力、せん断応力は、基礎ボルト許容応力を下回っており十分な強度を有している。

b. 熱交換器ユニットの転倒評価及びアンカボルトの強度評価

後述の「3.2 2号機熱交換器ユニット(1)耐震性」において、水平方向震度 0.36G で熱交換器ユニットは転倒しない及び熱交換器ユニットを固定しているアンカボルトの強度が確保される評価となっている。

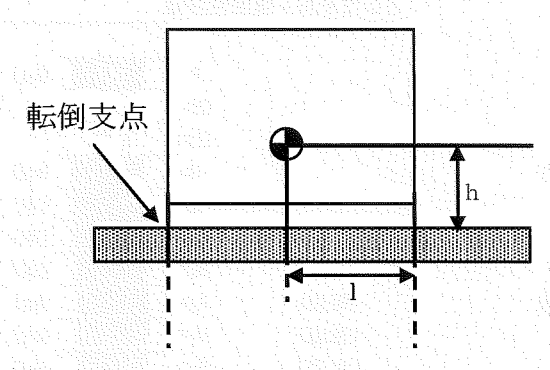
3.2 2号機熱交換器ユニット

(1) 耐震性

2号機熱交換器ユニットは、熱交換器、一次系ポンプ、配管及び弁等をトレーラ上に組み込んだものであり、トレーラ含めて重心が低い構造となっている。熱交換器ユニットは、床面での転倒及び滑り防止のため、2号機FSTR(フィルター・スラッジタンクルーム)建屋の床面にアンカボルトにより固定することで、転倒防止策を講じている。また、ユニット内に組み込まれる各機器はフレームにボルト等で強固に固定される構造とし、ユニット内における転倒防止策を講じている。これを踏まえ、耐震性の評価として、「建築設備耐震設計・施工指針(2005年版)」を準用し、熱交換器ユニットに対して、転倒に伴う引張力が発生しない水平力を算出するとともに、アンカボルトの評価を行った。

なお、アンカボルトの許容荷重はカタログ値を適用した。

→:重心位置



a. 転倒評価

熱交換器ユニット及びそれを搭載するトレーラの固定部に、転倒に伴う引張力が発生しない水平力を算出した結果、転倒しない水平力は、水平震度 0.71G の地震時であり、耐震 B クラス相当の水平方向震度 0.36G に対して余裕があることを確認した。

b. アンカボルト評価

a. 転倒評価にて算出した水平力によるアンカボルトの評価結果を以下に示す。アンカボルトに発生する荷重は、許容荷重を下回っており十分な強度を有している。

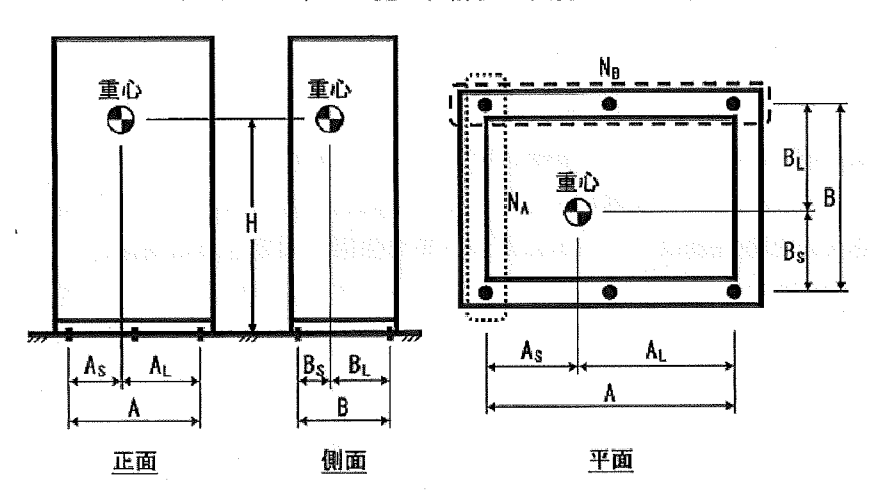
評価結果

	部位		材料	荷重	算出荷重[N]	許容荷重[N]
7	゚ンカボノ	l L	2112204	引張	作用しない	41000
	2 W WV	, i.	303304	せん断	30114	58000

※ 浮き上がりが生じないため引張荷重は評価不要

遮へい板は、熱交換器ユニットの側壁に設置しており、熱交換器ユニットの最大機器荷 重に含み評価している。

< アンカボルト健全性評価 後打ちアンカ検討 >



・機器名称

アンカボルト健全性評価

・耐震クラス ₩= (kg) ・最大機器荷重 ・鉛直設計震度 CV= 0 CH= 0.71 ・水平設計震度 (mm) ・重心位置までの高さ H= (本) ・後打ちアンカ総数 N= ・引張を受ける後打ちアンカ数 N_A= (本) $N_B = \underline{}$ (本) $(A_S \leq A_L)$ ・重心位置までの距離 〈短辺〉 $A_s =$ (mm) (mm) 〈長辺〉 A_L= $(B_S \leq B_L)$ 〈短辺〉 B_s= (mm) 〈長辺〉 B_L= (mm) (mm) 後打ちアンカスパン **〈A側〉** A= B= (mm) 〈日側〉 後打ちアンカサイズ (プラント) 1F-2 (メタルアンカ) (N) (短期) (N) (長期) TO= ・後打ちアンカ許容荷重 (N) (N) T1= (N) S0= (N)

・転倒モーメント	MA= 3	35534250	(N·cm)	MB=	35534250	(N·cm)
最大水平力	S=	30114	(N)	-		
・垂直力(引張)	TA=	-48971	(N)	TB=	-11991	(N)
- 垂直力(圧縮)	PA=	120685	(N)	PB=	72837	(N)

表一3 基礎荷重表							
設計震度 地震時						最大	
nle Ti	垂直	転倒モメント	最大	最大語	重直力	機器荷重	耐震クラス
水平	華風	(N-cm)	水平力(N)	引張 (N)	圧縮 (N)	(kg)	
0. 71	0	35534250	30114	0	120685	34600	-

	\$150 SERVICES AND A SERVICE			 			_
後打ちアンカ検討	引張T=	0	(N)	٠	K=	0, 520	
1友打らアンカ快的	せん断S=	30114	(N)	判	定:	OK	1

3.3 3号機熱交換器

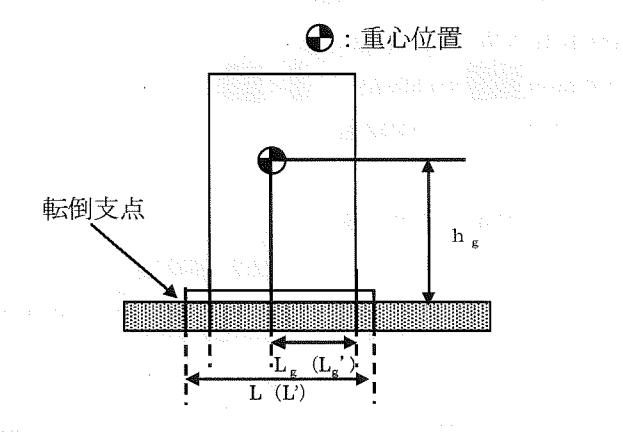
(1) 耐震性

3号機プレート式熱交換器については、一次系ポンプや配管、弁等と共にトレーラ上に搭載し、トレーラ含めてユニット化(以下、熱交換器ユニット)することで耐震性を向上させるとともに、ボルト等で固定することで転倒防止策を講じている。また、熱交換器ユニットについては3号機廃棄物処理建屋の床面にアンカボルトにより固定することで、転倒防止策を講じている。これを踏まえ、耐震性の評価として、ボルトの強度が確保されること、熱交換器ユニットが転倒しないこと及びアンカボルトの強度が確保されることの評価を行った。

なお、評価においては水平方向震度を耐震 B クラス相当の評価である 0.36G に余裕を持たせた 0.66G、耐震 B クラス相当の評価では求められていないが、メーカ基準として設定した垂直方向震度 0.33G とし、耐震設計審査指針上の耐震 B クラス相当の評価を行った。

また、許容応力については、「建築設備耐震設計・施工指針(2005 年版)」の短期許容 応力度(ボルト材質 SS400)を適用した。

a. ボルトの強度評価



(i) 評価条件

- ·機器質量 W= [kg]
- ・重心高さ h g = m [mm]
- ・重心位置(長辺) L g = [mm]
- ・重心位置(短辺) L g'= [mm]
- ・基礎ボルト片側本数 nt=
- ・基礎ボルト総本数 n= 本
- ・基礎ボルト断面積 A = [mm²] (mm²)
- ・ボルトスパン(長辺) L= [mm]

- ・ボルトスパン (短辺) L'= [mm]
- ·水平震度 Kh=0.66
- ·鉛直震度 Kv=0.33

(ii) 評価結果

・基礎ボルトにかかる長辺方向の引張応力 σ1

$$\sigma 1 = (K h \times W \times G \times h g - (W - K v \times W) \times L g \times G) / (L \times n t \times A)$$

$$= (0.66 \times 2.80 \times 9.80665 \times 2.80 - (2.80 \times 9.80665) / (2.80 \times 1.80 \times 9.80665) / (2.80 \times 1.80 \times 9.80665)$$

$$= 9.6 \text{ [MPa]} \rightarrow 10 \text{ [MPa]}$$

・基礎ボルトにかかる短辺方向の引張応力 σ2

$$\sigma 2 = (K h \times W \times G \times h g - (W - K v \times W) \times L g' \times G) / (L' \times n t \times A)$$

$$= (0.66 \times W \times 9.80665 \times W - (W - 0.33 \times W)) \times W \times 9.80665) /$$

$$(W \times V \times W)$$

$$= 46.2 \text{ [MPa]} \rightarrow 47 \text{[MPa]}$$

·基礎ボルト1本にかかるせん断応力 τ1

許容応力との比較を下表に示す。

応力評価結果

部位	材料	応力種類	算出応力[MPa]	許容応力[MPa]
中珠 宋』	55400	引張	47	176
基礎ボルト	SS400	せん断	11	101

発生する引張応力、せん断応力は、基礎ボルト許容応力を下回っており十分な強度を有している。

b. トレーラの転倒評価及びアンカボルトの強度評価

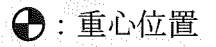
後述の「3.4 3号機熱交換器ユニット(1)耐震性」において、水平方向震度 0.36G で熱交換器ユニットは転倒しない及び熱交換器ユニットを固定しているアンカボルトの強度が確保される評価となっている。

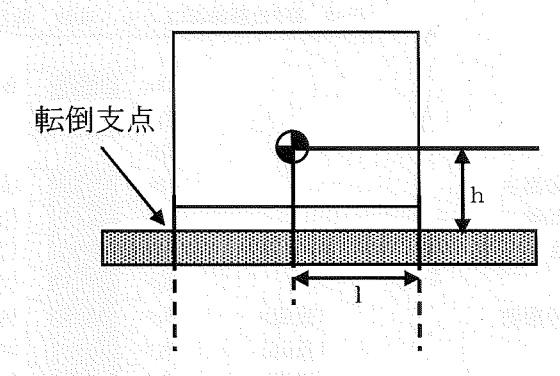
3.4 3号機熱交換器ユニット

(1) 耐震性

3号機熱交換器ユニットは、熱交換器、一次系ポンプ、配管及び弁等をトレーラ上に組み込んだものであり、トレーラ含めて重心が低い構造となっている。熱交換器ユニットは、床面での転倒及び滑り防止のため、3号機廃棄物処理建屋の床面にアンカボルトにより固定することで、転倒防止策を講じている。また、ユニット内に組み込まれる各機器はフレームにボルト等で強固に固定される構造とし、ユニット内における転倒防止策を講じている。これを踏まえ、耐震性の評価として、「建築設備耐震設計・施工指針(2005 年版)」を準用し、熱交換器ユニットに対して、転倒に伴う引張力が発生しない水平力を算出するとともに、アンカボルトの評価を行った。

なお、アンカボルトの許容荷重はカタログ値を適用した。





a. 転倒評価

熱交換器ユニット及びそれを搭載するトレーラの固定部に、転倒に伴う引張力が発生しない水平力を算出した結果、転倒しない水平力は、水平震度 1G の地震時であり、耐震 B クラス相当の水平方向震度 0.36G に対して余裕があることを確認した。

b. アンカボルト評価

a. 転倒評価にて算出した水平力によるアンカボルトの評価結果を以下に示す。アンカボルトに発生する荷重は、許容荷重を下回っており十分な強度を有している。

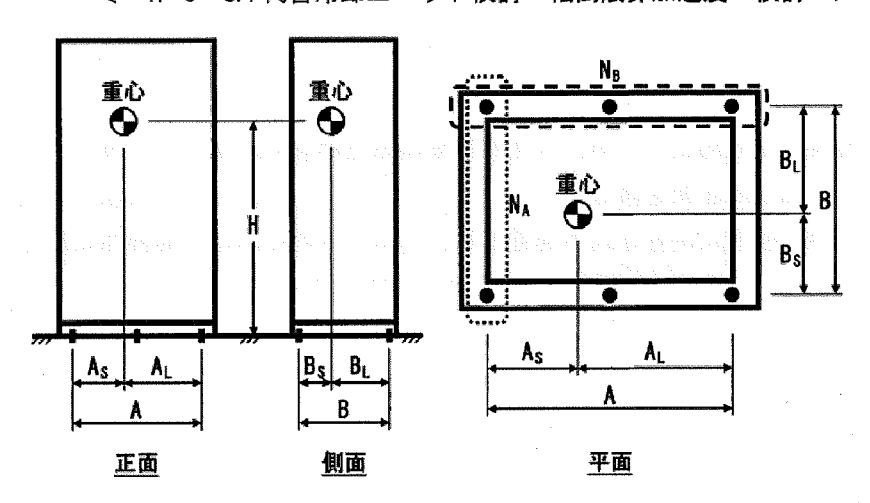
評価結果

部位	材料	荷重	算出荷重[N]	許容荷重[N]
アンカボルト	6116504	引張	作用しない	41000
7 2 X 41/2 F	303304	せん断	23782	58000

※ 浮き上がりが生じないため引張荷重は評価不要

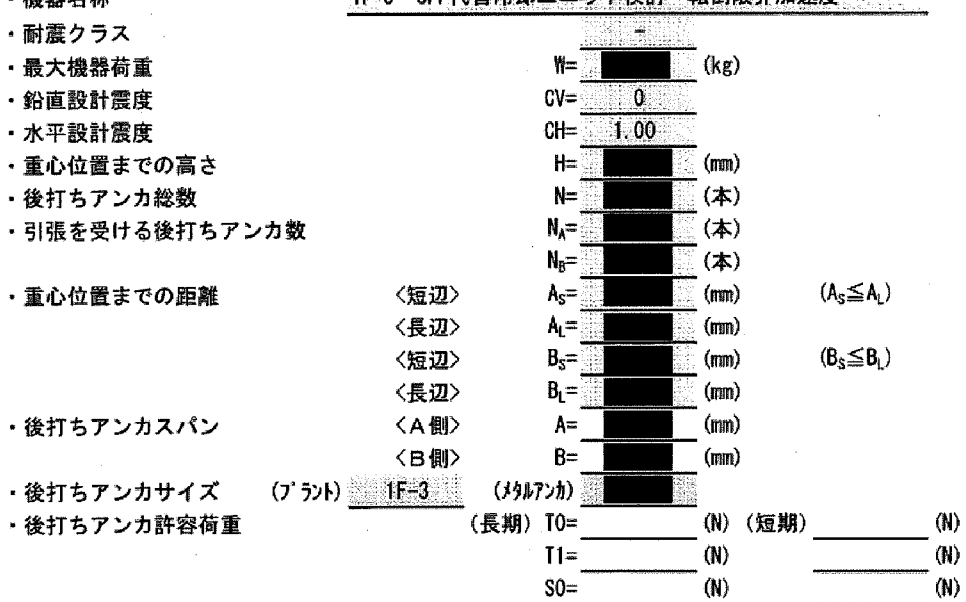
遮へい板は、熱交換器ユニットの側壁に設置しており、熱交換器ユニットの最大機器 荷重に含み評価している。

< 1F-3 SFP代替冷却ユニット検討 転倒限界加速度 検討 >



• 機器名称

1F-3 SFP代替冷却ユニット検討 転倒限界加速度



・転倒モーメント	MA=	40180591	(N·cm)	MB=	40180591	4
・最大水平力	S=_	23782	(N)			
・垂直力(引張)	TA=	-26699	(N)	TB=_	-34	(N)
・垂直力(圧縮)	PA≕_	115989	(N)	PB=	47529	(N)

			表一3 基	礎荷重表			
設計	·震度		地震	夏時		最大	
-l- 37	泰士	転倒モルト	最大	最大	垂直力	機器荷重	耐震クラス
水平	垂直	(N·cm)	水平力(N)	引張 (N)	圧縮(N)	(kg)	
1	0	40180591	23782	0	115989	29100	

後打ちアンカ検討	引張T=	0	(N)	K=	0. 411
致打りアンル探討	せん断S=	23782	(N)	判定:	OK

3.5 4号機熱交換器

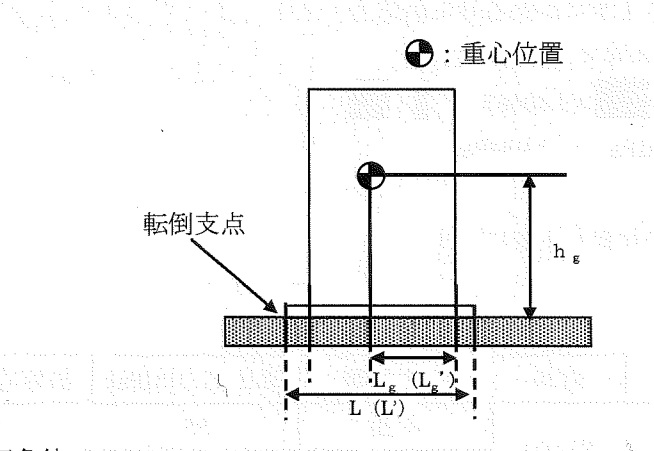
(1) 耐震性

4号機プレート式熱交換器については、一次系ポンプや配管、弁等と共に架台に組み込み、架台含めてユニット化(以下、熱交換器ユニット)することで耐震性を向上させるとともに、ボルト等で固定することで転倒防止策を講じている。また、熱交換器ユニットは4号機廃棄物処理建屋の床面にアンカボルトにより固定することで、転倒防止策を講じている。これを踏まえ、耐震性の評価として、ボルトの強度が確保されること、熱交換器ユニットが転倒しないこと及びアンカボルトの強度が確保されることの評価を行った。

なお、評価においては水平方向震度を耐震 B クラス相当の評価である 0.36G に余裕を持たせた 0.66G、耐震 B クラス相当の評価では求められていないが、メーカ基準として設定した垂直方向震度 0.33G とし、耐震設計審査指針上の耐震 B クラス相当の評価を行った。

また、許容応力については、「建築設備耐震設計・施工指針 (2005 年版)」の短期許容 応力度 (ボルト材質 SS400) を適用した。

a. ボルトの強度評価



(i) 評価条件

- ・機器質量 W= [kg]
- 重心高さ h g = [mm]
- ・重心位置(長辺) L g = [mm]
- ・重心位置(短辺) L g '= [mm]
- ・基礎ボルト片側本数 nt = 本
- ・基礎ボルト総本数 n=
- 基礎ボルト断面積 A = [mm²] (mm²)
- ・ボルトスパン(長辺) L= [mm]

- ・ボルトスパン (短辺) L'= [mm]
- · 水平震度 Kh=0.66
- ·鉛直震度 K v = 0.33

(ii) 評価結果

- ・基礎ボルトにかかる長辺方向の引張応力 σ1
- $\sigma 1 = (K h \times W \times G \times h g (W K v \times W) \times L g \times G) / (L \times n t \times A)$

$$= (0.66 \times 2.80665 \times 2.80665 \times 2.80665) \times 2.80665) \times 2.80665 \times 2.80665$$

 $=13.3 \text{ [MPa]} \rightarrow 14 \text{[MPa]}$

・基礎ボルトにかかる短辺方向の引張応力 σ2

$$\sigma 2 = (K h \times W \times G \times h g - (W - K v \times W) \times L g' \times G) / (L' \times n t \times A)$$

$$= (0.66 \times W \times 9.80665 \times W - (W - 0.33 \times W) \times 9.80665) / (W \times W \times W)$$

$$= 54.1[MPa] \rightarrow 55[MPa]$$

許容応力との比較を下表に示す。

表 1 応力評価結果

部位	材料	応力種類	算出応力[MPa]	許容応力[MPa]
基礎ボルト	99400	引張	55	176
左旋 小/ / ト	SS400	せん断	13	101

発生する引張応力、せん断応力は、基礎ボルト許容応力を下回っており十分な強度を有している。

b. 熱交換器ユニットの転倒評価及びアンカボルトの強度評価

後述の「3.6 4号機熱交換器ユニット(1)耐震性」において、水平方向震度 0.36G で熱交換器ユニットは転倒しない及び熱交換器ユニットを固定しているアンカボルトの強度が確保される評価となっている。

3.6 4号機熱交換器ユニット

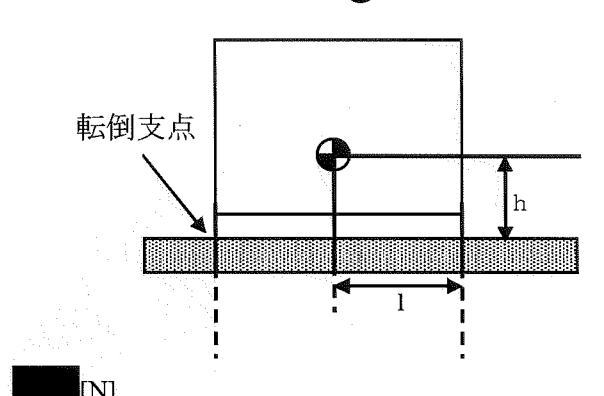
(1) 耐震性

4号機熱交換器ユニットは、熱交換器、一次系ポンプ、配管及び弁等を架台上に組み込んだものであり、架台含めて重心が低い構造となっている。熱交換器ユニットは、床面での転倒及び滑り防止のため、4号機廃棄物処理建屋の床面にアンカボルトにより固定することで、転倒防止策を講じている。また、ユニット内に組み込まれる各機器はフレームにボルト等で強固に固定される構造とし、ユニット内における転倒防止策を講じている。

これを踏まえ、耐震性の評価として地震の水平荷重による転倒モーメントよりも自重による安定モーメントが大きいことを確認するとともに、アンカボルトの評価を行った。

なお、評価においては水平方向震度を耐震 B クラス相当の評価である 0.36G とし、アンカボルトの許容荷重はカタログ値を適用した。

→: 重心位置



- 製品重量
- ・水平重心距離 l = [mm]
- ・重心高さ
- h = [mm]
- ・水平震度
- 0.36[G]

a. 転倒評価

計算過程を以下に示す。

[水平荷重] = [水平震度] × [製品重量] = 28224[N]

[転倒モーメント] = [水平荷重] × [重心高さ] = 31611 [N·m]

[安定モーメント] = [製品重量] × [水平重心距離] = 47040 [N·m]

以上から、転倒モーメント<安定モーメントであり、水平震度 0.36G に対しユニットは転倒しないことを確認した。

b. アンカボルト評価

アンカボルトの評価結果を下表に示す。水平震度 0.36G によりアンカボルトに発生 する荷重は許容荷重を下回っており、十分な強度を有している。

部位	材料	荷重種類	算出荷重[N]	許容荷重[N]
アンカボルト	SS400 相当	引張	作用しない	381000
		せん断	28224	286000

※ 浮き上がりが生じないため引張応力は評価不要

4.配管

4.1 1 号機配管

(1) 耐震性

二次系設備のうち、配管の耐震性についての評価結果を示す。

1. 評価条件

配管は、基本的に、配管軸直角2方向拘束サポートを用いた、両端単純支持の配管系 (両端単純支持はり構造)とする。また、配管は水平方向主体のルートを想定し、管軸 方向については、サポート設置フロアの水平方向震度を鉄と鉄の静止摩擦係数0.52 注)よりも小さいものとし、地震により管軸方向は動かないものと仮定する。

水平方向震度は、耐震 B クラス相当の評価である 0.36G とする。

2. 評価方法

水平方向震度が静止摩擦係数よりも小さく、地震により管軸方向は動かないと考えられることから、水平方向震度による管軸直角方向の配管応力評価を考える。

管軸直角方向の地震による応力は、下図に示す自重による応力の震度倍で表現でき (4.2)式で表すことができる。

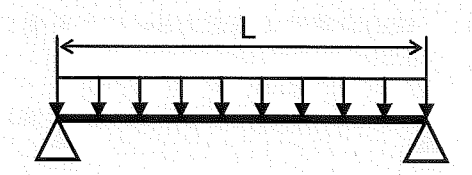
•
$$Sw = \frac{wL^2}{8Z}$$

Sw:自重による応力[MPa]

L:サポート支持間隔[mm]

Z: 断面係数[mm³]

w:等分布荷重[N/mm]



両端単純支持はりの等分布荷重より求まる自重による応力

• Ss= α Sw

(4.2)

Sw: 自重による応力[MPa]

Ss:地震による応力[MPa]

α:水平方向震度

注) 日本機械学会編 機械工学便覧 α . 基礎編 表 4-1 α 2-27

また、崩壊制限に「JEAG4601 (1984 年版)」のクラス 2 配管の供用状態 Ds の場合の一次応力制限を用いるとすると、地震評価としては(4.3)式で表すことができる。

• $S=Sp+Sw+S_S=Sp+Sw+\alpha Sw=Sp+(1+\alpha) Sw \le 0.9 Su$ (4.3)

Sp:内圧による応力[MPa]

Sw:自重による応力[MPa]

Ss:地震による応力[MPa]

S:内圧、自重、地震による応力[MPa]

α:水平方向震度

従って、上記(4.3)式を満足するように、配管サポート配置を設定することにより、 配管は十分な強度を有していると考えることができる。

3. 評価結果

両端単純支持はりで自重による応力 Sw=40[MPa]の配管サポート配置を仮定する。 配管設置フロアの水平方向震度を前述の 0.36、内圧による応力 Sp=10[MPa]、自重による応力 Sw=40[MPa]、許容応力を $STPT370[100^{\circ}C]$ の 0.9Su=315[MPa]とし、(4.3)に代入すると以下となる。

• $S=Sp+(1+\alpha)Sw = 10+(1+0.36) \times 40=64.4[MPa] \le 0.9Su = 315[MPa]$ (4.4)

また、継手がある場合には、応力係数も存在する。例えば応力係数を 3 とし、(4.4)式の自重による応力 Sw に 3 を乗じ、Sw=120[MPa]とすると以下となる。

• $S=Sp+(1+\alpha)Sw\times 3=10+(1+0.36)\times 120=173.2[MPa] \le 0.9Su = 315[MPa] (4.5)$

以上のことから、両端単純支持はりで自重による応力 Sw を 40[MPa]程度の配管サポート配置とした場合、発生応力は許容応力に対して十分な裕度を有する結果となった。 なお、1号機代表配管に対するサポート支持間隔等の値を以下に示す。 (サポート支持間隔が最も長くなる配管を選定)

口径	材質	サポート 支持間隔 (mm)	断面係数 (mm³)	配管自重 (N/mm)	配管自重による応力 (MPa)
50A/Sch80	STPT370				

4.2 2 号機配管

(1) 耐震性

一次系設備のうち、既設取合~熱交換器ユニット間の配管についての耐震性の評価結果を示す。

1. 解析条件

解析モデル:

既設 FG69A~熱交換器ユニット: KFPC-901 熱交換器ユニット~既設 FE52A: KFPC-902

・水平地震力:耐震 B クラス相当の評価である 0.36G

・鉛直地震力: 耐震 B クラス相当の評価では求められていないが、鉛直方向における

地震加速度大トリップ設定値である 100Gal の担保として 0.10G

・配管仕様:解析に用いた配管仕様を以下に示す。

	配管仕様	e de la visita de la composición de la El composición de la
呼び径/厚さ	100A/Sch. 40	
1 00.0	150A/Sch. 40	
	200A/Sch. 40	
材質	STPG370	
最高使用圧力	1.0MPa	
最高使用温度	100℃	Albert Colored States and States

2. 評価結果

以下に配管の応力評価結果を示す。

応力評価結果

	一次応力[MPa]	許容応力[MPa]		
既設 FG69A	77	189		
~熱交換器ユニット	/ /	189		
熱交換器ユニット	46	189		
~既設 FE52A	40	169		

解析結果及び評価 固有周期及び設計震度

鳥 瞰 図 KFPC-901

而打	雲クラス	B S _B 及び静的震度					
適用す	る地震動等						
- 1×	D ← B #0	応 答 水	鉛直震度				
モード	固有周期 (s)	X 方向	Z 方向	Y 方向			
1 次	0.134	0.00	0.00				
2 次	0.109	0.00	0.00	Salv Walnuin			
3 次	0.104	0.00	0.00	1341 - 1			
4 次	0.097	0.00	0.00				
5 次	0.093	0.00	0.00				
6 次	0.089	0.00	0.00				
7 次	0.087	0.00	0.00	a ,			
. 8 次	0.086	0.00	0.00				
15 次	0.051	0.00	0.00				
16 次	0.047			<u> </u>			
動的	的震度	0.36	0.36	0.10			
静的	的震度						

各 モ ー ド に 対 応 す る 刺 激 係 巻 鳥 瞰 図 KFPC-901

	DD	刺激係数				
	固有周期 (s)	X 方向	Y方向	Z 方 向		
1 次	0,134	0.177	0.018	0.127		
2 次	0.109	0.308	0.001	0.083		
3 🔆	0.104	0.007	0.007	0.102		
4 次	0.097	0.303	0.036	0.076		
5 次	0.093	0.012	0.251	0.020		
6 次	0.089	0.059	0,016	0.241		
7 次	0.087	0.440	0.005	0.026		
8 次	0.086	0.048	0.068	0.214		
15 次	0.051	0.067	0.084	0.068		

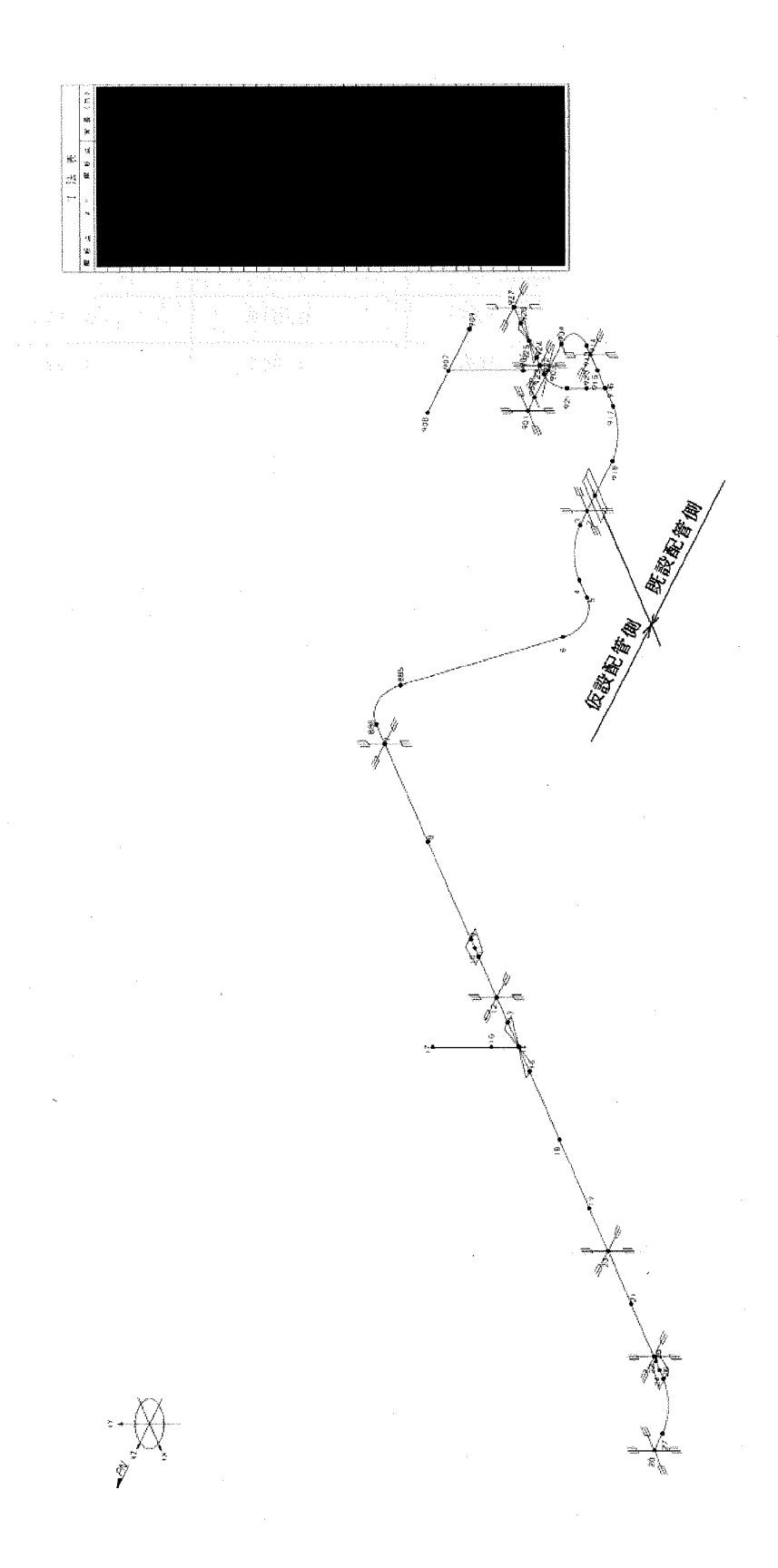
結 鷸

下表に示すごとく最大応力はすべて許容応力以下である。

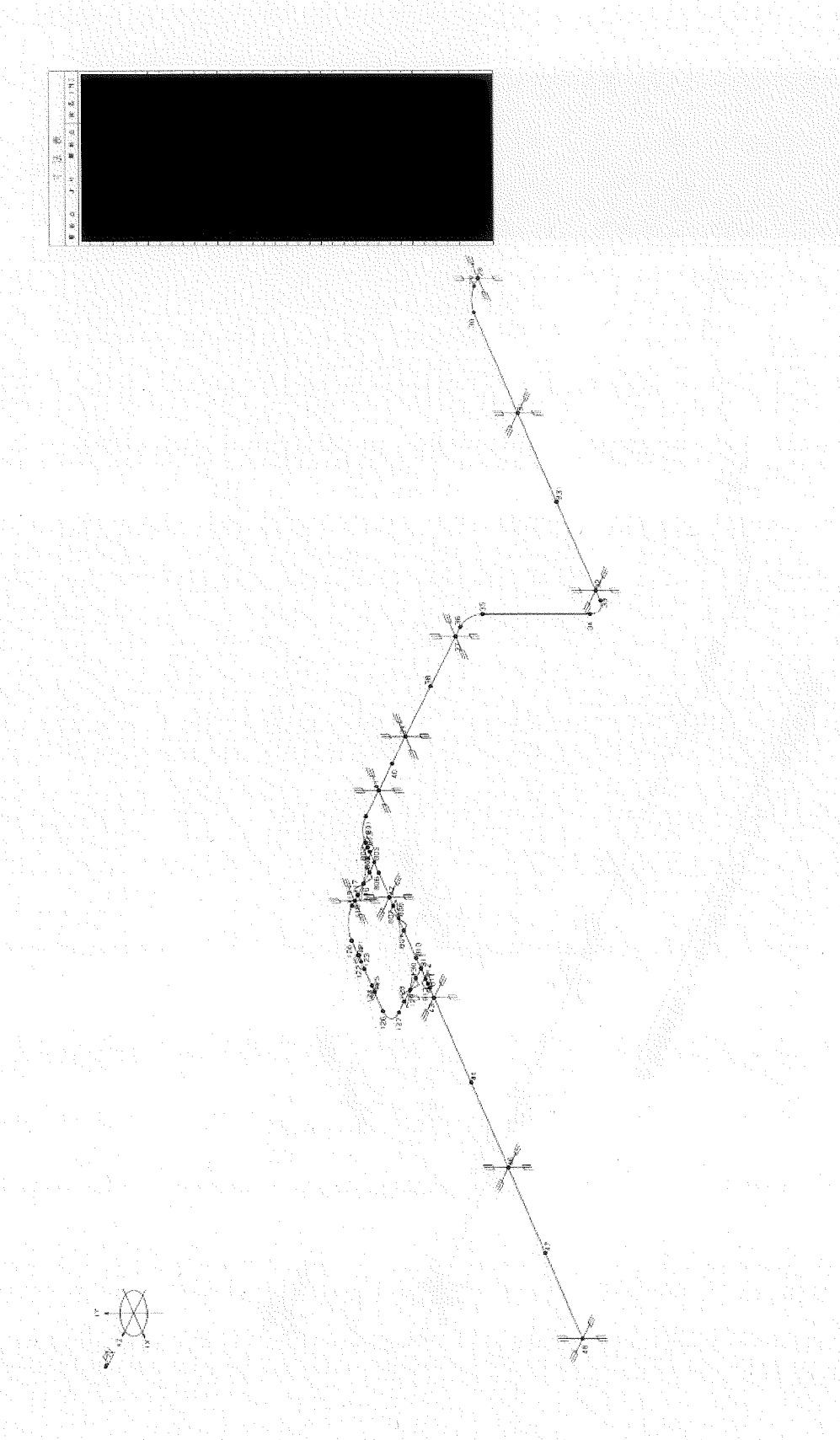
クラス2管

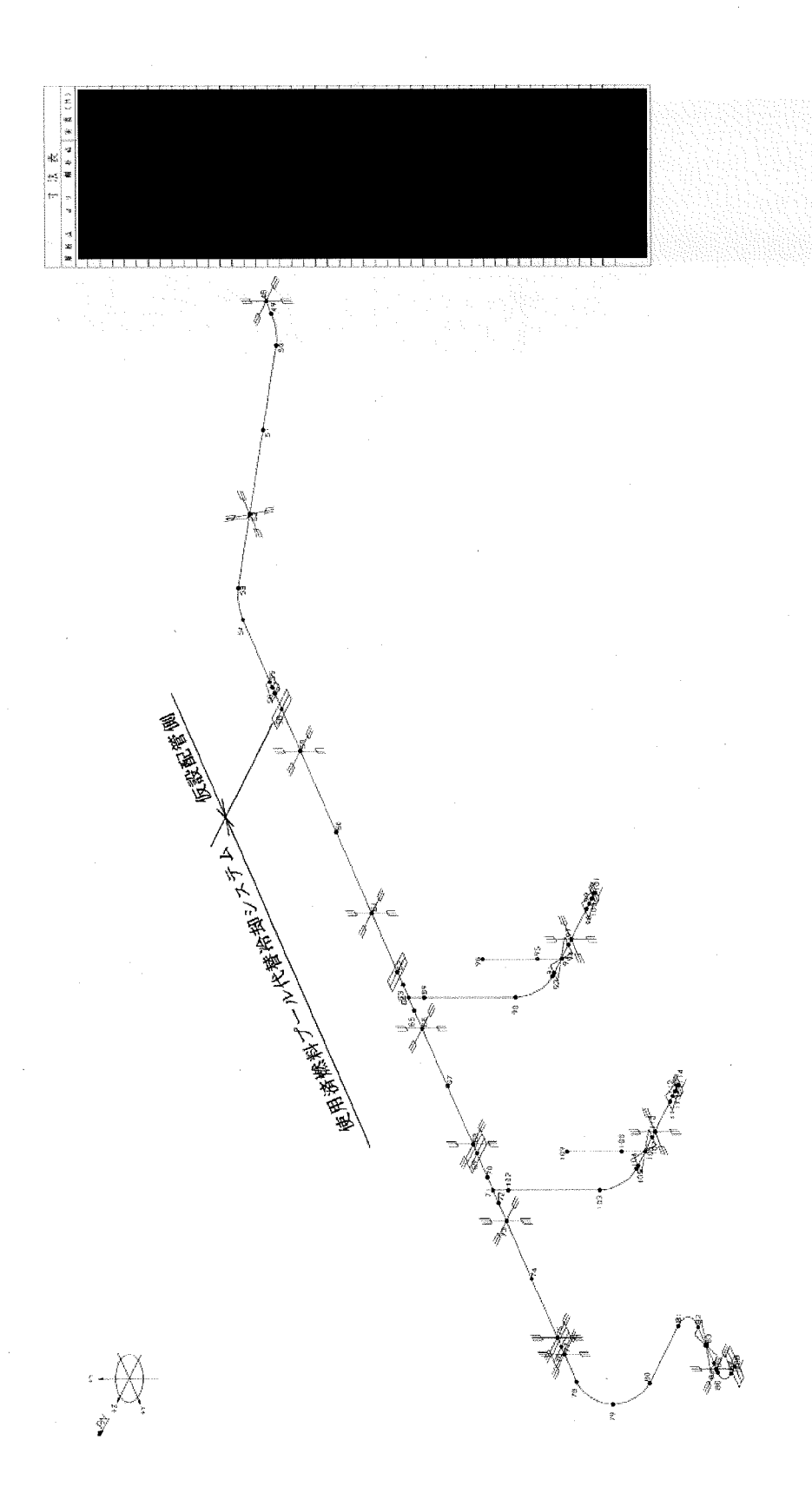
						力 評 価 IPa)	一次 + 二次 (MF		疲労評価
		供用	最大応力	最大応力	計算応力	許容応力	計算応力	許客応力	疲れ累積係数
鳥	數図	扶 瘾	評価点	区分	①+② ①+②+③	1.5 · S h 1.8 · S h	D+2+0 D+2+3+0	Sa(c) Sa(d)	in makini adalah dari dari dari dari dari dari dari dari
	•					5 y* 0.9 · S u	S s (S ₁) S s (S ₂)	2 · S y 2 · S y	US. US.
-		(A, B)	811	①+②.	61	139	33	232	
		(A, B)	101	①+②+④	29	139	115	232	
		(A, B)	811	①+2+3·	61	167	34	251	
KFP	C-901	(A, B)	101	①+②+③+④	30	167	116	251	
		C (∭AS)	101	D+2+3	77	189	74	378	
		C (III _A S)	114	S s (S ₃)	73	189	74	378	
		D (NaS)		1)+2)+3)					
		D (N _A S)		S s (S ₂)					

注記 *: オーステナイト系ステンレス鋼 及び 高ニッケル合金については Sy と 1. 2・Sh のうち大きい方の値とする。注:①は内圧応力(SP(SPm))②は自重応力(SMa)③は地震応力(他の短期的機械有重による応力を含む)(SMb) ④は二次応力(SMc)を示す。









解析結果及び評価
固有周期及び設計震度

鳥 瞰 図 KFPC-902

而才是	変クラス		В					
適用す	る地震動等	Sa及び静的震度						
- 10	m + m +s	応 答 水	平震度	鉛直震度				
モード	固有周期 (s)	X 方向	Z 方向	Y 方向				
1 次	0.089	0.00	0.00					
2 次	0.087	0,00	0.00					
3 次	0.072	0.00	0.00					
4 次	0.067	0.00	0.00	0.0				
5 次	0.061	0.00	0.00	0.0				
6 次	0.058	0.00	0.00	10.0 				
7 次	0.057	0.00	0.00					
8 次	0.055	0.00	0.00					
11 次	0.051	0.00	0.00					
12 次	0.048	1						
動的	为 震 度	0.36	0.36	0.10				
静的	的 震 度							

各モードに対応する刺激係数 鳥瞰図 KFPC-902

	FT - 6 - FT - 440	中	激係	数
モード	固有周期(s)	X 方向	Y 方向	Z 方 向
1 次	0.089	0. 287	0.001	0.002
2 次	0.087	0.124	0.003	0.078
3 次	0.072	0.010	0.002	0.156
4 次	0.067	0,095	0,003	0.089
5 次	0.061	0.072	0.032	0.128
6 次	0.058	0.014	0.067	0.020
7 次	0.057	0.054	0.002	0.033
8 次	0.055	0.353	0.005	0.007
11 次	0.051	0.034	0.050	0.009

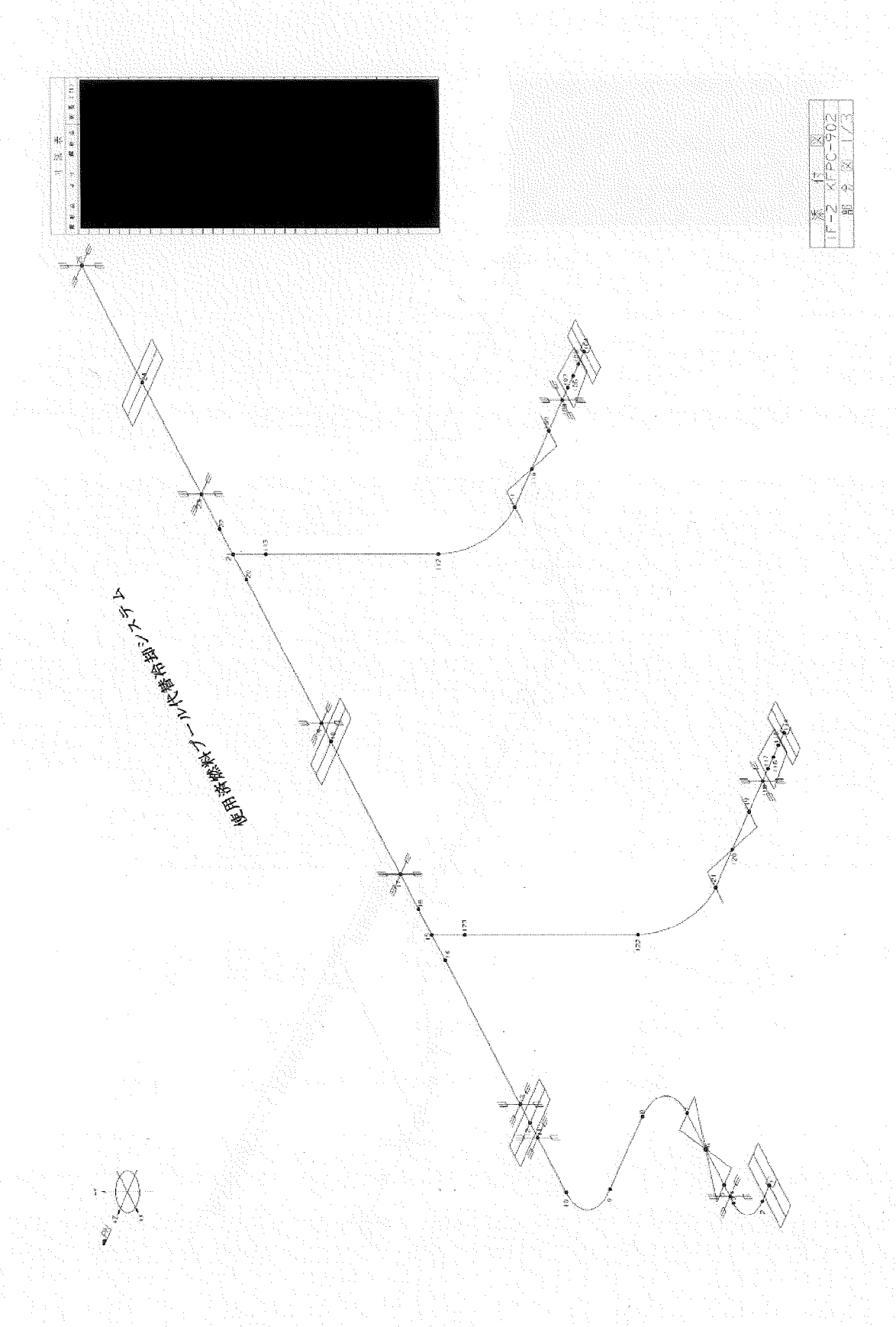
結 諸

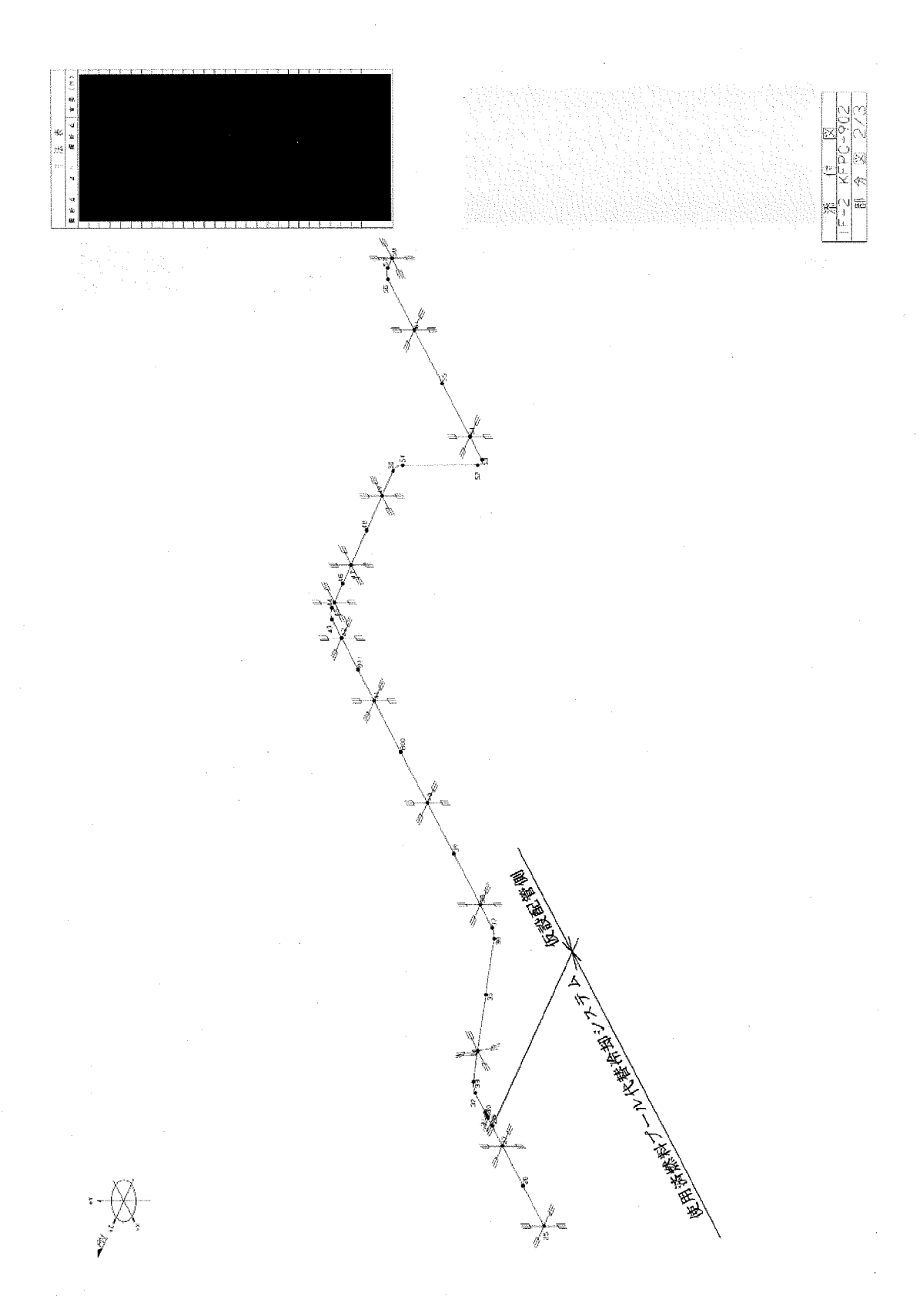
下表に示すごとく最大応力はすべて許容応力以下である。

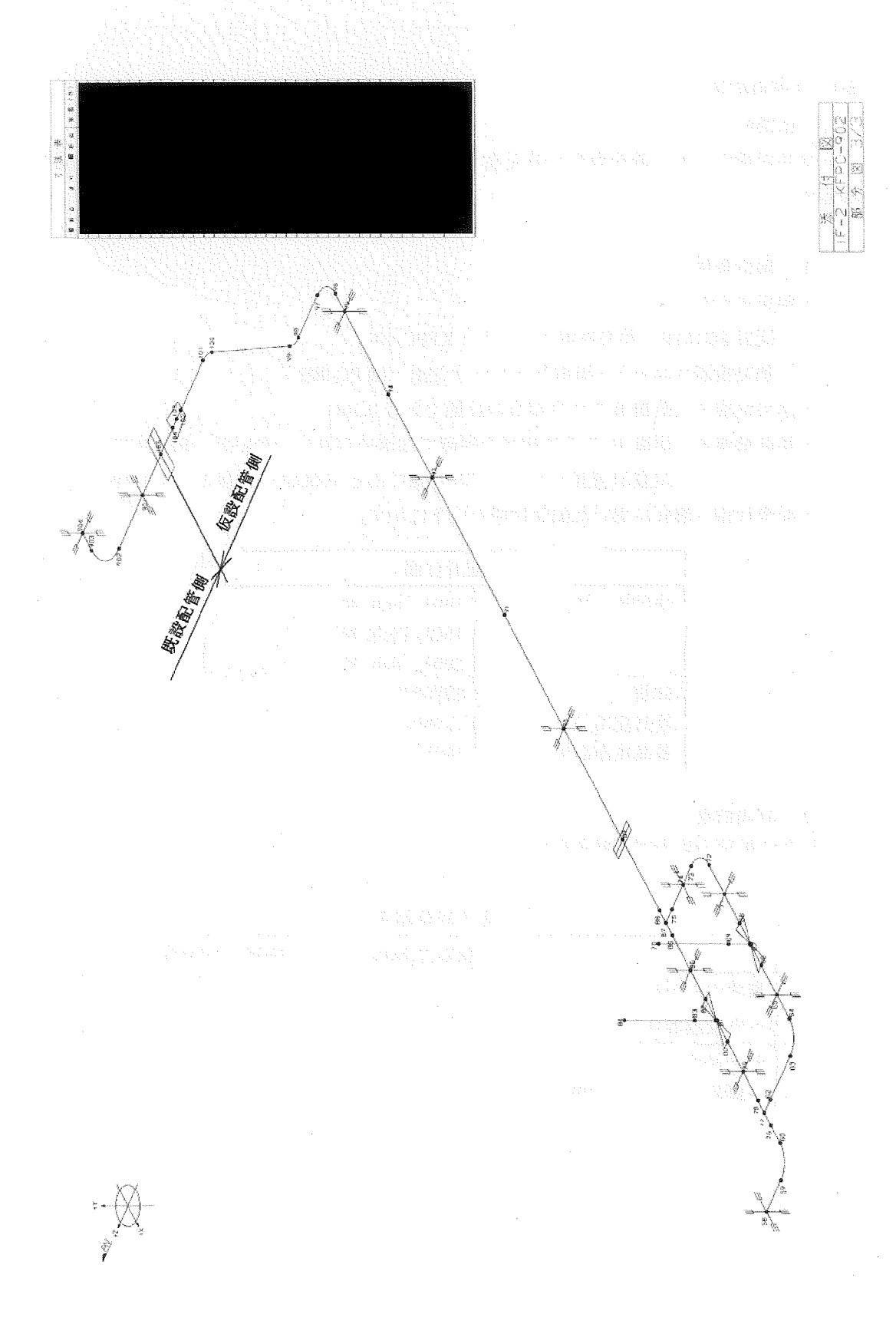
クラス2管

	e				力評価 MPa)	一次 + 二次 (MP	応力評価 a)	疲労評価
	供用	最大応力	最大応力	計算応力	許容応力	計算応力	許容応力	疲れ累積係数
鳥瞰図	状 態	評価点	区分	①+② ①+②+③	1.5 · S h 1.8 · S h	①+②+④ ①+②+③+④	Sa(c) Sa(d)	
_	-		î	01010	Sy* 0.9 · Su	Ss (S ₁) Ss (S ₂)	2 · S y 2 · S y	US ₁ US ₂
-	(A, B)	2	1)+2)	25	139	20	232	
	(A, B)	104	1+2+4	23	139	107	232	-
	(A, B)	2	1+2+3	25	167	20	251	
KFPC-902	(A, B)	104	1+2+3+4	24	167	108	251	
	C (MAS)	104	1+2+3	46	189	30	378	
	C (MAS)	114	S s (S ₁)	44	189	30	378	
	D (IVAS)		1+2+3				W 15	
	D (IVAS)		Ss (S ₂)	-		·		- <u> </u>

注記 *: オーステナイト系ステンレス鋼 及び 高ニッケル合金については Sy と $1.2 \cdot Sh$ のうち大きい方の値とする。注:①は内圧応力(SP(SPm))②は自重応力(SMa)③は地震応力(他の短期的機械荷重による応力を含む)(SMb)④は二次応力(SMc)を示す。







4.3 3 号機配管

(1) 耐震性

一次系設備のうち、既設取合~熱交換器ユニット間の配管についての耐震性の評価結果 を示す。

1. 解析条件

•解析モデル:

既設 FG101B~熱交換器ユニット: KFPC-901

熱交換器ユニット~既設ストレーナ 29B: KFPC-902

・水平地震力:耐震Bクラス相当の評価である0.36G

・鉛直地震力:耐震 B クラス相当の評価では求められていないが、鉛直方向における

地震加速度大トリップ設定値である 100Gal の担保として 0.10G

・配管仕様:解析に用いた配管仕様を以下に示す。

酉	配管仕様			
呼び径/厚さ	100A/Sch. 40			
	150A/Sch. 40			
	200A/Sch. 40			
材質	STPG370			
最高使用圧力	1.0MPa			
最高使用温度	100℃			

2. 評価結果

以下に配管の応力評価結果を示す。

応力評価結果

	一次応力[MPa]	許容応力[MPa]
既設 FG101B	83	173
~熱交換器ユニット	65	175
熱交換器ユニット	53	173
~既設ストレーナ 29B		173

解析結果及び評価

固有周期及び設計震度

鳥 瞰 図 KFPC-901

耐震ク	' ラス		В	
適用する	地震動等	SB	及び静的震	度
l	en & com	応 答 水	平 震 度	鉛直震度
モード・	固有周期 (s)	X 方向	Z 方 向	Y 方向
1 次	0. 146	0. 00	0.00	0.00
2 次	0. 132	0.00	0.00	0.00
3 次	0. 119	0.00	0.00	0.00
4次	0. 107	0.00	0, 00	0.00
5次	0. 102	0.00	0, 00	0.00
6 次	0. 100	0.00	0.00	0.00
7 次	0.074	0.00	0.00	0.00
8 次	0. 070	0.00	0.00	0.00
17 次	0.050	0.00	0, 00	0, 00
18 次	0.049		- Construction of the Cons	
動的	震度	0.00	0.00	
静的	震度	0.36	0.36	0.10

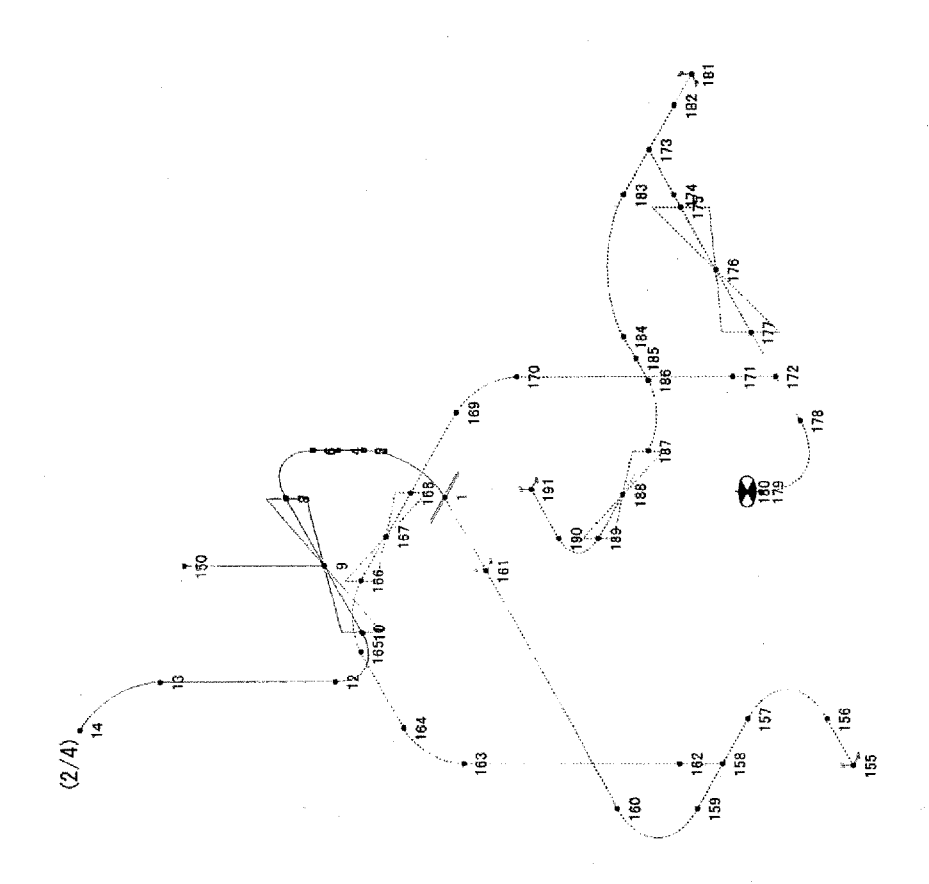
結論論

下表に示すごとく最大応力はすべて許容応力以下である。

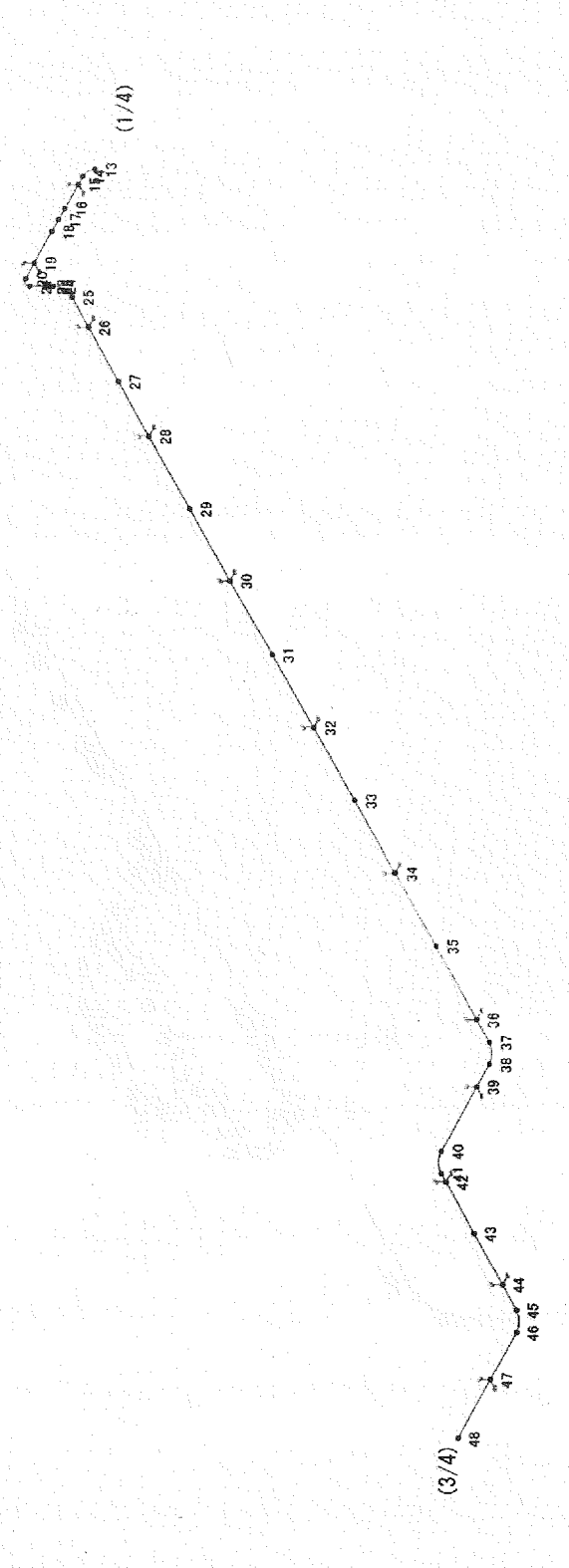
クラス 3.配管

				- 次 応 (M	カ 評 価 'a)	一 次 + 二 Z (MI	ス 応 力 評 価 ⁰a)
鳥歌図	供 用	最大応力	最大応力	計算忘力	許容応力	計算応力	許容応力
鳥 歌 図	状 態	評価点	区 分	①+② ①-②+③	1.5'S h 1.8'S h	①+②+④ ①-②+③+④	Sa(c) Sa(d)
	10.0				S y∗	S's (SB)	2.S y
	(A, B)	121	①+②	39	139	84	232
	(A, B)	23	(D+2)+4	11	139	124	232
	(A, B)	121	Û+2+3	39	167	85	251
KFPC-901	(A, B)	23	(D+2)+(3)-(4)	12	:167	125	251
	C (Bs S)	121	0+2+3	83	173	88	346
and a dready	C(BaS)	133	Ss(Sa)	73	173	94	346

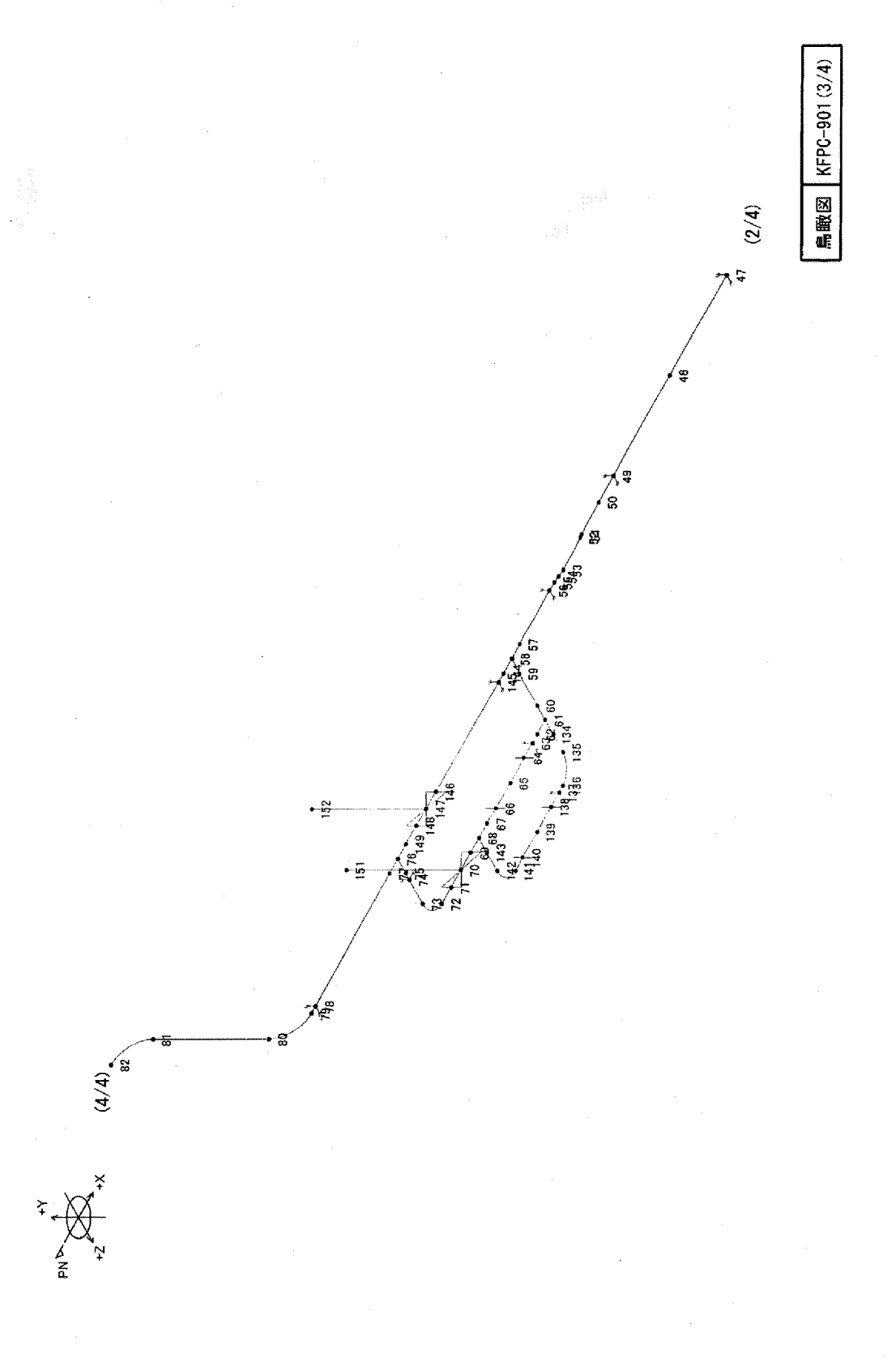
注記 *:オーステナイト系ステンレス銅 及び 高ニッケル合金については Sy と 1.2·Sh のうち大きいほうの値とする。 注:①は内圧応力(SPm) ②は自重応力(SMa) ③は地質応力(他の短葉的機械的荷重による応力を含む)(SMb) を示す。

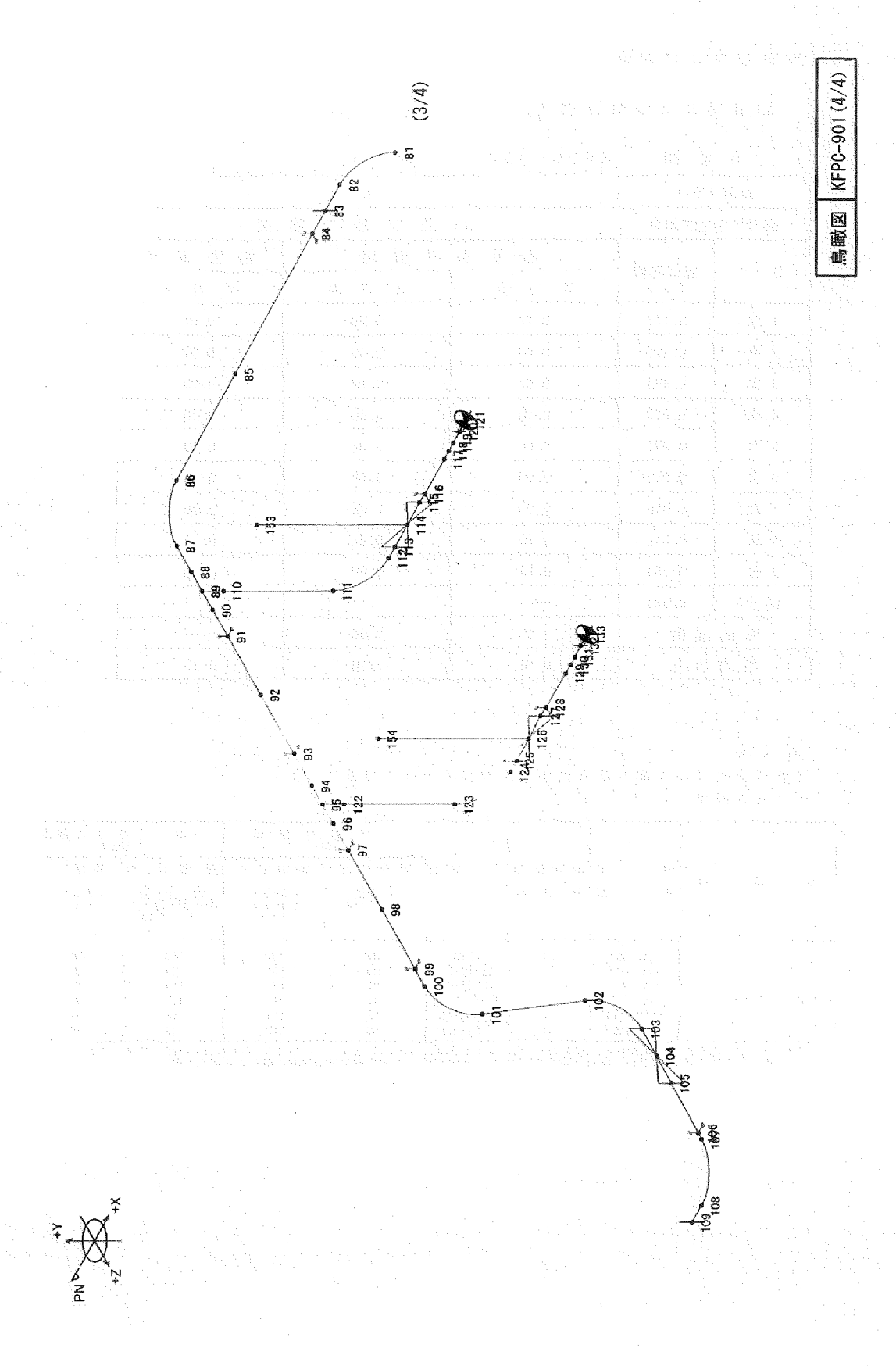






Na Z





解析結果及び評価

固有周期及び設計震度

鳥 瞰 図 KFPC-902

耐震。	クラス							В						
適用する	地震動等				SB	及	び	静	的	震	度			
ギーチ	固有周期		応	答	水	平	震	度			鉛	直	震	度
4-r	(3)	X	方	向			Z	方	ति		-	Y 🤈	5	前
1 次	0. 137		0. 00					0. 00				0.	00	
2 次	0, 105		0.00					0, 00				0.	00	
3 次	0. 081		0.00					0, 00				0.	00	
4 次	0. 077		0.00					0. 00				0.	00	
5 次	0. 072		0. 00					0. 00				0.	00	
6 次	0, 062	,	0. 00					0. 00				0.	00	
7 次	0. 056		0.00				-	0. 00			•	0.	00	
8 次	0. 054		0. 00					0. 00				0.	00	
9 次	0. 051		0. 00					0. 00				0.	00	
10 次	0. 045													
動的	震 度		0.00					0. 00						
静的	震 度		0. 36					0. 36				0.	10	

結 論

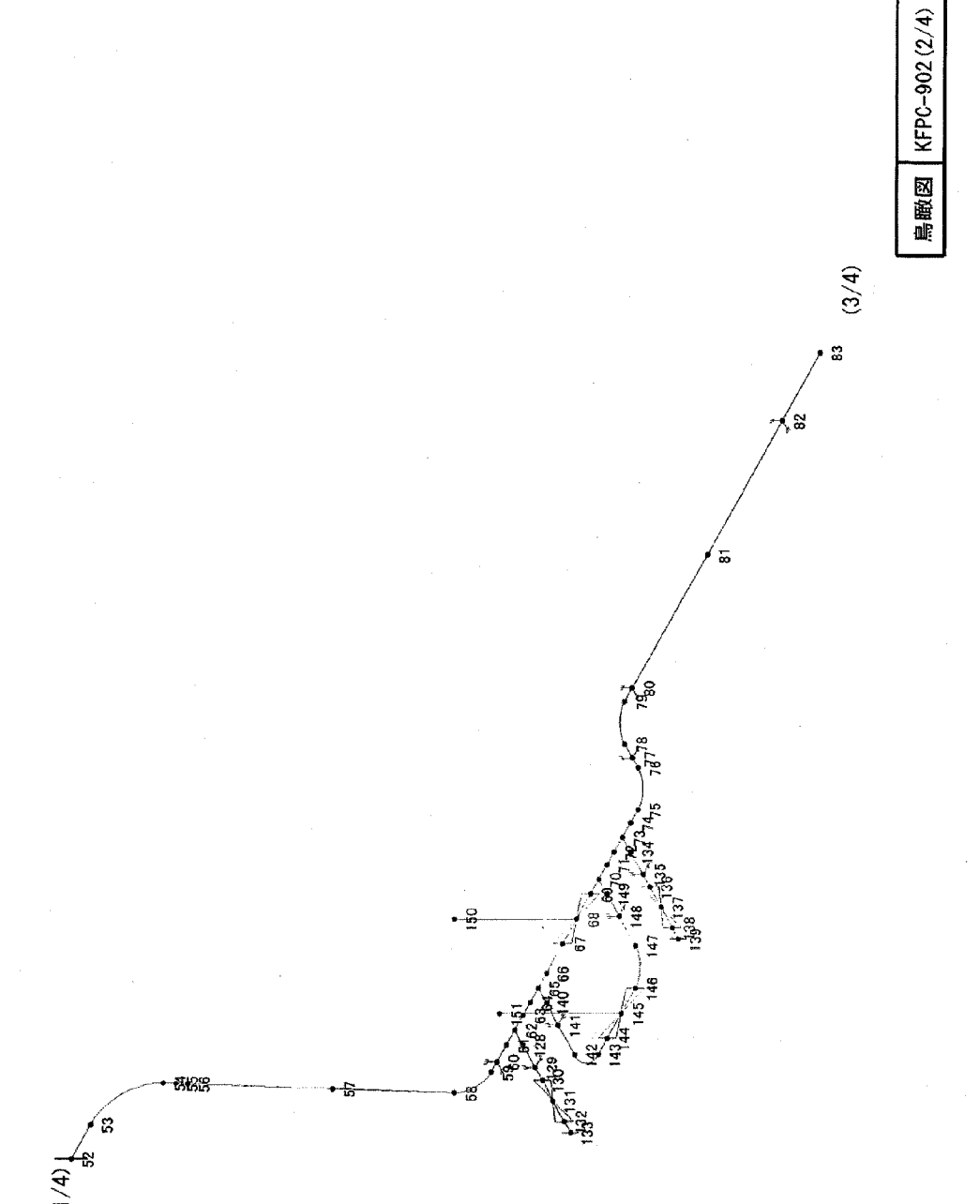
下表に示すごとく最大応力はすべて許容応力以下である。

クラス3配管

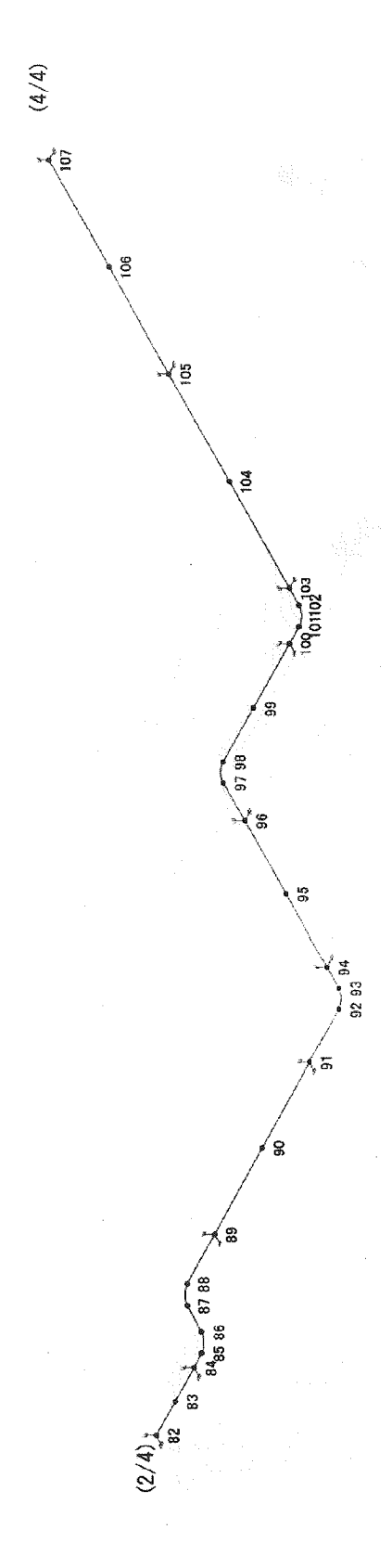
		<u></u>	,			次 応 (M	力評価 Pa)	- 次 + 二 č Ni	大応力評価 Pa)
1 ~	met.	cca	供 用	最大応力	最大応力	計算応力	許容応力	計算応力	許容応力
鳥	歐	Ø	状 態	評価点	区 分	0+2 0+2+3	1.5.5 h 1.8.5 h S y*	①+2+4 ①+2+3+4 S : (S)	Sa(c) Sa(d) 2·Sy
KFPG	C - 9 0 2	ulaundia Punkhamon (19	(A, B) (A, B) (A, B) (A, B) C(B _A S) C(B _A S)	1 15 1 15 1	0-0 0-0-0 0-0-0 0-2-0 0-0-0 ss(si)	30 29 31 30 53 53	139 139 167 - 167 173 173	115 126 116 127 48 48	232 232 251 251 346 346

性記 *: オーステナイト案ステンレス領 及び 高ニッケル合金については Sy と 1.2·Sh のうち大きいほうの値とする。 注: ①は内圧応力(SPm) ②は自重応力(SMa) ③は近露応力(他の短期的機械的荷重による応力を含む)(SMb) を示す。

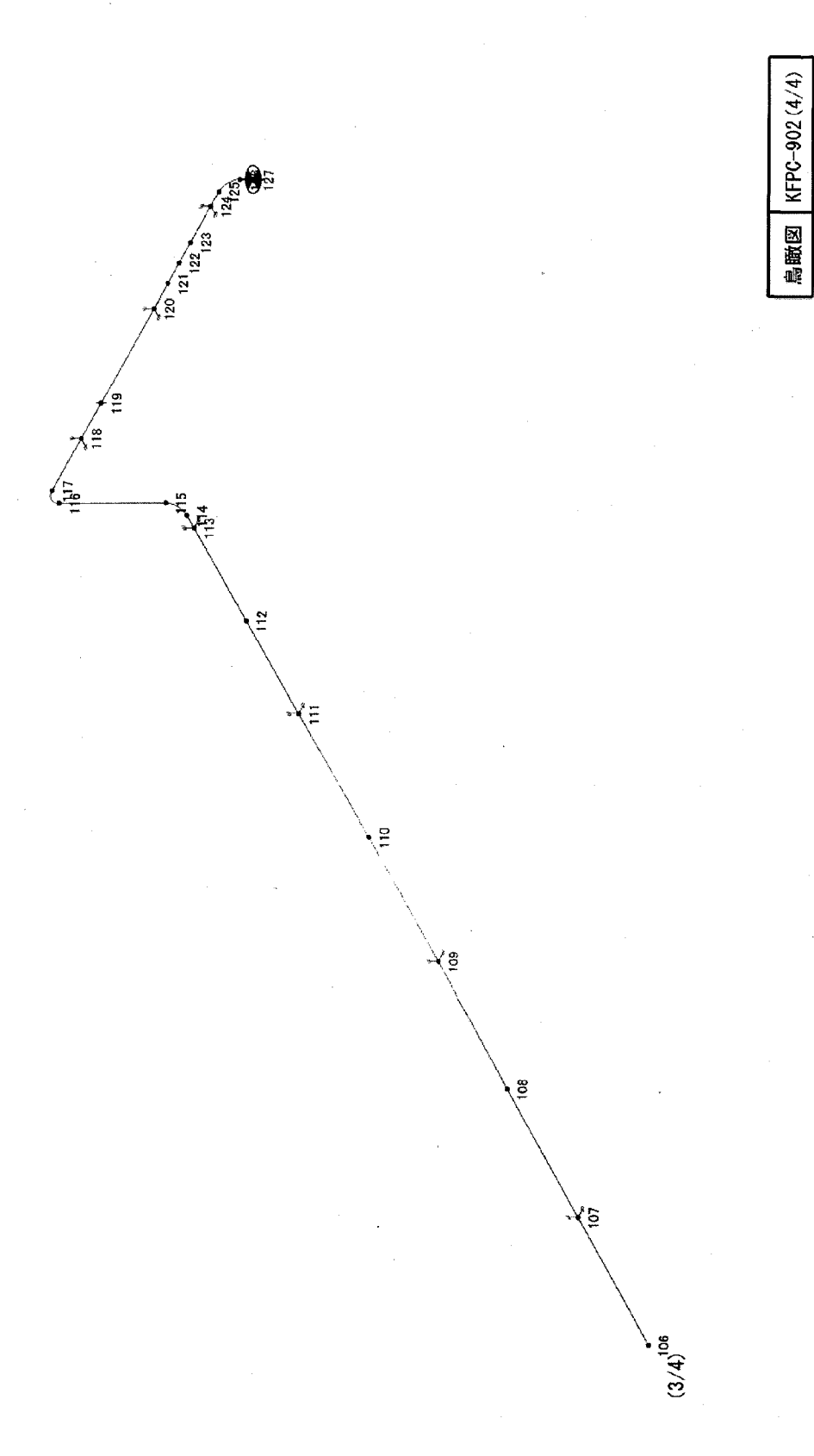
鳥瞰図 KFPC-902(1/4)











4.4 4号機配管

(1) 耐震性

一次系、二次系設備のうち、配管の耐震性についての評価結果を示す。

1. 評価条件

配管は、基本的に、配管軸直角2方向拘束サポートを用いた、両端単純支持の配管系 (両端単純支持はり構造)とする。また、配管は水平方向主体のルートを想定し、管軸 方向については、サポート設置フロアの水平方向震度を鉄と鉄の静止摩擦係数0.52 ^{注)} よりも小さいものとし、地震により管軸方向は動かないものと仮定する。

水平方向震度は、耐震 B クラス相当の評価である 0.36G とする。

2. 評価方法

水平方向震度が静止摩擦係数よりも小さく、地震により管軸方向は動かないと考えられることから、水平方向震度による管軸直角方向の配管応力評価を考える。

管軸直角方向の地震による応力は、下図に示す自重による応力の震度倍で表現でき (4.6)式で表すことができる。

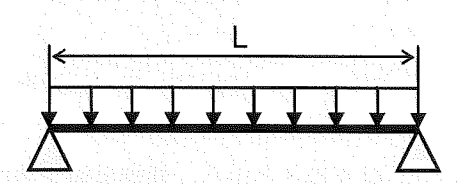
$$\cdot \quad Sw = \frac{wL^2}{8Z}$$

Sw: 自重による応力[MPa]

L: サポート支持間隔[mm]

Z: 断面係数[mm³]

w:等分布荷重[N/mm]



両端単純支持はりの等分布荷重より求まる自重による応力

• $Ss = \alpha Sw$

(4.6)

Sw: 自重による応力[MPa]

Ss:地震による応力[MPa]

α:水平方向震度

注) 日本機械学会編 機械工学便覧 α. 基礎編 表 4-1, α 2-27

また、崩壊制限に「JEAG4601 (1984 年版)」のクラス 2 配管の供用状態 Ds の場合の 一次応力制限を用いるとすると、地震評価としては(4.7)式で表すことができる。

• $S=Sp+Sw+Ss=Sp+Sw+\alpha Sw=Sp+(1+\alpha)Sw \le 0.9Su$ (4.7)

Sp:内圧による応力[MPa]

Sw: 自重による応力[MPa]

Ss:地震による応力[MPa]

S:内圧、自重、地震による応力[MPa]

α:水平方向震度

従って、上記(4.7)式を満足するように、配管サポート配置を設定することにより、 配管の崩壊は抑制できる。

3. 評価結果

両端単純支持はりで自重による応力 Sw=40[MPa]の配管サポート配置を仮定する。 配管設置フロアの水平方向震度を前述の 0.36、内圧による応力 Sp=10[MPa]、自重による応力 Sw=40[MPa]、許容応力を $STPT370[100^{\circ}]$ の 0.9Su=315[MPa]とし、(4.7)に代入すると以下となる。

• $S=Sp+(1+\alpha)Sw = 10+(1+0.36) \times 40 = 64.4[MPa] \le 0.9Su = 315[MPa]$ (4.8)

また、継手がある場合には、応力係数も存在する。例えば応力係数を 3 とし、(4.8)式の自重による応力 Sw に 3 を乗じ、Sw=120[MPa]とすると以下となる。

• $S=Sp+(1+\alpha)Sw\times 3=10+(1+0.36)\times 120=173.2[MPa] \le 0.9Su = 315[MPa] (4.9)$

以上のことから、両端単純支持はりで自重による応力 Sw を 40[MPa]程度の配管サポート配置とした場合、発生応力は許容応力に対して十分な裕度を有する結果となった。 なお、4 号機代表配管に対するサポート支持間隔等の値を以下に示す。 (サポート支持間隔が最も長くなる配管を選定)

F7 4▼	++ 元斤	サポート支	断面係数	配管自重	配管自重による応力
口径	材質	持間隔(mm)	(mm ³)	(N/mm)	(MPa)
150A/Sch40	STPT370				

4.5 1~4号機フレキシブルチューブ

(1) 耐震性

1~4号機フレキシブルチューブは、フレキシビリティを有しており、地震変位による有意な応力は発生しないと考えられる。フレキシブルチューブの仕様を以下に示す。

フレキシブルチューブ仕様

名 称		仕 様
1号機二次系フレキシブ	呼び径/厚さ	150A 相当/0.5mm
ルチューブ	材質	SUS304
	最高使用圧力	1.0MPa
	最高使用温度	60°C
2号機二次系フレキシブ	呼び径/厚さ	150A 相当/0.5mm
ルチューブ		200A 相当/0.6mm
	材質	SUS304
	最高使用圧力	0.5MPa
	最高使用温度	100℃
3号機二次系フレキシブ	呼び径/厚さ	150A 相当/0.5mm
ルチューブ		200A 相当/0.6mm
	材質	SUS304
	最高使用圧力	0.5MPa
	最高使用温度	100℃
4号機一次系フレキシブ	呼び径/厚さ	100A 相当/0.4mm
ルチューブ		150A 相当/0.5mm
	材質	SUS316L
	最高使用圧力	1.0MPa
	最高使用温度	100℃
4号機二次系フレキシブ	呼び径/厚さ	150A 相当/0.5mm
ルチューブ	材質	SUS316L
	最高使用圧力	1.0MPa
	最高使用温度	60°C

4.6 1号機/4号機ポリエチレン管

(1) 耐震性

1/4号機ポリエチレン管は、フレキシビリティを有しており、地震変位による有意な応力は発生しないと考えられる。ポリエチレン管の仕様を以下に示す。

ポリエチレン管仕様

名 称		一位,様
1号機二次系ポリエチレ	呼び径/厚さ	100A 相当/11.4mm
ン管		150A 相当/16.4mm
	材質	ポリエチレン
	最高使用圧力	1. 0MPa
	最高使用温度	40°C
4号機二次系ポリエチレ	呼び径/厚さ	50A 相当/5.8mm
ン管		150A 相当/16.4mm
	材質	ポリエチレン
	最高使用圧力	1. 0MPa
	最高使用温度	40°C

5. エアフィンクーラ、冷却塔

5.1 1号機エアフィンクーラ

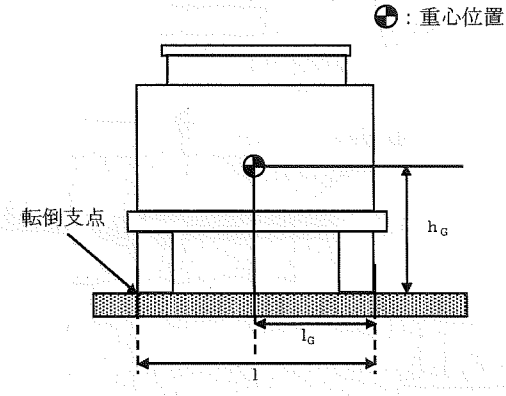
(1) 耐震性

1号機エアフィンクーラは、弁、配管と共にトレーラ上に搭載し、トレーラ含めてユニット化(以下、エアフィンクーラユニット)することで耐震性を向上させている。また、エアフィンクーラユニットについては、1号機原子炉建屋脇の屋外に設置し、敷鉄板と溶接等行い転倒防止策を講じている。これを踏まえ、耐震性の評価として、「建築設備耐震設計・施工指針(2005 年版)」を準用し、敷鉄板との溶接を考慮しない状態で、エアフィンクーラユニットに発生する垂直力により転倒評価を行った。

なお、評価においては水平方向震度を耐震 B クラス相当の評価である 0.36G とし、耐震設計審査指針上の耐震 B クラス相当の評価を行った。

a.転倒評価

機器に発生する垂直力は以下の計算式で算出することができる。



$$R_{b} = \frac{F_{H} \cdot h_{G} - (W - F_{V}) \cdot l_{G}}{l \cdot n_{t}}$$

$$= \frac{\{0.36 \times 1000 \times 1000 - (1000 - 0) \times 1000 \times 9.80665}{10000 \times 1000} \times 9.80665$$

$$= -2248.5[N] \rightarrow -2248[N]$$

ここに、 F_H : 設計水平地震力 $(K_H \cdot W) = 0.36 \cdot M$ = [kg]

K_H:設計用水平震度 = 0.36

W :機器重量 = [kg]

h_c:据付面より機器重心までの高さ = **[mm**]

F_v:設計用鉛直地震力 =0

ℓc:検討する方向からみた評価点から機器重心までの距離 = [mm]

ℓ :検討する方向から見た評価点スパン = [mm]

n . :機器転倒を考えた場合の引張を受ける評価点の数 =

転倒評価結果

設備名称	機器に発生する垂直力[N]	評価
1号機エアフィンクーラユニット	-2248	転倒しない

5.2 2 号機冷却塔

(1) 耐震性

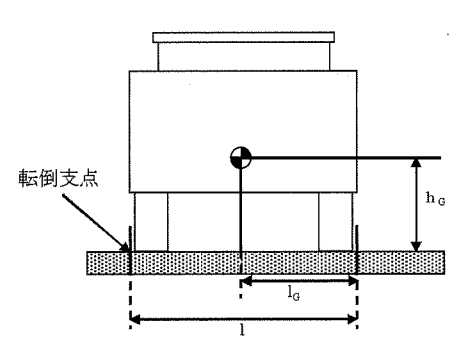
2号機冷却塔は、2号機FSTR建屋(フィルター・スラッジタンクルーム)の屋外に設置し、 杭またはワイヤーロープ等を用いた転倒防止策を講じているが、これら転倒防止策を考慮せず、耐 震性の評価として、「建築設備耐震設計・施工指針(2005年版)」を準用し、冷却塔に発生する垂 直力により転倒評価を行った。

なお、評価においては水平方向震度を耐震 B クラス相当の 0.36G とし、耐震設計審査指針上の耐震 B クラス相当の評価を行った。

a. 転倒評価

機器に発生する垂直力は以下の計算式で算出することができる。

→:重心位置



$$R_{b} = \frac{F_{H} \cdot h_{G} - (W - F_{V}) \cdot l_{G}}{l \cdot n_{t}}$$

$$= \frac{\{0.36 \times 10^{-4} \times 10^{-4} - 0) \times 10^{-4} \times 9.80665}{10^{-4} \times 10^{-4}}$$

$$= -680.3[N] \rightarrow -680[N]$$

ここに、 F_H : 設計水平地震力 $(K_H \cdot W) = 0.36 \cdot M$ = [kg]

 K_H: 設計用水平震度
 =0.36

 W:機器重量
 = kg

 h_G :据付面より機器重心までの高さ = [mm]

 F_{v} : 設計用鉛直地震力 =0

 $\ell_{\rm c}$:検討する方向からみた評価点から機器重心までの距離 = [mm]

 ℓ :検討する方向から見た評価点スパン = [mm] ℓ :機器転倒を考えた場合の引張を受ける評価点の数 = = ℓ

転倒評価結果

設備名称	機器に発生する垂直力[N]	評価
2号機冷却塔	-680	転倒しない

5.3 3号機冷却塔

(1) 耐震性

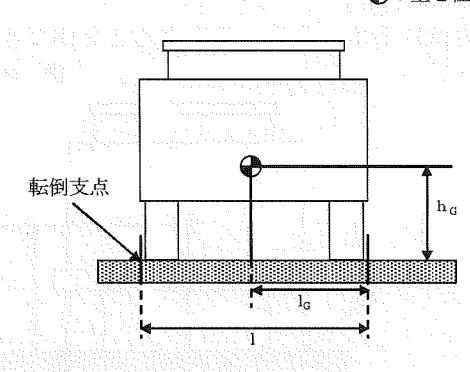
3号機冷却塔は、3号機廃棄物処理建屋の屋外に設置し、杭またはワイヤーロープ等を用いた転倒防止策を講じているが、これら転倒防止策を考慮せず、耐震性の評価として、「建築設備耐震設計・施工指針(2005年版)」を準用し、冷却塔に発生する垂直力により転倒評価を行った。

なお、評価においては水平方向震度を耐震 B クラス相当の 0.36G とし、耐震設計審査指針上の耐震 B クラス相当の評価を行った。

a. 転倒評価

機器に発生する垂直力は以下の計算式で算出することができる。

→:重心位置



$$\begin{split} R_b &= \frac{F_H \cdot h_G - (W - F_V) \cdot l_G}{l \cdot n_t} \\ &= \frac{\{0.36 \times 10^{-100} - (100 - 0) \times 10^{-100} \times 9.80665}{1000} \\ &= -3587.3[N] \rightarrow -3587[N] \end{split}$$

ここに、 F_H : 設計水平地震力 $(K_H \cdot W) = 0.36 \cdot M$ $= 0.36 \cdot M$ $= 0.36 \cdot M$

 K_H: 設計用水平震度
 =0.36

 W:機器重量
 = [kg]

h_G:据付面より機器重心までの高さ = [mm] (機器重心高さ [mm]+架台高さ

[mm])

 F_V :設計用鉛直地震力 =0

 $\ell_{\rm c}$:検討する方向からみた評価点から機器重心までの距離 = [mm]

 ℓ : 検討する方向から見た評価点スパン = [mm] n_t : 機器転倒を考えた場合の引張を受ける評価点の数 =

転倒評価結果

設備名称	機器に発生する垂直力[N]	評価
3号機冷却塔	-3587	転倒しない

5.4 4号機エアフィンクーラ

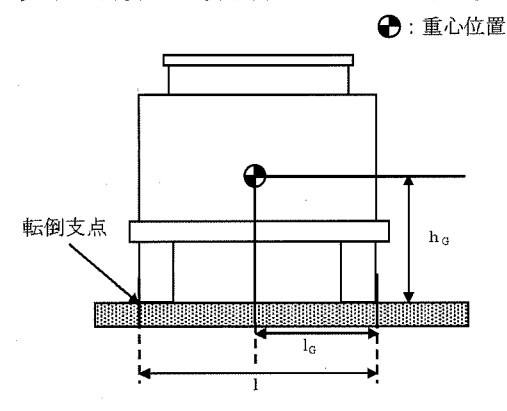
(1) 耐震性

4号機エアフィンクーラは、弁、配管と共にトレーラ上に搭載し、トレーラ含めてユニット化(以下、エアフィンクーラユニット)することで耐震性を向上させている。また、エアフィンクーラユニットについては、4号機共用プール建屋脇の屋外に設置し、敷鉄板と溶接等行い転倒防止策を講じている。これを踏まえ、耐震性の評価として、「建築設備耐震設計・施工指針(2005 年版)」を準用し、敷鉄板との溶接を考慮しない状態で、エアフィンクーラユニットに発生する垂直力により転倒評価を行った。

なお、評価においては水平方向震度 を耐震 B クラス相当の評価である 0.36G とし、耐震設計審査指針上の耐震 B クラス相当の評価を行った。

a. 転倒評価

機器に発生する垂直力は以下の計算式で算出することができる。



$$R_{b} = \frac{F_{H} \cdot h_{G} - (W - F_{V}) \cdot l_{G}}{l \cdot n_{t}}$$

$$= \frac{\{0.36 \times 1000 \times 10000 \times 10000 \times 10000 \times 10000 \times 10000 \times 1000 \times 1000 \times 1000 \times 1000 \times$$

ここに、 F_H : 設計水平地震力 $(K_H \cdot W) = 0.36 \cdot$ **kg**

 K_H: 設計用水平震度
 =0.36

 W:機器重量
 = [kg]

h_G:据付面より機器重心までの高さ = [mm]

F_v:設計用鉛直地震力 =0

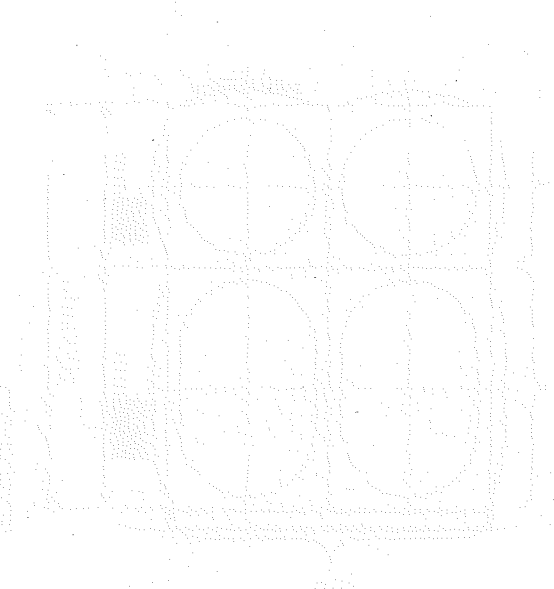
 $\ell_{\rm G}$:検討する方向からみた評価点から機器重心までの距離 = mm

 ℓ : 検討する方向から見た評価点スパン = [mm] n_t : 機器転倒を考えた場合の引張を受ける評価点の数 =

転倒評価結果

設備名称	機器に発生する垂直力[N]	評価
4号機エアフィンクーラユニット	-2248	転倒しない

原子炉圧力容器・格納容器ホウ酸水注入設備に係る補足説明



สารสาสมาราชายสารเสรีย์ การสาราชย์สามาราชา

4.53.54.5

in the second of the second of

I 原子炉圧力容器・格納容器ホウ酸水注入設備の構造強度及び耐震性について

1. ホウ酸水タンク

(1) 構造強度

ホウ酸水タンクについては、定格容量 20m³ (水位 2m) における静水圧に対し、実験により確認した側板及び底板の許容水圧が大きいことを確認しており、ほう酸水注入系における使用条件に対し、十分な構造強度を有していると評価している(図-1 参照)。

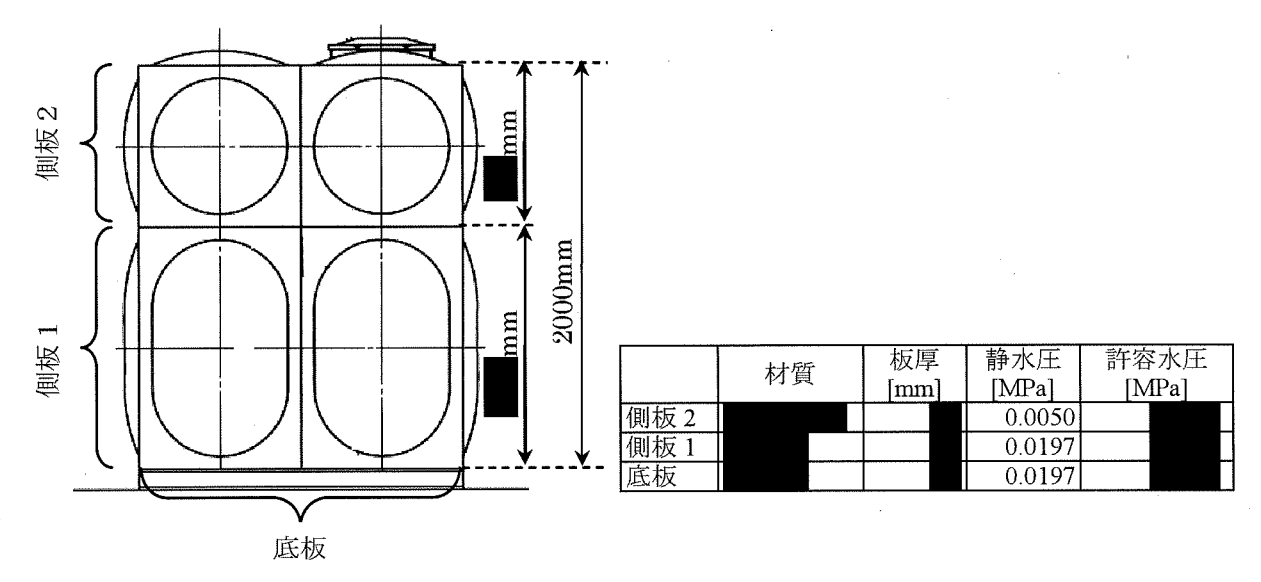


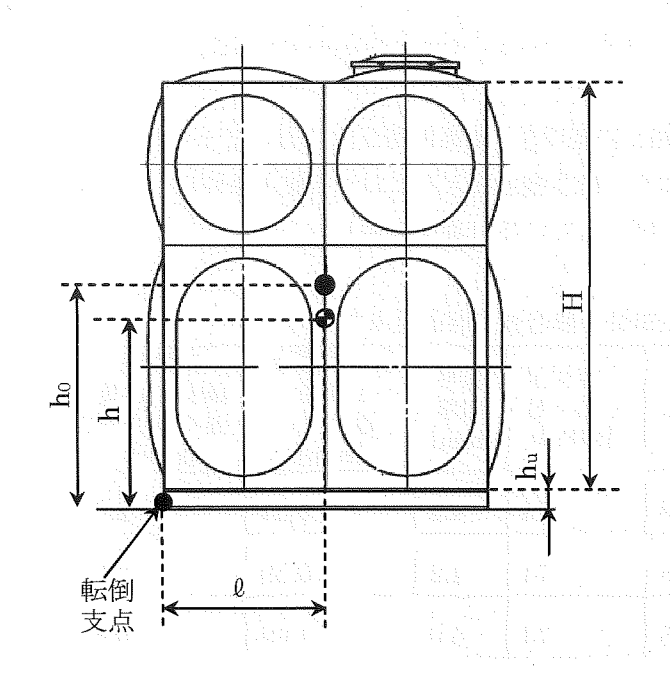
図-1 ホウ酸水タンクの構造強度評価結果

(2) 耐震性

ホウ酸水タンクは、事務本館脇海側駐車場に設置されており、ボルトにより 固定されていないことを踏まえ、耐震性の評価として、タンクが転倒しないこ との評価を行った。なお、基準地震動 Ss に対する動的解析を行うことが困難で あることから、静的地震力を用いて、耐震設計審査指針上の耐震 B クラス相当 の評価を行った。

a. ホウ酸水タンクの転倒評価

地震によるモーメントと自重によるモーメントを算出し、それらを比較することで転倒評価を行った。タンクが転倒するのは、地震によるモーメント>自重によるモーメントの場合であるが、評価の結果、地震によるモーメント
く自重によるモーメントであり、タンクが転倒しないことを確認した。



C_H: 水平方向加速度

【耐震 B クラス設備に適用される加速度: 0.36 (1.8Ci) 耐震 S クラス設備に適用される加速度: 0.72 (3.6Ci)

W : 機器重量 (**kg**)

g : 重力加速度

H : 水槽の高さ (mm)

h:据付面から水槽の重心までの高さ(mmm)

(保有水ありの場合)

ho: 据付面から水槽の重心までの高さ(mm)

(保有水なしの場合)

h_u : 受台高さ (mm)

ℓ : 転倒支点から機器重心までの距離 (mm)

地震によるモーメント: $M_1 = W \times g \times C_H \times h$ 自重によるモーメント: $M_2 = W \times G \times \ell$

■ 転倒評価 (保有水がある場合)

地震によるモーメント: $M_1 = W \times g \times C_H \times h$

自重によるモーメント: M2=W×g×ℓ

 $M_1 - M_2 = (WgC_H h) - (Wg\ell) = Wg(C_H h - \ell)$

 $C_H = 0.36$ の場合: $(C_H h - \ell) = -$

 $C_H = 0.72$ の場合: $(C_H h - \ell) = -$

■ 転倒評価(保有水がない場合)

地震によるモーメント: $M_1 = W \times g \times C_H \times h_0$

自重によるモーメント: $M_2 = W \times g \times \ell$

 $M_1 - M_2 = (WgC_H h_0) - (Wg\ell) = Wg(C_H h_0 - \ell)$

 $C_H = 0.36$ の場合: $(C_H h - \ell) = -$

 $C_H = 0.72$ の場合: $(C_H h - \ell) = -$

2. 鋼管

(1) 構造強度

鋼管については、「設計・建設規格」に基づき、最高使用圧力に対して十分な厚さを有していることを確認しており、ほう酸水注入系における使用条件に対し、十分な構造強度を有していると評価している(表-1参照)。

表-1 ホウ酸水注入系における鋼管の構造強度評価結果*1

	材料	外径 : D ₀ [mm]	最高 使用 圧力 : P [MPa]	許容引張 応力:S [MPa]	公称 肉厚 [mm]	管の計算上 必要な 厚さ:t [mm]	炭素鋼 鋼管の必要 最小厚さ ^{※2} [mm]
ホウ酸水タン クから	SGP	76.3	0.98	74	4.2	0.51	2.7
ホウ酸水タンク出口ヘッダ	SGP	89.1	0.98	74	4.2	0.59	3.0
まで	SGP	165.2	0.98	74	5.0	1.09	3.8

^{※1} 長手継手の効率 η は全て 1

■ 内圧を受ける直管

最高使用圧力に対する直管の厚さは、(式 1-1) により計算した値および表-2 に定める値のいずれか大きい方の値以上でなければならない。

$$t = \frac{PD_0}{2S\eta + 0.8P} \qquad (\not \stackrel{?}{\gtrsim} 1-1)$$

t:管の計算上必要な厚さ (mm)

P:最高使用圧力 (MPa)

D₀: 管の外径 (mm)

S:最高使用温度における「設計・建設規格 付 録材料図 表 Part5 表 5」に規定する材料 の許容引張応力 (MPa)

η: 長手継手の効率で、「設計・建設規格 PVC-3130」に定めるところによる。

^{※2} 表-2に定める値

表-2 炭素鋼鋼管の必要最小厚さ

管の外径 (mm)	管の厚さ (mm)		
25 未満	1.4		
25 以上 38 未満	1.7		
38 以上 45 未満	1.9		
45 以上 57 未満	2.2		
57 以上 64 未満	2.4		
64 以上 82 未満	2.7		
82 以上 101 未満	3.0		
101 以上 127 未満	3.4		
127 以上	3.8		

汚染水処理設備等に係る補足説明

. The second second

The second second section is

I 汚染水処理設備等の構造強度及び耐震性について

汚染水処理設備等を構成する設備について,構造強度評価の基本方針及び耐震性評価の 基本方針に基づき構造強度及び耐震性等の評価を行う。

- 1. 汚染水処理設備, 貯留設備 (タンク等) 及び関連設備 (移送配管, 移送ポンプ等)
- 1.1. 基本方針

1.1.1. 構造強度評価の基本方針

汚染水処理設備, 貯留設備及び関連設備を構成する機器は,「発電用原子力設備に関する技術基準を定める省令」において, 廃棄物処理設備に相当するクラス 3 機器と位置付けられる。この適用規格は,「JSME S NC-1 発電用原子力設備規格 設計・建設規格」(以下,「設計・建設規格」という。)で規定されるものであるが, 設計・建設規格は, 鋼材を基本とした要求事項を設定したものであり, ポリエチレン管等の非金属材についての基準がない。

従って、鋼材を使用している設備については、設計・建設規格のクラス 3 機器相当での評価を行い、非金属材料については、当該設備に加わる機械的荷重により損傷に至らないことをもって評価を行う。この際、JIS や独自の製品規格等を有している場合や、試験等を実施した場合はその結果などを活用できるものとし、評価を行う。

また、構造強度に関連して経年劣化の影響を評価する観点から、原子力発電所での 使用実績がない材料を使用する場合は、他産業での使用実績等を活用しつつ、必要に 応じて試験等を行うことで、経年劣化の影響についての評価を行う。なお、試験等の 実施が困難な場合にあっては、巡視点検等による状態監視を行うことで、健全性を確 保する。

1.1.2. 耐震性評価の基本方針

汚染水処理設備等を構成する機器のうち放射性物質を内包するものは,「発電用原子炉施設に関する耐震設計審査指針」の B クラス相当の設備と位置づけられる。耐震性を評価するにあたっては,「JEAC4601原子力発電所耐震設計技術規程」(以下,「耐震設計技術規程」という。)等に準拠して構造強度評価を行うことを基本とするが,評価手法,評価基準について実態にあわせたものを採用する。B クラス施設に要求される水平震度に対して耐震性を確保できない場合は,その影響について評価を行う。支持部材がない等の理由によって,耐震性に関する評価ができない設備を設置する場合においては,可撓性を有する材料を使用するなどし,耐震性を確保する。

なお、汚染水処理設備等のうち高濃度の滞留水を扱う設備等については、参考としてSクラス相当の評価を行う。

1.2. 評価結果

1.2.1. 滯留水移送装置

(1) 構造強度評価

材料証明書がなく、設計・建設規格におけるクラス 3 機器の要求を満足するものではないが、漏えい試験等を行い、有意な変形や漏えい、運転状態に異常がないことを確認した。従って、滞留水移送装置は必要な構造強度を有すると評価した。

(2) 耐震性評価

移送ポンプは、水中ポンプのため地震により有意な応力は発生しない。

1.2.2. 油分分離装置

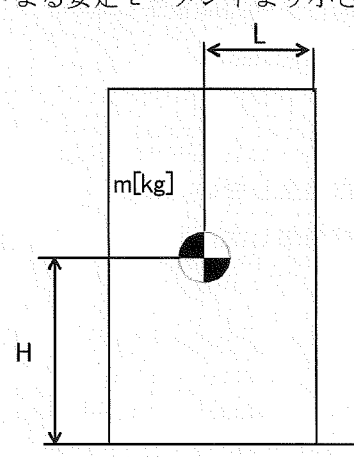
(1) 構造強度評価

材料証明書がなく、設計・建設規格におけるクラス 3 機器の要求を満足するものではないが、漏えい試験等を行い、有意な変形や漏えい、運転状態に異常がないことを確認した。従って、油分分離装置は必要な構造強度を有すると評価した。

(2) 耐震性評価

a. 転倒評価

地震による転倒モーメントと自重による安定モーメントを算出し、それらを比較することにより転倒評価を実施した。評価の結果、地震による転倒モーメントは自重による安定モーメントより小さいことから、転倒しないことを確認した(表-1)。



m : 機器質量 (**kg**)

g : 重力加速度 (9.80665 m/s²)

H : 据付面からの重心までの距離 (m)

C_H: 水平方向設計震度 (0.36, 0.57)

L: 転倒支点から機器重心までの距離

사 뭐 그 있는 그 전화 없다는 그렇게 하는 것 같은 것 같다.

地震による転倒モーメント: $M_1[N \cdot m] = m \times g \times C_H \times H$

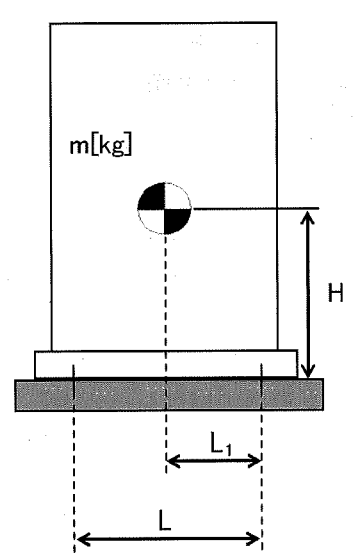
 C_{H} =0.36 の場合 M_{1} = 49,615 N·m \rightarrow 50 kN·m

 $C_{H}=0.57$ の場合 $M_{1}=78,558$ N·m $\rightarrow 79$ kN·m

自重による安定モーメント: $M_2[N \cdot m] = m \times g \times L = 83,942 \text{ N·m} \rightarrow 83 \text{ kN·m}$

b. 基礎ボルトの強度評価

耐震設計技術規程の強度評価方法に準拠して評価を実施した。評価の結果、基礎ボルトの強度が確保されることを確認した(表-1)。



m : 機器質量 (kg)

g : 重力加速度 (9.80665 m/s²)

H: 据付面からの重心までの距離 (mm)

L : 基礎ボルト間の水平方向距離 (_______ m

L₁ : 重心と基礎ボルト間の水平方向距離 (mm)

n_f: 引張力の作用する基礎ボルトの評価本数 (▼本)

n : 基礎ボルトの本数 (本)

A_b : 基礎ボルトの軸断面積 (mm²)

C_H: 水平方向設計震度 (0.36, 0.57)

C_v : 鉛直方向設計震度 (0)

基礎ボルトに作用する引張力: $F_b = \frac{1}{L} \Big(m \times g \times C_H \times H - m \times g \times (1 - C_V) \times L_1 \Big)$

 C_{H} =0.36 の場合 F_{b} = -16,481 N < 0 よって、引張力は発生しない。

 C_{μ} =0.57 の場合 F_{b} = -2,585 N < 0 よって、引張力は発生しない。

基礎ボルトの引張応力: $\sigma_b = \frac{F_b}{n_f \times A_b}$

 C_{H} =0.36 の場合 F_{b} < 0 のため、引張応力は発生しない。

 C_{H} =0.57 の場合 F_{h} < 0 のため、引張応力は発生しない。

基礎ボルトのせん断応力: $\tau_b = \frac{m \times g \times C_H}{n \times A_b}$

 $C_{\rm H}$ =0.36 の場合 $\tau_{\rm b}$ = 23.04 \rightarrow 24 MPa

 C_{H} =0.57 の場合 τ_{h} = 36.48 \rightarrow 37 MPa

また, 許容応力は, 以下の式で設定した。

基礎ボルトの許容せん断応力: $f_{sb}=1.5rac{F}{1.5\sqrt{3}}$

ここで、F は設計・建設規格 付属図表 part5 表 8 及び表 9 より、SS400 の設計温度 66℃における Sy 値、Su 値を線形補間した値を用い、下記式にて設定した。

F = min (Sy, 0.7Su)

・Sy:表8より 40℃:235 MPa, 75℃:222 MPa

 $Sy = 222 + (235 - 222) \times (75-66)/(75-40) = 225 MPa$

• Su 40°C : 400 MPa, 75°C : 381 MPa

 $Su = 381 + (400 - 381) \times (75-66)/(75-40) = 385 \text{ MPa}$

従って、F = min (Sy, 0.7Su) = min (225, 0.7×385) = 225 MPa

基礎ボルトの許容せん断応力は以下の通りとなる。

$$f_{sb} = 1.5 \frac{F}{1.5\sqrt{3}} = 129 \text{ MPa}$$

表-1 油分分離装置耐震評価結果

機器名称	評価部位	評価項目	水平震度	算出値	許容値	単位
	本体	声 : (本)	0.36	50	00	1 37
	* 14	転倒	0. 57	79	83	kN·m
油分分離装置		せん断	0.36	24	100	340
四刀刀触表	基礎ボルト	せ <i>心</i> 胸	0. 57	37	129	MPa
	卒帳407とい	引張	0.36	<0		MPa
		71 💢	0.57	<0		мга

4

1.2.3. 処理装置(セシウム吸着装置)

(1) 構造強度評価

材料証明書がなく、設計・建設規格におけるクラス 3 機器の要求を満足するものではないが、漏えい試験等を行い、有意な変形や漏えい、運転状態に異常がないことを確認した。

また,吸着塔の円筒型容器については,設計・建設規格に準拠し,板厚評価を実施 した。評価の結果,内圧に耐えられることを確認した(表-2)。

t: 胴の計算上必要な厚さ

PDi Di: 胴の内径 (mm)

2S n − 1.2P P : 最高使用圧力 (0.97 MPa)

= 6.76 mm S : 最高使用温度 (66℃) における

→ 6.8 mm 材料 (SUS316L) の許容引張応力 (108 MPa)

η : 長手継手の効率 (0.60)

ただし、t の値は炭素鋼、低合金鋼の場合は t=3[nm]以上、その他の金属の場合は t=1.5[nm]以上とする。

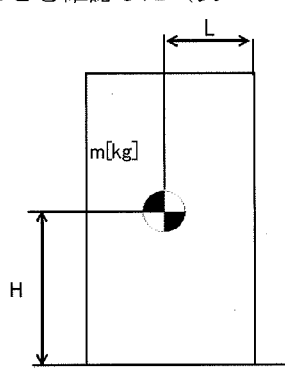
表-2 セシウム吸着装置構造強度結果

機器名称	評価部位	必要肉厚[mm]	実厚[mm]
セシウム吸着装置 吸着塔	板厚	6.8	9.5

(2) 耐震性評価

a. 転倒評価

地震による転倒モーメントと自重による安定モーメントを算出し、それらを比較することにより転倒評価を行った。評価に用いた数値を表-3-1に示す。評価の結果、地震による転倒モーメントは自重による安定モーメントより小さいことから、転倒しないことを確認した(表-3-3)。



m : 機器質量

g : 重力加速度 (9.80665 m/s²) H : 据付面からの重心までの距離

L: 転倒支点から機器重心までの距離

C_H: 水平方向設計震度 (0.36, 0.51, 0.57)

地震による転倒モーメント: $M_1[N \cdot m] = m \times g \times C_H \times H$ 自重による安定モーメント: $M_2[N \cdot m] = m \times g \times L$

Н L M_1 M, 機器名称 $C_{\rm H}$ $\lceil m \rceil$ [m] $[N \cdot m]$ $[N \cdot m]$ 89,879 0.36 セシウム → 90 kN·m 130, 209 吸着塔 → 130 kN·m 127, 328 0.51 → 128 kN·m 512,018 0.36 スキッド → 513 kN·m 881, 804 (本体) 810,695 → 881 kN·m 0.57 → 811 kN·m 615, 632 0.36 スキッド → 616 kN·m 958, 825 (基礎) 974, 751 → 958 kN·m 0.57 → 975 kN·m 143, 165 0.36 セシウム吸着 → 144 kN·m 175, 759 処理水タンク 226, 677 \rightarrow 175 kN·m 0.57 → 227 kN·m 2,086 セシウム吸着 0.36 \rightarrow 2.1 kN·m 7, 293 処理水移送 3, 303 \rightarrow 7.2 kN·m ポンプ 0.57 \rightarrow 3.4 kN·m

表-3-1 セシウム吸着装置の転倒評価数値根拠

b. 滑動評価

地震時の水平荷重によるすべり力と接地面の摩擦力を比較することにより、滑動評価を実施した。評価の結果、地震時の水平荷重によるすべり力は接地面の摩擦力より小さいことから、滑動しないことを確認した(表 - 3 - 3)。なお、S クラス相当の評価では、セシウム吸着塔において地震時の水平荷重によるすべり力が接地面の摩擦力より大きくなったことから、FEM によるによるトラニオンとピンガイドの強度評価を行った。

地震時の水平荷重によるすべり力 : $F_L = C_H \times m \times g$ \rightarrow $F_L / (m \times g) = C_H$ 接地面の摩擦力 : $F_\mu = \mu \times m \times g$ \rightarrow $F_\mu / (m \times g) = \mu$

m : 機器質量 g : 重力加速度

C_H: 水平方向設計震度 (0.36, 0.57)

μ : 摩擦係数 (鉄/鉄:0.52)

c. FEMによるトラニオンとピンガイドの強度評価

セシウム吸着塔は、本体下部に位置決めのためのトラニオンが施工されており、スキッド側ピンガイドと取合構造となっている(図-1参照)。

b. 滑動評価において、地震時の水平荷重によるすべり力が接地面の摩擦力より大きくなったことから、軸方向荷重及び軸直交方向荷重を想定し、トラニオンとピンガイドの強度を FEM により確認する。なお、FEM モデルは、ピンガイドについては各部材の中立面にシェル要素で、トラニオンはソリッド要素で作成した(図-2参照)。FEM による強度評価の結果ピンガイドは破断せず吸着塔を支持することを確認した(表-3-3)。

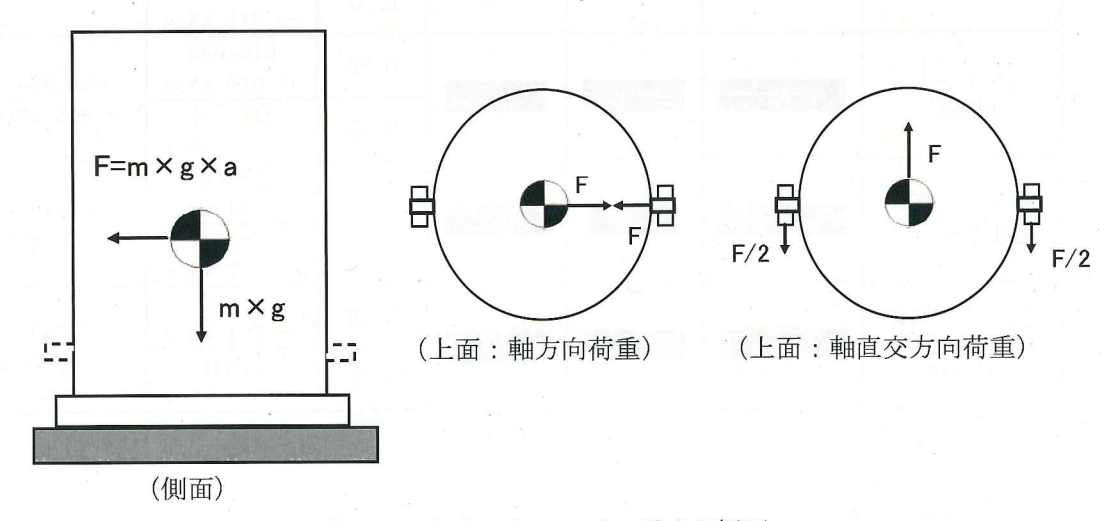
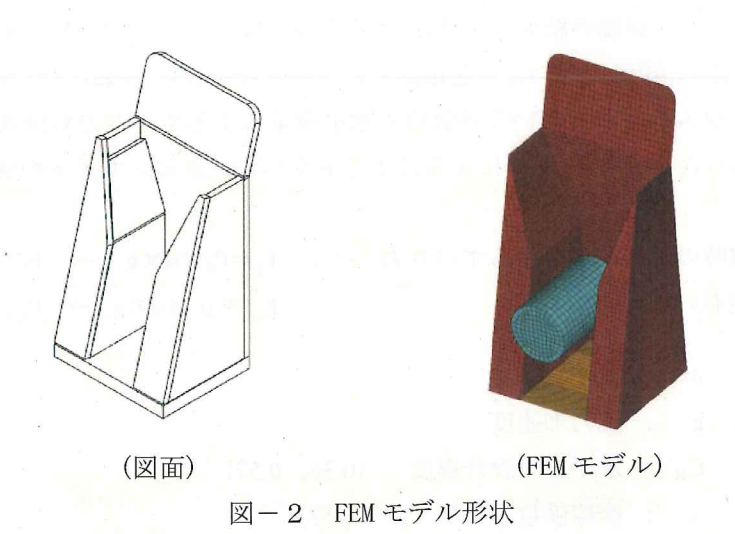
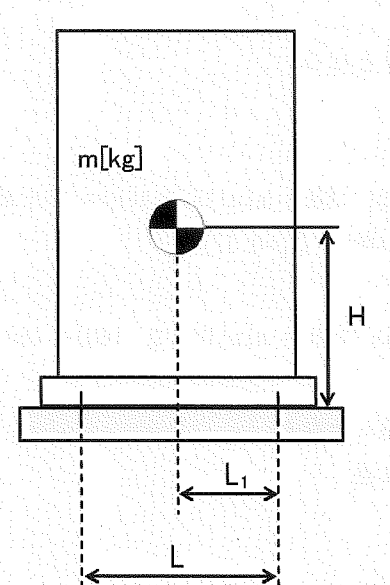


図-1 トラニオン~ピンガイド概要



d. 基礎ボルトの強度評価

耐震設計技術規程の強度評価方法に準拠して評価を実施した。評価に用いた数値を表-3-2に示す。評価の結果、基礎ボルトの強度が確保されることを確認した(表-3-3)。



m : 機器質量

g : 重力加速度 (9.80665 m/s²)

H: 据付面からの重心までの距離

L: 基礎ボルト間の水平方向距離

L1: 重心と基礎ボルト間の水平方向距離

n_f: 引張力の作用する基礎ボルトの評価本数

n : 基礎ボルトの本数

Ab: 基礎ボルトの軸断面積

C_H: 水平方向設計震度 (0.36, 0.57)

C_v : 鉛直方向設計震度 (0)

基礎ボルトに作用する引張力 : $F_b = \frac{1}{L} \Big(m \times g \times C_H \times H - m \times g \times (1 - C_V) \times L_1 \Big)$

基礎ボルトの引張応力: $\sigma_b = \frac{F_b}{n_f \times A_b}$

基礎ボルトのせん断応力: $\tau_b = \frac{m \times g \times C_H}{n \times A_b}$

また, 許容応力は, 以下の式で設定した。

基礎ボルトの許容せん断応力: $f_{sb}=1.5rac{F}{1.5\sqrt{3}}$

基礎ボルトの許容引張応力 : $f_{ts} = \min \left(1.4 f_{to} - 1.6 \tau_{b}, f_{to}\right)$

ここで、F は設計・建設規格 付属図表 Part 5 表 8 及び表 9 より、SS400 の設計温度 66 における Sy 値、Su 値を線形補間した値を用い、下記式にて設定した。

F = min (Sy, 0.7Su)

• Sy 40°C : 235 MPa, 75°C : 222 MPa

 $Sy = 222 + (235 - 222) \times (75-66)/(75-40) = 225 \text{ MPa}$

• Su 40°C: 400 MPa, 75°C: 381 MPa Su = 381 + (400 - 381) × (75-66)/(75-40) = 385 MPa

従って, F = min (Sy, 0.7Su) = min (225, 0.7×385) = 225 MPa

基礎ボルトの許容引張応力は以下の通りとなる。

・スキッドの場合 (C_H=0.57)

$$f_{to} = F/2 \times 1.5 = 168 \text{ MPa}$$

 $f_{ts} = min(1.4 \times 168 - 1.6 \times 52, 168) = min(152, 168) = 152 \text{ MPa}$

・セシウム吸着設備処理水タンクの場合 $(C_H=0.57)$

$$f_{to} = F/2 \times 1.5 = 168 \text{ MPa}$$

 $f_{ts} = min(1.4 \times 168 - 1.6 \times 30, 168) = min(187.2, 168) = 168 MPa$

基礎ボルトの許容せん断応力は以下の通りとなる。

・処理装置(セシウム吸着装置)共通

$$f_{sb} = 1.5 \frac{F}{1.5\sqrt{3}} = 129 \text{ MPa}$$

⁹ 2	[MPa]	32.8 → 33	51.9 $\rightarrow 52$	18. 45 → 19	29. 22 → 30	5.62 → 6	8.90 → 9
O.b	[MPa]	0>	1. 4 → 2	0>	22.27 $\rightarrow 23$	0>	0>
	[N]	-135, 115	6, 270	-17, 909	27, 977	-3,641	-2, 790
$L_{\rm l}$ $	5	0.36	0.57	0.36	0.57	0.36	0.57
A _b	[mm]						
	<u>₩</u>						
l l	· [*]						
: 100000	[mm]						
1	[mm]						
	[mm]						
ш	[kg]						
WORDS A KE	魏帝名称	* 1	٠ ٢	セシウム吸着	処理水タンク	セシウム吸着にはなる。	が年入を対ポップンプ

表-3-3 セシウム吸着装置耐震評価結果

機器名称	評価部位	評価項目	水平震度	算出値	許容値	単位
		-t (T-)	0.36	90	130 0.52 Sy=159 Su=459 881 958 129 152 175 129 168 7.2	1 3.5
	-4-6-	転倒	0. 51	128	130	kN·m
セシウム	本体	\	0.36	0.36	0.50	
吸着塔		滑動	0. 57	0.57	0.52	_
i	121/48/218	+01/1/1-1-1	0.57	182	Sy=159	MPa
·	ピンガイド	相当応力	0. 57	162	Su=459	Mra
	本体	転倒	0.36	513	001	kN·m
	44		0. 57	811		KIN-III
	甘 7林	転倒	0, 36	616	- 881 - 958 - 129 - 152 - 175	kN·m
スキッド	基礎	松山	0. 57	975	958 - 129 - 152	KIV-III
ノキット		せん断	0. 36	33	958 - 129 - 152	MPa
	基礎ボルト		0. 57	52	- 129 152	MII a
	を でい かい	引張	0.36	<0		MPa
		71700	0. 57	2	152	МГа
	本体	転倒	0.36	144	175	kN·m
	平平	料公司	0. 57	227	170	KIN-III
セシウム吸着		せん断	0. 36	19	152	MPa
処理水タンク	基礎ボルト	でん例	0. 57	30		MII a
	産焼が// ト	引張	0.36	<0		MPa
		JIW.	0. 57	23	168	wia
	本体	転倒	0.36	2. 1	7 2	kN·m
	/ †`	刊四	0. 57	3.4	1.2	17.1 111
セシウム吸着		せん断	0. 36	6	129	MPa
処理水移送ポンプ	基礎ボルト	C/UP/	0. 57	9	123	ini a
	TE WE WILL I	引張。	0. 36	<0	1 1 1 1 1 1 1 1 1 1 1 1 1 1 1 1 1 1 1	MPa
		JIM	0. 57	<0		lin G

1.2.4. 処理装置 (第二セシウム吸着装置)

= 9.53

 \rightarrow 9.6

(1) 構造強度評価

材料証明書がなく、設計・建設規格におけるクラス 3 機器の要求を満足するものではないが、漏えい試験等を行い、有意な変形や漏えい、運転状態に異常がないことを確認した。

また,吸着塔の円筒形容器については,設計・建設規格に準拠し,板厚評価を実施した。評価の結果,内圧に耐えられることを確認した(表-4)。

t: 胴の計算上必要な厚さ

Di : 胴の内径 (**Mana** mm

P : 最高使用圧力 (1.37 MPa)

S: 最高使用温度 (66°C) における

材料 (SUS316L) の許容引張応力 (108 MPa)

η: 長手継手の効率 (0.60)

評価部位 | 必要肉厚[mm] | 実厚[mm]

ただし、t の値は炭素鋼、低合金鋼の場合はt=3[mm]以上、その他の金属の場合はt=1.5[mm]以上とする。

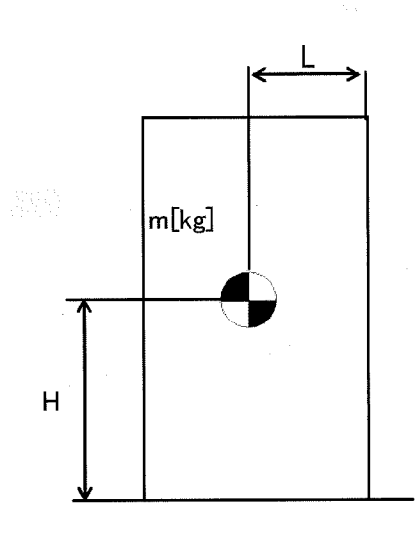
表-4 第二セシウム吸着装置構造強度結果

	12×144 11 11		H 1 Ibri H 1s 1-re	\ \\ \\ \\ \\ \\ \\ \\ \\ \\ \\ \\ \\ \) // []
第二十	セシウム吸着装置	置 吸着塔	板厚	9.6	12

(2) 耐震性評価

a. 転倒評価

地震による転倒モーメントと自重による安定モーメントを算出し、それらを比較することにより転倒評価を実施した。評価に用いた数値を表-5-1に示す。評価の結果、地震による転倒モーメントは自重による安定モーメントより小さいことから、転倒しないことを確認した(表-5-3)。



m : 機器質量

g : 重力加速度 (9.80665 m/s²)

H: 据付面からの重心までの距離

L: 転倒支点から機器重心までの距離

C_H: 水平方向設計震度 (0.36, 0.42, 0.60)

地震による転倒モーメント: $M_1[N \cdot m] = m \times g \times C_H \times H$

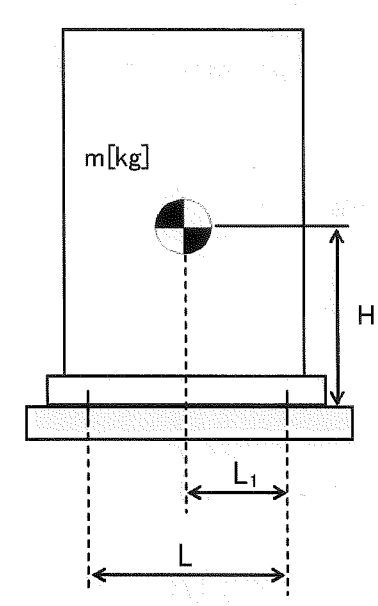
自重による安定モーメント: $M_2[N \cdot m] = m \times g \times L$

表-5-1 第二セシウム吸着装置の転倒評価数値根拠

機器名称	m [kg]	H [m]	L [m]	Сн	M ₁ [N·m]	M ₂ [N•m]
第二セシウム 吸着塔				0. 36	143,794 → 144 kN·m	169, 194
吸着塔				0. 42	167, 760 → 168 kN·m	→ 169 kN·m
ポンプ スキッド				0. 36	3,839.7 → 3.9 kN·m	6, 936. 1
スキッド				0, 60	6,399.5 → 6.4 kN·m	→ 6.9 kN·m

b. 基礎ボルトの強度評価

耐震設計技術規程の強度評価方法に準拠して評価を実施した。評価に用いた数値を表-5-2に示す。評価の結果、基礎ボルトの強度が確保されることを確認した(表-5-3)。



m : 機器質量

g : 重力加速度 (9.80665 m/s²)

H: 据付面からの重心までの距離

L: 基礎ボルト間の水平方向距離

L₁: 重心と基礎ボルト間の水平方向距離

nf: 引張力の作用する基礎ボルトの評価本数

n : 基礎ボルトの本数

Ab: 基礎ボルトの軸断面積

C_H: 水平方向設計震度 (0.36, 0.55, 0.60)

Cv: 鉛直方向設計震度 (0)

基礎ボルトに作用する引張力: $F_b = \frac{1}{L} \Big(m \times g \times C_H \times H - m \times g \times (1 - C_V) \times L_1 \Big)$

基礎ボルトの引張応力: $\sigma_{b} = \frac{F_{b}}{n_{f} \times A_{b}}$

基礎ボルトのせん断応力: $\tau_b = \frac{m \times g \times C_H}{n \times A_b}$

また, 許容応力は, 以下の式で設定した。

基礎ボルトの許容せん断応力: $f_{sb} = 1.5 \frac{F}{1.5\sqrt{3}}$

基礎ボルトの許容引張応力 : $f_{ts} = \min \left(1.4 f_{to} - 1.6 \tau_b, f_{to}\right)$

ここで、F は設計・建設規格 付属図表 Part 5 表 8 及び表 9 より、SS400 の設計温度 50℃における Sy 値、Su 値を線形補間した値を用い、下記式にて設定した。

F = min (Sy, 0.7Su)

・Sy:表8より 40℃:235 MPa, 75℃:222 MPa

 $Sy = 222 + (235 - 222) \times (75-50)/(75-40) = 231 MPa$

・Su:表9より 40℃:400 MPa, 75℃:381 MPa

 $Su = 381 + (400 - 381) \times (75-50)/(75-40) = 394 \text{ MPa}$

従って, F = min (Sy, 0.7Su) = min (231, 0.7×394) = 231 MPa

基礎ボルトの許容引張応力は以下の通りとなる。

・第二セシウム吸着塔の場合 (C_H=0.55)

 $f_{to} = F/2 \times 1.5 = 173 \text{ MPa}$

 $f_{ts} = min(1.4 \times 173 - 1.6 \times 108, 173) = min(69.4, 173) = 69 \text{ MPa}$

基礎ボルトの許容せん断応力は以下の通りとなる。

・処理装置(第二セシウム吸着装置)共通

$$f_{sb} = 1.5 \frac{F}{1.5\sqrt{3}} = 133 \text{ MPa}$$

	表	5 - 2	第二セシウム吸着装置の	吸着装置の)基礎ボル	/ト強度記	り基礎ボルト強度評価数値根拠			
m H I [m] [mm] [m	- ₫			ď 	ц Х	$A_{\rm b}$	C _{ff}	$F_{\rm b}$ [N]	σ _b [MPa]	τ _b [MPa]
							0.36	-14, 519	0>	70.2 $\rightarrow 71$
							0.55	42, 466	67.6 → 68	1073 $\rightarrow 108$
							0.36	-2, 258	0>	$\begin{array}{c} 3.76 \\ \rightarrow 4 \end{array}$
							0.60	-391	0>	6.27 → 7

表-5-3:第二セシウム吸着装置耐震評価結果

機器名称	評価部位	評価項目	水平震度	算出值	許容値	単位
	本体	転倒	0. 36	144	169	kN•m
	本体	料公円	0.42	168	109	KIN III
第二セシウム		せん断	0.36	71 🐃	133	MPa
吸着塔	基礎ボルト	とん数	0. 55	108	100	m a
	本版が// トー	引張	0.36	<0	69	MPa
		71705	0. 55	68	09 ₆ ///	iwi a
	本体	転倒	0.36	3.9	6. 9	kN•m
	平平	和间	0.60	6.4	0.9 	KIN III
ポンプスキッド		せん断	0.36	4	133	MPa
	基礎ボルト	E NOPO	0.60	7		MI a
	(本)(人)(人)	引張	0. 36	<0 :	√, ,5 + <u>±</u>	MPa
		71 JK	0.60	<0		IVII a

1.2.5. 処理装置 (除染装置)

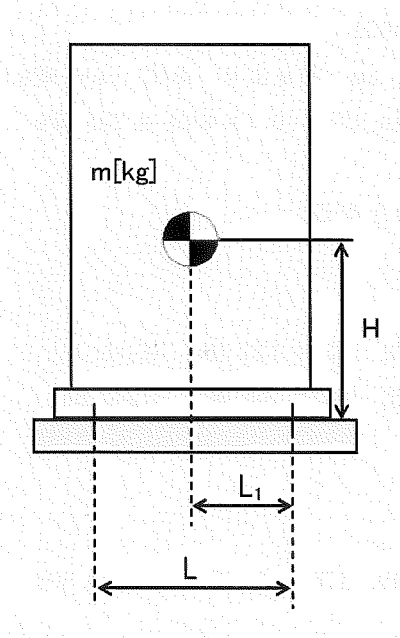
(1) 構造強度評価

材料証明書がなく、設計・建設規格におけるグラス 3 機器の要求を満足するものではないが、漏えい試験等を行い、有意な変形や漏えい、運転状態に異常がないことを確認した。従って、除染装置は必要な構造強度を有すると評価した。

(2) 耐震性評価

a. 基礎ボルトの強度評価

耐震設計技術規程の強度評価方法に準拠して評価を実施した。評価に用いた数値を表-6-1に示す。評価の結果、基礎ボルトの強度が確保されることを確認した(表-6-2)。



m : 機器質量

g : 重力加速度 (9.80665 m/s²)

H: 据付面からの重心までの距離

L: 基礎ボルト間の水平方向距離

L1: 重心と基礎ボルト間の水平方向距離

n_f: 引張力の作用する基礎ボルトの評価本数

n : 基礎ボルトの本数

A_b: 基礎ボルトの軸断面積

C_H: 水平方向設計震度 (0.36, 0.50, 0.60)

Cv: 鉛直方向設計震度 (0)

基礎ボルトに作用する引張力:

・反応槽 :
$$F_b = \frac{4}{nD} (m \times g \times C_H \times H) - \frac{m \times g \times (1 - C_V)}{n}$$

・凝集沈殿装置 (マルチフロー) :
$$F_b = \frac{1}{L} \Big(m \times g \times C_H \times H - m \times g \times (1 - C_V) \times L_1 \Big)$$

基礎ボルトの引張応力:
$$\sigma_b = \frac{F_b}{n_f \times A_b}$$

基礎ボルトのせん断応力:
$$\tau_{b} = \frac{m \times g \times C_{H}}{n \times A_{b}}$$

また, 許容応力は, 以下の式で設定した。

基礎ボルトの許容せん断応力: $f_{sb} = 1.5 \frac{F}{1.5\sqrt{3}}$

基礎ボルトの許容引張応力 : $f_{ts} = \min \left(1.4 f_{to} - 1.6 \tau_{b}, f_{to}\right)$

ここで、F は設計・建設規格 付属図表 Part 5 表 8 及び表 9 より、設計温度(常温)における Sy 値、Su 値を用いて設定した。

F = min (Sy, 0.7Su)

· 反応槽 (SUS304)

Sy:表8より 40℃:205 MPa, Su:表9より 40℃:520 MPa 従って、F=min (Sy, 0.7Su) = min (205, 0.7×520) = 205 MPa

・凝集沈殿装置 (マルチフロー) (SS400)

Sy:表8より 40℃:235 MPa, Su:表9より 40℃:400 MPa 従って、F=min (Sy, 0.7Su) = min (235, 0.7×400) = 235 MPa

基礎ボルトの許容引張応力は以下の通りとなる。

• 反応槽

$$\begin{split} &f_{to} = F/2 \times 1.5 = 153 \text{ MPa} \\ &f_{ts} = \min(1.4 \times 153 - 1.6 \times 49, \ 153) = 135 \text{ MPa} \quad (C_{\text{H}} = 0.36) \\ &f_{ts} = \min(1.4 \times 153 - 1.6 \times 68, \ 153) = 105 \text{ MPa} \quad (C_{\text{H}} = 0.60) \end{split}$$

・凝集沈殿装置 (マルチフロー)

$$f_{to} = F/2 \times 1.5 = 176 \text{ MPa}$$

 $f_{ts} = \min(1.4 \times 176 - 1.6 \times 119, 176) = 56 \text{ MPa}$ (C_H=0.60

基礎ボルトの許容せん断応力は以下の通りとなる。

• 反応槽

$$f_{sb} = 1.5 \frac{F}{1.5\sqrt{3}} = 118 \text{ MPa}$$

・凝集沈殿装置 (マルチフロー)

$$f_{sb} = 1.5 \frac{F}{1.5\sqrt{3}} = 135 \text{ MPa}$$

	τ _b [MPa]	48.9 → 49	67.8 → 68	70.8 $\rightarrow 71$	118.1 $\rightarrow 119$	
	σ _b [MPa]	$16.2 \rightarrow 17$	75.3 → 76	0>	6.94 → 7	
	Ĭ [*] ≧)	1. T	*	6.	
		09	34	926	75	
	4 Z	3, 260	15, 134	-226, 926	13, 075	
女值根拠	[#] O	0.36	0.50	0.36	09.0	
除染装置の基礎ボルト強度評価数値根拠	A _b [mm]					
ドバト	¤ ₩					
基礎力						
長置の	± ₹					
除從對						
表 - 6 - 1	ţ.D					
表	L 又供D [<u>a</u>]					
	H [mm]					
	m [kg]					
]	
	機器名称	# #	风心福	一殿新	F7 D	\ \ \ \ \ \ \ \ \ \ \ \ \ \ \ \ \ \ \
	機器	<u>[</u>	X	凝集沈殿装置	マルチフロー	

b. 有限要素法によるフレーム構造解析

主要設備についてはコンクリートにアンカーを打った上で架台にて強固に据え付けられていることから,加圧浮上分離装置(DAF),凝集沈殿装置(アクチフロー),ディスクフィルタについて有限要素法によるフレーム構造解析を用いて基礎ボルトの強度評価を実施した。評価の結果,基礎ボルトの強度に問題がないことを確認した(表-6-2)。

① 加圧浮上分離装置(DAF) 設計用水平震度: 0.6G

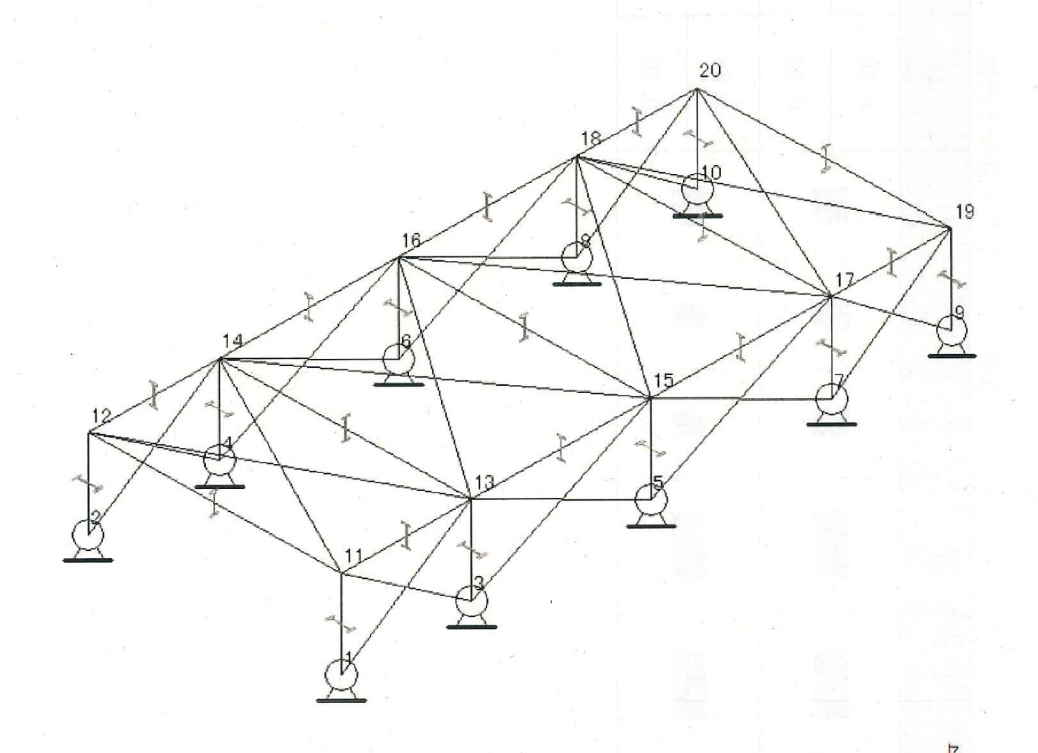
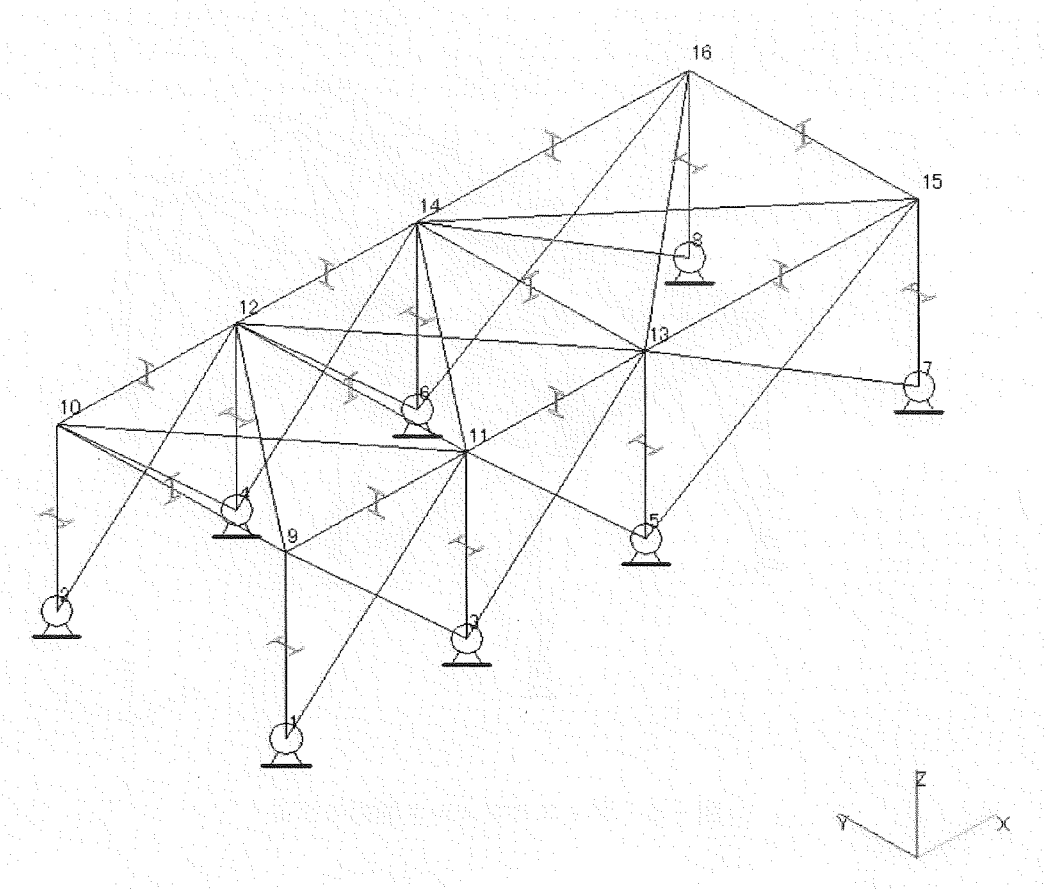


図-3 加圧浮上分離装置 (DAF) 解析モデル

② 凝集沈殿装置 (アクチフロー) 設計用水平震度: 0.6G



③ ディスクフィルタ設計用水平震度: 0.6G

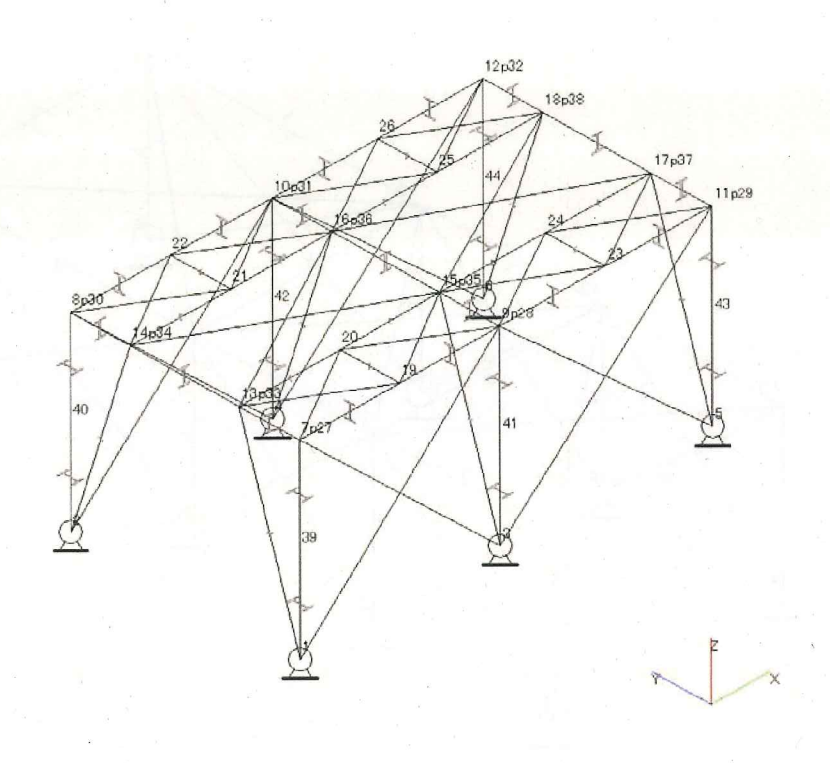


図-5 ディスクフィルタ解析モデル

c. 架台強度評価

加圧浮上分離装置 (DAF), 凝集沈殿装置 (マルチフロー), 凝集沈殿装置 (アクチフロー), ディスクフィルタについて有限要素法によるフレーム構造解析を用いて各部材に発生するたわみ量の評価を実施した。評価の結果, 架台強度に問題がないことを確認した (表-6-2)。

表-6-2 除染装置耐震評価結果

機器名称	評価部位	評価項目	水平震度	算出值	許容値	単位
hoccióo L 八族壮皇	架台(柱脚)	変位	0. 60	1/290	1/120	変位量
加圧浮上分離装置 (DAF)	基礎	せん断	0, 60	27	118	MPa
(DAF)	ボルト	引張	0, 60	6	153	MPa
7 mmm, 1, m, 1, q, q, q, q, q, m, r	a file i na na natilita na na natilita na na nati	せん断	0.36	49	110	MD
反応槽	基礎	せんめ	0.50	68	118	MPa
以 心情	ボルト	引張	0.36	17	135	MD-
		51700	0.50	76	105	MPa
	本体 (壁パネル)	変位	0.60	1/515	1/120	変位量
液焦洲型		4-7 座	0.36	71	125	MD
凝集沈殿装置 (マルチフロー)	基礎	せん断	0.60	119	135	MPa
(\	ボルト	引張	0.36	<0	10.00 mg (10.00 mg)	MD-
	00 10 03	71ms	0.60	7	56	MPa
凝集沈殿装置	架台 (柱脚)	変位	0.6	1/936	1/120	変位量
一	基礎	せん断	0.60	38	118	MPa
	ボルト	引張	0.60	51	153	MPa
ディスク	架台 (柱脚)	変位	0.6	1/527	1/120	変位量
コンフィルタ	基礎	せん断	0.60	44	118	MPa
	ルト	引張	0.60	19	143	MPa

1.2.6. 淡水化装置

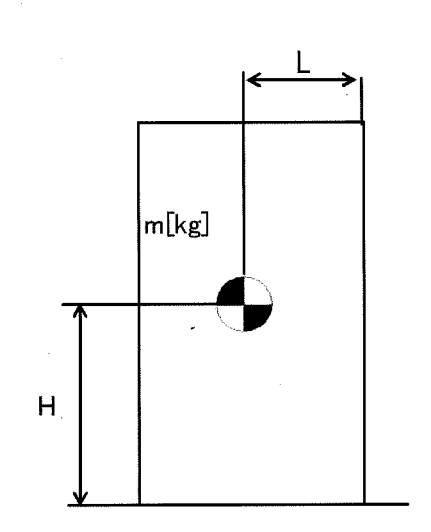
(1) 構造強度評価

材料証明書がなく、設計・建設規格におけるクラス 3 機器の要求を満足するものではないが、漏えい試験等を行い、有意な変形や漏えい、運転状態に異常がないことを確認した。従って、淡水化装置は必要な構造強度を有すると評価した。

(2) 耐震性評価

a. 転倒評価

地震による転倒モーメントと自重による安定モーメントを算出し、それらを比較することにより転倒評価を実施した。評価に用いた数値を表-7-1, 2に示す。評価の結果、地震による転倒モーメントは自重による安定モーメントより小さいことから、転倒しないことを確認した(表-7-6)。



m : 機器質量

g : 重力加速度 (9.80665 m/s²)

H: 据付面からの重心までの距離

L: 転倒支点から機器重心までの距離

C_H: 水平方向設計震度 (0.36)

地震による転倒モーメント: $M_1[N \cdot m] = m \times g \times C_H \times H$ 自重による安定モーメント: $M_2[N \cdot m] = m \times g \times L$

(a) ポンプ,配管・弁モジュール

転倒モーメント及び安定モーメントの評価式を以下の様に変更し、評価を実施した。 地震による転倒モーメント: $M_1[N \cdot m] = m \times g \times C_H \times H \rightarrow M_1/(m \times g) = C_H \times H$

自重による安定モーメント: $M_2[N \cdot m] = m \times g \times L$ $\rightarrow M_2/(m \times g) = L$

表-7-1 淡水化装置(ポンプ、配管・弁モジュール)の転倒評価数値根拠

機器名称	水平	Н	算出値	許容値
7.双台户/12 1/17	震度	[m]	C _H ×H [m]	L [m]
SPT 受入水移送ポンプ	0. 36		$\begin{array}{ccc} 0.202 & \rightarrow & 0.21 \end{array}$	→ 0.77
廃液 RO 供給ポンプ	0. 36		$\begin{array}{ c c c c c c c c c c c c c c c c c c c$	→ 0.92
RO 処理水供給ポンプ	0.36		$\begin{array}{ccc} 0.202 & \rightarrow & 0.21 \end{array}$	→ 0.77
RO 処理水移送ポンプ	0. 36		$0.467 \rightarrow 0.47$	→ 0.77
RO 濃縮水供給ポンプ	0.36		$0.202 \rightarrow 0.21$	→ 0.77
RO 濃縮水貯槽移送ポンプ	0. 36		$0.350 \rightarrow 0.36$	→ 0.77
RO 濃縮水移送ポンプ	0.36		$0.347 \rightarrow 0.35$	→ 0.71
濃縮水供給ポンプ	0. 36		$0.194 \rightarrow 0.20$	→ 0.78
蒸留水移送ポンプ	0.36		$0.202 \rightarrow 0.21$	→ 0.86
濃縮処理水供給ポンプ	0.36		$0.194 \rightarrow 0.20$	→ 0.78
濃縮処理水移送ポンプ	0.36		$0.347 \rightarrow 0.35$	→ 0.71
濃縮水移送ポンプ	0.36		$0.194 \rightarrow 0.20$	→ 0.77
配管・弁モジュール	0.36		$0.185 \rightarrow 0.19$	→ 0.28

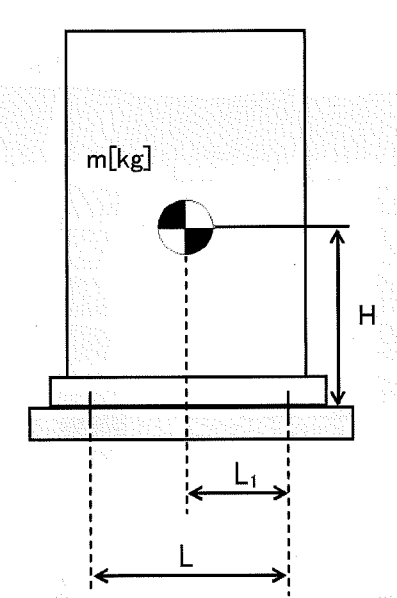
(b) 逆浸透膜装置 (RO-2, RO-3)

表-7-2 淡水化装置(RO-2, RO-3)の転倒評価数値根拠

機器名称	m [kg]	H [m]	L [m]	M ₁ [kN·m]	M ₂ [kN·m]
逆浸透膜装置 R0-2				19. 06 → 19. 1	20. 83 → 20. 8
逆浸透膜装置 R0−3				1. 691 → 1. 70	1.801 → 1.80

b. 基礎ボルトの強度評価

耐震設計技術規程の強度評価方法に準拠して評価を実施した。評価に用いた数値を表-7-3, 4, 5に示す。評価の結果、基礎ボルトの強度が確保されることを確認した(表-7-6)。



m : 機器質量

g : 重力加速度 (9.80665 m/s²)

H: 据付面からの重心までの距離

L : 基礎ボルト間の水平方向距離

L: 重心と基礎ボルト間の水平方向距離

n_f: 引張力の作用する基礎ボルトの評価本数

n: 基礎ボルトの本数

A_b: 基礎ボルトの軸断面積

CH: 水平方向設計震度 (0.36)

Cv: 鉛直方向設計震度 (0)

基礎ボルトに作用する引張力: $F_b = \frac{1}{L} \Big(m \times g \times C_H \times H - m \times g \times (1 - C_V) \times L_1 \Big)$

基礎ボルトの引張応力: $\sigma_b = \frac{F_b}{n_f \times A_b}$

基礎ボルトのせん断応力: $\tau_b = \frac{m \times g \times C_H}{n \times A_b}$

アンカーに作用するせん断荷重 : $Q = \frac{m \times g \times C_H}{n}$

(a) 淡水化装置 (逆浸透膜装置 RO-1A, 1B)

表-7-3 淡水化装置(逆浸透膜装置 RO-1A, 1B) の基礎ボルト強度評価数値根拠

	m [kg]	h [mm]	L [mm]	$egin{array}{c} L_1 \ [mm] \end{array}$	n _f [本]	n [本]	Сн	F _b	Q [N]
逆浸透膜装置	1,000		**		-		0.36	-7, 700	1, 147. 4
(RO-1A)							0.50	→ <0	→1, 148
逆浸透膜装置							0. 36	-7, 781	1, 059. 1
(RO-1B)							0. 50	→ <0	→1,060

アンカーの許容せん断荷重は以下の式で設定した。

$$Qa = 0.74 \cdot \phi_{S3} \left(0.5 \cdot_{SC} a \cdot \sqrt{F_c \cdot E_c} \right)$$

83 : 短期荷重に対する低減係数

(0.6)

= 23,419.7

_{sc}a : 定着部の断面積

mm)

 \rightarrow 23, 419 N

Fc : コンクリートの圧縮強度

(N/mm²)

Ec : コンクリートのヤング率

 (N/mm^2)

(b)淡水化装置 (蒸発濃縮装置-1A, 1B, 1C)

表-7-4 淡水化装置 (蒸発濃縮装置-1A, 1B, 1C) の基礎ボルト強度評価数値根拠

	m	h	L	Li	n_{f}	n	$A_{\mathfrak{b}}$	Сн	F _b	τ
	[kg]	[mm]	[mm]	[mm]	[本]	[本]	[mm]		[N]	[MPa]
蒸発濃縮装置								0. 36	-9, 373	29. 3
(蒸発濃縮-1A)								0. 30	→ <0	→ 30
蒸発濃縮装置								0.26	-9, 567	38. 1
(蒸発濃縮-1B)								0. 36	→ <0	→ 39
蒸発濃縮装置								0.00	-4, 000	35. 1
(蒸発濃縮-1C)	VSSW		USB ST					0. 36	→ <0	→ 36

また、基礎ボルトの許容せん断応力は以下の式で設定した。

基礎ボルトの許容せん断応力 :
$$f_{sb}$$
 = $1.5 \frac{F}{1.5 \sqrt{3}}$

ここで、F は設計・建設規格 付属図表 Part 5 表 8 及び表 9 より、SS400 の設計温度 60 Cにおける Sy 値、Su 値を線形補間した値を用い、下記式にて設定した。

F = min (Sy, 0.7Su)

• Sy 40°C : 235 MPa, 75°C : 222 MPa

 $Sy = 222 + (235 - 222) \times (75-60)/(75-40) = 227 \text{ MPa}$

• Su 40°C : 400Pa, 75°C : 381 MPa

 $Su = 381 + (400 - 381) \times (75-60)/(75-40) = 389 \text{ MPa}$

従って, F = min (Sy, 0.7Su) = min (227, 0.7×389) = 227 MPa 基礎ボルトの許容せん断応力は以下の通りとなる。

$$f_{sb} = 1.5 \frac{F}{1.5\sqrt{3}} = 131 \text{ MPa}$$

(c)淡水化装置 (蒸発濃縮装置-2A, 2B, 3A, 3B, 3C)

表-7-5 淡水化装置(蒸発濃縮装置-2A, 2B, 3A, 3B, 3C)の 基礎ボルト強度評価数値根拠

	m [kg]	h [mm]	L [mm]	L ₁	n _f [本]	n [本]	A_{b}	Сн	F _b [N]	τ [MPa]
蒸発濃縮装置 (蒸発濃縮-2A,B) (濃縮装置)								0. 36	-55, 702 → <0	87. 8 → 88
蒸発濃縮装置 (蒸発濃縮-3A, B, C) (濃縮装置)								0.36	-106, 472 → <0	97. 5 → 98

また、基礎ボルトの許容せん断応力は以下の式で設定した。

基礎ボルトの許容せん断応力: $f_{sb} = 1.5 \frac{F}{1.5\sqrt{3}}$

ここで、F は設計・建設規格 付属図表 Part 5 表 8 及び表 9 より、SUS304 の設計温度 66℃における Sy 値、Su 値を線形補間した値を用い、下記式にて設定した。

F = min (Sy, 0.7Su)

• Sy 40°C : 205 MPa, 75°C : 183 MPa

 $Sy = 183 + (205 - 183) \times (75-66)/(75-40) = 188 \text{ MPa}$

• Su 40°C : 520Pa, 75°C : 466 MPa

 $Su = 466 + (520 - 466) \times (75-66)/(75-40) = 479 \text{ MPa}$

従って、F = min (Sy, 0.7Su) = min (188, 0.7×479) = 188 MPa

基礎ボルトの許容せん断応力は以下の通りとなる。

$$f_{sb} = 1.5 \frac{F}{1.5\sqrt{3}} = 108 \text{ MPa}$$

c. 滑動評価

地震時の水平荷重によるすべり力と接地面の摩擦力を比較することにより、滑動評価を実施した。評価の結果、地震時の水平荷重によるすべり力は接地面の摩擦力より小さいことから、滑動しないことを確認した(表-7-6)。

地震時の水平荷重によるすべり力 : $F_L = C_H \times m \times g \rightarrow F_L / (m \times g) = C_H$

接地面の摩擦力 : $F_{\mu} = \mu \times m \times g \rightarrow F_{\mu} / (m \times g) = \mu$

m : 機器質量

g : 重力加速度

C_H: 水平方向設計震度 (0.36, 0.57)

μ : 摩擦係数 (コンクリート鉄:0.40)

表 7 7 6 淡水化装置耐震評価結果 (1/2)

機器名称	評価部位	評価項目	水平震度	算出値	許容値	単位
SPT 受入水移送ポンプ	本体	転倒	0.36	0. 21	0.77	m
廃液 RO 供給ポンプ	本体	転倒	0.36	0. 21	0.92	m
RO 処理水供給ポンプ	本体	転倒	0.36	0. 21	0. 77	m
RO 処理水移送ポンプ	本体	転倒	0.36	0.47	0.77	m
RO 濃縮水供給ポンプ	本体	転倒	0. 36	0. 21	0.77	m
RO 濃縮水貯槽移送ポンプ	本体	転倒	0.36	0.36	0. 77	m
RO 濃縮水移送ポンプ	本体	転倒	0.36	0.35	0.71	m
濃縮水供給ポンプ	本体	転倒	0.36	0. 20	0.78	m
蒸留水移送ポンプ	本体	転倒	0.36	0. 21	0.86	m
濃縮処理水供給ポンプ	本体	転倒	0.36	0. 20	0.78	m
濃縮処理水移送ポンプ	本体	転倒	0.36	0.35	0.71	m
濃縮水移送ポンプ	本体	転倒	0.36	0. 20	0.77	m
配管・弁モジュール	本体	転倒	0.36	0. 19	0. 28	m
逆浸透膜装置	基礎	せん断	0.36	1, 148	23, 419	N
(RO-1A)	ボルト	引張	0.36	<0	-	N
逆浸透膜装置	基礎	せん断	0.36	1,060	23, 419	N
(RO-1B)	ボルト	引張	0.36	<0		N
逆浸透膜装置		転倒	0.36	19. 1	20.8	kN•m
(RO-2)	本体	 滑動	0.36	0.36	0.40	
逆浸透膜装置 (R0−3)	本体	転倒	0.36	1.70	1.80	kN•m

表-7-6 淡水化装置耐震評価結果 (2/2)

機器名称	評価部位	評価項目	水平震度	算出値	許容値	単位
蒸発濃縮装置	基礎	せん断	0.36	30	131	MPa
(蒸発濃縮-1A)	ボルト	引張	0.36	<0	_	MPa
蒸発濃縮装置	基礎	せん断	0.36	39	131	MPa
(蒸発濃縮-1B)	ボルト	引張	0. 36	<0	_	MPa
蒸発濃縮装置	基礎	せん断	0. 36	36	131	MPa
(蒸発濃縮-1C)	ボルト	引張	0.36	<0	_	MPa
蒸発濃縮装置	本体	転倒	0.36	<0	- -	kN
(蒸発濃縮-2A, B)	基礎	せん断	0.36	88	108	MPa
(濃縮装置)	ボルト	引張	0.36	<0	_	MPa
蒸発濃縮装置	本体	転倒	0.36	<0		kN
(蒸発濃縮-3A, B, C)	基礎	せん断	0. 36	98	108	MPa
(濃縮装置)	ボルト	引張	0. 36	<0	_	MPa

1.2.7. 高濃度滞留水受タンク

(1) 構造強度評価

材料証明書がなく、設計・建設規格におけるクラス 3 機器の要求を満足するもので はないが、気密試験等を行い、漏えいがないことを確認した。

また、設計・建設規格に準拠し、板厚評価を実施し、内圧に耐えられることを確認 した (表-8)。

t: 胴の計算上必要な厚さ

Di: 胴の内径

P: 最高使用圧力 (0.2 MPa)

= 5.34 mm

S: 最高使用温度 (66℃) における

材料 (SS400) の許容引張応力 (100 MPa)

 \rightarrow 5.4 mm

η : 長手継手の効率

(0.6)

ただし、tの値は炭素鋼、低合金鋼の場合はt=3[mm]以上、その他の金属の場合は t=1.5[mm]以上とする。

表-8 円筒型タンク (横置き) 板厚評価結果

7	機器名称		評価部位	必要肉厚[mm]	実厚[mm]
	高濃度滞留水受タンク	100t 容量 円筒型(横置き)	タンク板厚	5.4	9

(2)耐震性評価

当該タンクは地中に埋設され、タンク内部に高濃度滞留水を保管するものであり、 設備全体としては耐震クラス B に相当することから、地中構造物の耐震 B クラスに要 求される水平地震力 Kh=0.3 に対する静的解析により、その耐震安全性を評価した。そ の結果,B クラスに要求される強度を有するものと評価した(表-9)。詳細は別添-1に示す。

表-9 円筒型タンク (横置き) 耐震評価結果

機器名称	The same	評価項目	作用震度	算出値	許容値	単位
	100t 容量	曲げ	Bクラス	21.9	210	N /2
高濃度滯留水	円筒型	四リ	Sクラス	60.0	245	N/mm ²
受タンク	内間空 (横置き)	せん断	Bクラス	0. 019	120	Nr / 2
	(四旦で)	せんを	Sクラス	0. 311	141	N/mm ²

1.2.8. 中低濃度タンク

(1) 構造強度評価

材料証明書がなく、設計・建設規格におけるクラス 3 機器の要求を満足するものではないが、水頭圧による漏えい試験を行い、有意な変形や漏えいがないことを確認した。また、タンクは全て大気開放のため、水頭圧以上の内圧が作用することは無い。

以上のことから、中低濃度タンクは必要な構造強度を有していると評価できる。

また,円筒型タンクについては,主要仕様から必要肉厚を評価し,十分な肉厚を有 していることを確認した。

なお, サプレッションプール水サージタンクは, 工事計画認可申請書 (57 資庁第 2974 号 昭和 57 年 4 月 20 日認可) において確認を実施している。

a. 円筒型タンク

円筒型タンクについては、設計・建設規格に準拠し、板厚評価を実施した。評価に用いた数値を表-10-1に示す。評価の結果、水頭圧に耐えられることを確認した(表-10-2)。

t: 胴の計算上必要な厚さ

Di : 胴の内径

H : 水頭

ρ : 液体の比重

S: 最高使用温度における

材料の許容引張応力

η : 長手継手の効率

ただし、t の値は炭素鋼、低合金鋼の場合はt=3[mm]以上、その他の金属の場合はt=1.5[mm]以上とする。また、内径の区分に応じた必要厚さを考慮する。

表-10-1 円筒型タンク板厚評価の数値根拠

機器名称		Di [m]	H [m]	ρ	材料	温度	S [MPa]	η	t [mm]
RO 処理水貯槽	300t 容量			1	SS400	常温	100	1. 00	$\begin{array}{c} 2.88 \\ \rightarrow 4.5^{\times 1} \end{array}$
NO 处理水灯帽	450t 容量			1	SS400	常温	100	1. 00	3.24 $\rightarrow 4.5^{*1}$
RO 濃縮水貯槽	500t 容量			1	SS400	常温	100	1.00	3.83 $\rightarrow 4.5^{\times 1}$
RO 処理水貯槽 RO 濃縮水貯槽 蒸発濃縮処理水貯槽	1100t 容量			1	SS400	常温	100	1.00	5. 69 → 5. 7
多核種処理水貯槽	1100t 容量 (溶接)			1	SS400	常温	100	0. 65	8. 78 → 8. 8
濃縮廃液貯槽	100t 容量 円筒型 (横置き)			1	SS400	常温	100	0. 60	0. 84 →3. 0 ^{*2}
RO 濃縮水貯槽	120t 容量 円筒型 (横置き)			1	SS400	常温	100	0.60	0.94 $\rightarrow 3.0^{*2}$

%1 : 内径 5[m]以上のため、内径区分により 4.5[mm] となる。

※2 : 炭素鋼の必要厚さにより3[mm]となる。

表-10-2 円筒型タンク板厚評価結果

機器名称		評価部位	必要肉厚[mm]	実厚[mm]
DO 40 TH 1 0 0 14	300t 容量	タンク板厚	4. 5	9.0
RO 処理水貯槽	450t 容量	タンク板厚	4. 5	9.0*
RO 濃縮水貯槽	500t 容量	タンク板厚	4.5	9.0*
RO 処理水貯槽 RO 濃縮水貯槽 蒸発濃縮処理水貯槽	1100t 容量	タンク板厚	5. 7	12.0
多核種処理水貯槽	1100t 容量(溶接)	タンク板厚	8.8	12.0
濃縮廃液貯槽	100t 容量 (円筒型(横置き)	タンク板厚	3. 0	9.0
RO 濃縮水貯槽	120t 容量 (円筒型(横置き)	タンク板厚	3.0	9.0

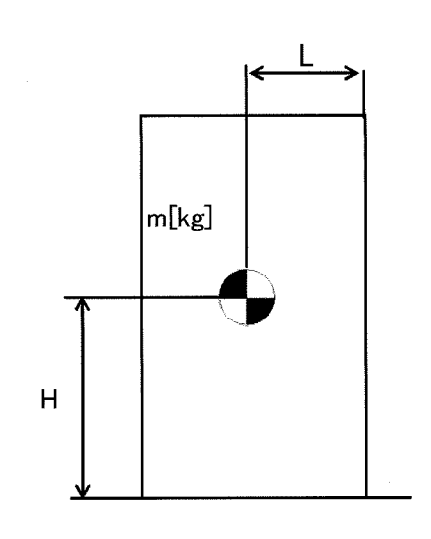
※ 最小値

(2) 耐震性評価

サプレッションプール水サージタンクは,工事計画認可申請書(57 資庁第2974号 昭和57年4月20日認可)において確認を実施している。その他の中低濃度タンクに関する耐震性評価を以下に示す。

a. 転倒評価

地震による転倒モーメントと自重による安定モーメントを算出し、それらを比較することにより転倒評価を実施した。評価に用いた数値を表-11-1, 2に示す。評価の結果、地震による転倒モーメントは自重による安定モーメントより小さいことから、転倒しないことを確認した(表-11-3)。



m : 機器質量

g : 重力加速度

 (9.80665 m/s^2)

H: 据付面からの重心までの距離

L: 転倒支点から機器重心までの距離

C_H: 水平方向設計震度 (0.36)

' 各記号の下付文字は,下記を意味する。

t:タンク,w:保有水,b:ベースを意味する。

地震による転倒モーメント:

 $M_1[N \cdot m] = m \times g \times C_H \times H$

= $g \times C_H \times (m_t \times H_t + m_w \times H_w + m_b \times H_b)$

自重による安定モーメント:

 $M_2[N \cdot m] = m \times g \times L$

 $= (m_t \times L_t + m_w \times L_w + m_b \times L_b) \times g$

36

 2.2×10^4 $70,252 \rightarrow 7.0 \times 10^4$ $69,408 \rightarrow 6.9 \times 10^4$ $\downarrow 1.1 \times 10^4$ $\rightarrow 7.0 \times 10^4$ $26,320 \rightarrow 2.6 \times 10^4$ $70,252 \rightarrow 7.0 \times 10^4$ $2,927 \rightarrow 2.9 \times 10^3$ $\rightarrow 2.9 \times 10^3$ $\rightarrow 2.9 \times 10^3$ $\rightarrow 3.8 \times 10^2$ $2,927 \rightarrow 2.9 \times 10^3$ $\rightarrow 5.4 \times 10^2$ \rightarrow 5. 5 × 10² $178 \rightarrow 1.7 \times 10^2$ $534 \rightarrow 5.3 \times 10^2$ 5.4×10^{2} $\rightarrow 5.4 \times 10^2$ $425 \rightarrow 4.2 \times 10^2$ $544 \rightarrow 5.4 \times 10^2$ 5.4×10^{2} М, (kN·ш) 22, 079 → 544 → 1 70,252 2,927 2,927 389.7 11,553544 557 544 544 $20,183 \rightarrow 2.1 \times 10^4$ $19,911 \rightarrow 2.0 \times 10^4$ $20,183 \rightarrow 2.1 \times 10^4$ $5,234 \rightarrow 5.3 \times 10^3$ $6,658 \rightarrow 6.7 \times 10^{3}$ $9,016 \rightarrow 9.1 \times 10^{3}$ $20,183 \rightarrow 2.1 \times 10^4$ $170.3 \rightarrow 1.8 \times 10^2$ 5.8×10^{2} 6.9×10^{1} $574 \rightarrow 5.8 \times 10^2$ $574 \rightarrow 5.8 \times 10^2$ $\rightarrow 1.6 \times 10^2$ $574 \rightarrow 5.8 \times 10^2$ 2.1×10^2 $2.1\!\times\!10^2$ $\rightarrow 2.3 \times 10^2$ $194 \rightarrow 2.0 \times 10^2$ $\rightarrow 1.9 \times 10^2$ 2.1×10^{2} 2.1×10^2 M, (kN·m) 1 205 → 205 → 1 $205 \rightarrow$ 1 68.2 223 205 159 189 タンク・槽類の転倒評価計算根拠 $L_{\underline{b}_2}(m)$ $L_{t}(m)$ H_{*} (m) 表-11-1 $H_{\rm t}$ (m) m, (t) m, (t) 11001 容量 1100t 容量 1100 容量 300t 容量 450t 容量 500t 容量 42t 容量 35t 容量 42t 容量 35t 容量 40t 容量 16t 容量 蒸発濃縮処理水貯槽 RO 濃縮水受タンク RO 処理水受タンク 多核種処理水貯槽 濃縮処理水タンク SPT 受入水タンク 濃縮水受タンク 蒸留水タンク 濃縮水タンク **秦昭**名称 RO 濃縮水 RO 処理水 一時貯槽 RO 処理水 廃液 R0 タンカ 貯槽 供給 貯槽

表-11-2 円筒横置きタンクの転倒評価計算根拠

$M_2(ext{KN}\cdot ext{m})$		£01×6 € 1 796 €	0,200	3	$2,330 \rightarrow 2.3 \times 10^3$				
M_1 (kN·m)		1 959 1 1 1 103	1, 352 7 1.4010	$1,023 \rightarrow 1.1 \times 10^3$					
L(m)	$\Gamma_{ m c}$	· · · · · · · · · · · · · · · · · · ·	- P	L_{b2}		L	L_{b1}	L_{b2}	
H(m)	H		HPI	H _{b2}		H	Π_{b_1}	H_{b2}	
m(t)	m, m				1		un Ion	m _{b2}	
機器名称		RO 濃縮水貯槽	1201 容量			新ない。	(辰柏) 佐(仪) 丁(胃		

表-11-3 タンク・槽類の転倒評価結果

機器	名称	評価部位	評価項目	水平地震動	算出値	許容値	単位
SPT 受入	水タンク	本体	転倒	0, 36	5.8×10^{2}	2.9×10^{3}	kN·m
	35t 容量	本体	転倒	0.36	1.8×10^{2}	4.2×10^{2}	kN∙m
廃液 R0	40t 容量	本体	転倒	0.36	2.3×10^{2}	5.4×10^{2}	kN·m
供給タンク	42t 容量	本体	転倒	0.36	2.0×10^{2}	5.5×10^{2}	kN•m
	110t 容量	本体	転倒	0.36	5.8×10^{2}	2.9×10^{3}	kN∙m
RO 処理力	(受タンク	本体	転倒	0. 36	5.8×10^{2}	2.9×10^{3}	kN•m
R0 処理水	16t 容量	本体	転倒	0.36	6. 9×10^{1}	1. 7×10^2	kN•m
	35t 容量	本体	転倒	0.36	1.6×10^{2}	3.8×10^{2}	kN·m
一時貯槽	42t 容量	本体	転倒	0.36	1.9×10^{2}	5.3×10^{2}	kN•m
RO 処理水	300t 容量	本体	転倒	0.36	5.3×10^3	1.1×10^4	kN·m
RU 处理水 貯槽	450t 容量	本体	転倒	0.36	6. 7×10^3	2.2×10^4	kN•m
贝丁 个管	1100t 容量	本体	転倒	0.36	2.1×10^4	7.0×10^4	kN•m
RO 濃縮オ	く受タンク	本体	転倒	0.36	5.8×10^{2}	2.9×10^{3}	kN·m
DO X曲を含った	120t 容量	本体	転倒	0.36	1.4×10^{3}	3.2×10^3	kN•m
RO 濃縮水	500t 容量	本体	転倒	0.36	9.1×10^{3}	2.6×10^4	kN∙m
貯槽	1100t 容量	本体	転倒	0.36	2.1×10^4	7.0×10^4	kN•m
多核種如	· 上理水貯槽	本体	転倒	0.36	2.0×10^{4}	6. 9×10^4	kN·m
濃縮水	受タンク	本体	転倒	0.36	2.1×10^{2}	5.4×10^{2}	kN·m
蒸留水	タンク	本体	転倒	0.36	2.1×10^{2}	5.4×10^{2}	kN∙m
濃縮処理水タンク		本体	転倒	0.36	2. 1×10^2	5.4×10^{2}	kN·m
蒸発濃縮	処理水貯槽	本体	転倒	0.36	2.1×10^4	7. 0×10^4	kN•m
濃縮水	:タンク	本体	転倒	0.36	2. 1×10^2	5. 4×10^2	kN·m
濃縮廃	液貯槽	本体	転倒	0.36	1. 1×10^3	2.3×10^{3}	kN•m

b. 基準地震動 S s に対する評価

円筒型タンクに対し、基準地震動S s による地震力にて発生する応力等を算出し許容値と比較することにより、タンクの貯水機能維持について評価を実施した。評価の結果、基準地震動による地震力に対して発生する応力等は許容値よりも小さく、機能が維持されることを確認した(表-12)。

表-12 円筒型タンクの基準地震動Ssに対する評価結果

機器名称	評価部位	評価項目	算出值	許容值	単位
	側板	膜応力	246	360	MPa.
DO 40 18 → 12 18 十二十二十二十二十二十二十二十二十二十二十二十二十二十二十二十二十二十二十二	1月17以	座屈	0. 66	1	
RO 処理水貯槽 RO 濃縮水貯槽 蒸発濃縮処理水貯槽	接続ボルト (水平方向)	引張	355	525	MPa
於元候和[火型生/N月] 信	接続ボルト (鉛直方向)	引張	506	525	MPa

1.2.9. 地下貯水槽

(1) 構造強度評価

設計・建設規格におけるクラス 3 機器の要求を満足するものではないが、社団法人 雨水貯留浸透技術協会「プラスチック製地下貯留浸透施設技術指針」に準じたプラス チック製枠材及び日本遮水工協会により製品認定を受けている遮水シートを使用する ことで、高い信頼性を確保する。

(2) 耐震性評価

(2)-1.1. 評価の項目・目的

地下貯水槽の耐震性評価は次の2項目について実施する。

- ① 地下貯水槽の地震発生時の止水シートの強度(止水性)の確認
- ② 地下貯水槽に地震が作用した場合の貯水槽内部の貯水枠材の強度の確認
 - a) 地表面載荷荷重として 10kN/m² を考慮した場合
 - b) 地下貯水槽の上盤に車両が載った場合

表-13に、それぞれの評価項目の目的及び内容についてまとめたものを示す。このうち、最も重要なのは①にあげた地震発生時の止水性の確認であり、貯水枠材の強度に関しては、仮に貯水枠材が破壊に至っても不具合事象としては上盤の陥没等が発生する程度と想定され、最も重要な貯水槽の性能である止水性に悪影響はないと考えられる。

表-13 評価項目毎の目的・内容

The second secon		
評価項目	一一の一般の一目的・内容の対象を表現	想定不具合事象
①止水シート強度	〇 地震力が作用した場合の止水	〇 止水シートが破断すると,
A BOOK OF THE STATE OF THE STAT	シートの発生ひずみ量を解析	地中に貯水が漏えい拡散す
to Agricon	し、シートが破断しないか、即	るリスクが生じる。
n dalah si	ち漏えい事象が発生しないか	
a e Val Val	を確認する。	Alteria
②貯水枠材強度	〇 貯水枠材に地震力が作用した	〇 貯水枠材が破壊すると、枠
a) 地表面載荷荷重	場合の貯水枠材応力度を検討	材が崩れて貯水槽の上盤が
$10 \mathrm{kN/m^2}$	して枠材の強度を確認する。	陥没する。それにより、上
②貯水枠材強度	○ 貯水槽の上盤に車両が載った	盤に敷設している PE シート
b) 車両荷重	場合(自動車荷重を考慮した場	が破断する可能性がある
	合)の貯水枠材の強度を確認す	が、このシートは雨水混入
	in 3. Chairman in the and	防止用のものであり、漏え
		いには直接関係ない。

(2)-1.2. 計算条件

各評価項目の作用荷重等の与条件の概要を表-14に示す。

表-14 評価項目毎の与条件

評価項目	作用震度	作用荷重
①止水シート強度	B クラス: 水平震度 0.3	各自重
	Sクラス:水平震度 0.6	engagi PAN di sa
②貯水枠材強度	B クラス:水平震度 0.3	地表載荷荷重
a) 地表面載荷荷重	Sクラス:水平震度 0.6	覆土荷重
$10 \mathrm{kN/m^2}$	鉛直震度 0.3	貯水枠材荷重
	,	地震時水平土圧
②貯水枠材強度	鉛直震度 0.3	自動車荷重(T-25)
b) 車両荷重		覆土荷重

(2)-1.3. 照査結果

照査結果を表-15に示す。また各項目の検討の詳細は表-15に示す別添資料に示す。

計算結果 許容値 詳細 評価項目 照查対象 作用震度 ①止水シート強度 0.148% 560% Bクラス 止水シートの 別添一2 ひずみ量 Sクラス 0.206% 560% ②貯水枠材強度 水平: 23.0kN/m² 30.0kN/m^2 貯水枠材の Bクラス a) 地表面載荷荷重 水平・鉛直 別添ー3 水平: 46.8kN/m² 52.5kN/m^2 10kN/m^2 Sクラス 強度 垂直:33.7kN/m² 102. $1kN/m^2$ 貯水枠材の ②貯水枠材強度 77. $3kN/m^2$ 102.1kN/m^2 別添一4 b) 車両荷重 鉛直強度

表-15 評価項目毎の照査結果

(3) スロッシングに対する評価

地下貯水槽の場合、プラスチック製枠材で構築される水室の中で最も大きなものの 寸法は幅 25cm 以下と小規模であり、スロッシングのような長周期問題は顕在化しない と考えられる。なお、検討の詳細については別添-5に示す。

(4)地下貯水槽を設置する地盤の評価

地下貯水槽は地盤を掘削して設置するため、掘削完了時の地盤は加圧密状態となっている。また設置するプラスチック製枠材と貯留する水の重量は、掘削した土砂(地盤)よりも小さいことから、地下貯水槽が掘削完了後の地盤上に設置されても、地盤が強度破壊等の不具合を発生することはないと考えられる。しかしながら、念のため、表層 0.5m の部分にはセメント系改良材による地盤改良を施し、地盤を補強する。

1.2.10. ポンプ

(1) 構造強度評価

材料証明書がなく、設計・建設規格におけるクラス 3 機器の要求を満足するものではないが、漏えい試験等を行い、有意な変形や漏えい、運転状態に異常がないことを確認した。従って、ポンプは必要な構造強度を有すると評価した。

なお、海外製の一部ポンプを除き、JIS 規格に準用したポンプを使用している。

1.2.11. 配管等

(1) 構造強度評価

a. 配管(鋼製)

材料証明書がなく、設計・建設規格におけるクラス 3 機器の要求を満足するものではないが、漏えい試験等を行い、有意な変形や漏えい、運転状態に異常がないことを確認した。従って、配管は必要な構造強度を有すると評価した。

また、配管の主要仕様から設計・建設規格に基づき板厚評価を実施した。評価に用いた数値を表-16-1に示す。評価の結果、最高使用圧力に耐えられることを確認した(表-16-2)。

 $t = \frac{PDo}{2S \ \eta + 0.8P}$

t: 管の計算上必要な厚さ

D₀ : 管の外径

P : 最高使用圧力[MPa]

S: 最高使用温度における

材料の許容引張応力[MPa]

η : 長手継手の効率

表-16-1 配管構造強度評価の計算根拠

衣一10一1 配售傳起烟度計劃切計算依拠										
評価 機器	口径	Sch.	材質	P [MPa]	温度 [℃]	Do [mm]	S [MPa]	η	t [mm]	
配管①	100A	80	STPG370 STPT370	1. 37	66	114.3	93	1.00	0.837 →	0.84
配管②	200A	80	STPG370 STPT370	1. 37	66	216. 3	93	1.00	1. 584 →	1.6
配管③	50A	40	SUS316L	1. 37	66	60. 5	108	1.00	0.382 →	0.39
配管④	80A	40	SUS316L	1. 37	66	89. 1	108	1.00	0.562 →	0. 57
配管⑤	50A	20S	SUS316L	0.3	50	60.5	110	0.60	0.137 →	0.14
配管⑥	80A	20S	SUS316L	0.3	50	89. 1	110	0, 60	0.202 →	0. 21
配管⑦	100A	20S	SUS316L	0. 3	50	114. 3	110	0.60	0. 259 →	0. 26
配管⑧	150A	20S	SUS316L	0.3	50	165. 2	110	0.60	0.375 →	0. 38
配管⑨	200A	20S	SUS316L	0.3	50	216.3	110	0.60	0.491 →	0.50
配管(10)	50A	80	STPG370 STPT370	1. 37	66	60. 5	93	1.00	0. 443 →	0. 45
配管⑪	80A	80	STPG370 STPT370	1. 37	66	89. 1	93	1.00	0.652 →	0. 66
配管①	150A	80	STPG370 STPT370	1. 37	66	165. 2	93	1.00	1.210 →	1.3
配管(3)	25A	80	STPG370	0.5	66	34.0	93	1.00	0.091 →	0. 10
配管⑭	50A	80	STPG370	0.5	66	60.5	93	1.00	0.162 →	0. 17
配管①	80A	80	STPG370	0.5	66	89.1	93	1.00	0.239 →	0. 24
配管16	100A	80	STPG370	0. 5	66	114. 3	93	1.00	0.307 →	0.31
配管⑰	50A	40	SUS316L	0. 97	66	60.5	108	1.00	0.271 →	0. 28
配管®	80A	40	SUS316L	0. 97	66	89. 1	108	1.00	0.399 →	0.40
配管(19	50A	40	SUS316L	1. 37	66	60. 5	108	0.60	0.634 →	0.64
配管20	80A	40	SUS316L	1. 37	66	89. 1	108	0, 60	0.934 →	0.94

表一16-2 配管構造強度評価結果

評価機器	口径	Sch.	材質	最高使用 圧力(MPa)	最高使用温度(℃)	必要肉厚 (mm)	肉厚 (mm)
配管①	100A	80	STPG370 STPT370	1.37	66	0.84	8. 6
配管②	200A	80	STPG370 STPT370	1.37	66	1.6	12. 7
配管③	50A	40	SUS316L	1. 37	66	0.39	3.9
配管④	80A	40	SUS316L	1.37	66	0.57	5. 5
配管⑤	50A	20S	SUS316L	0.3	50	0.14	3. 5
配管⑥	80A	20S	SUS316L	0.3	50	0. 21	4.0
配管⑦	100A	20S	SUS316L	0.3	50	0. 26	4.0
配管⑧	150A	20S	SUS316L	0. 3	50	0.38	5.0
配管⑨	200A	20S	SUS316L	0.3	50	0.50	6.5
配管⑩	50A	80	STPG370 STPT370	1.37	66	0.45	5.5
配管⑪	80A	80	STPG370 STPT370	1.37	66	0.66	7.6
配管⑫	150A	80	STPG370 STPT370	1. 37	66	1.3	11.0
配管(3)	25A	80	STPG370	0. 5	66	0. 10	4. 5
配管⑭	50A	80	STPG370	0.5	66	0.17	5. 5
配管(5)	80A	80	STPG370	0. 5	66	0.24	7.6
配管16	100A	80	STPG370	0. 5	66	0.31	8.6
配管切	50A	40	SUS316L	0.97	66	0.28	3.9
配管18	80A	40	SUS316L	0.97	66	0.40	5. 5
配管(19	50A	40	SUS316L	1.37	66	0.64	3, 9
配管20	80A	40	SUS316L	1.37	66	0.94	5. 5

b. 耐圧ホース (樹脂製)

設計・建設規格上のクラス 3 機器に対する規定を満足する材料ではないが、系統の 温度、圧力を考慮して仕様を選定した上で、漏えい試験等を行い、漏えい、運転状態 に異常がないことを確認する。従って、耐圧ホースは、必要な構造強度を有している と評価した。

c. ポリエチレン管

設計・建設規格上のクラス 3 機器に対する規定を満足する材料ではないが、系統の 温度、圧力を考慮して仕様を選定している。また、ポリエチレン管は、一般に耐食性、 電気特性(耐電気腐食)、耐薬品性を有しており、鋼管と同等の信頼性を有している。 また、以下により高い信頼性を確保している。

- ・ 日本水道協会規格に適合したポリエチレン管を採用。
- ・ 継手は可能な限り融着構造とする。
- ・ 敷設時に漏えい試験等を行い、運転状態に異常がないことを確認している。 以上のことから、ポリエチレン管は、必要な構造強度を有するものと評価した。

- 2. 使用済セシウム吸着塔保管施設及び廃スラッジ貯蔵施設
- 2.1. 基本方針

2.1.1. 構造強度評価の基本方針

使用済セシウム吸着塔保管施設及び廃スラッジ貯蔵施設を構成する機器のうち放射性物質を内包する機器は、「発電用原子力設備に関する技術基準を定める省令」で定めるクラス3機器と位置づけられ、原則としてクラス3機器に要求される基準を満足するように設計する。万一適合しないものがある場合においても、温度、圧力、使用環境等を考慮し、一般民間規格に従う産業品を使用するとともに、機器の設計、製作、設置、検査等の各段階において、適切なものとなっていることを確認し、クラス3機器と同等以上の構造強度を持たせる。

2.1.2. 耐震性評価の基本方針

使用済セシウム吸着塔保管施設,廃スラッジ貯蔵施設を構成する機器は,「発電用原子炉施設に関する耐震設計審査指針」のBクラス相当の設備と位置づけられる。

使用済セシウム吸着塔保管施設,廃スラッジ貯蔵施設の耐震性に関する評価にあたっては,「JEAC4601 原子力発電所耐震設計技術規程」に準拠することを基本とするが,必要に応じて現実的な評価を行う。

また、配管に関しては、変位による破壊を防止するため、定ピッチスパン法による 配管サポート間隔の設定や、可撓性のある材料を使用する。

なお、廃スラッジー時保管施設等は、高濃度の放射性物質を貯蔵することから参考 としてSクラス相当の評価を行う。

2.2. 評価結果

2.2.1. 使用済セシウム吸着塔仮保管施設

(1) 構造強度評価

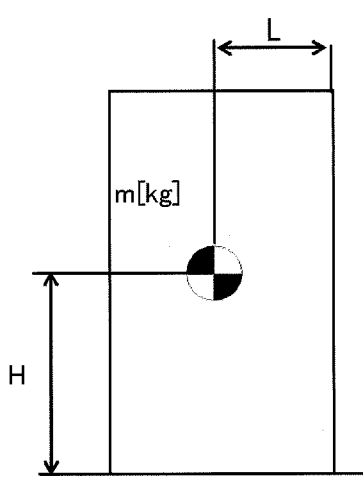
材料証明書がなく、設計・建設規格におけるクラス 3 機器の要求を満足するものではないが、漏えい試験等を行い、有意な変形や漏えい、運転状態に異常がないことを確認した。また、吸着塔の主要仕様から必要肉厚を評価し十分な肉厚を有していることを確認した。

以上のことから、吸着塔は必要な構造強度を有すると評価した。

(2) 耐震性評価

a. 転倒評価

地震による転倒モーメントと自重による安定モーメントを算出し、それらを比較することにより転倒評価を行った。評価に使用した数値を表-17-1に示す。評価の結果、地震による転倒モーメントは自重による安定モーメントより小さくなることから、転倒しないことを確認した(表-17-2)。



m : 機器質量

g : 重力加速度 (9.80665 m/s²)

w : 機器重量 (m×g)

H: 据付面からの重心までの距離

L: 転倒支点から機器重心までの距離

C_H: 水平方向設計震度

地震による転倒モーメント: $M_1[N \cdot m] = m \times g \times C_H \times H$ 自重による安定モーメント: $M_2[N \cdot m] = m \times g \times L$

表-17-1 使用済セシウム吸着塔仮保管施設の転倒評価数値根拠

機器名利	機器名称			L[m]	C_{H}	$M_1[kN \cdot m]$	M ₂ [kN·m]
ボックス				0 00	136 →	298 →	
カルバー	F	[kN]			0. 30	1. 4×10^2	2.9×10^{2}
セシウム吸着	装置				0.00	81.1 →	124 →
吸着塔	吸着塔				0.36	8. 2×10^{1}	1.2×10^2
	nT 关址		23.2		0.06	180. 3 →	
第二セシウム	吸着塔	[t]			0. 36	1.9×10^2	421 →
吸着装置吸着塔					0.60	300. 1 →	4. 2×10^2
	架台	[t]			0.00	3.1×10^{2}	

b. 滑動評価

地震時の水平荷重によるすべり力と接地面の摩擦力を比較することにより、滑動評価を実施した。評価の結果、地震時の水平荷重によるすべり力は接地面の摩擦力より小さいことから、滑動しないことを確認した(表-17)。

地震時の水平荷重によるすべり力 : $F_L = C_H \times m \times g \rightarrow F_L / (m \times g) = C_H$

接地面の摩擦力 : $F_{\mu} = \mu \times m \times g \rightarrow F_{\mu} / (m \times g) = \mu$

m : 機器質量 g : 重力加速度

C_H: 水平方向設計震度 (0.36, 0.57)

μ: 摩擦係数 (コンクリート/鉄:0.40, 鉄/鉄:0.52)

表-17-2 使用済セシウム吸着塔仮保管施設耐震評価結果

機器名称	評価部位	評価項目	水平震度	算出値	許容値	単位
ボックス	本体	転倒	0. 30	1.4×10^{2}	2.9×10^{2}	kN∙m
カルバート		滑動	0.30	0.30	0.40	(N = 11)
セシウム吸着装置	**	転倒	0. 36	8. 2×10 ¹	1.2×10^2	kN•m
吸着塔	本体	滑動	0. 36	0.36	0.52	
		丰二 ⁄公[0. 36	1.9×10^{2}	4.2×10^{2}	LM
第二セシウム	本体	転倒	0.60	3.1×10^2	4.2 \ 10	kN∙m
吸着装置吸着塔	本件	्राम वस्त्र	0.36	0.36	0, 52	
		滑動	0. 52	0. 52	0. 52	

2.2.2. 使用済セシウム吸着塔一時保管施設

(1) 構造強度評価

材料証明書がなく、設計・建設規格におけるクラス 3 機器の要求を満足するものではないが、漏えい試験等を行い、有意な変形や漏えい、運転状態に異常がないことを確認した。また、吸着塔の主要仕様から必要肉厚を評価し十分な肉厚を有していることを確認した。

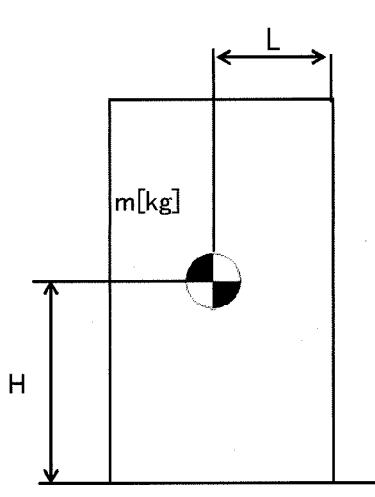
以上のことから、吸着塔は必要な構造強度を有すると評価した。

(2) 耐震性評価

a. 転倒評価

地震による転倒モーメントと自重による安定モーメントを算出し、それらを比較することにより転倒評価を行った。なお、セシウム吸着装置吸着塔はそれを格納するボックスカルバートと合わせて吸着塔 32 塔と蓋付ボックスカルバート 16 基での評価、第二セシウム吸着装置吸着塔はそれを格納する架台と合わせて吸着塔 10 塔と架台 2 台 (一組) で評価を実施した。

評価に用いた数値を表-18-1に示す。評価の結果、地震による転倒モーメントは自重による安定モーメントより小さくなることから、転倒しないことを確認した(表-18-2)。



m : 機器質量

g: 重力加速度 (9.80665 m/s²)

w : 機器重量 (m×g)

H: 据付面からの重心までの距離

L: 転倒支点から機器重心までの距離

C_H: 水平方向設計震度

(各記号の下付文字は、下記を意味する。

v:吸着塔, 高性能容器

b:ボックスカルバート,架台

地震による転倒モーメント: $M_1[N \cdot m] = m \times g \times C_H \times H$ $= g \times C_H \times (m_v \times H_v + m_b \times H_b)$

自重による安定モーメント: $M_2[N \cdot m] = m \times g \times L$

 $= (m_v \times L_v + m_h \times L_h) \times g$

20

	${ m M}_2$ [kN·m]		18,120 →	1.8×10 ⁴ **3		3, 775 →	3.7×10^3	45.6 →	4.5×10^1
[根拠	M_1 [kN·m]	→ Ne4 →	7.9×10 ³ *2 13,107 \rightarrow 1.4×10 ⁴ *2		1, 4 ^ 10	$1,685 \rightarrow 1.7 \times 10^3$	$2,808 \rightarrow 2.9 \times 10^3$	$20.3 \rightarrow 2.1 \times 10^{1}$	$33.9 \rightarrow$ 3.4×10^1
喜評価数値	水 震 度		0.36	09.0		0.36	0.60	0.36	09 0
植設の耐	J E								
塔一時保管加	H	** *							
使用済セシウム吸着塔一時保管施設の耐震評価数値根拠	m / w	[kN]	[kN]	[kN]	[kN]	[kg]	[kg]		[K8]
使用済	数量	32	91	16	2	10	2		7.)\
表—18—1		吸着塔	ボックスカルバート	ボックス カルバート蓋	(1) 人類	吸着塔	米中		
	機器名称		吸着塔+カルバート (セシウム吸着装置	吸着塔32 塔と ボックルカルバート 16 基)		吸着塔十架台////////////////////////////////////	(現一でンソム数看表庫 吸着塔 10 本と架台 2台)		同任的各种

※1:ボックスカルバートへの荷重作用高さ

※2:吸着塔の水平荷重の半分がボックスカルバートに作用するとして評価※3:ボックスカルバート及び遮へい(吸着塔を含まず)の評価

b. 滑動評価

セシウム吸着装置吸着塔については、ボックスカルバートとあわせ地震時の水平荷重によるすべり力と接地面の摩擦力を比較することにより、滑動評価を実施した。評価の結果、地震時の水平荷重によるすべり力は接地面の摩擦力より小さいことから、滑動しないことを確認した(表-18-2)。なお、S クラス相当の評価では、地震時の水平荷重によるすべり力が設置面の摩擦力より大きくなり、滑動する結果となったことから、別途すべり量の評価を実施した。

地震時の水平荷重によるすべり力 : $F_L = C_H \times m \times g \rightarrow F_L / (m \times g) = C_H$ 接地面の摩擦力 : $F_\mu = \mu \times m \times g \rightarrow F_\mu / (m \times g) = \mu$

m : 機器質量

g : 重力加速度

C_H: 水平方向設計震度 (0.36, 0.57)

μ: 摩擦係数 (コンクリート/鉄:0.40, 鉄/鉄:0.52)

第二セシウム吸着装置吸着塔については、基礎ボルトにて固定していることから基礎ボルトに作用するせん断荷重と許容せん断荷重を比較することより滑動評価を実施した。基礎ボルトの許容せん断荷重は「日本建築学会:各種合成構造設計指針・同解説」に基づき次式を用いた。評価の結果、基礎ボルトの破断による滑動が生じないことを確認した(表-18-2)。

$$q = mg(C_H - \alpha) \div n$$

$$= g(m_v + m_b)(C_H - \alpha) \div n$$

$$q_a = 0.75 \cdot \phi_{S3}(0.5 \cdot_{SC} a \cdot \sqrt{F_c \cdot E_c})$$

q : アンカーボルトー本に作用するせん断荷重

g。: アンカーボルトー本当たりの許容せん断荷重

C_H: 水平方向設計震度 (0.36, 0.60)

m : 機器重量 (吸着塔 mv: kg, 架台 mb: kg)

g : 重力加速度 (9.80665 m/s²)

α:機器と床版の摩擦係数 (0.4)

n : 機器あたりのアンカーボルト本数 (本)

φs3: 短期荷重に対する低減係数 (0.6)

sca: アンカーボルトの定着部の断面積 (mm²)

F。: コンクリート設計基準強度 (N/mm²)

 E_c : コンクリートのヤング率 (N/mm^2)

CH=0.36 の場合

 $q = -1.6 \text{ kN} \rightarrow せん断荷重は発生しない。}$

CH=0.60 の場合

 $q = 7.9 \text{ kN} \rightarrow 8 \text{ kN}$

 $qa = 77.4 \text{ kN} \rightarrow 77 \text{ kN}$

c. すべり量評価

吸着塔と架台等の地震時におけるすべり量は、剛体の地震時変形量評価手法である Newmark 法を用いて算出する。評価の結果すべり量が架台間の許容値を超えないことを 確認した (表-19)。

表-18-2 使用済セシウム吸着塔一時保管施設耐震評価結果

機器名称	評価項目	水平震度	算出値	許容値	単位	
吸着塔+カルバート	転倒	0.36	7.9×10^3	1.8×10 ⁴	kN·m	
(セシウム吸着装置		0. 60	1.4×10^4	1.0010	KIN'M	
吸着塔 32 塔と	滑動	0. 36	0.36	0. 40		
ボックルカルバート 16 基)	(1)	0.60	0.60	0.40		
吸着塔+架台	転倒	0.36	1.7×10^3	3.7×10^3	kN∙m	
	#A P	0.6	2.9×10^3	3. (\ 10		
(第二とフラム級省表置	滑動	0. 36	<0	77	kN	
汉有品 10 平 2 末 1 2 日 7	(ボルトせん断)	0.6	8			
	転倒	0. 36	2.1×10^{1}	4.5×10^{1}	1-NI	
高性能容器		0.60	3.4×10^{1}	4.5 10	kN·m	
同工化台的	滑動	0. 36	0.36	0.40		
	11 (1)	0.60	0, 60	0.40		

表-19 使用済セシウム吸着塔一時保管施設すべり量評価結果

機器名称	評価項目	水平震度	算出値	許容値	単位
吸着塔+カルバート					
(セシウム吸着装置 吸着塔 32 塔と	すべり量	0.60	93.3	494	mm
ホ゛ックルカルハ゛ート 16 基)					

2.2.3. 廃スラッジー時保管施設

= 0.86

 $\rightarrow 0.9$

(1) 構造強度評価

スラッジ貯槽について,設計・建設規格に準拠し,板厚評価を実施した(表-20)。

t: 胴の計算上必要な厚さ

Di : 胴の内径 (mm)

H : 水頭 (mm)

ρ : 液体の比重 (1.2)

S: 最高使用温度 (50°C) における

材料 (SS400) の許容引張応力 (100 MPa)

η: 長手継手の効率 (0.7)

ただし、tの値は炭素鋼、低合金鋼の場合はt=3[mm]以上、その他の金属の場合はt=1.5[mm]以上とする。また、内径の区分に応じた必要厚さを考慮する。

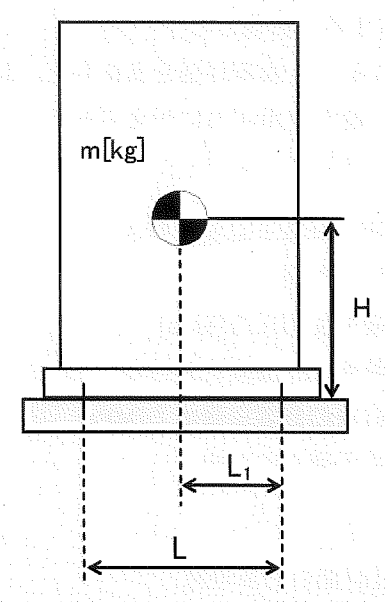
表-20 スラッジ貯槽板厚評価結果

機器名称		評価部位	必要肉厚[mm]	実厚[mm]
スラッジ貯槽	円筒型(横置き)	タンク板厚	3.0	25. 0

(2) 耐震性評価

a. 基礎ボルトの強度評価

耐震設計技術規程に準拠して評価を行った結果,基礎ボルトの強度が確保されることを確認した(表-21)。



m · 機器質量

g : 重力加速度 (9.80665 m/s²)

H: 据付面からの重心までの距離

L: 基礎ボルト間の水平方向距離

L: 重心と基礎ボルト間の水平方向距離

n_f: 引張力の作用する基礎ボルトの評価本数

n : 基礎ボルトの本数

A_b: 基礎ボルトの軸断面積

C_H: 水平方向設計震度

C_v: 鉛直方向設計震度 (0)

基礎ボルトに作用する引張力: $F_b = \frac{1}{L} \Big(m \times g \times C_H \times H - m \times g \times (1 - C_V) \times L_1 \Big)$

基礎ボルトの引張応力: $\sigma_b = \frac{F_b}{n_f \times A_b}$

基礎ボルトのせん断応力: $\tau_b = \frac{m \times g \times C_H}{n \times A_b}$

表-21 スラッジ貯槽の基礎ボルトの強度評価結果

機器名称	評価部位	評価項目	水平震度	算出值	許容値	単位
		引張	0.36	11	439	MPa
スラッジ貯槽	基礎ボルト	5134	0.94	131	439	мга
	を使い/レト	せん断	0.36	42	227	MAL
disk see s		せん例	0. 94	122	337	MPa

2.2.4. 配管等

(1) 構造強度評価

 $t = \frac{PDo}{2S \ \eta + 0.8P}$

a. 配管 (鋼製)

材料証明書がなく、設計・建設規格におけるクラス 3 機器の要求を満足するものではないが、漏えい試験等を行い、有意な変形や漏えい、運転状態に異常がないことを確認した。従って、配管は必要な構造強度を有すると評価した。

また、配管の主要仕様から設計・建設規格に基づき板厚評価を実施した。評価に用いた数値を表-22-1に示す。評価の結果、最高使用圧力に耐えられることを確認した(表-22-2)。

t : 管の計算上必要な厚さ

D₀ : 管の外径

P : 最高使用圧力[MPa]

S: 最高使用温度における

材料の許容引張応力[MPa]

η : 長手継手の効率

表-22-1 配管構造強度評価の計算根拠

	次 2 2 1 配目情度热及时間*/ 时奔底使									
評価 機器	口径	Sch.	材質	温度 [℃]	P [MPa]	Do [mm]	S [*] [MPa]	η	t [mm]	
配管①	50A	20S	SUS316L	50	0.3	60.5	110	1.00	$0.082 \rightarrow 0.09$	
配管②	80A	20S	SUS316L	50	0.3	89.1	110	1.00	$0.121 \rightarrow 0.13$	
配管③	50A	20S	SUS316L	50	0.98	60.5	110	1.00	$0.269 \rightarrow 0.27$	
配管④	80A	20S	SUS316L	50	0. 98	89. 1	110	1.00	$0.395 \rightarrow 0.40$	
配管⑤	50A	40	SUS316L	50	0.98	60.5	110	1.00	$0.269 \rightarrow 0.27$	
配管⑥	80A	40	SUS316L	50	0. 98	89. 1	110	1.00	$0.395 \rightarrow 0.40$	
配管⑦	80A	40	SUS329J4L	50	0. 98	89. 1	110	1.00	$0.395 \rightarrow 0.40$	
配管⑧	100A	40	SUS329J4L	50	0. 98	114.3	110	1.00	$0.507 \rightarrow 0.51$	
配管⑨	125A	40	SUS329J4L	50	0. 98	139.8	110	1.00	$0.621 \rightarrow 0.63$	
配管⑩	100A	40	SUS316L	50	0. 98	114.3	110	1.00	$0.507 \rightarrow 0.51$	

※:SUS329J4Lの許容引張応力は設計・建設規格にて定められていないため、保守的に SUS316L の値を使用。

表-22-2 配管構造強度評価結果

評価機器	口径	Sch.	材質	最高使用 圧力(MPa)	最高使用 温度 (℃)	必要肉厚 (mm)	肉厚 (㎜)
配管①	50A	20S	SUS316L	0.3	50	0.09	3.5
配管②	80A	20S	SUS316L	0.3	50	0. 13	4.0
配管③	50A	20S	SUS316L	0. 98	50	0.27	3.5
配管④	80A	20S	SUS316L	0. 98	50	0, 40	4.0
配管⑤	50A	40	SUS316L	0.98	50	0. 27	3.9
配管⑥	80A	40	SUS316L	0.98	50	0.40	5.5
配管⑦	80A	40	SUS329J4L	0.98	50	0.40	5.5
配管⑧	100A	40	SUS329J4L	0.98	50	0. 51	6.0
配管9	125A	40	SUS329J4L	0.98	50	0.63	6. 6
配管⑩	100A	40	SUS316L	0. 98	50	0. 51	6. 0

b. 耐圧ホース (樹脂製)

設計・建設規格上のクラス 3 機器に対する規定を満足する材料ではないが、系統の 温度、圧力を考慮して仕様を選定した上で、漏えい試験等を行い、漏えい、運転状態 に異常がないことを確認する。従って、耐圧ホースは、必要な構造強度を有している と評価した。

以上

別冊 6

原子炉格納容器ガス管理設備に係る補足説明

I 原子炉格納容器ガス管理設備の構造強度及び耐震性について

1. 1号機

(1) 排気ファンの構造強度及び耐震性

(a) 構造強度

排気ファンについては、工場試験にて締切運転(約 6kPa)を実施し、異常がないことを確認しており、排気ファンの運転にあたり十分な構造強度を有していると評価する。

(b) 耐震性

排気ファンの耐震性評価として、「JEAG4601(1987年度)」を準用し、ファン基礎ボルトの評価を行った。なお、震度については、耐震設計審査指針上の耐震 C クラス設備に適用される静的地震力(1号機:0.21G)を採用した。基礎ボルトの許容応力については、供用状態 D における許容応力を適用し、ボルトの評価温度は 100 とした。ボルト 1 本当たりの引張荷重及びせん断荷重を評価した結果、ボルトに生じる引張及びせん断荷重は許容荷重以下であり、ボルトの強度が確保されることを確認した(表-1 参照)。

ボルトに作用する引張力 : $F_b = \frac{W(C_H + C_P) \cdot h + M_P - W(\mathbf{1} - C_P) \cdot l_1}{1/2 \cdot n_f \cdot (l_1 + l_2)}$

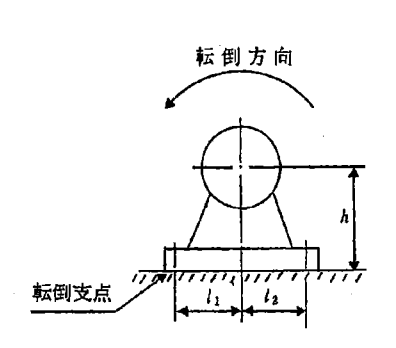
ボルトの引張応力 : $\sigma_b = \frac{F_b}{A_b}$

ボルトに作用するせん断力 : $Q_b = W(C_H + C_P)$

ボルトのせん断応力 : $au_b = \frac{Q_b}{n \cdot A_b}$

ボルトの許容引張応力 : $1.5f_{\iota}^{*} = 1.5 \times \frac{F^{*}}{2}$, $F^{*} = \min[1.2S_{v}, 0.7S_{u}]$

ボルトの許容せん断応力 : $1.5f_s^* = 1.5 \times \frac{F^*}{1.5\sqrt{3}}$



CH: 水平方向設計震度(0.21)

C_p: ファン振動による震度(

M_P:ファン回転により働くモーメント (■ N・mm)

l1 : 軸心と基礎ボルト間の距離 (mm)

l₂ : 軸心と基礎ボルト間の距離(l₁≤ l₂) (

d : 基礎ボルトの呼び径 (**mm**)

n : 基礎ボルトの本数 ()

nf: 引張力の作用する基礎ボルトの評価本数()

h: 据付面から重心までの距離 (mm)

W: 据付面に作用する重量(N) Ab: 基礎ボルトの軸断面積(mm^2

Sy: 設計降伏応力(MPa,

Su: 設計引張強さ(MPa,

表-1 排気ファンの基礎ボルトの強度評価結果

号機	系統	応力種類	耐震Cクラス設備に適用される 静的地震力による評価			
			発生荷重[MPa]	許容荷重[MPa]		
1	A. B	引張	5	174		
1	A, B	せん断	2	133		

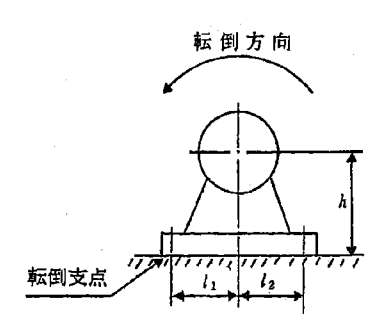
(2) フィルタユニットの構造強度及び耐震性

(a) 構造強度

フィルタユニットについては、最高使用圧力 0.35MPa に対し、工場にて 0.5MPa の 耐圧試験を実施し、破損等の異常がないことを確認している。以上のことから、フ イルタユニットについては、通常運転時の内圧に十分耐えうる構造強度を有してい ると判断する。

(b) 耐震性

フィルタユニットの耐震性評価として,「JEAG4601(1987年度)」を準用し,1.(1) (b) と同様の方法で基礎ボルトの評価を行った。なお、震度については、耐震設 計審査指針上の耐震 C クラス設備に適用される静的地震力(1 号機: 0.21G)を採用 した。基礎ボルトの許容応力については、共用状態 D における許容応力を適用し、 ボルトの評価温度は100℃とした。ボルト1本当たりの引張荷重及びせん断荷重を評 価した結果、ボルトに生じる引張及びせん断荷重は許容荷重以下であり、ボルトの 強度が確保されることを確認した(表-2参照)。



CH: 水平方向設計震度(0.21)

C_p: ファン振動による震度()

M_P:ファン回転により働くモーメント(N・mm)

l1: 軸心と基礎ボルト間の距離(

l₂: 軸心と基礎ボルト間の距離(l₁≤ l₂)

d : 基礎ボルトの呼び径 (mm)

n : 基礎ボルトの本数 ()

nf: 引張力の作用する基礎ボルトの評価本数()

h : 据付面から重心までの距離(

W: 据付面に作用する重量(

Ab: 基礎ボルトの軸断面積(

Sy:設計降伏応力(MPa, Su:設計引張強さ(MPa,

 $F_{b} = \frac{W(C_{H} + C_{P}) \cdot h + M_{P} - W(1 - C_{P}) \cdot l_{1}}{1/2 \cdot n_{F} \cdot (l_{1} + l_{2})}$ ボルトに作用する引張力

 $: \quad \sigma_b = \frac{F_b}{A_b}$

ボルトの引張応力

 $: Q_b = W(C_H + C_P)$ ボルトに作用するせん断力

 $: \quad \boldsymbol{\tau}_b = \frac{Q_b}{n \cdot A_b}$ ボルトのせん断応力

: $1.5f_t^* = 1.5 \times \frac{F^*}{2}$, $F^* = \min[1.2S_y, 0.7S_u]$ ボルトの許容引張応力

: $1.5f_s^* = 1.5 \times \frac{F^*}{1.5\sqrt{3}}$ ボルトの許容せん断応力

表-2 フィルタユニットの基礎ボルトの強度評価結果

Z = Z Z Z Z Z Z Z Z Z					[betters]
号機	系統		応力種類	耐震Cクラス設備に適用される 静的地震力による評価	
				発生荷重[MPa]	許容荷重[MPa]
4	Δ. Ι	А, В	引張	作用しない	174
1	A,		せん断	10	133

(3) 管の構造強度及び耐震性

(a) 構造強度

配管については、「設計・建設規格(2005年版)」に基づき、クラス4配管の必要最 小厚さに対して十分な厚さを有していることを確認しており、十分な構造強度を有 していると評価している(表-3参照)。

表-3	配管強度確認結果
スマーン	

₩ % ጆ Г]	'- 1144	公称肉厚	設計・建設規格上の
外径[mm]	型式	[mm]	必要最小厚さ[mm]
34.0	円型	4. 5	0.5
60. 5	円型	5. 5	0.5
89. 1	円型	5. 5	0. 5
114. 3	円型	6.0	0. 5
165. 2	円型	7. 1	0.5

(b) 耐震性

a. 評価条件

配管は、配管軸直角 2 方向拘束サポートを用いた両端単純支持の配管系(両端単純支持はり構造)とする。また、配管は水平方向主体のルートを想定し、管軸方向については地震により管軸方向は動かないものとし、水平方向震度による管軸直角方向の配管応力評価を考える。水平方向震度は、0.21Gとする。

b. 評価方法

管軸直角方向の地震による応力は、下図に示す自重による応力の震度倍で表現でき(1)式で表すことができる。

$$Ss = \alpha Sw \tag{1}$$

Ss:地震による応力 [MPa]

α:水平方向震度[-]

Sw: 自重による応力[MPa]

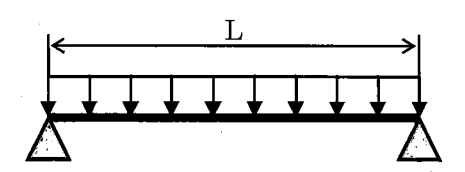
$$\lesssim \lesssim \tilde{C}, \quad Sw = \frac{wL^2}{8Z}$$

Sw: 自重による応力[MPa]

L:サポート支持間隔[mm]

Z: 断面係数[mm3]

w:等分布荷重[N/mm]



両端単純支持はりの等分布荷重より 求まる自重による応力

また、崩壊制限に「JEAG4601 (1984 年度)」を準用し、供用状態 D の場合の一次 応力制限を用いるとすると、地震評価としては(2)式で表すことができる。

$$S = Sp+Sw+Ss = Sp+Sw+\alpha Sw = Sp+(1+\alpha)Sw \leq 0.9Su$$
 (2)

Sp:内圧による応力[MPa]

Sw: 自重による応力[MPa]

Ss:地震による応力[MPa]

S:内圧, 自重, 地震による応力[MPa]

α:水平方向震度[-]

従って、上記(2)式を満足するように、配管サポート配置を設定することにより、 配管の崩壊は抑制できる。

c. 評価結果

両端単純支持はりで自重による応力 Sw が 40 MPa 程度の配管サポート配置とした場合,発生応力は許容応力に対して十分な裕度を有すると評価した。

一例として, この時の 150A (Sch. 40) 配管のサポート間隔 L は約 9.7m となる。

Z: 断面係数 (1.337×10⁵ mm³)

w:等分布荷重 (0.45 N/mm)

・内圧による応力 Sp=10 MPa, 許容応力を STPT370(100℃)の 0.9Su=315 MPa とし, (2)式に代入すると以下となる。

 $S = 59 \text{ MPa} \leq 0.9 \text{Su} = 315 \text{ MPa}$

(3)

・継手がある場合には、応力係数も存在する。応力係数を 3 とし、以下となる。 $S = Sp+(1+\alpha)Sw \times 3 = 156$ MPa $\leq 0.9Su = 315$ MPa (4)

2. 2/3号機

(1) 排気ファンユニットの構造強度及び耐震性

(a) 構造強度

排気ファンについては、系統最高使用圧力 5.2kPa に対し、工場にて 7.0kPa の気密試験を実施し、漏えい等の異常がないことを確認していることから、ファンの最高使用圧力に十分耐えうる構造強度を有していると判断する。

(b) 耐震性

ファンを鋼材と共にユニット化し、支持しているキャスタの回転をストッパ(車輪止め)で防止し、ストッパをボルト(2号: 鋲アンカ、3号: メカニカルアンカ)で固定している。これを踏まえ、耐震性の評価として、ボルトの強度が確保されること及びキャスタがストッパを乗り上げないことの評価を行った。なお、震度については、耐震設計審査指針上の耐震 C クラス設備に適用される静的地震力(2、3号機: 0.216)による評価を行った。

a. ボルトの強度評価及び転倒評価

ボルト強度評価に当たっては、JEAC4601-2008 を準用し、ボルト1本当たりの引張荷重及びせん断荷重を評価した。その結果、ボルトに生じる引張及びせん断荷重は許容荷重以下であり、ボルトの強度が確保されることを確認した(表-4参照)。

表-4 排気ファンユニットの基礎ボルトの強度評価結果

号機	系統	応力種類	耐震Cクラス設備に適用される 静的地震力による評価		
			発生荷重[N]	許容荷重[N]	
	۸	引張	作用しない	200	
2	A	せん断	158	200	
	В	引張	作用しない	200	
		せん断	167	200	
	A	引張	作用しない	2843	
3	A	せん断	474	1725	
3	В	引張	作用しない	2843	
	В	せん断	502	1725	

ボルトに作用するせん断力: $Q = \frac{C_H \cdot m \cdot g}{n}$

: $F = \frac{C_H \cdot m \cdot g \cdot h - m \cdot g \cdot L_1}{n_f \cdot (L_1 + L_2)}$ ボルトに作用する引張力

CH: 水平方向設計震度(0.21)

m:機器の運転時質量(A 系: kg、B 系: h:重心高さ(A 系: mm、B 系: mm)

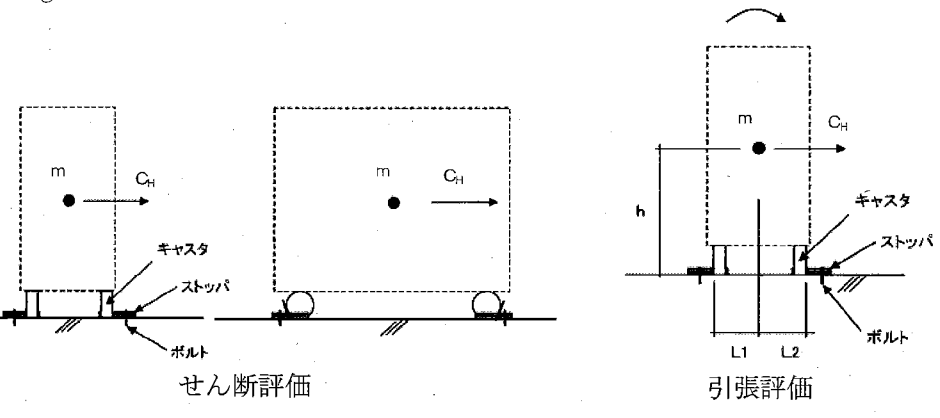
L1, L2:重心とボルト間の水平距離(L1≦L2)

(A 系: L1= mm, L2= mm、B 系: L1= mm, L2= mf: 評価上引張力を受けるボルト本数 2号機(A 系: ■、B系: ■), 3号機(A 系: ■、B系: ■)

n:評価上せん断力を受けるボルト本数

2号機(A 系:■、B系:■), 3号機(A 系:■、B系:■)

g: 重力加速度(9.80665m/s2)



ここで、2号機の鋲アンカ及び3号機のメカニカルアンカの許容荷重の設定に ついては以下の通り。

2号機(鋲メーカの製品カタログから

引張荷重 せん断荷重 14mm≦h_{cm}<18mm | 18mm≤h_{cm}<22mm

3号機(柏崎刈羽原子力発電所6号機建設時の後打ちアンカ使用基準に基 づき. のメカニカルアンカの許容荷重を採用)



b. キャスタ乗り上げ評価

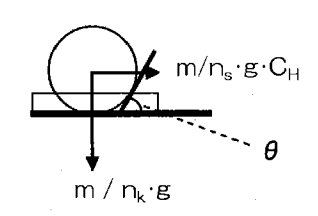
キャスタが回転する方向に対し、地震力によりキャスタがストッパ斜め部を乗り上げないことを力の釣り合いにより確認した。その結果、乗り上げ最大角度は約23°と計算され、実際の据え付け角度60°より小さいことから、キャスタの乗り上げは発生しないことを確認した(表-5参照)。

表-5 排気ファンユニットのキャスタ乗り上げ評価結果

号機	系統	ストッパ角度	乗り上げ最大角度
2, 3	A, B	60°	約 23°

乗り上げないためのストッパ角度: $\theta \ge an^{-1} \left(\frac{\frac{m}{n_s} \cdot g \cdot C_H}{\frac{m}{n_k} \cdot g} \right) = an^{-1} \left(\frac{C_H \cdot n_k}{n_s} \right)$

乗り上げ方向



C_H: 水平方向設計震度(0.21)

nk:キャスタ数量(📗)

n_s:乗り上げ荷重を受け止めるストッパの最小数量(■)

キャスタ乗り上げ評価

(2) フィルタユニットの構造強度及び耐震性

(a) 構造強度

フィルタユニットについては、系統最高使用圧力 5.2kPa に対し、工場にて 7.0kPa の気密試験を実施し、漏えい等の異常がないことを確認している。以上のことから、フィルタユニットについては、系統の最高使用圧力に十分耐えうる構造強度を有していると判断する。

(b) 耐震性

フィルタを鋼材と共にユニット化し、支持しているキャスタの回転をストッパ(車輪止め)で防止し、ストッパをボルト(2号: 鋲アンカ、3号: メカニカルアンカ)で固定している。これを踏まえ、耐震性の評価として、2.(1)(b)と同様、ボル

トの強度が確保されること及びキャスタがストッパを乗り上げないことの評価を行った。なお、震度については、耐震設計審査指針上の耐震 C クラス設備に適用される静的地震力 (2,3 号機:0.21G) による評価を行った。

a. ボルトの強度評価及び転倒評価

ボルト強度評価に当たっては、JEAC4601-2008 を準用し、ボルト1本当たりの引張荷重及びせん断荷重を評価した。その結果、ボルトに生じる引張及びせん断荷重は許容荷重以下であり、ボルトの強度が確保されることを確認した(表-6参照)。

ボルトに作用するせん断力: $Q = \frac{C_H \cdot m \cdot g}{n}$

ボルトに作用する引張力 : $F = \frac{C_H \cdot m \cdot g \cdot h - m \cdot g \cdot L_1}{n_f \cdot \left(L_1 + L_2\right)}$

C_H: 水平方向設計震度(0.21) m: 機器の運転時質量(■ kg)

h: 重心高さ(mm)

L1, L2:重心とボルト間の水平距離(L1≦L2) (L1= mm、L2= mm)

nf:評価上引張力を受けるボルト本数2号機(),3号機() n:評価上せん断力を受けるボルト本数2号機(),3号機()

g:重力加速度(9.80665m/s2)

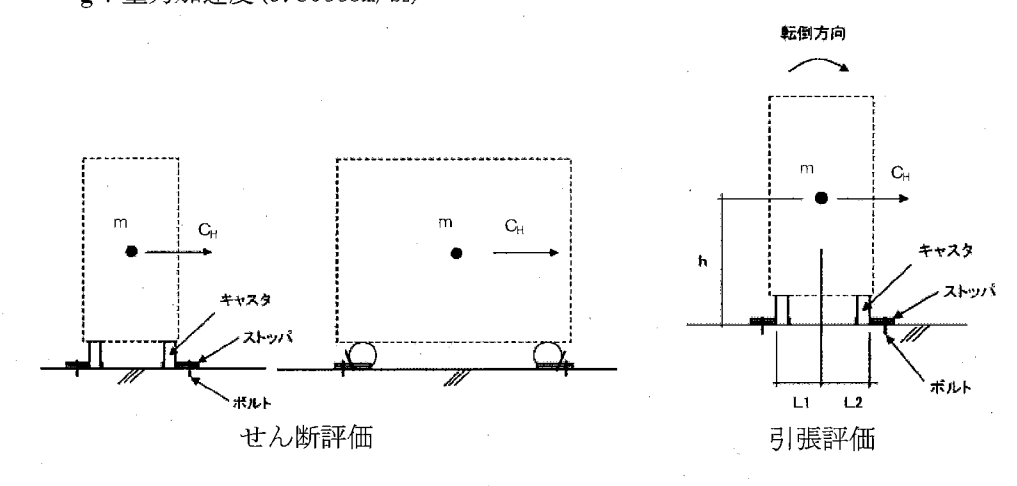


表-6 フィルタユニットの基礎ボルトの強度評価結果

号機	系統	応力種類	耐震 C クラス設備に適用される 静的地震力による評価			
			発生荷重[N]	許容荷重[N]		
0	_*	引張	作用しない	200		
2		-	-	せん断	169	200
-0	*	引張	作用しない	2843		
3		せん断	506	1725		

※ フィルタは2つ(2系統)で1つのユニットとなっている。

b. キャスタ乗り上げ評価

キャスタが回転する方向に対し、地震力によりキャスタがストッパ斜め部を乗り上げないことを力の釣り合いにより確認した。その結果、乗り上げ最大角度は約23°と計算され、実際の据え付け角度60°より小さいことから、キャスタの乗り上げは発生しないことを確認した(表-7参照)。

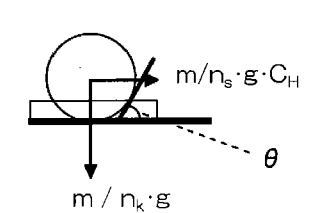
表-7 フィルタユニットのキャスタ乗り上げ評価結果

号機	系統	ストッパ角度	乗り上げ最大角度
2, 3	_*	60°	約 23°

※ フィルタは2つ(2系統)で1つのユニットとなっている。

乗り上げないためのストッパ角度:
$$\theta \geq an^{-1} \left(\frac{\frac{m}{n_s} \cdot g \cdot C_H}{\frac{m}{n_k} \cdot g} \right) = an^{-1} \left(\frac{C_H \cdot n_k}{n_s} \right)$$

乗り上げ方向



キャスタ乗り上げ評価

C_H: 水平方向設計震度(0.21)

nk:キャスタ数量()

ns:乗り上げ荷重を受け止めるストッパの最小数量(■)

(3) 放熱器ユニットの構造強度及び耐震性

(a) 構造強度

放熱器ユニットについては、系統最高使用圧力 5.2kPa に対し、工場にて 7.0kPa の気密試験を実施し、漏えい等の異常がないことを確認している。以上のことから、放熱器ユニットについては、通常運転時の内圧に十分耐えうる構造強度を有していると判断する。

(b) 耐震性

放熱器を鋼材と共にユニット化し、支持しているキャスタの回転をストッパ(車輪止め)で防止し、ストッパをボルト(2号: 鋲アンカ、3号: メカニカルアンカ)で固定している。これを踏まえ、耐震性の評価として、2.(1)(b)同様、ボルトの強度が確保されること、及びキャスタがストッパを乗り上げないことの評価を行った。なお、震度については、耐震設計審査指針上の耐震 C クラス設備に適用される静的地震力(2,3号機:0.216)による評価を行った。

a. ボルトの強度評価及び転倒評価

ボルト強度評価に当たっては、JEAC4601-2008 を準用し、ボルト1本当たりの引張荷重及びせん断荷重を評価した。その結果、ボルトに生じる引張及びせん断荷重は許容荷重以下であり、ボルトの強度が確保されることを確認した(表-8参照)。

表-8 放熱器ユニットの基礎ボルトの強度評価結果

	号機	系統		系統		系統		 系統		系統		応力種類	· · · · · · · · · · · · · · · · · · ·	備に適用される による評価			
					発生荷重[N]	許容荷重[N]											
	2	2 A. B		引張	作用しない	200											
	$\begin{bmatrix} 2 & A, \end{bmatrix}$	А, Б	А, Б	А, Б	А, Б	А, Б	, p	А, Б	А, Б	А, Б	А, Б	А, D	А, Б	А, Б	せん断	149	200
	9	4 D		引張	作用しない	2843											
	3	Α,	А, В	А, В	Α, Ι	А, В	А, В	А, В	せん断	447	1725						

ボルトに作用するせん断力: $Q = \frac{C_H \cdot m \cdot g}{n}$

ボルトに作用する引張力 : $F = \frac{C_H \cdot m \cdot g \cdot h - m \cdot g \cdot L_1}{n_f \cdot \left(L_1 + L_2\right)}$

CH: 水平方向設計震度(0.21)

m:機器の運転時質量(A/B 系: kg)

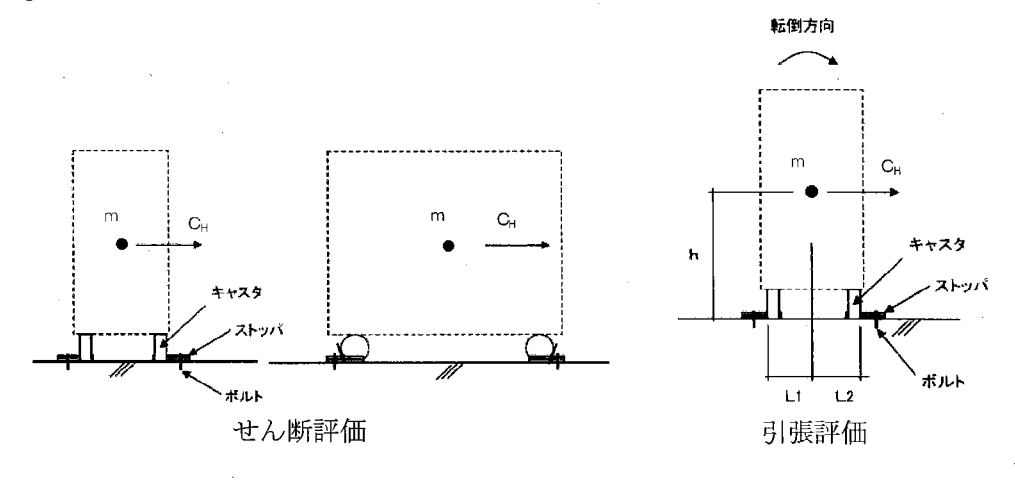
h:重心高さ(A/B 系: mm)

L1, L2:重心とボルト間の水平距離(L1≦L2) (A/B 系:L1= mm, L2= mm)

nf:評価上引張力を受けるボルト本数 2 号(A/B 系: ■), 3 号(A/B 系: ■)

n:評価上せん断力を受けるボルト本数2号(A/B系:),3号(A/B系:)

g:重力加速度(9.80665m/s²)



b. キャスタ乗り上げ評価

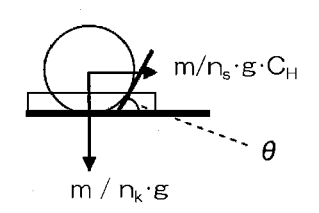
キャスタが回転する方向に対し、地震力によりキャスタがストッパ斜め部を乗り上げないことを力の釣り合いにより確認した。その結果、乗り上げ最大角度は約37°と計算され、実際の据え付け角度60°より小さいことから、キャスタの乗り上げは発生しないことを確認した(表-9参照)。

表-9 放熱器ユニットのキャスタ乗り上げ評価結果

号機	系統	ストッパ角度	乗り上げ最大角度
2, 3	А, В	60°	約 37°

乗り上げないためのストッパ角度:
$$\theta \ge an^{-1} \left(\frac{\frac{m}{n_s} \cdot g \cdot C_H}{\frac{m}{n_k} \cdot g} \right) = an^{-1} \left(\frac{C_H \cdot n_k}{n_s} \right)$$

乗り上げ方向



C_H: 水平方向設計震度(0.21)

nk:キャスタ数量()

ns:乗り上げ荷重を受け止めるストッパの最小数量(■)

キャスタ乗り上げ評価

(4) 管の構造強度及び耐震性

(4) -1 鋼管及び鋼板ダクト

(a) 構造強度

鋼管及び鋼板ダクトについては、「設計・建設規格(2005年版)」を準用し、クラス4配管の必要最小厚さに対して十分な厚さを有していることを確認しており、原子炉格納容器ガス管理設備における使用条件に対し、十分な構造強度を有していると判断する(表-10参照)。

次-10 配售强及推论相关						
<i>አ</i> ዘ ሪ ጆ []	#II - 1 -	公称肉厚	設計・建設規格上の			
外径[mm]	型式	[mm]	必要最小厚さ[mm]			
27. 2	円型	2.8	0. 5			
60.5	円型	3. 5	0.5			
60. 5	円型	3.8	0.5			
139.8	円型	2. 0	0.5			
216. 3	円型	6. 5	0.6			
260.0	角型	5.0	0.8			
267. 4	円型	4.0	0.6			
267. 4	円型	6. 5	0.6			

表-10 配管強度確認結果

(b) 耐震性

鋼管及び鋼板ダクトは分岐ヘッダ等の短い部分に使用しているが、その前後はフレキシビリティを有したフレキシブルチューブ (SUS 製)・ダクトホース (シリコン製)・防振継手と接続されており地震変位による有意な応力は発生しないと考える。

(4) - 2 ダクトホース

(a) 構造強度

ダクトホースは設計・建設規格に記載がない機器であるが,通常運転状態における漏えい確認試験を行い,有意な変形や漏えいがないことを確認していることから,必要な構造強度を有しているものと判断する。

(b) 耐震性

ダクトホースは、フレキシビリティを有しており、地震変位による有意な応力は 発生しないと考えられる。

(4) -3 フレキシブルホース

(a) 構造強度

フレキシブルホースは設計・建設規格に記載がない機器であるが,通常運転状態 における漏えい確認試験を行い,有意な変形や漏えいがないことを確認しているこ とから,必要な構造強度を有しているものと判断する。

(b) 耐震性

フレキシブルホースは、フレキシビリティを有しており、地震変位による有意な 応力は発生しないと考えられる。

別冊 7

使用済燃料プールからの燃料取り出し設備に係る補足説明

I 燃料取り出し用カバー換気設備の構造強度及び耐震性について

1. 構造強度

燃料取り出し用カバー換気設備は、その用途から換気空調設備に類似すると考える。当該設備は、「JSME S NC-1 発電用原子力設備規格 設計・建設規格」に定められた内包する流体の放射性物質の濃度が37mBq/cm³未満であることから適用除外の設備と位置付けられるが、系統機能試験等を行い、有意な変形や漏えい、運転状態に異常がないことを確認することで、必要な構造強度を有するものと評価する。

2. 耐震性

2.1 基本方針

燃料取り出し用カバーの換気設備は、換気空調系であるCクラス相当と位置付けられることから、一般構造物と同等の耐震性を有する設計とする。

2.2 主要設備の耐震構造

「JEAG4601-1987 原子力発電所耐震設計技術指針」等を準用し、静的震度(1.2Ci)に基づく主要機器の転倒等の評価を行い、Cクラス相当の耐震性を有するものと評価する。

2.3 第4号機燃料取り出し用カバー換気設備の耐震性

2.3.1 送風機・排風機の耐震性

送風機・排風機の耐震性評価として、「JEAG4601-1987 原子力発電所耐震設計技術指針」を準用し、送風機・排風機基礎の溶接部の評価を行った。なお、震度については、耐震設計審査指針上の耐震Cクラス設備に適用される静的地震力に余裕を持たせた 0.36G を採用した。基礎の溶接部の許容応力については、供用状態Dにおける許容応力を適用し、溶接部の評価温度は 50℃とした。基礎の溶接部のせん断応力を評価した結果、基礎の溶接部に生じるせん断応力は許容応力以下であり、基礎の溶接部の強度が確保されることを確認した(表 4 参照)。

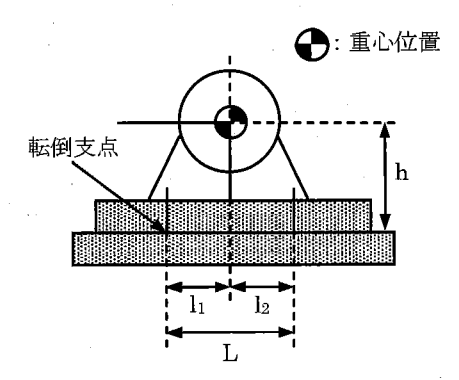


図1 送風機・排風機の耐震評価モデル

・評価部位:基礎の溶接部

・考慮する荷重:地震荷重 / 送風機・排風機振動による荷重

・計算に用いる数式

鉛直方向のせん断力
$$Q_{v} = \frac{W \cdot g \cdot (C_{H} + C_{P}) \cdot h + M_{P} - W \cdot g \cdot (1 - C_{P}) \cdot l_{1}}{\frac{1}{2} n_{f} \cdot (l_{1} + l_{2})}$$

鉛直方向のせん断応力
$$au_v = rac{Q_v}{A_w}$$

水平方向のせん断力
$$Q_H = W \cdot g \cdot (C_H + C_P)$$

水平方向のせん断応力
$$au_{H} = rac{Q_{H}}{n \cdot A_{W}}$$

W:据付面に作用する重量

g : 重力加速度(=9.80665)

h:据付面から重心までの距離

M_p :送風機・排風機回転により働くモーメント

※基礎溶接部に Mp は作用しない

1, :送風機・排風機重心と基礎の溶接部間の距離

1。:送風機・排風機重心と基礎の溶接部間の距離(1,≦1,)

n_f : 鉛直方向のせん断力の作用する基礎の溶接部の評価箇所数

n : 基礎の溶接部の箇所数

C_H: 水平方向設計震度

C_p:送風機・排風機振動による震度

表1 送風機緒言

W(kg)	$g(m/s^2)$	h (mm)	1 ₁ (mm)	1 ₂ (mm)			
2520 ⁻	9. 80665	860	305	345			
$n_{\mathbf{f}}$	n	A _w (mm ²)	C_{fl}	СР			
2	4	353.6	0.36	0. 1			
Sy(MPa) [₩]	Su(MPa) [※]	F(MPa)*					
211	394	114					

※発電用原子力設備規格 設計・建設規格(JSME S NC1-2005)の Sy, Su を 50 \circ 換算による。

表 2 排風機緒言

W(kg)	$g(m/s^2)$	h (mm)	1 ₁ (mm)	$1_2(\mathrm{mm})$
3460	9. 80665	1130	365	425
n _f	n	A_w (mm ²)	C_{H}	Ср
2	4	353.6	0.36	0.1
Sy (MPa) *	Su (MPa) *	F(MPa)*		
211	394	114		

※発電用原子力設備規格 設計・建設規格 (JSME S NC1-2005) の Sy, Su を 50℃換算による。

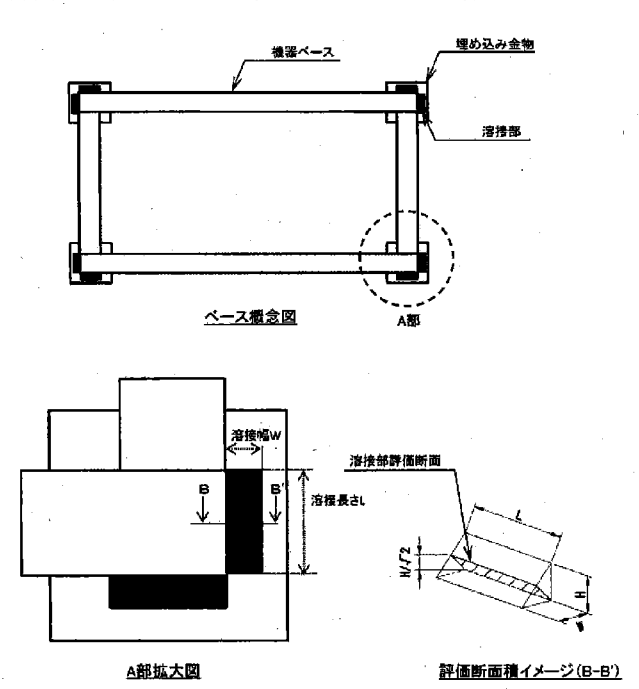


図 2 送風機・排風機機器ベース溶接箇所概念図

表 3 送風機・排風機機器ベース緒言

機器名称	溶接長さ L (mm)	溶接幅 W (mm)	溶接高さ H (mm)	のど厚 [(H/√2)] (mm)	溶接部 断面積 A _w (mm²)
送風機	50	10	10	7. 071	353.6
排風機	50	10	10	7. 071	353.6

以下に代表として送風機の計算過程を示す。

<算出応力>

$$Q_{v} = \frac{W \cdot g \cdot (C_{H} + C_{P}) \cdot h + M_{P} - W \cdot g \cdot (1 - C_{P}) \cdot l_{1}}{\frac{1}{2} n_{f} \cdot (l_{1} + l_{2})}$$

$$=\frac{2520\times9.80665\times(0.36+0.0968679)\times860+0-2520\times9.80665\times(1-0.0968679)\times305}{\frac{1}{2}\times2\times(305+345)}=4465.45(N)$$

$$\tau_v = \frac{Q_v}{A_W} = \frac{4465.45}{353.553} = 12.6303 (MPa) \rightarrow 13 (MPa)$$

$$Q_H = W \cdot g \cdot (C_H + C_P) = 2520 \times 9.80665 \times (0.36 + 0.0968679) = 11290.5(N)$$

$$\tau_{\rm H} = \frac{{\rm Q_H}}{{\rm n \cdot A_W}} = \frac{11290.5}{4 \times 353.553} = 7.98360 ({\rm MPa}) \rightarrow 8 ({\rm MPa})$$

鉛直方向のせん断応力 τ_v と水平方向のせん断応力 τ_H の最大値が13 (MPa)となる。

<許容応力>

許容応力については,発電用原子力設備規格 設計・建設規格 (JSME S NC1-2005) による。 Fは, 1.2Sy と 0.7Su の小さい値の 0.45 倍。

許容せん断応力=
$$\frac{F}{1.5 \times \sqrt{3}} \times 1.5 = \frac{114}{1.5 \times \sqrt{3}} \times 1.5 = 65.8179 (MPa) \rightarrow 65 (MPa)$$

評価対象機器	部位	材料	応力種類	算出応力 (MPa)	許容応力 (MPa)
送風機	基礎の 溶接部	SS400 相当	せん断	13	65
排風機	基礎の 溶接部	SS400 相当	せん断	23	65

表 4 送風機・排風機基礎の溶接部の強度評価

2.3.2 フィルタユニットの耐震性

フィルタユニットの耐震性評価として、「JEAG4601-1987 原子力発電所耐震設計技術指針」を準用し、2.3.1 項と同様の方法で基礎の溶接部の評価を行った。なお、震度については、耐震設計審査指針上の耐震Cクラス設備に適用される静的地震力に余裕を持たせた 0.36G を採用した。基礎の溶接部の許容応力については、供用状態Dにおける許容応力を適用し、溶接部の評価温度は 50℃とした。基礎の溶接部のせん断応力を評価した結果、基礎の溶接部に生じるせん断応力は許容応力以下であり、基礎の溶接部の強度が確保されることを確認した(表9参照)。

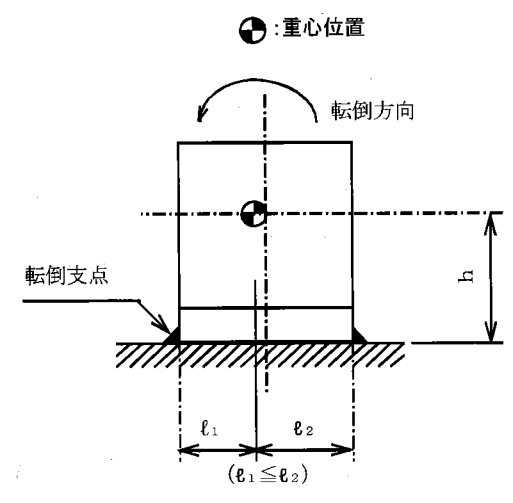


図3 フィルタユニットの耐震評価モデル

・評価部位:基礎の溶接部・考慮する荷重:地震荷重

・計算に用いる数式

鉛直方向せん断力
$$Q_v = \frac{W \cdot g \cdot C_H \cdot h - W \cdot g \cdot (1 - C_v) \cdot l_1}{n_f \cdot (l_1 + l_2)}$$

鉛直方向せん断応力 $au_v = rac{Q_v}{A_w}$

水平方向せん断力 $Q_H = W \cdot g \cdot C_H$

水平方向せん断応力 $au_{H} = \frac{Q_{H}}{n \cdot A_{,...}}$

W:据付面に作用する重量

g : 重力加速度(=9.80665)

h:据付面から重心までの距離

1 :フィルタユニット重心と基礎の溶接部間の距離

 1_2 : フィルタユニット重心と基礎の溶接部間の距離 $(1_1 \le 1_2)$

n_f:鉛直方向のせん断力の作用する基礎の溶接部の評価箇所数

n : 基礎の溶接部の箇所数

A_w:基礎の溶接部の断面積

C_H: 水平方向設計震度

C_v : 鉛直方向設計震度

表 5 給気フィルタユニット (プレフィルタ) 緒言

			. , ,	
W(kg)	$g(m/s^2)$	h (mm)	1 ₁ (mm)	1 ₂ (mm)
4139	9. 80665	1471	1043. 4	1856. 6
n_{f}	n	A _w (mm ²)	C _H	C _V
2	4	353. 6	0.36	0
Sy(MPa)*	Su(MPa)*	F(MPa)*		
211	394	114		

※発電用原子力設備規格 設計・建設規格 (JSME S NC1-2005) の Sy, Su を 50℃換算による。

表6 給気フィルタユニット(高性能粒子フィルタ)緒言

W(kg)	$g(m/s^2)$	h (mm)	1 ₁ (mm)	1 ₂ (mm)
3600	9. 80665	1326. 5	1010	1240
$n_{\mathbf{f}}$	n	A _w (mm ²)	C _H	$\mathrm{C}_{\mathtt{V}}$
2	4	353.6	0.36	0
Sy (MPa) *	Su(MPa)*	F(MPa)*		
211	394	114		

※発電用原子力設備規格 設計・建設規格 (JSME S NC1-2005) の Sy, Su を 50℃換算による。

表 7 排気フィルタユニット緒言

W(kg)	$g(m/s^2)$	h (mm)	1_1 (mm)	1 ₂ (mm)
6215	9.80665	1404	1012	1238
$n_{\mathbf{f}}$	n	A _w (mm ²)	C _H	C _v
2	4	495.0	_0.36	0
Sy (MPa) *	Su(MPa)*	F(MPa)*		
211	394	114		

※発電用原子力設備規格 設計・建設規格(JSME S NC1-2005)の Sy, Su を 50 \circ 換算による。

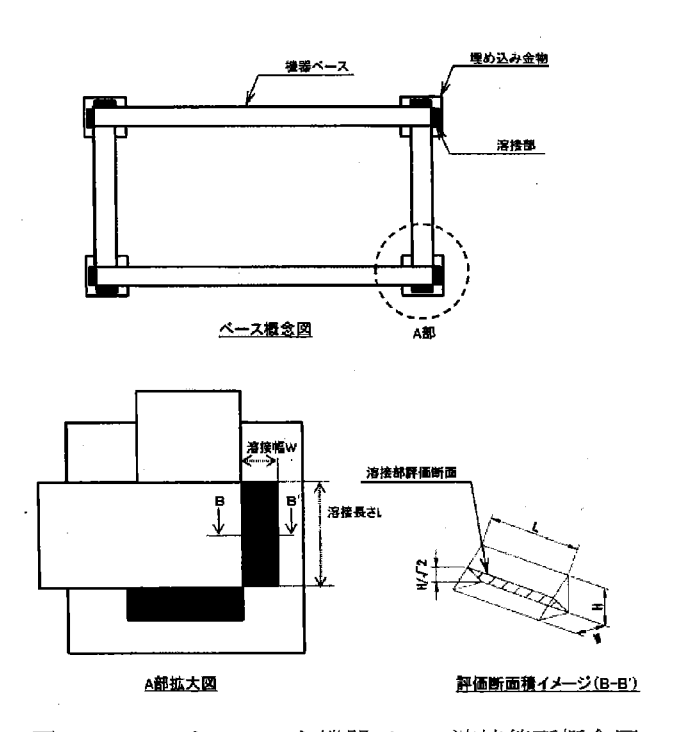


図4 フィルタユニット機器ベース溶接箇所概念図

表8 フィルタユニット機器ベース緒言

1 2 2 2 2 2 2 2 2 2 2 2 2 2 2 2 2 2 2 2						
機器名称	溶接長さ L (mm)	溶接幅 W (mm)	溶接高さ H (mm)	のど厚 [(H/√2)] (mm)	溶接部 断面積 A _w (mm²)	
給気フィルタユニット (プレフィルタ)	50	10	10	7. 071	353.6	
給気フィルタユニット (高性能粒子フィルタ)	50	10	10	7. 071	353.6	
排気フィルタユニット	50	14	14	9.899	495.0	

以下に代表として給気フィルタユニット (プレフィルタ) の計算過程を示す。 <計算応力>

$$\begin{split} Q_v &= \frac{W \cdot g \cdot C_H \cdot h - W \cdot g \cdot (1 - C_v) \cdot l_1}{n_f \cdot (l_1 + l_2)} \\ &= \frac{4139 \times 9.80665 \times 0.36 \times 1471 - 4139 \times 9.80665 \times (1 - 0) \times 1043.4}{2 \times (1043.4 + 1856.6)} = \quad -3595.96(N) \\ \tau_v &= \frac{Q_v}{A_w} = \frac{-3595.96}{353.553} = -10.1709(MP~a) \rightarrow -10(MPa) \\ Q_H &= W \cdot g \cdot C_H = 4139 \times 9.80665 \times 0.36 = 14612.3(N) \\ \tau_H &= \frac{Q_H}{n \cdot A_w} = \frac{14612.3}{4 \times 353.553} = 10.3325(MPa) \rightarrow 11(MPa) \end{split}$$

鉛直方向のせん断応力 $\tau_{\rm v}$ と水平方向のせん断応力 $\tau_{\rm H}$ の最大値が $11\,({\rm MPa})$ となる。

<許容応力>

許容応力については,発電用原子力設備規格 設計・建設規格 (JSME S NC1-2005) による。 Fは, 1.2Sy と 0.7Su の小さい値の 0.45 倍。

許容せん断応力=
$$\frac{F}{1.5 \times \sqrt{3}} \times 1.5 = \frac{114}{1.5 \times \sqrt{3}} \times 1.5 = 65.8179 (MPa) \rightarrow 65 (MPa)$$

1X J	表 3 ライルノーーノー 全旋の 特及 前の 風及 計画									
評価対象機器	部位	材料	応力種類	算出応力 (MPa)	許容応力 (MPa)					
給気フィルタユニット (プレフィルタ)	基礎の 溶接部	SS400 相当	せん断	. 11	65					
給気フィルタユニット (高性能粒子フィルタ)	基礎の 溶接部	SS400 相当	せん断	9	65					
排気フィルタユニット	基礎の 溶接部	SS400 相当	せん断	11	65					

表 9 フィルタユニット基礎の溶接部の強度評価

2.3.3 ダクトの耐震性

ダクトの耐震性評価として、許容座屈曲げモーメント以下となる基準支持間隔の評価を行った。なお、震度については、耐震設計審査指針上の耐震 C クラス設備に適用される静的地震力に余裕を持たせた 0.36G を採用した。ダクトは基準支持間隔(表 11)よりも小さい間隔で支持することで耐震性を確保する計画である。

なお、燃料取り出し用カバー内のダクトは、燃料取り出し用カバーのクレーン支持用架構を利用している(添付資料-3-1 図 2.2 参照)。クレーン支持用架構は、添付資料-4-2 「燃料取り出し用カバーの構造強度及び耐震性に関する説明書」で、基準地震動 Ss に対する地震応答解析を実施し崩壊しないことを確認していることから、使用済燃料プールへ波及的影響は与えない。

①角ダクトの耐震計算

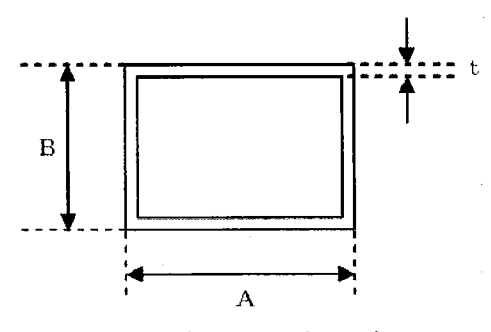


図7 角ダクトの評価モデル

・評価部位:角ダクト

・考慮する荷重:地震荷重

・計算に用いる数式

自重による許容座屈曲げモーメント以下とする基準支持間隔

$$L = \sqrt{\frac{8 \cdot M_X \cdot 1000}{W \cdot g}}$$

地震による許容座屈曲げモーメント以下とする基準支持間隔

$$L = \sqrt{\frac{8 \cdot M_{Y} \cdot 10000}{W \cdot g} \cdot \frac{1}{C_{H}}}$$

許容曲げモーメントとの関係は次式となる

$$\frac{M_X}{M_{Xa}} = \frac{M_Y}{M_{Ya}} = 1$$

上記式を解くと

基準支持間隔
$$L = \frac{1}{\sqrt{\frac{W \cdot g}{1 \ 0 \ 0 \ \cdot 8 \cdot M_{X \ a}} + C_H \frac{W \cdot g}{1 \ 0 \ 0 \ \cdot 8 \cdot M_{Y \ a}}}}$$

L : 基準支持間隔

M_x :水平方向座屈曲げモーメント

M_{xa}:水平方向許容座屈曲げげモーメント

M_v :鉛直方向座屈曲げモーメント

M_{Ya} :鉛直方向許容座屈曲げげモーメント

W:ダクト単位長さ当たり質量

g : 重力加速度 (=9.80665)

C_H: 水平方向設計震度

表 10 角ダクトの基準支持間隔

	A (mm)	B (mm)	t (mm)	W (kg/m)	M _{Xa} (N⋅mm)	M _{Ya} (N⋅mm)	Сн	L (mm)
. [1100	1100	1.0	66.3	13371009	13371009	0.36	10998
	850	850	1.0	41.0	12835422	12835422	0.36	13703

以下に計算過程の1例を示す。

<計算基準支持間隔>

$$L = \frac{1}{\sqrt{\frac{W \cdot g}{1 \cdot 0 \cdot 0 \cdot 8 \cdot M_{Xa}} + C_{H} \frac{W \cdot g}{1 \cdot 0 \cdot 0 \cdot 8 \cdot M_{Ya}}}} = \frac{1}{\sqrt{\frac{66.3 \times 9.80665}{1000 \times 8 \times 13371009} + 0.36 \frac{66.3 \times 9.80665}{1000 \times 8 \times 13371009}}} = 10998.7 \text{(mm)} \rightarrow 10998 \text{(mm)}$$

表 11 角ダクトの評価

評価対象ダクト	材料	基準支持間隔 (mm)
1100×1100×1.0t	溶融亜鉛めっき鋼板	10998
850×850×1.0t	溶融亜鉛めっき鋼板	13703

2.4 第3号機燃料取り出し用カバー換気設備の耐震性

2.4.1 排風機の耐震性

排風機の耐震性評価として、「JEAG4601-1987 原子力発電所耐震設計技術指針」を準用し、排風機の基礎ボルト・取付ボルトの評価を行った。なお、震度については、耐震設計審査指針上の耐震Cクラス設備に適用される静的地震力に余裕を持たせた 0.36G を採用した。基礎ボルトの許容荷重及び取付ボルトの許容応力については、評価温度 50℃とした。基礎ボルト・取付ボルトのせん断・引張を評価した結果、基礎ボルト・取付ボルトに生じる荷重・応力は許容値以下であり、基礎ボルト・取付ボルトの強度が確保されることを確認した(表 13,15 参照)。

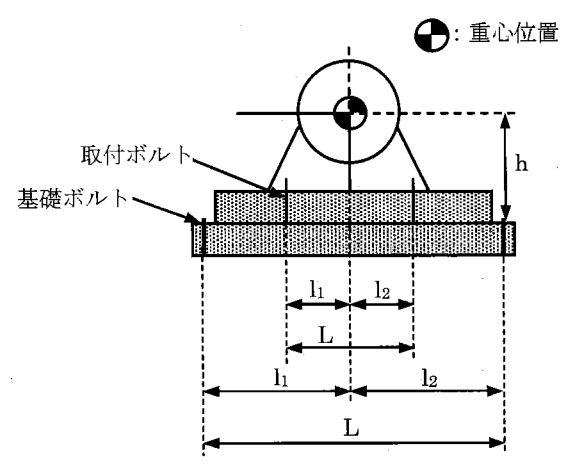


図5 排風機の耐震評価モデル

・評価部位:基礎ボルト・取付ボルト

・考慮する荷重:地震荷重/排風機振動による荷重

・計算に用いる数式

W : 据付面に作用する重量

g : 重力加速度(=9.80665)

h:据付面から重心までの距離

M_p:排風機回転により働くモーメント

※基礎ボルト・取付ボルト部に M。は作用しない

1、:排風機重心と基礎ボルト・取付ボルト間の距離

1。:排風機重心と基礎ボルト・取付ボルト間の距離(1₁≦1₂)

n_f:評価上引張を受けるボルト本数

n :全ボルト本数

A_b:基礎ボルト・取付ボルトの断面積

C_n:水平方向設計震度

C_P:排風機振動による震度

①排風機基礎ボルトの耐震計算

表 12 排風機基礎ボルト緒言

W(kg)	$g(m/s^2)$	h (mm)	1 ₁ (mm)	$l_2(\mathrm{mm})$
4250	9.80665	1688	1074.5.	1418
$n_{\mathbf{f}}$	n	A _b (mm ²)	C _H	C_{P}
3	8	113. 1	0.36	0. 11

以下に計算過程を示す。

<計算荷重>

$$Q_{v} = \frac{W \cdot g \cdot (C_{H} + C_{P}) \cdot h + M_{P} - W \cdot g \cdot (1 - C_{P}) \cdot l_{1}}{n_{f} \cdot (l_{1} + l_{2})}$$

$$=\frac{4250\times9.80665\times(0.36+0.11)\times1688+0-4250\times9.80665\times(1-0.11)\times1074.5}{3\times(1074.5+1418)}=-908.226(N)$$

$$Q_H = W \cdot g \cdot (C_H + C_P) = 4250 \times 9.80665 \times (0.36 + 0.11) = 19588.8(N)$$

引張荷重 Qvはマイナスとなるため作用しない。

せん断荷重 Q_H は 19588.8(N)となり、ボルト8本で取り付けられていることから、ボルト1本当たり荷重は 2449(N)となる。

<許容荷重>

許容荷重(せん断:3900(N), 引張:4900(N)) は設計値

表 13 排風機の基礎ボルトの強度評価

評価対象	₩ 7 F-t- W	++\n\c\	評価	算出荷重	直(N)/本	許容荷重	重(N)/本*
機器	部位※	材料	項目	せん断	引張	せん断	引張
排風機	基礎ボルト	SS400	荷重	2449	作用しない	3900	4900

※基礎ボルトの評価部位及び許容荷重は、ケミカルアンカー部を示す。

②排風機取付ボルトの耐震計算

W(kg)	g (m/s²)	h (mm)	1_1 (mm)	1 ₂ (mm)
2220	9. 80665	900	528	652
$n_{\mathbf{f}}$	n	A _b (mm ²)	C_{H}	$C_{\rm P}$
5	10	314	0. 36	0.11
Sy(MPa)*	Su(MPa)*	F(MPa)*	,	
241	394	276		

表 14 排風機取付ボルト緒言

※発電用原子力設備規格 設計・建設規格 (JSME S NC1-2005) の Sy, Su を 50℃換算による。

以下に計算過程を示す。

<計算応力>

$$\begin{split} Q_{v} &= \frac{W \cdot g \cdot (C_{H} + C_{P}) \cdot h + M_{P} - W \cdot g \cdot (1 - C_{P}) \cdot 1_{1}}{n_{f} \cdot (l_{1} + l_{2})} \\ &= \frac{2220 \times 9.80665 \times (0.36 + 0.11) \times 900 + 0 - 2220 \times 9.80665 \times (1 - 0.11) \times 528}{5 \times (528 + 652)} = -173.132(N) \\ \tau_{v} &= \frac{Q_{v}}{A_{b}} = \frac{-173.132}{314} = -0.551375(MPa) \\ Q_{H} &= W \cdot g \cdot (C_{H} + C_{P}) = 2220 \times 9.80665 \times (0.36 + 0.11) = 10232.3(N) \\ \tau_{H} &= \frac{Q_{H}}{n \cdot A_{b}} = \frac{10232.3}{10 \times 314} = 3.25870(MPa) \rightarrow 4(MPa) \end{split}$$

引張応力 τ_v はマイナスとなるため作用しない。 せん断応力 τ_H は、4(MPa)となる。

<許容応力>

許容応力については,発電用原子力設備規格 設計・建設規格 (JSME S NC1-2005) による。 Fは, 1.2Sy と 0.7Su の小さい値。

許容引張応力=
$$\frac{F}{2} \times 1.5 = \frac{276}{2} \times 1.5 = 207 \text{(MPa)} \rightarrow 207 \text{(MPa)}$$

許容せん断応力=
$$\frac{F}{1.5 \times \sqrt{3}} \times 1.5 = \frac{276}{1.5 \times \sqrt{3}} \times 1.5 = 159.348 (MPa) \rightarrow 159 (MPa)$$

表 15 排風機の取付ボルトの強度評価

評価対象	部位	材料	評価	算出応力(MPa)		許容応力(MPa)	
機器	旦的小环	121 AFT 	項目	せん断	引張	せん断	引張
排風機	取付 ボルト	SS400	応力	4	作用しない	159	207

2.4.2 フィルタユニットの耐震性

フィルタユニットの耐震性評価として、「JEAG4601-1987 原子力発電所耐震設計技術指針」を準用し、2.4.1 項と同様の方法で基礎ボルト・取付ボルトの評価を行った。なお、震度については、耐震設計審査指針上の耐震Cクラス設備に適用される静的地震力に余裕を持たせた 0.36G を採用した。基礎ボルトの許容荷重及び取付ボルトの許容応力については、評価温度 50 とした。基礎ボルト・取付ボルトのせん断・引張を評価した結果、基礎ボルト・取付ボルトに生じる荷重及び応力は許容値以下であり、基礎ボルト・取付ボルトの強度が確保されることを確認した(表 17,19 参照)。

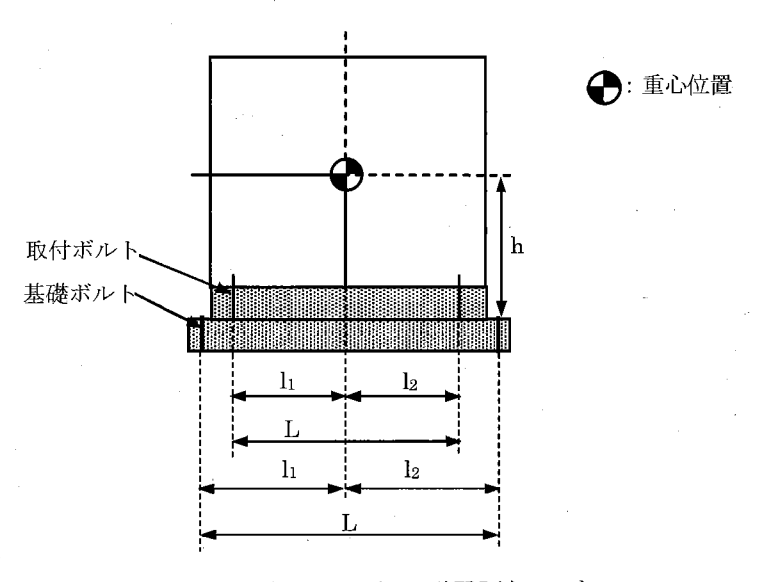


図6 フィルタユニットの耐震評価モデル

・評価部位:基礎ボルト・取付ボルト

・考慮する荷重:地震荷重

・計算に用いる数式

W:据付面に作用する重量g:重力加速度(=9.80665)

h :据付面から重心までの距離

 1_1 : フィルタユニット重心と基礎ボルト・取付ボルト間の距離 1_2 : フィルタユニット重心と基礎ボルト・取付ボルト間の距離 $(1_1 \le 1_2)$

n_f:評価上引張を受けるボルト本数

n:全ボルト本数

A_b:基礎ボルト・取付ボルトの断面積

C_H : 水平方向設計震度C_V : 鉛直方向設計震度

①フィルタユニットの基礎ボルトの耐震計算

表 16 フィルタユニットの基礎ボルト緒言

W(kg)	$g(m/s^2)$	h (mm)	1 ₁ (mm)	1 ₂ (mm)
6110	9. 80665	2020	1221	1704
$n_{\mathbf{f}}$	n	A _b (mm ²)	Сн	C _V
4	10	113. 1	0.36	0

以下に計算過程を示す。

<計算荷重>

$$\begin{aligned} \mathbf{Q_{v}} &= \frac{\mathbf{W} \cdot \mathbf{g} \cdot \mathbf{C_{H}} \cdot \mathbf{h} - \mathbf{W} \cdot \mathbf{g} \cdot (\mathbf{l} - \mathbf{C_{v}}) \cdot \mathbf{l_{1}}}{\mathbf{n_{f}} \cdot (\mathbf{l_{1}} + \mathbf{l_{2}})} \\ &= \frac{6110 \times 9.80665 \times 0.36 \times 2020 - 6110 \times 9.80665 \times (\mathbf{l} - 0) \times 1221}{4 \times (1221 + 1704)} = -2528.87(\mathbf{N}) \end{aligned}$$

$$Q_{H} = W \cdot g \cdot C_{H} = 6110 \times 9.80665 \times 0.36 = 21570.8(N)$$

引張荷重 Q_vはマイナスとなるため作用しない。

せん断荷重 Q_H は 21570.8(N)となり、ボルト 10 本で取り付けられていることから、ボルト 1本当たり荷重は 2158(N)となる。

<許容荷重>

許容荷重(せん断:3900(N), 引張:4900(N)) は設計値

表 17 フィルタユニットの基礎ボルトの強度評価

評価対象機器	如 삼※	材料	評価	算出荷重	重(N)/本	許容荷重	(N)/本*
	部位*	171 147	項目	せん断	引張	せん断	引張
排気フィルタ ユニット	基礎 ボルト	SS400	荷重	2158	作用 しない	3900	4900

※基礎ボルトの評価部位及び許容荷重は、ケミカルアンカー部を示す。

②フィルタユニットの取付ボルトの耐震計算

表 18	フィルタユニッ	トの取付ボル	下緒言
------	---------	--------	-----

W(kg)	$g(m/s^2)$	h (mm)	1 ₁ (mm)	1 ₂ (mm)
1150	9. 80665	1100	329	329
$n_{\mathbf{f}}$	n	A _b (mm ²)	C _H	C _v
4	8	113. 1	0.36	0
Sy(MPa)*	Su(MPa)*	F(MPa)*		
231	394	276		

※発電用原子力設備規格 設計・建設規格 (JSME S NC1-2005) の Sy, Su を 50℃換算による。

以下に計算過程を示す。

<計算応力>

$$\begin{split} \mathbf{Q_{v}} &= \frac{\mathbf{W} \cdot \mathbf{g} \cdot \mathbf{C_{H}} \cdot \mathbf{h} - \mathbf{W} \cdot \mathbf{g} \cdot (\mathbf{1} - \mathbf{C_{v}}) \cdot \mathbf{l_{1}}}{\mathbf{n_{f}} \cdot (\mathbf{l_{1}} + \mathbf{l_{2}})} \\ &= \frac{1150 \times 9.80665 \times 0.36 \times 1100 - 1150 \times 9.80665 \times (\mathbf{1} - 0) \times 329}{4 \times (329 + 329)} = 287.083(\mathbf{N}) \\ \tau_{v} &= \frac{\mathbf{Q_{v}}}{\mathbf{A_{b}}} = \frac{287.083}{113.1} = 2.53832(\mathbf{MPa}) \rightarrow 3(\mathbf{MPa}) \\ \mathbf{Q_{H}} &= \mathbf{W} \cdot \mathbf{g} \cdot \mathbf{C_{H}} = 1150 \times 9.80665 \times 0.36 = 4059.96(\mathbf{N}) \\ \tau_{H} &= \frac{\mathbf{Q_{H}}}{\mathbf{n} \cdot \mathbf{A_{b}}} = \frac{4059.96}{8 \times 113.1} = 4.48714(\mathbf{MPa}) \rightarrow 5(\mathbf{MPa}) \end{split}$$

引張応力τ_νは,3(MPa)となる。

せん断応力τ_Hは, 5(MPa)となる。

<許容応力>

許容応力については,発電用原子力設備規格 設計・建設規格 (JSME S NC1-2005) による。 Fは, 1.2Sy と 0.7Su の小さい値。

許容引張応力=
$$\frac{F}{2} \times 1.5 = \frac{276}{2} \times 1.5 = 207 \text{(MPa)} \rightarrow 207 \text{(MPa)}$$

許容せん断応力=
$$\frac{F}{1.5 \times \sqrt{3}} \times 1.5 = \frac{276}{1.5 \times \sqrt{3}} \times 1.5 = 159.348 (MPa) \rightarrow 159 (MPa)$$

表 19 フィルタユニットの取付ボルトの強度評価

評価対象機器	部位	材料	評価	算出応	カ(MPa)	許容応	カ(MPa)
6十1四八) 多个成分	H)\T\	1917-1	項目	せん断	引張	せん断	引張
排気フィルタ ユニット	取付 ボルト	SS400	応力	- 5	3	159	207

2.4.3 ダクトの耐震性

ダクトの耐震性評価として、許容座屈曲げモーメント以下となる基準支持間隔の評価を行った。なお、震度については、耐震設計審査指針上の耐震 C クラス設備に適用される静的地震力に余裕を持たせた 0.36G を採用した。ダクトは基準支持間隔(表 21,23 参照) よりも小さい間隔で支持することで耐震性を確保する計画である。

なお,燃料取り出し用カバー内のダクトは,使用済燃料プール上に配置しないことから, 使用済燃料プールへ波及的影響は与えない。

①角ダクトの耐震計算

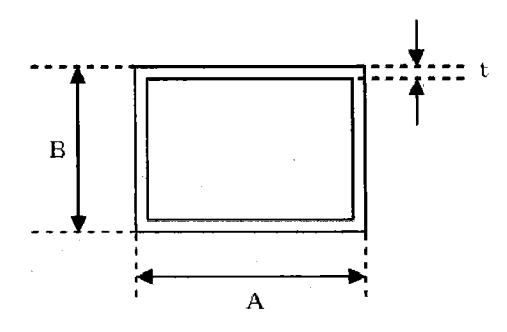


図7 角ダクトの評価モデル

・評価部位:角ダクト

・考慮する荷重:地震荷重

・計算に用いる数式

自重による許容座屈曲げモーメント以下とする基準支持間隔

$$L = \sqrt{\frac{8 \cdot M_X \cdot 1000}{W \cdot g}}$$

地震による許容座屈曲げモーメント以下とする基準支持間隔

$$L = \sqrt{\frac{8 \cdot M_{Y} \cdot 1000}{W \cdot g} \cdot \frac{1}{C_{H}}}$$

許容曲げモーメントとの関係は次式となる

$$\frac{M_X}{M_{Xa}} = \frac{M_Y}{M_{Ya}} = 1$$

上記式を解くと

基準支持間隔
$$L = \frac{1}{\sqrt{\frac{W \cdot g}{1 \cdot 0 \cdot 0 \cdot 8 \cdot M_{Xa}} + C_H \frac{W \cdot g}{1 \cdot 0 \cdot 0 \cdot 8 \cdot M_{Ya}}}}$$

L : 基準支持間隔

M. :水平方向座屈曲げモーメント

M_v。 : 水平方向許容座屈曲げげモーメント

M_v : 鉛直方向座屈曲げモーメント

M_{Ya} :鉛直方向許容座屈曲げげモーメント

W:ダクト単位長さ当たり質量

g : 重力加速度 (=9.80665)

C_H: 水平方向設計震度

表 20 角ダクトの基準支持間隔

A (mm)	B (mm)	t (mm)	W (kg/m)	M _{Xa} (N·mm)	M _{Ya} (N⋅mm)	Сн	L (mm)
1100	1100	3. 2	161.0	380135185	380135185	0.36	37633
900	900	3. 2	132. 0	364014675	364014675	0.36	40671
650	500	3. 2	85. 4	262049779	300286615	0. 36	43643
1100	1100	2. 3	127. 7	144288561	144288561	0.36	26033
1300	1300	1.2	148.5	23486326	23486326	0.36	9740
1300	1000	1. 2	126.7	22241400	23486326	0.36	10334
1100	1100	1.2	101. 2	22662712	22662712	0.36	11589
900	900	1.2	67.9	21816667	21816667	0. 36	13882
700	700	1.2	53.3	20975522	20975522	0.36	15364

以下に計算過程の1例を示す。

<計算基準支持間隔>

$$L = \frac{1}{\sqrt{\frac{W \cdot g}{1 \cdot 0 \cdot 0 \cdot 8 \cdot M_{Xa}} + C_{H} \frac{W \cdot g}{1 \cdot 0 \cdot 0 \cdot 8 \cdot M_{Ya}}}} = \frac{1}{\sqrt{\frac{161.0 \times 9.80665}{1000 \times 8 \times 380135185}} + 0.36 \frac{161.0 \times 9.80665}{1000 \times 8 \times 380135185}} = 37633.2 \text{(mm)} \rightarrow 37633 \text{(mm)}$$

表 21	角ダク	トの評価
12 41	カンノ	1 7 1 1 1 1 1 1 1 1 1 1

或何 是希 罗万	++401	基準支持間隔
評価対象ダクト	材料 	(mm)
1100×1100×3.2t	ガルバニウム鋼板	37633
900×900×3.2t	ガルバニウム鋼板	40671
650×500×3.2t	ガルバニウム鋼板	43643
1100×1100×2.3t	ガルバニウム鋼板	26033
1300×1300×1.2t	ガルバニウム鋼板	9740
1300×1000×1.2t	ガルバニウム鋼板	10334
1100×1100×1.2t	ガルバニウム鋼板	11589
900×900×1.2t	ガルバニウム鋼板	13882
700×700×1.2t	ガルバニウム鋼板	15364

①丸ダクトの耐震計算

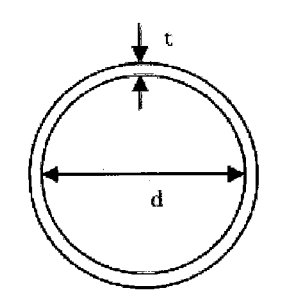


図8 丸ダクトの評価モデル

・評価部位: 丸ダクト

・考慮する荷重:地震荷重

・計算に用いる数式

自重と地震を合成した座屈曲げモーメント

$$M = \sqrt{1^2 + C_H^2} \cdot \frac{W \cdot g}{10000} \cdot \frac{L^2}{8}$$

$$\frac{M}{M_a} = 1$$

上記式を解くと

基準支持間隔
$$L = \sqrt{\frac{8 \cdot M_a}{\frac{W \cdot g}{1.0.00} \sqrt{(1 + C_H^2)}}}$$

L : 基準支持間隔

M:座屈曲げモーメント

M_a:許容座屈曲げげモーメント

W:ダクト単位長さ当たり質量

g : 重力加速度 (=9.80665)

C_H: 水平方向設計震度

表 22 丸ダクトの基準支持間隔

d (mm)	t (mm)	W (kg/m)	M _a (N•mm)	Сн	L (mm)
1200	3. 2	132. 2	313826615	0. 36	42685
700	3. 2	77. 6	184113325	0. 36	42674

以下に計算過程の1例を示す。

<計算基準支持間隔>

$$L = \sqrt{\frac{8 \cdot M_a}{\frac{W \cdot g}{1 \cdot 0 \cdot 0 \cdot 0} \sqrt{(1 + C_H^2)}}}$$

$$= \sqrt{\frac{8 \times 313826615}{\frac{132.2 \times 9.80665}{1000} \times \sqrt{(1+0.36^2)}}} = 42685.7 \text{(mm)} \rightarrow 42685 \text{(mm)}$$

表 23 丸ダクトの評価

評価対象ダクト	材料	基準支持間隔
計画対象グクト	11 14 	(mm)
$1200 \phi \times 3.2t$	鍋板	42685
$700 \phi \times 3.2t$	鋼板	42674

別冊8 使用済燃料乾式キャスク仮保管設備に係る補足説明

I 乾式キャスク仮保管設備の構造強度及び耐震性について

乾式キャスク仮保管を構成する設備の耐震性の評価結果のうち、応力評価式を用いた評価の妥当性を示す。

構造強度評価と耐震性評価は評価手法が酷似することから、評価範囲の広い耐震性評価 について、各設備について評価手順を示す。

- 1. 輸送貯蔵兼用キャスク A
- 1.1. 設計荷重

設計加速度を以下のように定める。

$$G_1 = C_H \cdot G$$

$$G_2 = (1 + C_V) \cdot G$$
 $\left\{ \begin{array}{l} (軸方向水平地震力+鉛直方向地震力+自重の場合) \end{array} \right.$

ここで、C_H: 水平方向設計震度(=0.79)

Cv: 鉛直方向設計震度(=0.49)

$$G_3 = C_H \cdot G$$

 $G_2 = (1 + C_V) \cdot G$
軸直角方向水平地震力+鉛直方向地震力+自重の場合)

ここで, C_H: 水平方向設計震度 (=0.79)

Cv:鉛直方向設計震度(=0.49)

- 1.2. 応力評価
- 1.2.1. キャスク容器及び二次蓋
- 1.2.1.1.底板

バスケット底面との接触部である底板に発生する平均支圧応力 (σ ,) は次式で計算する。

$$\sigma_{p} = \frac{m_{G} \cdot G_{1}}{A}$$

ここで, G₁:1.1.と同じ

m_G:バスケット及び燃料の質量(kg

A: 底板の接触面積 (_______mm²)

1.2.1.2. 一次蓋

バスケット上面との接触部である一次蓋に発生する平均支圧応力(σ_p)は底板の平均支圧応力と同じ式で計算する。

ただし、 m_G G₁:1.2.1.1.と同じ

A:一次蓋の接触面積



1, 2, 2, バスケット

1.2.2.1 平均支圧応力

最大応力が発生するのはバスケット底板で、軸方向水平地震と鉛直方向地震が作用する 場合である。

水平方向(軸方向)加速度により発生する応力(σχ)は、次式で計算する。

$$\sigma_{x} = \frac{m \cdot G_{1}}{A}$$

ここで、G₁:1.1.と同じ

m:バスケットの合計質量(

A:バスケット底板の接触面積(

1.2.3. トラニオン

1.2.3.1. 一次応力

1.2.3.1.1. 圧縮応力

軸直角方向水平地震力+鉛直方向地震力+自重が作用する場合に図 1 に示す上部トラニ オンの評価点③及び下部トラニオンの評価点④に最大応力が発生する。圧縮応力(σς)は、 次式で計算する。

$$\sigma_{\rm C} = \frac{F_{\rm m}}{A}$$

$$F_{m} = \frac{m}{2} \cdot G_{3}$$

ここで、G₃:1.1.と同じ

 F_m : 地震力によりトラニオンに作用する荷重(N) m: 金属キャスクの質量(kg)

A : 評価点の断面積(

1.2.3.1.2. せん断応力

軸方向水平地震力+鉛直方向地震力+自重が作用する場合に、図 1 に示す下部トラニオ ンの評価点②に最大応力が発生する。せん断応力 (τ)は、次式で計算する。

$$\tau = \frac{F_{m}}{A}$$

$$F_{m} = \sqrt{\left(\frac{m}{2} \cdot G_{1}\right)^{2} + \left(\frac{m}{4} \cdot G_{2}\right)^{2}}$$

ここで、G1:1.1.と同じ

G₂:1.1.と同じ

F_m: 地震力によりトラニオンに作用する荷重 (N)

m: 1.2.3.1.1.と同じ

A :評価点の断面積 (mm²

1.2.3.1.3. 曲げ応力

軸方向水平地震力+鉛直方向地震力+自重が作用する場合に図 1 に示す下部トラニオンの評価点②に最大応力が発生する。曲げ応力(σ_κ)は、次式で計算する。

$$\sigma_{b} = \frac{M}{Z}$$

$$M = F_{m} \cdot L$$

ここで、M:曲げモーメント (N·mm)

Z : 評価点の断面係数(

L:評価点と荷重作用位置との距離(mm)

F_m: 1.2.3.1.2. と同じ

1.2.3.1.4.組合せ応力

1.2.3.1.4.1. せん断応力と曲げ応力

軸方向水平地震力+鉛直方向地震力+自重が作用する場合に図 1 に示す下部トラニオンの評価点②に最大応力が発生する。せん断応力(τ)と曲げ応力(σ _b)との組合せ応力(σ _T)は、次式で計算する。

$$\sigma_{\mathrm{T}} = \sqrt{\sigma_{\mathrm{b}}^2 + 3 \cdot \tau^2}$$

ここで、 τ : 1.2.3.1.2.と同じ σ_b : 1.2.3.1.3.と同じ

1.2.3.2. 一次十二次応力

1.2.3.2.1. 引張・圧縮応力

軸直角方向水平地震力+鉛直方向地震力+自重が作用する場合に、図 1 に示す上部トラニオンの評価点③及び下部トラニオンの評価点④に最大応力が発生する。

地震力のみにより発生する引張応力は 0 である。一方、地震力のみにより発生する圧縮 応力は 1. 2. 3. 1. 1. で計算された圧縮応力と同じ値である。

したがって、地震力のみによって発生する引張・圧縮応力による応力範囲は 1.2.3.1.1. で計算された値と同じ値となる。

1.2.3.2.2. せん断応力

軸方向水平地震力+鉛直方向地震力+自重が作用する場合に、図 1 に示す下部トラニオンの評価点②に最大応力が発生する。地震力のみによるせん断応力 (τ)の全振幅は、次式で計算する。

$$\tau = \frac{F_{m}}{A}$$

$$F_{m} = 2 \cdot \sqrt{\left(\frac{m}{2} \cdot G_{1}\right)^{2} + \left(\frac{m}{4} \cdot G_{2}\right)^{2}}$$

ここで、 $G_2 = C_v \cdot G$

G1:1.1.と同じ

F_m: 地震力によりトラニオンに作用する荷重 (N)

C_v:1.1.と同じ

m:1.2.3.1.2.と同じ

A:1.2.3.1.2.と同じ

1.2.3.2.3. 曲げ応力

軸方向水平地震力+鉛直方向地震力+自重が作用する場合に,図 1 に示す下部トラニオンの評価点②に最大応力が発生する。地震力のみによる曲げ応力(σ_b)の全振幅は,次式で計算する。

$$\sigma_{b} = \frac{M}{Z}$$

$$M = F_{m} \cdot L$$

ここで、M:曲げモーメント (N·mm)

Z, L:1.2.3.1.3.と同じ

F_m: 1.2.3.2.2.と同じ

計算結果 (キャスク容器)

単位:MPa)	平均支压応力	許容応力	228	377
)	平均支	計算値	1	1
•	許容応力	区分	供用状態 D (IVAS)	供用状態 D (IVAS)
	्रिक् 1		低合金鋼	低合金鋼
	- 17		底板	一次蓋

計算結果(バスケット)

(単位: MPa)

平均支压応力	許容応力	174
平均支	計算値	, .
許容応力	区分	供用状態 D (IVAS)
]\$\$ ##		アルミニウム合金
47 75		バスケット プレート

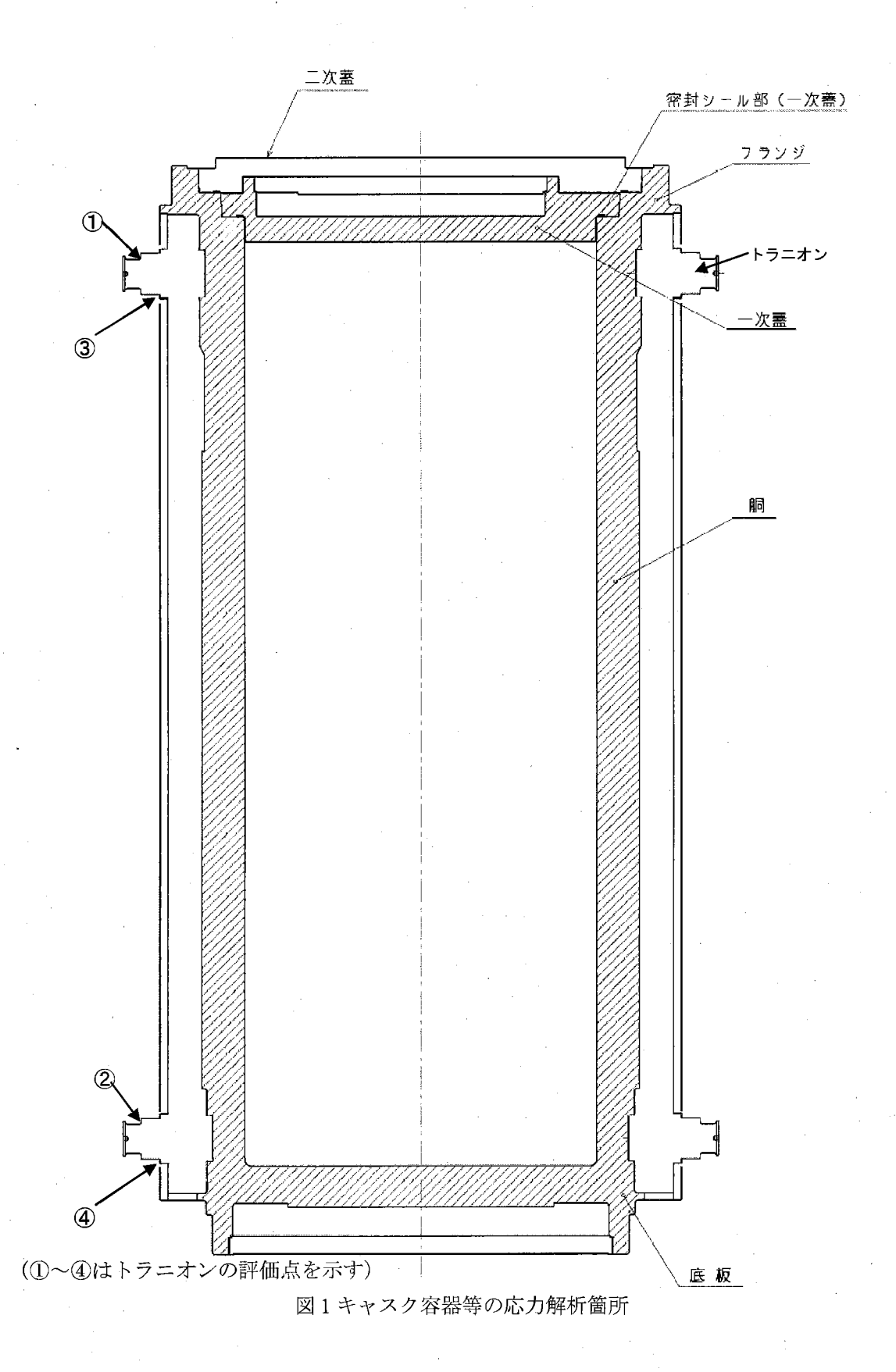
計算結果 (トラニオン)

(単位: MPa)		垂直応力とせん断 応力の組合せ	許容応力	592
東)		# 世 位	計算値	113
		曲げ応力	許容応力	265
	一次応力	一	計算値	72
	—————————————————————————————————————	せん断応力	許容応力	341
		47	計算値	50
		王縮応力	許容応力	577
			計算値	18
		群容応力 区分		供用状態 D (IVAS)
		本		トラニオン ステンレス鋼
		部位		トラニオン

計算結果 (トラニオン)

(単位:MPa)

		非效応力			一次十二	一次十二次応力		
部位	村		引張・月	圧縮応力	せん断応力	听応力	曲げ	曲げ応力
			計算値	許容応力	計算値	許容応力	計算値	許容応力
1 1 1	コーナントルの	供用状態	· ·	C	36	coy	100	1184
ノマーノン	深くノイト	D (IVAS)	18	1184	C /	000	103	1101



- 2. 輸送貯蔵兼用キャスクB
- 2.1. 設計荷重

設計加速度を以下のように定める。

$$G_1 = C_H \cdot G$$

$$G_2 = (1 + C_V) \cdot G$$
 $\left\{ \begin{array}{l} (軸方向水平地震力+鉛直方向地震力+自重の場合) \end{array} \right.$

ここで, C_H: 水平方向設計震度 (=0.79)

 C_{v} : 鉛直方向設計震度 (=0.49)

$$G_3 = C_H \cdot G$$

軸直角方向水平地震力+鉛直方向地震力+自重の場合)
 $G_2 = (1 + C_V) \cdot G$

ここで, C_H: 水平方向設計震度 (=0.79)

 C_V : 鉛直方向設計震度(=0.49)

- 2.2. 応力評価
- 2.2.1. キャスク容器及び二次蓋

胴とバスケット側面との接触部に発生する平均支圧応力(σ_n)は次式で計算する。

$$\sigma_p = \frac{m_G \cdot G_2}{A}$$

ここで、G₂:2.1.と同じ

m_G:バスケットプレート及び燃料の質量(kg)

A:胴の接触面積(mm²)

- 2.2.2. バスケット
- 2.2.2.1. 地震力が鉛直方向と軸直角方向に作用する場合
- 2.2.2.1.1.一次一般膜応力

最大応力が発生するのはバスケットプレート端部(図3①部)である。 鉛直方向加速度により発生する一次一般膜応力 (σ_x) は次式で計算する。

$$\sigma_x = \frac{m_A \cdot G_2}{A_1}$$

ここで G₂:2.1.同じ

 m_A :使用済燃料とバスケットプレート等の合計質量(M_A) A_1 :バスケットプレートの断面積(M_A)

2.2.2.1.2. 一次一般膜+一次曲げ応力 最大応力が発生するのはバスケットプレート格子端滑

最大応力が発生するのはバスケットプレート格子端部(図3②部)である。 水平方向加速度により発生する一次一般膜応力(σ,)は次式で計算する。

$$\sigma_y = \frac{m_A \cdot G_3}{A_1}$$

ここでG3:2.1.と同じ

m_A:使用済燃料とバスケットプレート等の合計質量(kg kg

A₁:バスケットプレートの断面積(mm²)

鉛直方向加速度により発生する一次曲げ応力(σ、)は次式で計算する。

$$\sigma_{y} = \frac{M}{Z}$$

$$M = \frac{m_{B} \cdot G_{2} \cdot l_{p}}{12 \cdot \frac{l_{W}}{2}}$$

ここでG₂:2.1.と同じ

M:バスケットプレート格子端部の単位幅当たりの曲げモーメント(N·mm/mm)

Z:バスケットプレートの単位幅当たりの断面係数(mm³/mm)

m_B: 使用済燃料, 伝熱プレート及びバスケットプレートの合計質量(kg)

lp:バスケットプレートの内のり(mm)

lw:バスケットプレートのキャスク容器軸方向長さ(mm)

ただし、バスケットプレート同士の嵌合のため切欠きがあり、実際の荷 重負荷面の長さを 1w/2 とする。

鉛直方向加速度によりバスケットプレート格子端部(図 3 ②部)に発生する平均せん断応力(τ_{xy})は、次式で計算する。

$$\tau_{xy} = \frac{m_B \cdot G_2}{2 \cdot \frac{A_1}{2}}$$

ここでG2: 2.1.と同じ

 m_B : 使用済燃料, 伝熱プレート及びバスケットプレートの合計質量(m_B) A_1 : バスケットプレートの断面積(m_B)

2.2.2.1.3. 平均せん断応力

バスケットプレート格子端部(図3②部)に発生する平均せん断応力(σ_s)は次式で計算する。

$$\sigma_{S} = \frac{m_{B} \cdot G_{2}}{2 \cdot \frac{A_{1}}{2}}$$

ここでG₉:2.1.と同じ

 m_B : 使用済燃料, 伝熱プレート及びバスケットプレートの合計質量(m_B)

A₁:バスケットプレートの断面積(mm²)

2.2.2.1.4. 平均支圧応力

バスケットプレート端部 (図3 ①部) に発生する平均支圧応力 (σ_p) は次式で計算する。

$$\sigma_P = \frac{m_A \cdot G_2}{A_1}$$

ここでG₂: 2.1. と同じ

m_A:使用済燃料とバスケットプレート等の合計質量(kg)

A_1 : バスケットプレートの断面積 (mm^2

2.2.2.1.5. 圧縮応力

バスケットプレート端部(図3 ①部)に発生する圧縮応力(σ)は次式で計算する。

$$\sigma_C = \frac{m_A \cdot G_2}{A_1}$$

ここでG2:2.1.と同じ

m_A:使用済燃料とバスケットプレート等の合計質量(kg)

 A_1 :バスケットプレートの断面積(m_1)

- 2.2.2.2.地震力が鉛直方向と軸水平方向に作用する場合
- 2.2.2.2.1.一次一般膜応力

最大応力が発生するのはバスケットプレート端部(図3①部)である。 鉛直方向加速度により発生する一次一般膜応力 (σ_{ν}) は次式で計算する。

$$\sigma_x = \frac{m_A \cdot G_2}{A_1}$$

ここで, G₂:2.1.と同じ

 m_A : 使用済燃料とバスケットプレート等の合計質量(m_A kg)

 A_1 : バスケットプレートの断面積 ($oxed{mm}^2$)

水平方向加速度により発生する一次一般膜応力(σ₂)は次式で計算する。

$$\sigma_z = \rho \cdot l_W \cdot G_1$$

ここで、G,:2.1.と同じ

ρ:バスケットプレートの密度(kg/mm³)

1w:バスケットプレートの全長(

2.2.2.2.2.一次一般膜+一次曲げ応力

最大応力が発生するのはバスケットプレート格子端部(図3②部)である。 鉛直方向加速度により発生する一次曲げ応力 (σ_y) は次式で計算する。

$$\sigma_{y} = \frac{M}{Z}$$

$$M = \frac{m_{B} \cdot G_{2} \cdot l_{p}}{12 \cdot \frac{l_{W}}{2}}$$

ここでG2: 2.1.と同じ

M:バスケットプレート格子端部の単位幅当たりの曲げモーメント(N·mm/mm)

Z:バスケットプレートの単位幅当たりの断面係数(mm³/mm)

m_B:使用済燃料,伝熱プレート及びバスケットプレートの合計質量(kg)

1p:バスケットプレートの内のり(mm)

lw:バスケットプレートのキャスク容器軸方向長さ(mm) ただし,バスケットプレート同士の嵌合のため切欠きがあり,実際の荷重

ただし、バスケットプレート同士の嵌合のため切欠きがあり、実際の荷重 負荷面の長さを 1w/2 とする。

水平方向加速度により発生する一次一般膜応力(σ₂)は次式で計算する。

$$\sigma_z = \rho \cdot l_W \cdot G_1$$

ここで, G₁:2.1.と同じ

ρ:バスケットプレートの密度(kg/mm³

lw:バスケットプレートの全長(mm)

鉛直方向加速度により発生するバスケットプレート格子端部(図 3 ②部)に発生する平均せん断応力(τ_{xv})は次式で計算する。

$$\tau_{xy} = \frac{m_B \cdot G_2}{2 \cdot \frac{A_1}{2}}$$

ここでG2: 2.1.と同じ

 m_B : 使用済燃料, 伝熱プレート及びバスケットプレートの合計質量(m_B) A_1 : バスケットプレートの断面積(m_B)

2.2.2.2.3. 平均せん断応力

バスケットプレート格子端部(図3②部)に発生する平均せん断応力 (σ_s) は次式で計算する。

$$\sigma_{s} = \frac{m_{B} \cdot G_{2}}{2 \cdot \frac{A_{1}}{2}}$$

ここでG₂: 2.1.と同じ

 m_B : 使用済燃料, 伝熱プレート及びバスケットプレートの合計質量(m_B) A_1 : バスケットプレートの断面積(m_B)

2.2.2.2.4. 平均支圧応力

バスケットプレート端部(図3①部)に発生する平均支圧応力(σρ)は次式で計算する。

$$\sigma_P = \frac{m_A \cdot G_2}{A_1}$$

ここでG2:2.1.と同じ

 m_A : 使用済燃料とバスケットプレート等の合計質量 ($M_{\rm kg}$) A_1 : バスケットプレートの断面積 ($M_{\rm min}$)

2.2.2.2.5. 圧縮応力

バスケットプレート端部(図3①部)に発生する圧縮応力(σ_c)は次式で計算する。

$$\sigma_C = \frac{m_A \cdot G_2}{A_1}$$

ここでG₂:2.1.と同じ

 m_A : 使用済燃料とバスケットプレート等の合計質量($m_{\rm kg}$) A_1 : バスケットプレートの断面積($m_{\rm mm}^2$)

2.2.3 トラニオン

2.2.3.1. 地震力が鉛直方向と軸直角方向に作用する場合

2.2.3.1.1.一次応力

2.2.3.1.1.1.せん断応力

最大応力が発生する箇所は図2に示す下部トラニオンの評価点①である。

鉛直方向加速度により発生するせん断応力(τ)は、次式で計算する。

$$\tau = \frac{F_m}{A}$$

$$F_{\rm m} = \frac{m_2 \cdot G_2}{4}$$

ここで、G₂:2.1.と同じ

F_m: 地震力によりトラニオンに作用する荷重(N)

 m_2 : 保管時における金属キャスクの質量(kg)

A:評価点①の断面積(______mm²)

2.2.3.1.1.2. 曲げ応力

最大応力が発生する箇所は図 2 に示す下部トラニオンの評価点②である。 鉛直方向加速度により発生する曲げ応力(σ_h)は次式で計算する。

$$\sigma_b = \frac{M}{Z}$$

$$M = F_{w} \cdot L$$

ここで、F_m: 2.2.3.1.1.1.と同じ

Z:評価点②の断面係数(mm

L:評価点②と荷重作用位置との距離(mm)

2.2.3.1.1.3. 圧縮応力

最大応力が発生する箇所は図2に示す下部トラニオンの評価点②である。 水平方向加速度により発生する圧縮応力(σ)は、次式で計算する。

$$\sigma_c = \frac{F_m}{A}$$

$$F_{\rm m} = \frac{m_2 \cdot G_3}{2}$$

ここで、G3:2.1.と同じ

F_m: 地震力によりトラニオンに作用する荷重(N)

m₂: 保管時における金属キャスクの質量(kg)

A:評価点②の断面積(mm²)

2.2.3.1.1.4.組合せ応力

2.2.3.1.1.4.1.せん断応力と曲げ応力

最大応力が発生する箇所は図 2 に示す下部トラニオンの評価点①である。 せん断応力 (τ) と曲げ応力 (σ_b) との組合せ応力 (σ_τ) は、次式で計算する。

$$\sigma_T = \sqrt{\sigma_b^2 + 3 \cdot \tau^2}$$

ここで, τ: 2.2.3.1.1.1.と同じ

σ_h: 2. 2. 3. 1. 1. 2. と同じ

ただし、 Z:評価点①の断面係数(

L:評価点①と荷重作用位置との距離(mm)

- 2.2.3.1.2. 一次十二次応力
- 2.2.3.1.2.1. せん断応力

地震力によるせん断応力(τ)の全振幅は、2.2.3.1.1.1.で求めたせん断応力(τ)の 2 倍とする。

2.2.3.1.2.2. 曲げ応力

地震力による曲げ応力 (σ_b) の全振幅は、2.2.3.1.1.2.で求めた曲げ応力 (σ_b) の2倍とする。

2.2.3.1.2.3. 圧縮応力

地震力による圧縮応力(σ _o)は左右方向荷重により作用し、左右方向が反転した場合、対向する別のトラニオンで荷重を受ける。地震力による圧縮応力(σ _o)の最大値は、2.2.3.1.1.3.で求めた圧縮応力(σ _o)と同様である。

- 2.2.3.2. 地震力が鉛直方向と軸水平方向に作用する場合
- 2.2.3.2.1. 一次応力
- 2.2.3.2.1.1. せん断応力

最大応力が発生する箇所は図2に示す下部トラニオンの評価点①である。

水平方向加速度及び鉛直方向加速度により発生するせん断応力(τ)は、次式で計算する。

$$\tau = \frac{F_m}{A}$$

$$F_m = \frac{m_2 \sqrt{4G_1^2 + G_2^2}}{4}$$

ここで、F_m: 地震力によりトラニオンに作用する荷重(N)

mg:保管時における金属キャスクの質量(

A:評価点①の断面積(mm²)

2.2.3.2.1.2. 曲げ応力

最大応力が発生する箇所は図2に示す下部トラニオンの評価点②である。 水平方向加速度及び鉛直方向加速度により発生する曲げ応力(σ₁)は次式で計算する。

$$\sigma_b = \frac{M}{Z}$$

$$M = F_m \cdot L$$

ここで、Fm: 2.2.3.2.1.1.と同じ

Z:評価点②の断面係数(mm

2.2.3.2.1.3. 組合せ応力

2.2.3.2.1.3.1. せん断応力と曲げ応力

最大応力が発生する箇所は図 2 に示す下部トラニオンの評価点①である。 せん断応力 (τ) と曲げ応力 (σ_{t}) との組合せ応力 (σ_{τ}) は次式で計算する。

$$\sigma_T = \sqrt{\sigma_b^2 + 3 \cdot \tau^2}$$

ここで, τ: 2.2.3.2.1.1.と同じ

σ_b: 2. 2. 3. 2. 1. 2. と同じ

ただし, Z:評価点①の断面係数(mm³)

L:評価点①と荷重作用位置との距離(mm)

2.2.3.2.2.一次十二次応力

2.2.3.2.2.1. せん断応力

地震力によるせん断応力(τ)の全振幅は、2.2.3.2.1.1.で求めたせん断力(τ)の2倍とする。

2.2.3.2.2.2. 曲げ応力

地震力による曲げ応力 (σ_b) の全振幅は、2.2.3.2.1.2.で求めた曲げ応力 (σ_b) の2倍とする。

2.3. 評価結果

計算結果 (キャスク容器)

	(早化: Mra)
	平均支圧応力
計算値	許容応力
2	377.
	許容応力 平均支 区分 計算値 供用状態 2 D (IVAS) 2

垣

雑

噩

計算結果 (バスケット)

			•
単位:MPa)	、次曲げ応力強き	許容応力	437
(単位	一次一般膜+一次曲げ応力強	計算値	2
	一次一般膜応力強さ	許容応力	167
	一次一般即	計算値	2
	許容応力	区分	供用状態 D (IVAS)
		M A**	ボロン添加ステンレス鋼板
		一一一一一	バスケット プレート

計算結果(バスケット)

許容応力 176 压縮応力 (単位: MPa) 計算値 0 許容応力 404 平均支压応力 計算値 $^{\circ}$ 許容応力 175 平均せん断応力 計算値 供用状態 D (IVAS) 許容応力 区分 ボロン添加メデンフス鋼板 菜 K バスケット プレート 扫 恕

計算結果 (トラニオン)

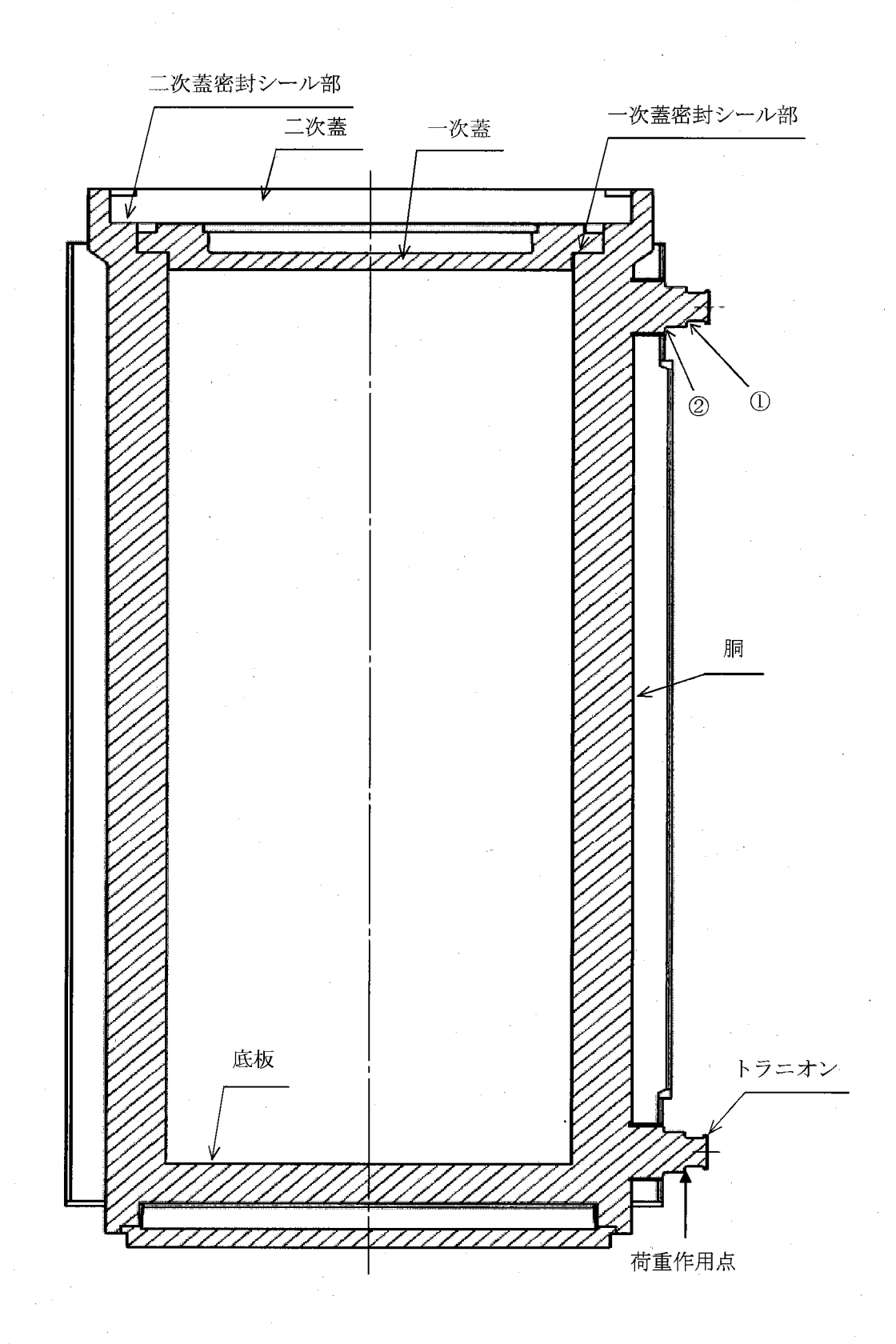
(単位: MPa)

計算 計
1 1 1 -

計算結果 (トラニオン)

(単位: MPa)

		*************************************			一次十二	一次十二次応力		
部 位	材料		 圧縮	圧縮応力	せん性	せん断応力	曲げ応力	応力
			計算値	許容応力	計算値	許容応力	計算値	許容応力
トラニオン	ステンレス鋼	供用状態 D (IVAS)	13	590	84	. 682	163	1182



①, ②はトラニオンの評価点を示す

図2 キャスク容器等の応力解析箇所

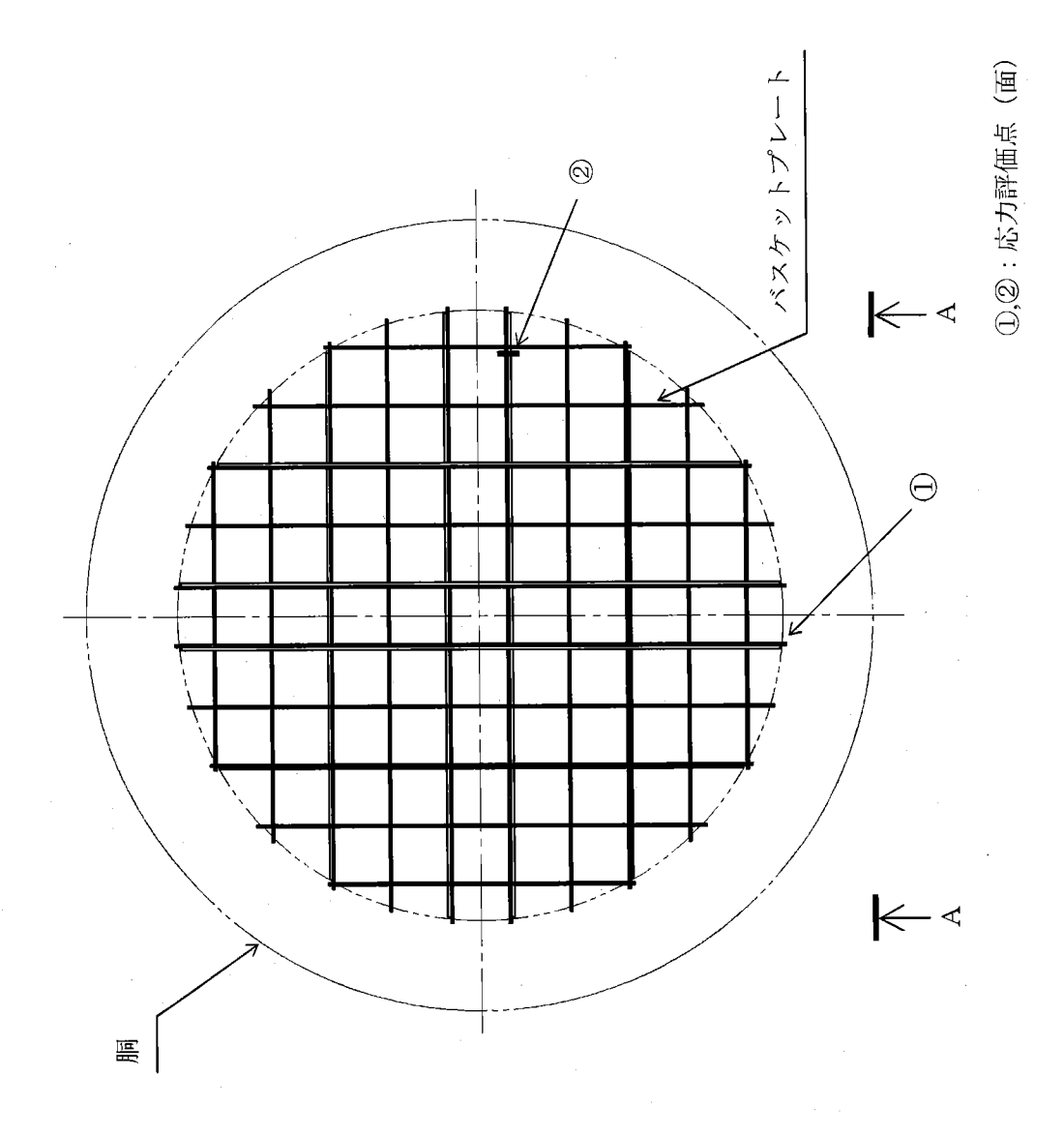


図3 バスケットの応力解析箇所

A~A矢組図

18

- 3. 輸送貯蔵兼用キャスク用支持架台
- 3.1. 設計荷重

図 4 に示す鋼製支持架台 1 脚に作用するキャスクの自重 (F_{wt}, F_{wt}) は次式で表される。

$$F_{wu} = \frac{P_w}{2} \cdot \frac{b}{(a+b)}$$

$$F_{WL} = \frac{P_W}{2} \cdot \frac{a}{(a+b)}$$

$$P_W = W \cdot g$$

ここで,

Fw: 鋼製支持架台1脚(上部側)に作用するキャスクの自重(N)

F_m: 鋼製支持架台1脚(下部側)に作用するキャスクの自重(N)

Pw: キャスク自重(N)

a : キャスク重心から上部トラニオン軸心までの距離(NEO mm, HDP mm

b:キャスク重心から下部トラニオン軸心までの距離(NEO mm, HDP mm)

W:キャスク設計質量(kg)

g : 重力加速度(=9.80665m/s²)

図 4 に示す鋼製支持架台 1 脚に作用する鉛直方向地震力 (F_{VU},F_{VL}) は次式で表される。

$$F_{vu} = \frac{P_v}{2} \cdot \frac{b}{(a+b)}$$

$$F_{vL} = \frac{P_v}{2} \cdot \frac{a}{(a+b)}$$

$$P_V = W \cdot C_V \cdot g$$

ここで,

F_{vu}:鋼製支持架台1脚(上部側)に作用する鉛直方向地震力(N)

F_{VL}:鋼製支持架台1脚(下部側)に作用する鉛直方向地震力(N)

Pv:キャスクに作用する鉛直方向地震力(N)

a : キャスク重心から上部トラニオン軸心までの距離(NEO mm, HDP

b:キャスク重心から下部トラニオン軸心までの距離(NEO mm, HDP mm)

W : キャスク設計質量(kg)

Cv:鉛直方向震度(=0.49)

g : 重力加速度(=9,80665m/s²)

図 4 に示す鋼製支持架台 1 脚に作用する軸方向水平地震力 (F_{HXU}, F_{HXL}) は次式で表される。なお、上部側のトラニオン受けには、キャスク軸方向にスライドする機構を備えており、軸方向水平地震力は作用しない。

$$F_{HXU} = 0$$

$$F_{HXL} = \frac{P_{HX}}{2}$$

$$P_{HX} = W \cdot C_H \cdot g$$

ここで,

F_{BXI}: 鋼製支持架台1脚(上部側)に作用する軸方向水平地震力(N)

F_{BX}:鋼製支持架台1脚(下部側)に作用する軸方向水平地震力(N)

Pm: キャスクに作用する軸方向水平地震力(N)

₩ : キャスク設計質量(kg

C_H: 水平方向震度(=0.79)

g : 重力加速度(=9.80665m/s²)

図 4 に示す鋼製支持架台 1 脚に作用する軸直角方向水平地震力(F_{HYU}, F_{HYL})は次式で表される。なお、トラニオン受けには、鋼製支持架台に作用する軸直角方向荷重が、キャスクから支持架台の方向のみ作用する機構を備えている。

$$F_{HYU} = P_{HY} \cdot \frac{b}{(a+b)}$$

$$F_{HYL} = P_{HY} \cdot \frac{a}{(a+b)}$$

$$P_{HV} = W \cdot C_H \cdot g$$

ここで,

F_{HVU}:鋼製支持架台1脚(上部側)に作用する軸直角方向水平地震力(N)

F_{HYL}:鋼製支持架台1脚(下部側)に作用する軸直角方向水平地震力(N)

Pm : キャスクに作用する軸直角方向水平地震力(N)

a :キャスク重心から上部トラニオン軸心までの距離(NEO mm, HDP

b:キャスク重心から下部トラニオン軸心までの距離(NEO mm, HDP mm)

W:キャスク設計質量(kg)

C_H: 水平方向震度(=0.79)

g:重力加速度(=9.80665m/s²)

- 3.2. 応力評価
- 3.2.1. 自重+鉛直方向地震力+軸方向水平地震力
- 3.2.1.1. 鋼製支持架台 (評価断面①)

3.2.1.1.1.一次応力

図 5 において自重のみによる圧縮応力 (σ_{cV}) と鉛直方向地震力による圧縮応力 (σ_{cV}) の合成圧縮応力 (σ_{cV}) は次式で表される。

$$\sigma_{cW} = \frac{F_W}{B \cdot t}$$

$$\sigma_{cV} = \frac{F_V}{B \cdot t}$$

$$\sigma_{cT} = \sigma_{cW} + \sigma_{cV}$$

図 5 において軸方向水平地震力による曲げ応力(σ_{bHX})は次式で表される。

$$\sigma_{bHX} = \frac{F_{HX} \cdot l}{t \cdot B^2 / 6}$$

図5において軸方向水平地震力による平均せん断応力(τω)は次式で表される。

$$au_{HX} = \frac{F_{HX}}{B \cdot t}$$

以上の合成圧縮応力(σ_{cr}), 曲げ応力(σ_{bix}), 平均せん断応力(τ_{tix})による組合せ応力(σ_{tix})は次式で表される。

$$\sigma_{THX} = \sqrt{(\sigma_{cT} + \sigma_{bHX})^2 + 3 \cdot \tau_{HX}^2}$$

ここで,

Fw: 図4に示す自重の設計用値(N)

F_v: 図 4 に示す鉛直方向地震力の設計用値(N)

F_{IX}: 図 4 に示す軸方向水平地震力の設計用値(N)

B:図5に示す評価断面の幅(mm)

t:図5に示すトラニオン受部の板厚(mm)

1:図5に示す軸方向水平地震力に対するモーメントアーム(mm)

3.2.1.1.2. 一次十二次応力

地震力のみによる引張・圧縮の応力範囲($\Delta \sigma_{\rm o}$), 曲げの応力範囲($\Delta \sigma_{\rm b}$), せん断の応力範囲($\Delta \tau$), 及び座屈応力($\sigma_{\rm bc}$)は次式により表される。

なお,この部位では支圧応力,せん断座屈,曲げ座屈は生じないので圧縮応力に対する 座屈応力を評価する。

$$\Delta \sigma_c = 2 \cdot \sigma_{cV}$$
 $\Delta \sigma_b = 2 \cdot \sigma_{bHX}$
 $\Delta \tau = 2 \cdot \tau_{HX}$
 $\sigma_{bc} = \sigma_{cT}$

3.2.1.2. 鋼製支持架台(評価断面②)

3.2.1.2.1. 一次応力

図6において自重のみによる圧縮応力(σ_{oV})と鉛直方向地震力による圧縮応力(σ_{oV})の合成圧縮応力(σ_{oT})は次式で表される。

$$\sigma_{cW} = \frac{F_W}{B_1 \cdot t_1 + 2B_2 \cdot t_2}$$

$$\sigma_{cV} = \frac{F_V}{B_1 \cdot t_1 + 2B_2 \cdot t_2}$$

$$\sigma_{cT} = \sigma_{cW} + \sigma_{cV}$$

図6において自重による曲げ応力($\sigma_{\rm bW1}$, $\sigma_{\rm bW2}$), 鉛直方向地震力による曲げ応力($\sigma_{\rm bV1}$, $\sigma_{\rm bV2}$), 及び軸方向水平地震力による曲げ応力($\sigma_{\rm bHX1}$, $\sigma_{\rm bHX2}$)の合成曲げ応力($\sigma_{\rm bT1}$, $\sigma_{\rm bT2}$)は次式で表される。

$$\begin{split} &\sigma_{bW1} = \frac{F_{W} \cdot (L_{1} - t_{1}/2)}{I_{X}} \cdot L_{1} & \text{(トラニオン受側)} \\ &\sigma_{bW2} = \frac{F_{W} \cdot (L_{1} - t_{1}/2)}{I_{X}} \cdot L_{2} & \text{(リブ側)} \\ &\sigma_{bV1} = \frac{F_{V} \cdot (L_{1} - t_{1}/2)}{I_{X}} \cdot L_{1} & \text{(トラニオン受側)} \\ &\sigma_{bV2} = \frac{F_{V} \cdot (L_{1} - t_{1}/2)}{I_{X}} \cdot L_{2} & \text{(リブ側)} \\ &\sigma_{bHX1} = \frac{F_{HX} \cdot l}{I_{Y}} \cdot L_{3} & \text{(トラニオン受側)} \\ &\sigma_{bHX2} = \frac{F_{HX} \cdot l}{I_{Y}} \cdot L_{4} & \text{(リブ側)} \\ &\sigma_{bT1} = \sigma_{bW1} + \sigma_{bV1} + \sigma_{bHX1} & \text{(トラニオン受側)} \\ &\sigma_{bT2} = \sigma_{bW2} + \sigma_{bV2} + \sigma_{bHX2} & \text{(リブ側)} \\ \end{split}$$

図6において軸方向水平地震力による平均せん断応力 (τ_K) は次式で表される。

$$\tau_{HX} = \frac{F_{HX}}{B_1 \cdot t_1 + 2B_2 \cdot t_2}$$

以上の合成圧縮応力(σ_{oT}),合成曲げ応力(σ_{bT1} , σ_{bT2}),平均せん断応力(τ_{tix})による組合せ応力(σ_{THX1} , σ_{THX2})は次式で表される。

$$\sigma_{\mathit{THX}1} = \sqrt{\left(\sigma_{\mathit{cT}} + \sigma_{\mathit{bT}1}\right)^2 + 3 \cdot \tau_{\mathit{HX}}^2}$$
 (トラニオン受側)

$$\sigma_{THX2} = \sqrt{(\sigma_{cT} + \sigma_{bT2})^2 + 3 \cdot \tau_{HX}^2}$$
 (リプ側)

ここで.

Fw: 図4 に示す自重の設計用値(N)

F_v: 図4 に示す鉛直方向地震力の設計用値(N)

F_{HX}: 図4 に示す軸方向水平地震力の設計用値(N)

B₁:図6に示すトラニオン受部の幅(mm)

B₂:図6に示すリブの幅 (NEO mm, HDP mm)

t,:図6に示すトラニオン受部の板厚(mm)

t₂:図6に示すリブの板厚(mm)

L₁: 図6に示す中立軸(X 軸)からトラニオン受け端部までのY方向距離 (NEO mm, HDP mm)

L₂ :図6に示す中立軸(X 軸)からリブ端部までのY方向距離(NEO mm, HDP mm)

 L_3 :図6に示す中立軸(Y 軸)からトラニオン受け端部までのX方向距離, L_3 、及び L_3 、、の大きい方の値(NEO mm, HDP mm)

L₄ : 図6に示す中立軸(Y軸)からリブ端部までのX 方向距離, L₄'及びL₄', の大きい 方の値 (NEO mm, HDP mm)

1 : 図6に示す軸方向水平地震力に対するモーメントアーム (NEO mm, HDP mm)

 Ix
 : 図6に示す断面の中立軸(X 軸)に関する断面二次モーメント (NEO mm⁴, HDP mm⁴)

 I_{Y} :図6に示す断面の中立軸(Y軸)に関する断面二次モーメント

(NEO mm⁴, HDP mm⁴)

3.2.1.2.2.一次十二次応力

地震力のみによる引張・圧縮の応力範囲($\Delta \sigma_{\rm b}$),曲げの応力範囲($\Delta \sigma_{\rm bl}$, $\Delta \sigma_{\rm b2}$),せん断の応力範囲($\Delta \tau$),及び座屈応力($\sigma_{\rm bc}$)は次式により表される。なお,この部位では支圧応力,せん断座屈,曲げ座屈は生じないので圧縮応力に対する座屈応力を評価する。

$$\Delta\sigma_{c}=2\cdot\sigma_{cV}$$

$$\Delta\sigma_{b1}=2\cdot(\sigma_{bV1}+\sigma_{bHX1}) \qquad (トラニオン受側)$$
 $\Delta\sigma_{b2}=2\cdot(\sigma_{bV2}+\sigma_{bHX2}) \qquad (リブ側)$ $\Delta\tau=2\cdot\tau_{HX}$ $\sigma_{bc}=\sigma_{cT}$

3.2.1.3. 鋼製支持架台(評価断面③)

3.2.1.3.1. 一次応力

図7において自重、鉛直方向地震力及び軸方向水平地震力により基礎ボルトから引張力を受けて発生する曲げ応力(σ_{bHXb})、コンクリート支持架台から圧縮力を受けて発生する曲げ応力(σ_{bHXc})は次式で表される。

$$\begin{split} \sigma_{bHXb} &= \frac{T_{HX} \cdot L_1}{B \cdot t^2 / 6} \\ \sigma_{bHXc} &= \frac{\sigma_{ccHX} \cdot L_2^2 / 2}{t^2 / 6} \\ T_{HX} &= \sigma_{tbHX} \cdot A_m \end{split}$$

ここで,

σ_{tbHX}: 図7に示す基礎ボルトに発生する本荷重条件下における引張応力(N/mm²)

σ_{coHX}: 図7に示すコンクリートに発生する本荷重条件下における圧縮応力 (N/mm²)

T_{HX}:図7に示す基礎ボルトに発生する本荷重条件下における引張力(N)

t: 図7に示す鋼製支持架台底板の板厚(m

B : 図7に示す基礎ボルトから引張力を受けて発生する曲げ応力の評価断面幅 (NEO mm, HDP mm)

L₁: 図7に示す基礎ボルトから引張力を受けて発生する曲げモーメントのモーメントアーム長さ (NEO mm, HDP mm)

 L_2 :図7に示すコンクリートから圧縮力を受ける長さ(NEO mm, HDP mm)

A_m : 基礎ボルト呼び径断面積 (mm²)

図7において自重,鉛直方向地震力及び軸方向水平地震力により基礎ボルトから引張力を受けて発生する平均せん断応力 ($\tau_{\rm HXb}$),コンクリート支持架台から圧縮力を受けて発生する平均せん断応力 ($\tau_{\rm HXc}$) は次式で表される。

$$egin{aligned} oldsymbol{ au}_{ extit{HXb}} &= rac{T_{ extit{HX}}}{B \cdot t} \ oldsymbol{ au}_{ extit{HXc}} &= rac{oldsymbol{\sigma}_{ extit{ccHX}} \cdot L_2}{t} \end{aligned}$$

ここで、各記号は上記と同様である。

以上の曲げ応力(σ_{bHXb} , σ_{bHXc}), 平均せん断応力(τ_{HXb} , τ_{HXc})による組合せ応力(σ_{THXb} , σ_{THXc})は次式で表される。

$$\sigma_{\mathit{THXb}} = \sqrt{\sigma_{\mathit{bHXb}}^2 + 3 \cdot \tau_{\mathit{HXb}}^2}$$

$$\sigma_{\textit{THXc}} = \sqrt{\sigma_{\textit{bHXc}}^2 + 3 \cdot \tau_{\textit{HXc}}^2}$$

3.2.1.3.2. 一次十二次応力

地震力のみによる曲げの応力範囲($\Delta \sigma_b$), せん断の応力範囲($\Delta \tau$)は次式により表される。

$$\Delta \sigma_b = \sigma_{bHXb} + \sigma_{bHXc}$$
$$\Delta \tau = \tau_{HXb} + \tau_{HXc}$$

3.2.1.4. 埋め込み金物

自重及び鉛直方向地震力により埋め込み金物に発生する応力は微小であるためこれらの 荷重は無視する。

3.2.1.4.1. 一次応力

自重及び鉛直方向地震力は無視する。

図8において軸方向水平地震力により発生する曲げ応力(σ_{bHX}),軸方向水平地震力作用点の偏心により発生する最大曲げ応力(σ_{bHX})とその合成曲げ応力(σ_{bHX})は次式で表される。

$$\sigma_{bHX1} = \frac{F_{HX} \cdot H/2}{4 \cdot B \cdot t^2/6}$$

$$\sigma_{bHX2} = \sigma_{bHX1} \cdot \frac{\tau_{HX2}}{\tau_{HX1}}$$

$$\sigma_{bHX} = \sigma_{bHX1} + \sigma_{bHX2}$$

ここで.

F_{HX} : 図4に示す軸方向水平地震力の設計用値(N)

H : 図8に示すシアプレート部の高さ_(mm)

B: 図8に示すシアプレート部の幅 (mm)

t : 図8に示すシアプレート部の板厚 (mm)

τ_{RX1}: 図8において軸方向水平地震力により発生する平均せん断応力 (N/mm²)

τ_{HX2}: 図8において軸方向水平地震力作用点の偏心により発生する最大せん断応力 (N/mm²)

図8において軸方向水平地震力により発生する平均せん断応力($\tau_{\rm HX1}$),軸方向水平地震力作用点の偏心により発生する最大せん断応力($\tau_{\rm HX2}$)とその合成せん断応力($\tau_{\rm HX}$)は次式で表される。

$$\tau_{HX1} = \frac{F_{HX}}{4 \cdot B \cdot t}$$

$$\tau_{HX2} = \frac{F_{HX} \cdot l}{I_P} \cdot r_{\text{max}}$$

$$\boldsymbol{\tau}_{H\!X} = \boldsymbol{\tau}_{H\!X1} + \boldsymbol{\tau}_{H\!X2}$$

ここで,

F_{RX}:図8に示す軸方向水平地震力の設計用値(N)

B : 図8に示すシアプレートの幅 (mm)

t:図8に示すシアプレート部の板厚(mm)

1 : 図8に示す軸方向水平地震力作用点から捩りせん断中心までのY 方向距離

(NEO mm, HDP mm)

I。: 図8に示すシアプレートの断面二次極モーメント(

mm⁴)

rmax: 図8に示す捩りせん断中心からシアプレートまでの最大距離(

以上の合成曲げ応力(σ_{bHX}),合成せん断応力(τ_{HX})による組合せ応力(σ_{THX})は次式で表される。

$$\sigma_{\mathit{THX}} = \sqrt{\sigma_{\mathit{bHX}}^2 + 3 \cdot \tau_{\mathit{HX}}^2}$$

3.2.1.4.2. 一次十二次応力

地震力のみによる曲げの応力範囲($\Delta \sigma_b$), せん断の応力範囲($\Delta \tau$)は次式により表される。なお、この部位では圧縮応力、支圧応力、せん断座屈、曲げ座屈は生じない。

$$\Delta \sigma_b = 2 \cdot \sigma_{bHX}$$

$$\Delta \tau = 2 \cdot \tau_{\mathit{HX}}$$

3.2.1.5. 基礎ボルト

3.2.1.5.1. 一次応力

3.2.1.5.1.1. 自重(-Z) +鉛直方向地震力(+Z) +軸方向水平地震力 $(\pm X)$

基礎ボルトに発生する合成引張応力 (σ_{tr}) 及び合成せん断応力 (τ_{r}) は次式で表される。

$$\sigma_{tT} = \sigma_{tV} + \sigma_{tHX}$$

$$\tau_T = \tau_{HX1} + \tau_{HX2}$$

ここで.

σ_{tV}:自重及び鉛直方向地震力により発生する引張応力(N/mm²)

σ_{tHX} : 軸方向水平地震力により発生する引張応力 (N/mm²)

τ_{RX1}:軸方向水平地震力により発生する平均せん断応力 (N/mm²)

τ_{HX2}:軸方向水平地震力作用点の偏心により発生する最大せん断応力(N/mm²)

3.2.1.5.1.1.1.自重及び鉛直方向地震力による引張応力

図9において自重及び鉛直方向地震力により基礎ボルトに発生する引張応力 (σ_{tV}) は、鉄筋コンクリート構造計算規準・同解説 (2010年版)より次式で表される。

$$\sigma_{tV} = \sigma_{CC} \cdot n \cdot \frac{(D - d_t - X_n)}{X_n} \cdot \frac{A_b}{A_m}$$

$$\sigma_{cc} = N \cdot X_n / S_n$$

$$S_n = \left\{ X_{n1}^2 / 2 - n \cdot P_t \cdot (1 - d_{t1} - X_{n1}) \right\} b \cdot D^2$$

$$I_n = \left\{ X_{n1}^3 / 3 + n \cdot P_t \cdot (1 - d_{t1} - X_{n1})^2 \right\} b \cdot D^3$$

$$X_{n1} = X_n / D$$

$$d_{t1} = d_t / D$$

$$P_t = a_t / (b \cdot D)$$

$$a_t = A_b \cdot N_b$$

ここで,

 σ_{cc} : 図9に示すコンクリートの最大圧縮応力 (N/mm²)

n : ヤング係数比(

D : 図9に示す断面高さ (NEO mm, HDP mm)

b : 図9に示す断面幅 (mm)

d_t: 図9に示す引張側ボルトに関する距離 (mm)

d_{t1}: 引張側ボルトに関する係数 (-)

X_n: 図9に示す中立軸距離 (mm)

 $X_n - D/2 + e = In/Sn$

ただし, e: 図9に示す鉛直力偏心距離 (mm) (NEO mn, HDP mm)

X_{n1}:中立軸比(-)

N: 図9に示す鉛直力であり、次式により算出した値(N) N=[自重の設計用値]-[鉛直方向地震力の設計用値]

a_t:有効ボルト総断面積 (mm²)

P_t: 引張鉄筋比(-)

A_b:基礎ボルト有効断面積(mm²)

Am: 基礎ボルト呼び径断面積(mm²)

N_b:有効引張側ボルト本数 (本)

 S_n :有効等価断面一次モーメント (mm^3)

I。: 有効等価断面二次モーメント (mm4)

3.2.1.5.1.1.2. 軸方向水平地震力による引張応力

図9において軸方向水平地震力により基礎ボルトに発生する引張応力(σ_{tHX})は、鉄筋コンクリート構造計算規準・同解説(2010 年版)より次式で表される。

$$\sigma_{tHX} = \frac{F_{HX} \cdot l_1}{I} \cdot n \cdot (d - X_n) \cdot \frac{A_b}{A_m}$$

$$\sigma_{cc} = \frac{F_{HX} \cdot l_1}{I} \cdot Xn$$

$$X_{n1} = -n \cdot P_t + \sqrt{n \cdot P_t \cdot (2 + n \cdot P_t)}$$

$$X_n = d \cdot X_{n1}$$

$$a_t = A_b \cdot N_b$$

$$P_t = a_t / (b \cdot d)$$

 σ_{cc} :図9に示すコンクリートの最大圧縮応力(N/mm²)

F_{HX} : 図4 に示す軸方向水平地震力の設計用値 (N)

I: 断面の断面二次モーメント (NEO mm⁴, HDP mm⁴)

n : ヤング係数比(

1₁ : 軸方向水平地震力作用点から鋼製支持架台下面までのZ 方向距離

(NEO mm, HDP mm)

b : 図9に示す断面幅 (NEO mm, HDP mm)

d : 図9に示す断面有効高さ (mm)

X_n : 図9に示す中立軸距離 (mm)

X_{n1}:中立軸比(-)

a_t:有効ボルト総断面積 (mm²)

P_t :引張鉄筋比(-)

A_b : 基礎ボルト有効断面積 (mm²)

A_m : 基礎ボルト呼び径断面積 (mm²)

N_b:有効引張側ボルト本数(本)

3.2.1.5.1.1.3. 軸方向水平地震力により発生するせん断応力

軸方向水平地震力により基礎ボルトに発生する平均せん断応力($\tau_{\rm HXI}$),及び軸方向水平地震力作用点が図9に示す基礎ボルト重心位置から偏心していることにより発生する最大せん断応力($\tau_{\rm HX2}$)は次式で表される。

$$\tau_{HX1} = \frac{F_{HX}}{A_b \cdot N_{bs}}$$

$$\tau_{HX2} = \frac{F_{HX} \cdot l_2}{I_P} \cdot r_{\text{max}}$$

ここで,

F_{HX}: 図4に示す軸方向水平地震力の設計用値(N)

N_{bs}: 図9に示す基礎ボルト本数(本)

A_b: 図9に示す基礎ボルト有効断面積(mm²)

I_p:図9に示す基礎ボルトの断面二次極モーメント(mm⁴)

12: 図9に示す軸方向水平地震力作用点から基礎ボルト有効断面の図心位置(捩りせん断中

心) までのY 方向距離 (NEO mm, HDP mm)

r_{max}:上記図心位置から基礎ボルトまでの最大距離 (mm)

3.2.1.5.1.2. 自重(-Z)+鉛直方向地震力(-Z)+軸方向水平地震力(±X)

基礎ボルトに発生する合成引張応力 (σ_{τ}) 及び合成せん断応力 (τ_{τ}) は次式で表される。

$$\sigma_{tT} = \sigma_{tV} + \sigma_{tHX}$$

 $\tau_T = \tau_{HX1} + \tau_{HX2}$

ここで.

σ_tv: 自重及び鉛直方向地震力により発生する引張応力 (N/mm²)

σ_{tHX}: 軸方向水平地震力により発生する引張応力 (N/mm²)

τ_{HXI}:軸方向水平地震力により発生する平均せん断応力 (N/mm²)

τ_{HV2}:軸方向水平地震力作用点の偏心により発生する最大せん断応力(N/mm²)

3.2.1.5.1.2.1. 自重及び鉛直方向地震力による引張応力

図 10 において自重及び鉛直方向地震力により基礎ボルトに発生する引張応力 (σ_{tV}) は、 鉄筋コンクリート構造計算規準・同解説 (2010 年版) より次式で表される。

$$\sigma_{tV} = \sigma_{cc} \cdot n \cdot \frac{(D - d_t - X_n)}{X_m} \cdot \frac{A_b}{A_m}$$

$$\sigma_{cc} = N \cdot X_n / S_n$$

$$S_n = \left\{ X_{n1}^2 / 2 - n \cdot P_t \cdot (1 - d_{t1} - X_{n1}) \right\} b \cdot D^2$$

$$I_n = \left\{ X_{n1}^{3} / 3 + n \cdot P_t \cdot (1 - d_{t1} - X_{n1})^2 \right\} b \cdot D^3$$

$$X_{n1} = X_n/D$$

$$d_{i1} = d_i/D$$

$$P_t = a_t/(\mathbf{b} \cdot D)$$

$$a_t = A_b \cdot N_{bt}$$

ここで,

σ_{cc}: 図 10 に示すコンクリートの最大圧縮応力 (N/mm²)

n:ヤング係数比(

D:図10に示す断面高さ (NEO mm, HDP mm)

b:図10に示す断面幅 (mm)

d,: 図 10 に示す引張側ボルトに関する距離 (mm)

d,: 引張側ボルトに関する係数(-)

 X_n :図10に示す中立軸距離を表し、次式を満足する値(mm)

 $X_{n}-D/2+e=I_{n}/S_{n}$

ただし, e: 図 10 に示す鉛直力偏心距離 (NEO , HDP mm)

X_{n1}:中立軸比(-)

N:図10に示す鉛直力であり、次式により算出した値(N) N=[自重の設計用値]+[鉛直方向地震力の設計用値]

a_t:有効ボルト総断面積 (mm²)

P.: 引張鉄筋比(-)

A_b:基礎ボルト有効断面積 (mm²)

A_m:基礎ボルト呼び径断面積(mm²)

N_{bt}:有効引張側ボルト本数(本)

S_n:有効等価断面一次モーメント (mm³)

In: 有効等価断面二次モーメント (mm4)

3.2.1.5.1.2.2. 軸方向水平地震力により発生する引張応力

図 10 において軸方向水平地震力により基礎ボルトに発生する引張応力 (σ_{tHX}) は、鉄筋 コンクリート構造計算規準・同解説 (2010 年版) より次式で表される。

$$\sigma_{tHX} = \frac{F_{HX} \cdot l_1}{I} \cdot n \cdot (d - X_n) \cdot \frac{A_b}{A_m}$$

$$\sigma_{cc} = \frac{F_{HX} \cdot l_1}{I} \cdot X_n$$

$$X_{n1} = -n \cdot P_t + \sqrt{n \cdot P_t \cdot (2 + n \cdot P_t)}$$

$$X_n = d \cdot X_{n1}$$

$$a_t = A_b \cdot N_b$$

$$P_t = a_t / (b \cdot d)$$

ここで,

 σ_{cc} :図 10 に示すコンクリートの最大圧縮応力 (N/mm²)

F_{HX}: 図4に示す軸方向水平地震力の設計用値(N)

I: 断面の断面二次モーメント (NEO mm⁴, HDP

 mm^4)

n : ヤング係数比(

1, : 軸方向水平地震力作用点から鋼製支持架台下面までの 2 方向距離

(NEO mm, HDP mm)

b :図10に示す断面幅 (NEO mm, HDP mm)

d:図10に示す断面有効高さ(mm)

X_n:図10に示す中立軸距離 (mm)

X_{n1}:中立軸比(-)

a_t:有効ボルト総断面積 (mm²)

P_t : 引張鉄筋比 (-)

A_b : 基礎ボルト有効断面積 (mm²)

A_m : 基礎ボルト呼び径断面積 (mm²)

N_b:有効引張側ボルト本数(本)

3.2.1.5.1.2.3. 軸方向水平地震力により発生するせん断応力

軸方向水平地震力により基礎ボルトに発生する平均せん断応力 (τ_{HXI}),及び軸方向水平 地震力作用点が図 10 に示す基礎ボルト重心位置から偏心していることにより発生する最大 せん断応力 (τ_{HX2}) は次式で表される。

$$au_{HX1} = \frac{F_{HX}}{A_b \cdot N_{bs}}$$

$$au_{HX2} = \frac{F_{HX} \cdot l_2}{I_R} \cdot r_{\text{max}}$$

ここで、

F_{HX}:図4に示す軸方向水平地震力の設計用値(N)

N_{bs}:図10に示す基礎ボルト本数(本)

A_b:図10に示す基礎ボルト有効断面積(mm²)

I_b:図10に示す基礎ボルトの断面二次極モーメント(mm⁴)

12:図10に示す軸方向水平地震力作用点から基礎ボルト有効断面の図心位置(捩り)

せん断中心) までの Y 方向距離 (NEO mm, HDP mm)

r_{max}:上記図心位置から基礎ボルトまでの最大距離 (mm)

- 3.2.2. 自重+鉛直方向地震力+軸直角方向水平地震力
- 3.2.2.1. 鋼製支持架台 (評価断面①)
- 3.2.2.1.1.一次応力

図11において自重のみによる圧縮応力 (σ_{cv}) と鉛直方向地震力による圧縮応力 (σ_{cv}) の合

成圧縮応力 (σ_{cf}) は次式で表される。

$$\sigma_{cW} = \frac{F_W}{B \cdot t}$$

$$\sigma_{cV} = \frac{F_V}{B \cdot t}$$

$$\sigma_{cT} = \sigma_{cW} + \sigma_{cV}$$

図 11 において軸直角方向水平地震力による曲げ応力(σμη)は次式で表される。

$$\sigma_{bHY} = \frac{F_{HY} \cdot l}{B \cdot t^2 / 6}$$

図 11 において軸直角方向水平地震力による平均せん断応力(τμ)は次式で表される。

$$\tau_{HY} = \frac{F_{HY}}{B \cdot t}$$

以上の合成圧縮応力(σ_{cr}), 曲げ応力(σ_{bHY}), 平均せん断応力(τ_{HY})による組合せ応力(σ_{THY})は次式で表される。

$$\sigma_{THY} = \sqrt{\left(\sigma_{cT} + \sigma_{bHY}\right)^2 + 3 \cdot \tau_{HY}^2}$$

ここで,

Fw:図4に示す自重の設計用値(N)

F_v:図4に示す鉛直方向地震力の設計用値(N)

F_{nv}: 図 4 に示す軸直角方向水平地震力の設計用値(N)

B:図11に示す評価断面の幅(mm)

t:図11に示すトラニオン受部の板厚(mm)

1:図11に示す軸方向水平地震力に対するモーメントアーム(mn)

3.2.2.1.2. 一次十二次応力

地震力のみによる引張・圧縮の応力範囲($\Delta \sigma_{\rm o}$), 曲げの応力範囲($\Delta \sigma_{\rm b}$), せん断の応力範囲($\Delta \tau$), 及び座屈応力($\sigma_{\rm bc}$)は次式により表される。

なお,この部位では支圧応力,せん断座屈,曲げ座屈は生じないので圧縮応力に対する 座屈応力を評価する。

$$\Delta \sigma_c = 2 \cdot \sigma_{cV}$$

$$\Delta \sigma_b = \sigma_{bHY}$$

$$\Delta \tau = \tau_{HY}$$

$$\sigma_{bc} = \sigma_{cT}$$

3.2.2.2. 鋼製支持架台(評価断面②)

3.2.2.2.1. 一次応力

図12において自重のみによる圧縮応力(σ_{cV})と鉛直方向地震力による圧縮応力(σ_{cV})の合成圧縮応力(σ_{cI})は次式で表される。

$$\sigma_{cW} = \frac{F_W}{B_1 \cdot t_1 + 2B_2 \cdot t_2}$$

$$\sigma_{cV} = \frac{F_V}{B_1 \cdot t_1 + 2B_2 \cdot t_2}$$

$$\sigma_{cT} = \sigma_{cW} + \sigma_{cV}$$

図12において自重による曲げ応力($\sigma_{\rm bWI}$, $\sigma_{\rm bW2}$), 鉛直方向地震力による曲げ応力($\sigma_{\rm bVI}$, $\sigma_{\rm bV2}$), 及び軸直角方向水平地震力による曲げ応力($\sigma_{\rm bHYI}$, $\sigma_{\rm bHY2}$)の合成曲げ応力($\sigma_{\rm bTI}$, $\sigma_{\rm bT2}$)は次式で表される。

$$\sigma_{bW1} = \frac{F_W \cdot (L_1 - t_1/2)}{I_X} \cdot L_1$$
 (トラニオン受側)
$$\sigma_{bW2} = \frac{F_W \cdot (L_1 - t_1/2)}{I_X} \cdot L_2$$
 (リブ側)
$$\sigma_{bV1} = \frac{F_V \cdot (L_1 - t_1/2)}{I_X} \cdot L_1$$
 (トラニオン受側)
$$\sigma_{bV2} = \frac{F_V \cdot (L_1 - t_1/2)}{I_X} \cdot L_2$$
 (リブ側)
$$\sigma_{bHY1} = \frac{F_{HY} \cdot l}{I_X} \cdot L_1$$
 (トラニオン受側)
$$\sigma_{bHY2} = \frac{F_{HY} \cdot l}{I_X} \cdot L_2$$
 (リブ側)
$$\sigma_{bHY2} = \frac{F_{HY} \cdot l}{I_X} \cdot L_2$$
 (リブ側)
$$\sigma_{bT1} = \sigma_{bW1} + \sigma_{bV1} + \sigma_{bHY1}$$
 (トラニオン受側)
$$\sigma_{bT2} = \sigma_{bW2} + \sigma_{bV2} + \sigma_{bHY2}$$
 (リブ側)

図12において軸直角方向水平地震力による平均せん断応力 (την) は次式で表される。

$$\tau_{HY} = \frac{F_{HY}}{B_1 \cdot t_1 + 2B_2 \cdot t_2}$$

以上の合成圧縮応力(σ_{cT}),合成曲げ応力(σ_{bT1} , σ_{bT2}),平均せん断応力(τ_{HY})による組合せ応力(σ_{THY1} , σ_{THY2})は次式で表される。

$$\sigma_{\mathit{THY1}} = \sqrt{\left(\sigma_{\mathit{cT}} + \sigma_{\mathit{bT1}}\right)^2 + 3 \cdot \tau_{\mathit{HY}}^2}$$
 (トラニオン受側)

$$\sigma_{THY2} = \sqrt{(\sigma_{cT} + \sigma_{bT2})^2 + 3 \cdot \tau_{HY}^2}$$
 (リブ側)

ここで,

Fw: 図4 に示す自重の設計用値(N)

Fv: 図4 に示す鉛直方向地震力の設計用値(N)

F_{HX}: 図4 に示す軸直角方向水平地震力の設計用値(N)

B₁:図12に示すトラニオン受部の幅(**mm**)

B。: 図12に示すリブの幅(NEO mm, HDP mm)

t₁:図12に示すトラニオン受部の板厚(mm)

t₂ : 図12に示すリブの板厚(mm)

 L_1 :図12に示す中立軸(X軸)からトラニオン受け端部までのY方向距離

(NEO mm, HDP mm)

L₂:図12に示す中立軸(X 軸)からリブ端部までのY方向距離(NEO mm, HDP

1:図12に示す軸直角方向水平地震力に対するモーメントアーム

(NEO m, HDP mmm)

Ix: 図12に示す断面の中立軸(X軸)に関する断面二次モーメント

(NEO mm⁴, HDP mm⁴)

3.2.2.2.2.一次十二次応力

地震力のみによる引張・圧縮の応力範囲($\Delta \sigma_{\rm o}$),曲げの応力範囲($\Delta \sigma_{\rm b1}$, $\Delta \sigma_{\rm b2}$),せん断の応力範囲($\Delta \tau$),及び座屈応力($\sigma_{\rm bc}$)は次式により表される。なお,この部位では支圧応力,せん断座屈,曲げ座屈は生じないので圧縮応力に対する座屈応力を評価する。

$$\Delta \sigma_c = 2 \cdot \sigma_{cV}$$
 $\Delta \sigma_{b1} = 2 \cdot \sigma_{bV1} + \sigma_{bHY1}$ (トラニオン受側)
 $\Delta \sigma_{b2} = 2 \cdot \sigma_{bV2} + \sigma_{bHY2}$ (リブ側)
 $\Delta \tau = \tau_{HY}$
 $\sigma_{bc} = \sigma_{cT}$

3.2.2.3. 鋼製支持架台(評価断面③)

3.2.2.3.1. 一次応力

図13において自重、鉛直方向地震力及び軸直角方向水平地震力により基礎ボルトから引張力を受けて発生する曲げ応力(σ_{bHYb})、コンクリート支持架台から圧縮力を受けて発生する曲げ応力(σ_{bHYc})は次式で表される。

$$\begin{split} \sigma_{bHYb} &= \frac{T_{HY} \cdot L_1}{B \cdot t^2 / 6} \\ \sigma_{bHYc} &= \frac{\sigma_{ccHY} \cdot L_2^2 / 2}{t^2 / 6} \\ T_{HY} &= \sigma_{tbHY} \cdot A_m \end{split}$$

ここで,

σ_{tbHY}:図13に示す基礎ボルトに発生する本荷重条件下における引張応力 (N/mm²)

 σ_{coHY} :図13に示すコンクリートに発生する本荷重条件下における圧縮応力 (N/mm²)

T_{HY}: 図13に示す基礎ボルトに発生する本荷重条件下における引張力(N)

t : 図13に示す鋼製支持架台底板の板厚 (mm)

B : 図13に示す基礎ボルトから引張力を受けて発生する曲げ応力の評価断面幅

(NEO mm, HDP mm)

L₁ : 図13に示す基礎ボルトから引張力を受けて発生する曲げモーメントのモーメン

トアーム長さ (NEO mm, HDP mm)

 L_2 : 図13に示すコンクリートから圧縮力を受ける長さ (NEO mm, HDP mm)

A_m:基礎ボルト呼び径断面積(mm²)

図13において自重、鉛直方向地震力及び軸直角方向水平地震力により基礎ボルトから引張力を受けて発生する平均せん断応力(τ_{HYb})、コンクリート支持架台から圧縮力を受けて発生する平均せん断応力(τ_{HYc})は次式で表される。

$$au_{HYb} = \frac{T_{HY}}{B \cdot t}$$

$$\tau_{HYc} = \frac{\sigma_{ccHY} \cdot L_2}{t}$$

ここで、各記号は上記と同様である。

以上の曲げ応力(σ_{bHYb} , σ_{bHYe}), 平均せん断応力(τ_{HYb} , τ_{HYe})による組合せ応力(σ_{THYb} , σ_{THYe})は次式で表される。

$$\sigma_{\mathit{THYb}} = \sqrt{\sigma_{\mathit{bHYb}}^2 + 3^{\bullet} \, \tau_{\mathit{HYb}}^2}$$

$$\sigma_{THYc} = \sqrt{\sigma_{bHYc}^2 + 3 \cdot \tau_{HYc}^2}$$

3.2.2.3.2. 一次十二次応力

地震力のみによる曲げの応力範囲($\Delta \sigma_b$), せん断の応力範囲($\Delta \tau$)は次式により表

される。なお、この部位では圧縮応力、支圧応力、せん断座屈、曲げ座屈は生じない。

$$\Delta \boldsymbol{\sigma}_b = \boldsymbol{\sigma}_{bHYb} + \boldsymbol{\sigma}_{bHYc}$$

$$\Delta \tau = \tau_{HYb} + \tau_{HYc}$$

3.2.2.4. 埋め込み金物

3.2.2.4.1. 一次応力

図14において軸直角方向水平地震力により発生する曲げ応力(σық)は次式で表される。

$$\sigma_{bHY} = \frac{F_{HY} \cdot H/2}{(L-4 \cdot t) \cdot t^2/6}$$

ここで,

F_{HV}: 図4 に示す軸直角方向水平地震力の設計用値(N)

H : 図14に示すシアプレート部の高さ (mm)L : 図14に示すシアプレート部の幅 (mm)

t: 図14に示すシアプレート部の板厚(mm)

図 14 において軸直角方向水平地震力により発生する平均せん断応力 (τ_{HY}) は次式で表される。

$$\tau_{HY} = \frac{F_{HY}}{(L - 4 \cdot t) \cdot t}$$

ここで,

F_{HV}: 図4 に示す軸直角方向水平地震力の設計用値(N)

L : 図14に示すシアプレート部の幅 (mm)t : 図14に示すシアプレート部の板厚 (mm)

以上の曲げ応力(σ_{bHY}),平均せん断応力(τ_{HY})による組合せ応力(σ_{THY})は次式で表される。

$$\sigma_{THY} = \sqrt{\sigma_{bHY}^2 + 3 \cdot \tau_{HY}^2}$$

3.2.2.4.2. 一次十二次応力

軸直角方向水平地震力は一方向のみ(図14に示すーY 方向のみ)に作用し、応力の振幅は片側のみとなるため、地震力のみによる曲げの応力範囲(Δ σ _b)、せん断の応力範囲(Δ τ)は次式により表される。なお、せん断座屈、曲げ座屈は生じない。

$$\Delta \sigma_b = \sigma_{bHY}$$
 $\Delta \tau = \tau_{HY}$

- 3.2.2.5. 基礎ボルト
- 3.2.2.5.1. 一次応力
- 3.2.2.5.1.1. 自重(-Z)+鉛直方向地震力(+Z)+軸方向水平地震力(-Y)
- 3.2.2.5.1.1.1.自重,鉛直方向地震力,軸直角水平方向地震力による引張応力 図15において自重,鉛直方向地震力及び軸直角方向水平地震力により基礎ボルトに引張 応力が発生するかは下記条件により定まる。
- (i) $e_t < -(D/6+d_t'/3)$ のとき 基礎ボルトに引張応力が発生する。
- (ii) $-(D/6+d_t'/3) \le e_t < -D/6$ のとき 鋼製支持架台底板の一部が圧縮となり、基礎ボルトに引張応力が発生しない。
- (iii) $-D/6 \le e_T < D/6$ のとき 鋼製支持架台底板の全面が圧縮となり、基礎ボルトに引張応力が発生しない。
- (iv) $D/6 \le e_T < D/6 + d_t/3$ のとき 鋼製支持架台底板の一部が圧縮となり、基礎ボルトに引張応力が発生しない。
- (v) D/6+d_t/3≤e_T のとき基礎ボルトに引張応力が発生する。

ただし,

$$\begin{aligned} e_T &= e_N + e_M \\ e_M &= -F_{HY} \cdot l / N \end{aligned}$$

ここで,

D : 図15に示す断面高さ (NEO mm, HDP mm)

d_t : 図15に示す引張側ボルトに関する距離 (キャスクと反対側) (mm)

d_t': 図15に示す引張側ボルトに関する距離 (キャスク側) (NEO mm, HDP mm)

e_T : 合成荷重偏心距離 (mm)

e_N : 図15に示す鉛直力偏心距離(NEO mm, HDP mm)

e_w:曲げモーメント置換偏心距離 (mm)

1 : 図15に示す軸直角方向水平地震力作用点から鋼製支持架台下面までのZ 方向距離 (NEO mm, HDP mm)

F_{HY}: 図15に示す軸直角方向水平地震力の設計用値(N)

N:図15に示す鉛直力であり、次式により算出した値(N) N=[自重の設計用値]-[鉛直方向地震力の設計用値]

各条件で発生する基礎ボルトの引張応力は以下に示すとおり計算する。

(i) $e_T < -(D/6 + d_t'/3)$ のとき

基礎ボルトに引張応力が発生する。図15において自重、鉛直方向地震力、軸直角方向水平地震力により基礎ボルトに発生する引張応力 (σ_{tH}) は、鉄筋コンクリート構造計算規準・同解説 (2010 年版) より次式で表される。

$$\begin{split} &\sigma_{tHY} = \sigma_{cc} \cdot n \cdot \frac{(D - d_t' - X_n)}{X_n} \cdot \frac{A_b}{A_m} \\ &\sigma_{cc} = N \cdot X_n / S_n \\ &S_n = \left\{ X_{n1}^2 / 2 - n \cdot P_t \cdot (1 - d_{t1} - X_{n1}) \right\} b \cdot D^2 \\ &I_n = \left\{ X_{n1}^3 / 3 + n \cdot P_t \cdot (1 - d_{t1} - X_{n1})^2 \right\} b \cdot D^3 \\ &X_{n1} = X_n / D \\ &d_{t1} = d_t' / D \\ &P_t = a_t / (b \cdot D) \\ &a_t = A_b \cdot N_{bt} \end{split}$$

ここで,

 σ_{cc} : 図15に示すコンクリートの最大圧縮応力 (N/mm^2)

n : ヤング係数比(

D : 上記と同じ

b : 図15に示す断面幅 (mm)

d,':上記と同じ

d_{t1} : 引張側ボルトに関する係数(-)

X_n: 図15に示す中立軸距離を表し、次式を満足する値(mm)

 $X_n-D/2+|e_T|=I_n/S_n$ ただし、 $e_T:$ 上記と同じ

X_{n1} : 中立軸比 (-)

N:上記と同じ

a_t : 有効ボルト総断面積 (mm²)

P_t : 引張鉄筋比(-)

A_b : 基礎ボルト有効断面積 (mm²)

A_m : 基礎ボルト呼び径断面積 (mm²)

N_{bt}':有効引張側ボルト本数(本)

 S_n : 有効等価断面一次モーメント (mm^3)

I_n:有効等価断面二次モーメント (mm⁴)

(ii) $-(D/6+d_{t}'/3) \le e_{T} < -D/6$ のとき

鋼製支持架台底板の一部が圧縮となり、基礎ボルトに引張応力が発生しないが、ここでは、コンクリート支持架台に発生する最大圧縮応力を算出する。図15において自重、鉛直方向地震力、軸直角方向水平地震力によりコンクリート支持架台に発生する最大圧縮応力(σ_{cc})は、次式で表される。

$$\sigma_{cc} = \frac{2 \cdot N}{3 \cdot b \cdot (D/2 - |e_T|)}$$

ここで,

N, e_t, D, b:上記と同じ

(iii) $-D/6 \le e_{\tau} < D/6$ のとき

鋼製支持架台底板の全面が圧縮となり、基礎ボルトに引張応力が発生しないが、ここでは、コンクリート支持架台に発生する最大圧縮応力を算出する。図15において自重、鉛直方向地震力、軸直角方向水平地震力によりコンクリート支持架台に発生する最大圧縮応力(σ_{cc})は、次式で表される。

$$\sigma_{cc} = \frac{N |e_T|}{b \cdot D^2 / 6} + \frac{N}{b \cdot D}$$

ここで,

N, et, D, b:上記と同じ

(iv) $D/6 \le e_T < D/6 + d_t/3$ のとき

鋼製支持架台底板の一部が圧縮となり、基礎ボルトに引張応力が発生しないが、ここでは、コンクリート支持架台に発生する最大圧縮応力を算出する。図15において自重、鉛直方向地震力、軸直角方向水平地震力によりコンクリート支持架台に発生する最大圧縮応力(σ_{cc})は、次式で表される。

$$\sigma_{cc} = \frac{2 \cdot N}{3 \cdot b \cdot (D/2 - |e_T|)}$$

ここで,

N, et, D, b: 上記と同じ

$(v) D/6+d_{t}/3 \leq e_{T}$ のとき

基礎ボルトに引張応力が発生する。図15において自重、鉛直方向地震力、軸直角方向水平地震力により基礎ボルトに発生する引張応力 (σ_{tHV}) は、鉄筋コンクリート構造計算規準・

同解説(2010年版)より次式で表される。

$$\sigma_{tHY} = \sigma_{cc} \cdot n \cdot \frac{(D - d_t - X_n)}{X_n} \cdot \frac{A_b}{A_m}$$

$$\sigma_{cc} = N \cdot X_n / S_n$$

$$S_n = \left\{ X_{n1}^2 / 2 - n \cdot P_t \cdot (1 - d_{t1} - X_{n1}) \right\} b \cdot D^2$$

$$I_n = \left\{ X_{n1}^3 / 3 + n \cdot P_t \cdot (1 - d_{t1} - X_{n1})^2 \right\} b \cdot D^3$$

$$X_{n1} = X_n / D$$

$$d_{t1} = d_t / D$$

$$P_t = a_t / (b \cdot D)$$

$$a_t = A_b \cdot N_{bt}$$

ここで,

 σ_{cc} :図15に示すコンクリートの最大圧縮応力 (N/mm²)

n : ヤング係数比(

D : 上記と同じ

b :上記と同じ

dt :上記と同じ

d, : 引張側ボルトに関する係数 (-)

X。: 図15に示す中立軸距離を表し、次式を満足する値 (mm)

 $X_n-D/2+|e_T|=In/Sn$ ただし、 $e_T:$ 上記と同じ

X_{n1} : 中立軸比 (-)

N :上記と同じ

a_t : 有効ボルト総断面積 (mm²)

P. : 引張鉄筋比(-)

A_b : 基礎ボルト有効断面積 (mm²)

A_m : 基礎ボルト呼び径断面積 (mm²)

N_{ht}: 有効引張側ボルト本数(本)

 S_n : 有効等価断面一次モーメント (mm^3)

I。: 有効等価断面二次モーメント (mm4)

3.2.2.5.1.1.2. 軸直角方向水平地震力によるせん断応力

軸直角方向水平地震力により基礎ボルトに発生する平均せん断応力 (τ_H), は次式で算

出する。

$$oldsymbol{ au}_{ extit{ extit{HY}}} = rac{F_{ extit{ extit{HY}}}}{A_b \cdot N_{bs}}$$

ここで,

F_{HY}: 図4に示す軸直角方向水平地震力の設計用値(N)

N_{bs}:図15に示す基礎ボルト本数(本)

A_b: 図15に示す基礎ボルト有効断面積(mm²)

3.2.2.5.1.2. 自重(-Z)+鉛直方向地震力(-Z)+軸直角方向水平地震力(-Y)

3.2.2.5.1.2.1. 自重,鉛直方向地震力,軸直角方向水平地震力による引張応力

図16において自重,鉛直方向地震力及び軸直角方向水平地震力により基礎ボルトに引張 応力が発生するかは3.2.2.5.1.1.と同様に求められる。ただし,鉛直力 (N) については以下のとおりとする。

N:図16に示す鉛直力であり、次式により算出した値(N) N=[自重の設計用値]+[鉛直方向地震力の設計用値]

3.2.2.5.1.2.2. 軸直角方向水平地震力によるせん断応力

軸直角方向水平地震力により基礎ボルトに発生する平均せん断応力(τ_{HY}),は次式で算出する。

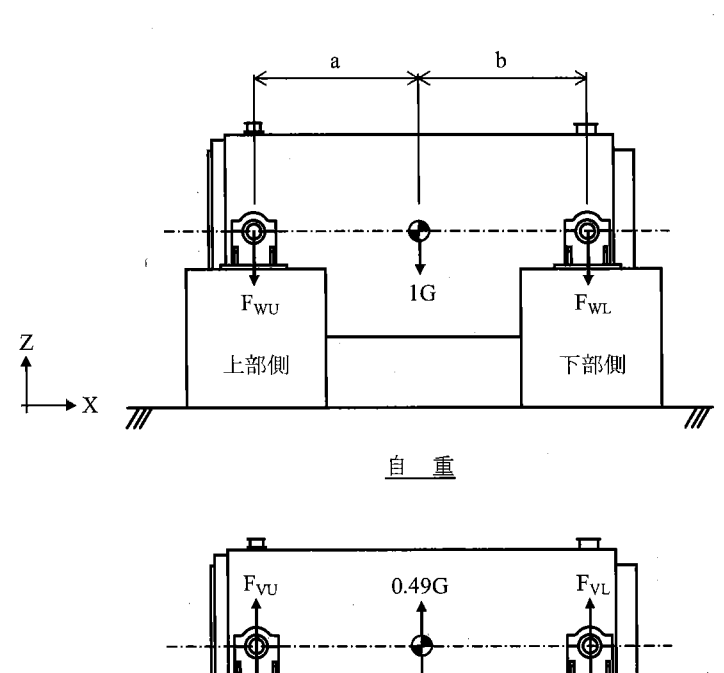
$$au_{HY} = rac{F_{HY}}{A_b \cdot N_{bs}}$$

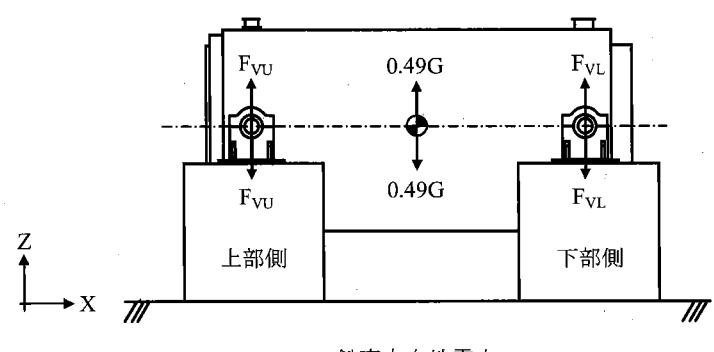
ここで,

F_{HY}: 図4に示す軸直角方向水平地震力の設計用値(N)

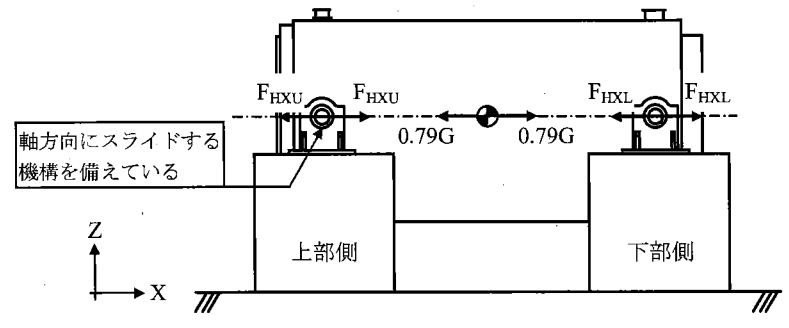
N_{bs}:図16に示す基礎ボルト本数(本)

A_b:図16に示す基礎ボルト有効断面積 (mm²)

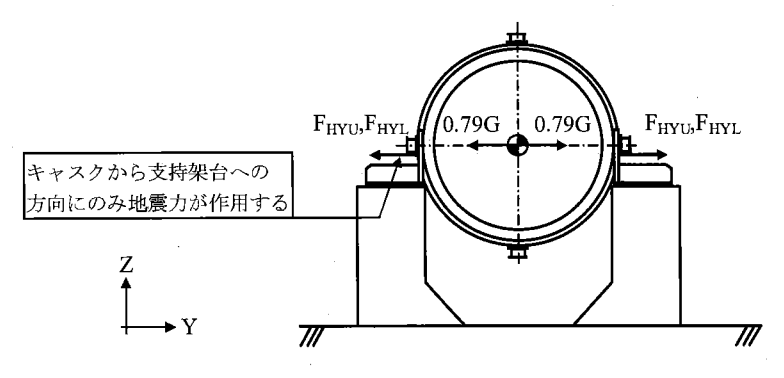








軸方向水平地震力



軸直角方向水平地震力

図4鋼製支持架台に作用する荷重

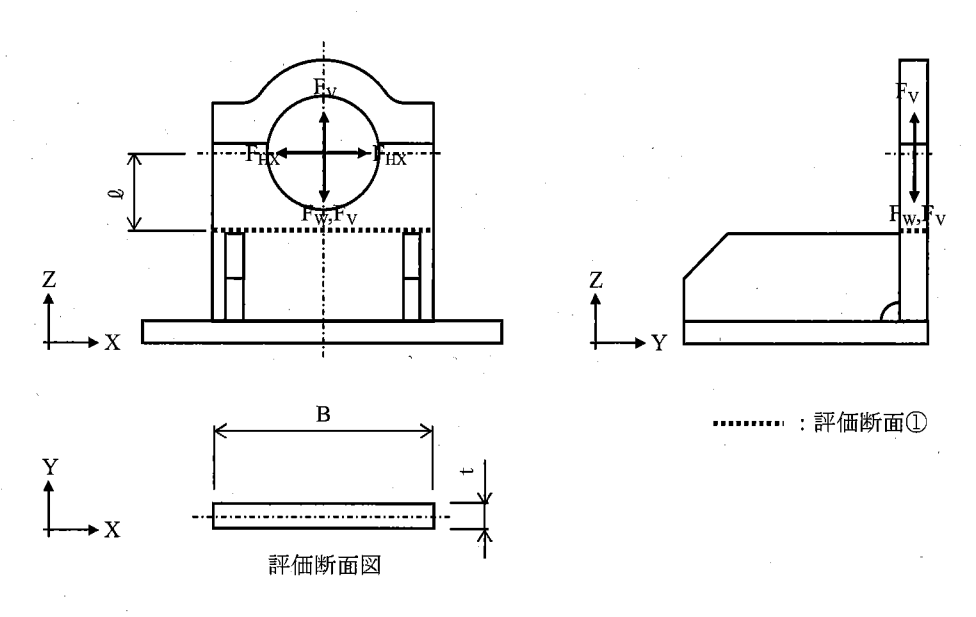


図 5 計算モデル図 (鋼製支持架台,評価断面①) [設計事象 I + S_s,自重+鉛直方向地震力+軸方向水平地震力]

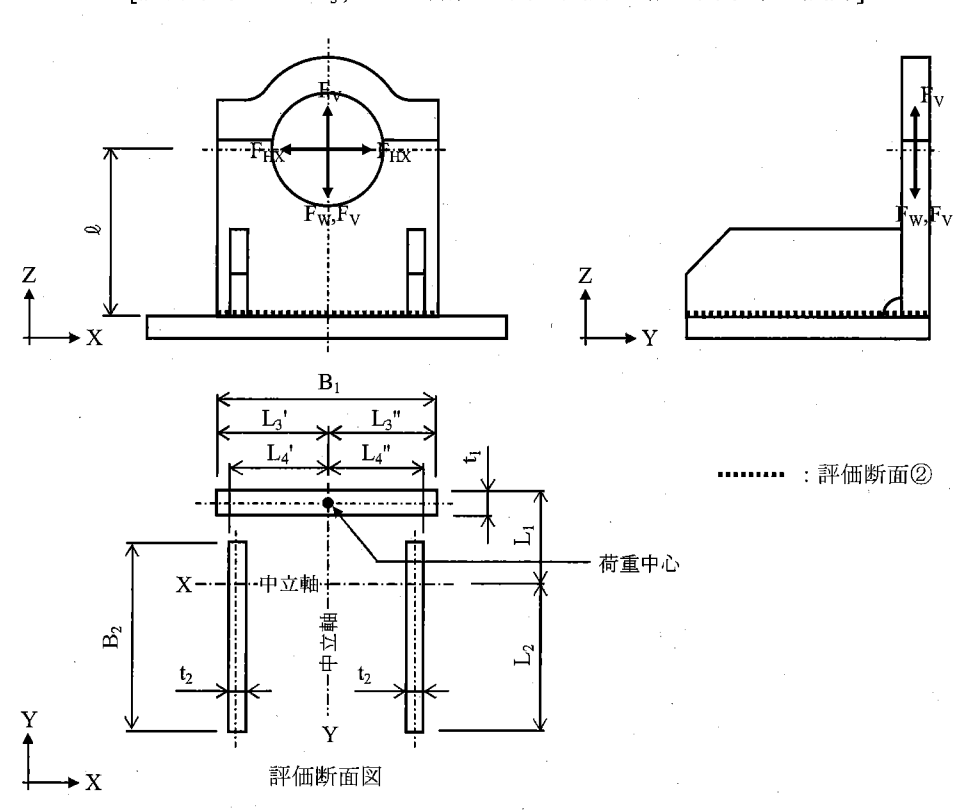


図 6 計算モデル図 (鋼製支持架台,評価断面②) [設計事象 I + S s,自重+鉛直方向地震力+軸方向水平地震力]

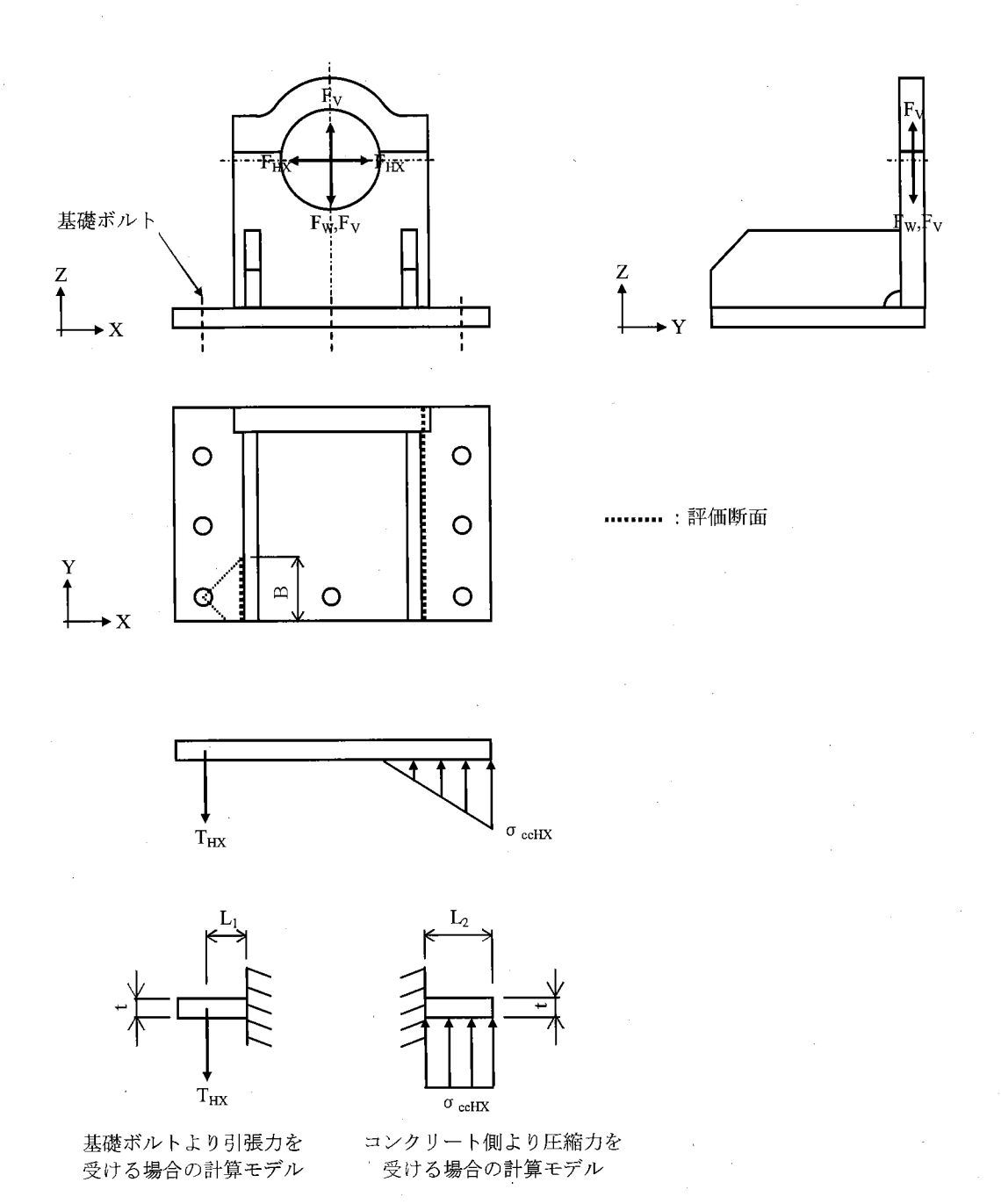
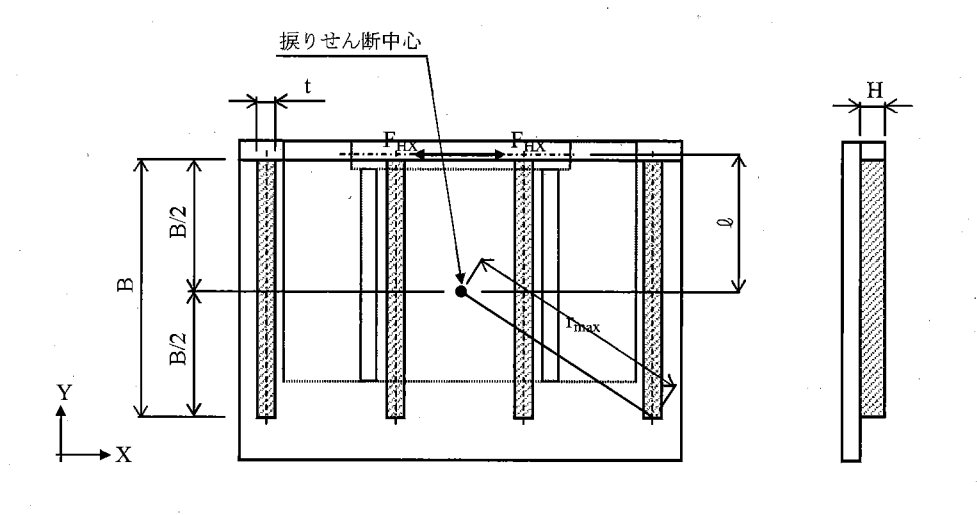


図7計算モデル図 (鋼製支持架台,評価断面③) [設計事象 I + S_s,自重+鉛直方向地震力+軸方向水平地震力]



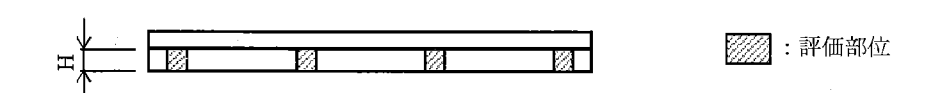
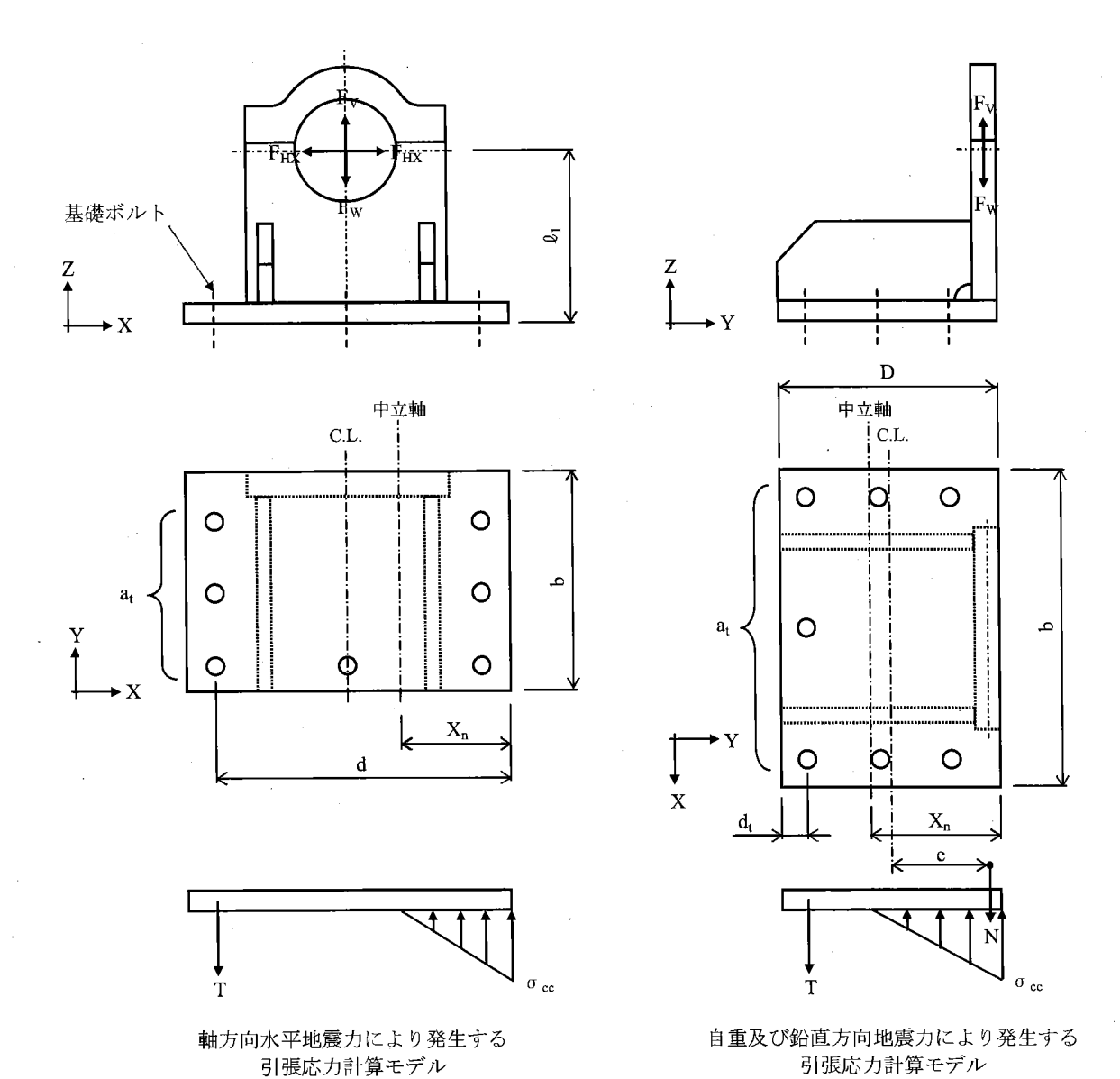
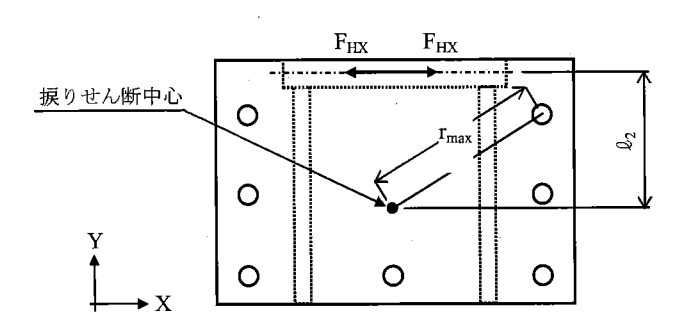


図8計算モデル図(埋め込み金物) [設計事象 $I+S_s$,(自重+鉛直方向地震力+軸方向水平地震力]

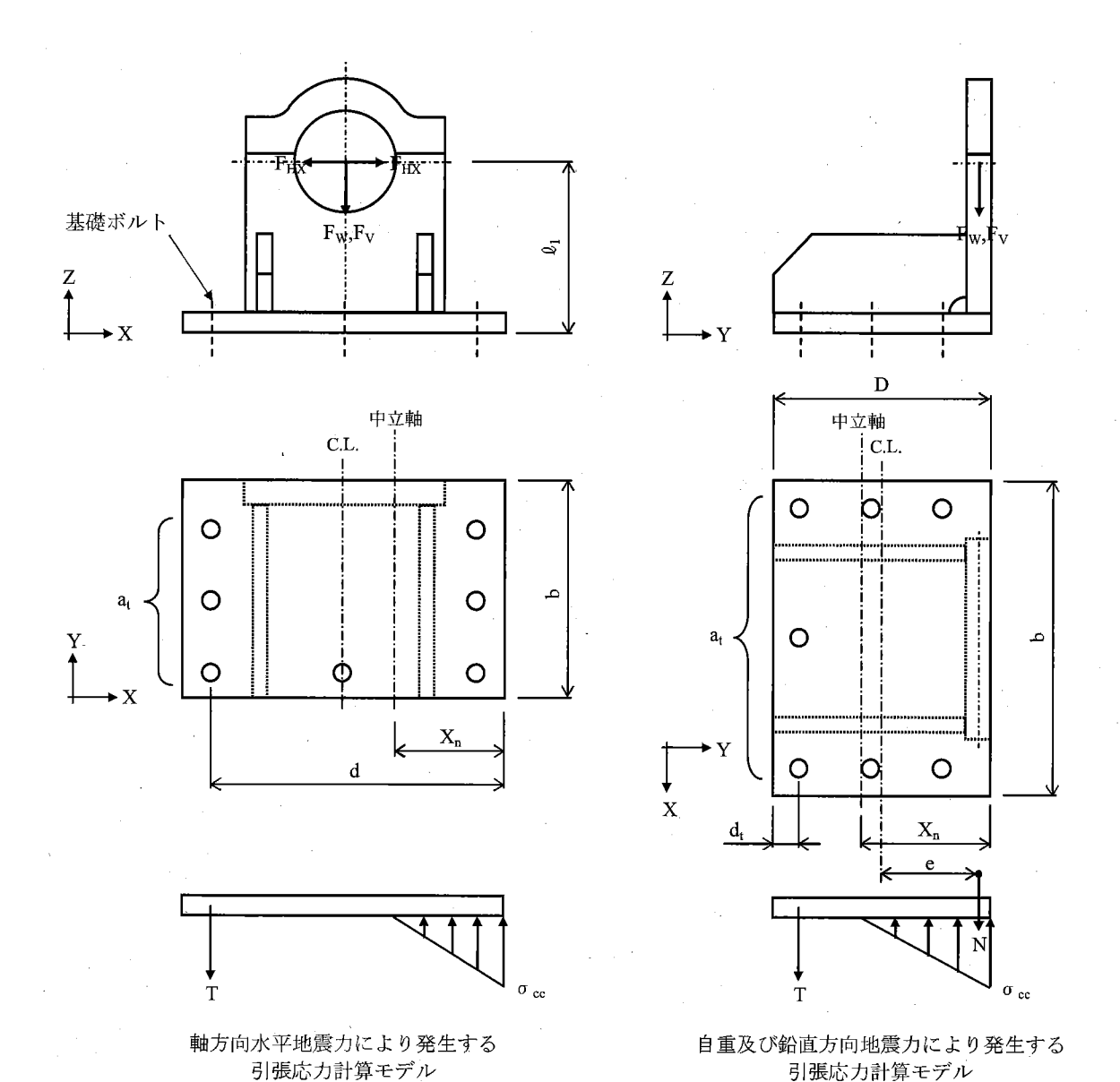


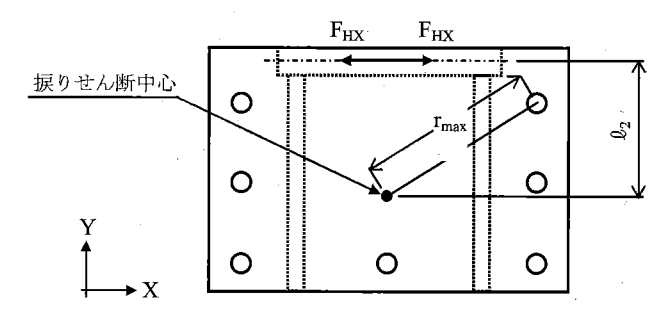


軸方向水平地震力により発生する 捩りせん断応力計算モデル

図9計算モデル図(基礎ボルト)

[設計事象 I + S $_{s}$, 自重(-Z)+鉛直方向地震力(+Z)+軸方向水平地震力 $(\pm X)$]





軸方向水平地震力により発生する 捩りせん断応力計算モデル

図10計算モデル図(基礎ボルト)

[設計事象 $I + S_s$, 自重(-Z)+鉛直方向地震力(-Z)+軸方向水平地震力 $(\pm X)$]

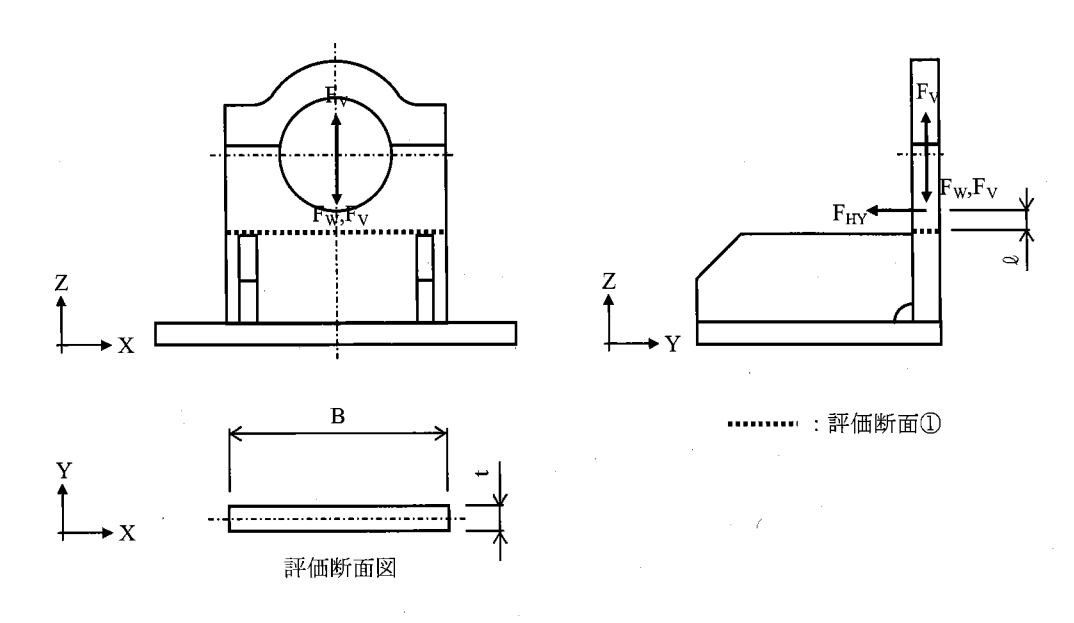


図 11 計算モデル図 (鋼製支持架台,評価断面①) [設計事象 I + S . 自重+鉛直方向地震力+軸直角方向水平地震力]

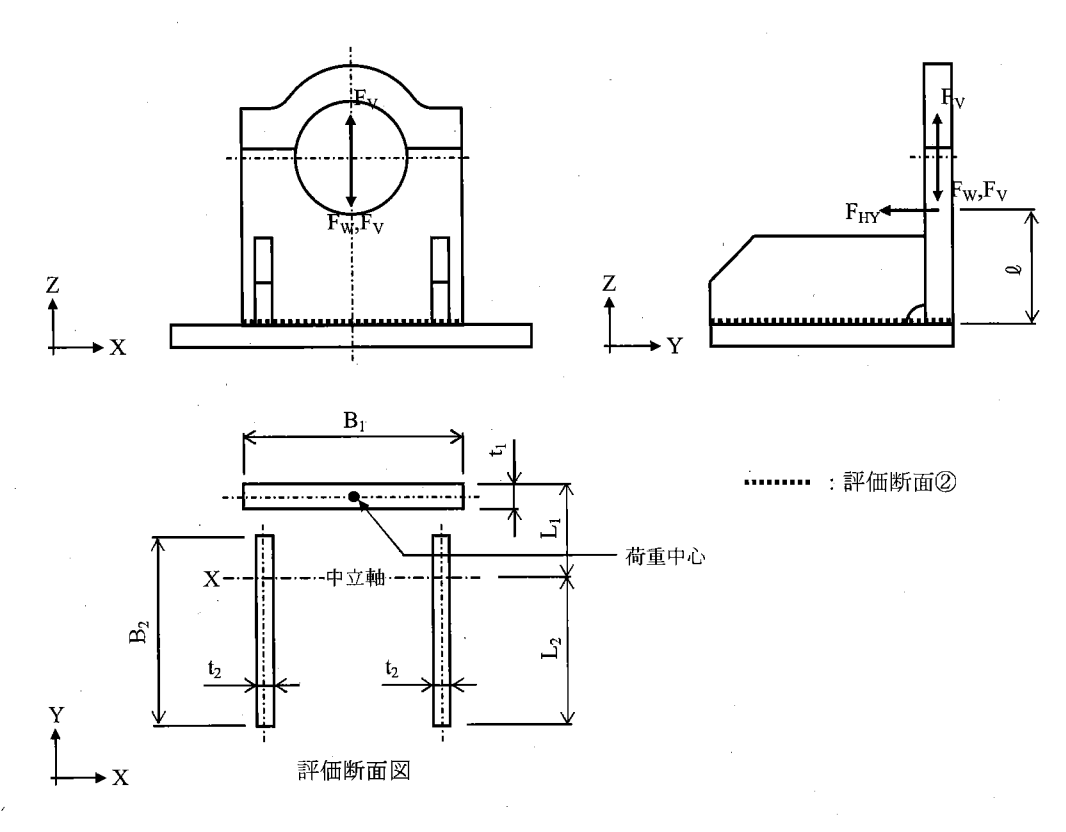


図 12 計算モデル図(鋼製支持架台,評価断面②) [設計事象 I + S s,自重+鉛直方向地震力+軸直角方向水平地震力]

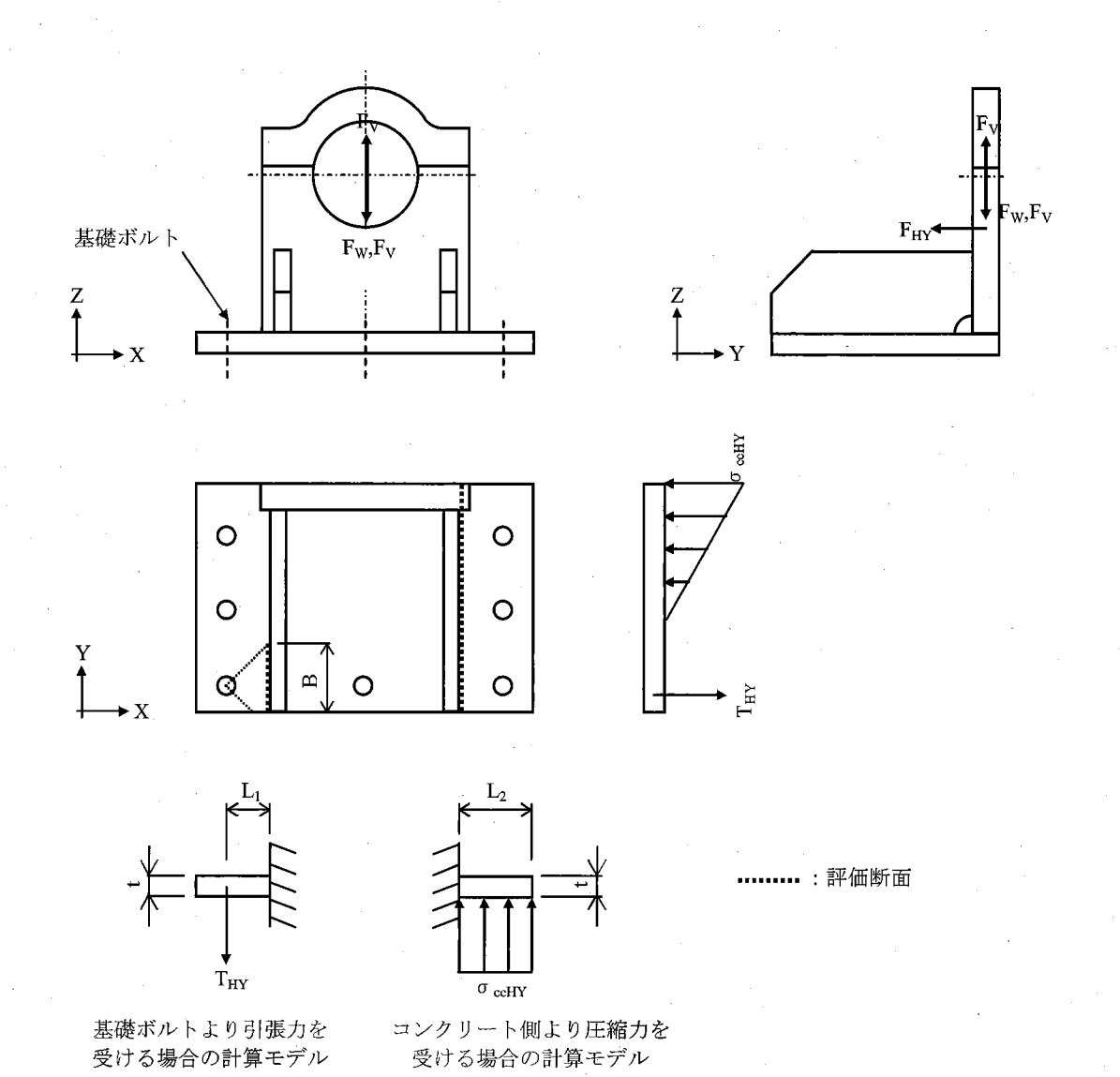


図 13 計算モデル図 (鋼製支持架台,評価断面③) [設計事象 I + S 。,自重+鉛直方向地震力+軸直角方向水平地震力]

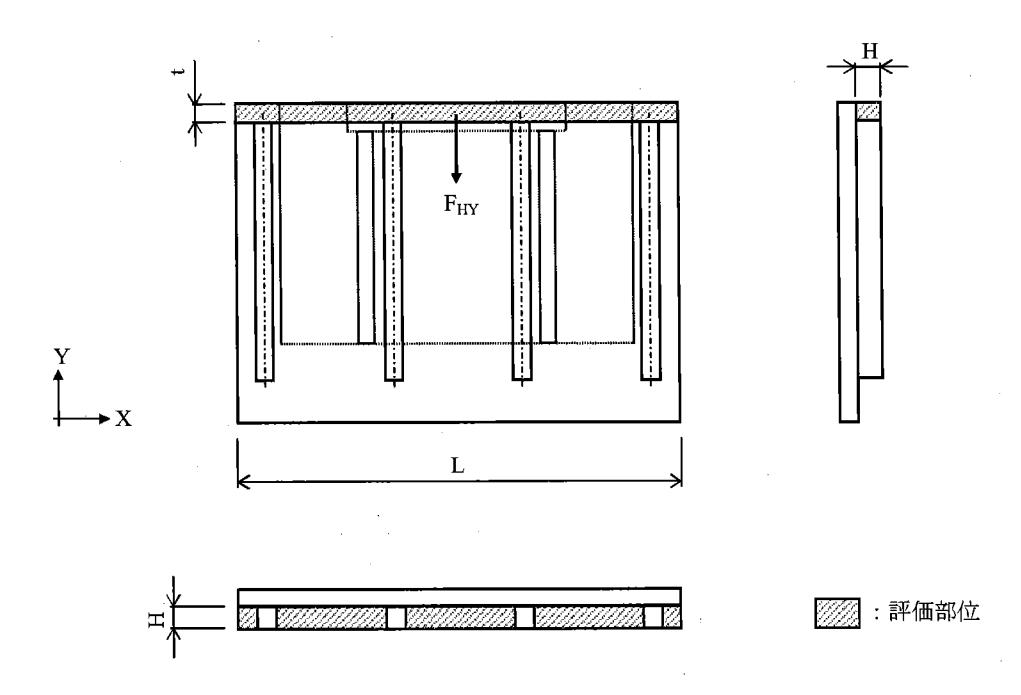
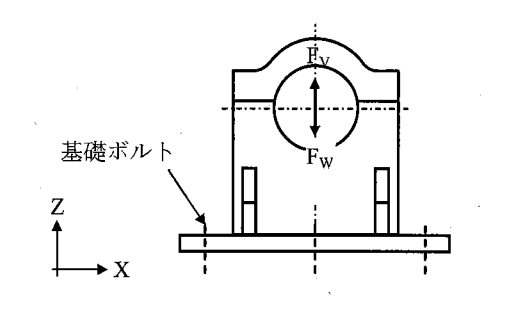
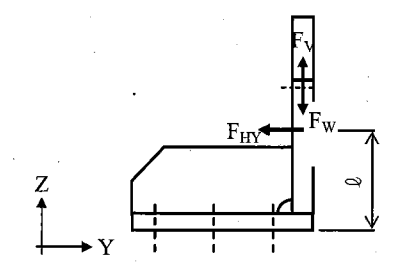
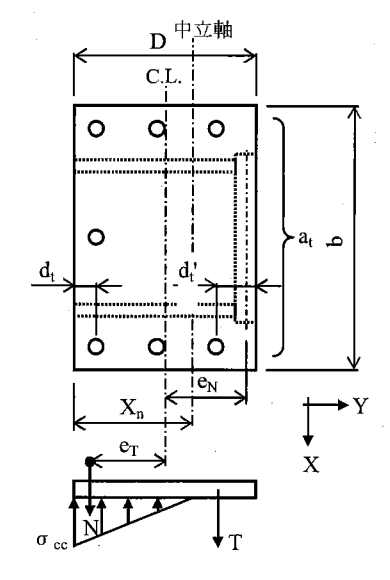
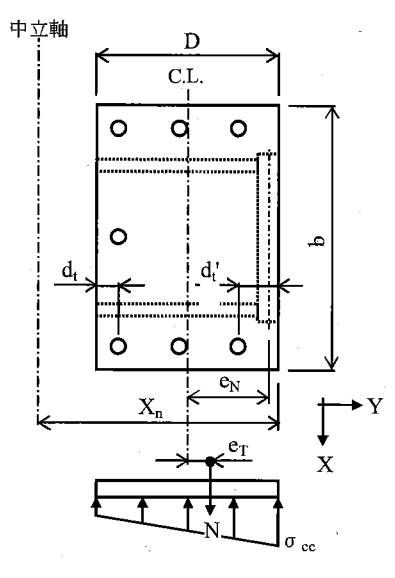


図 14 計算モデル図(埋め込み金物) [設計事象 I+S $_{s}$,自重+鉛直方向地震力+軸直角方向水平地震力]









基礎ボルトの引張応力計算モデル (i)e_T<-(D/6+d://3)

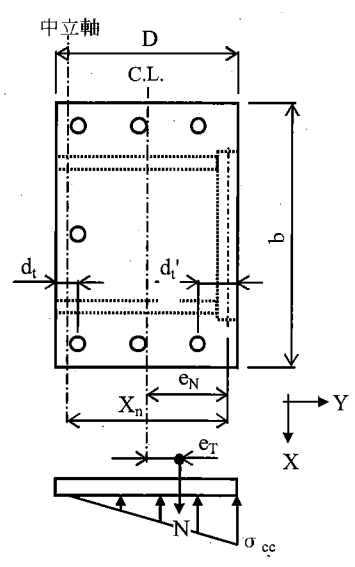
・基礎ボルトに引張応力発生

基礎ボルトの引張応力計算モデル (ii) -(D/6+d//3)≤e_T<-D/6

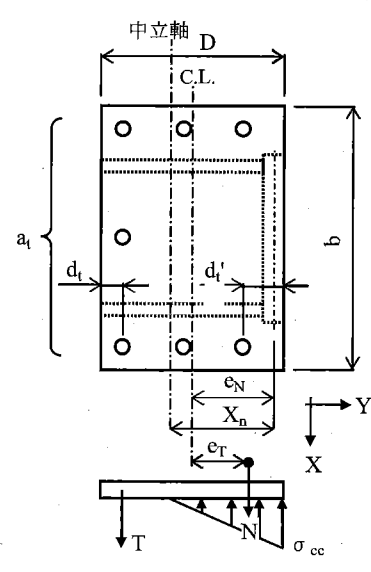
・基礎ボルトに引張応力発生なし

基礎ボルトの引張応力計算モデル (iii) -D/6≦e_T<D/6

・基礎ボルトに引張応力発生なし



基礎ボルトの引張応力計算モデル (iv) D/6≦e_T<D/6+d_t/3 ・基礎ボルトに引張応力発生なし

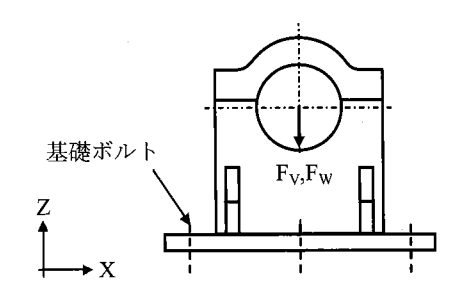


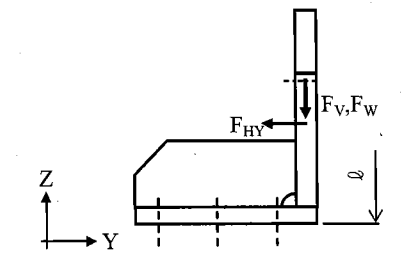
基礎ボルトの引張応力計算モデル (v)D/6+d₁/3≦e_T

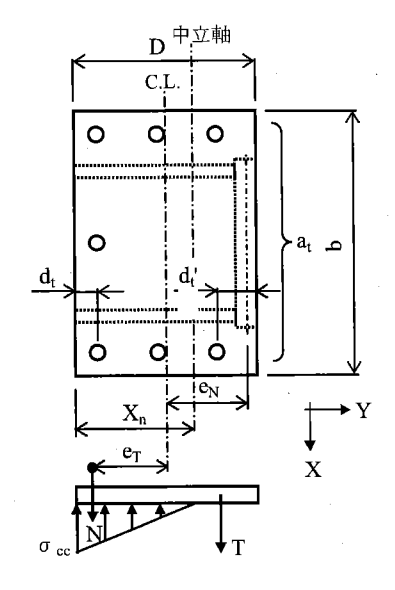
・基礎ボルトに引張応力発生

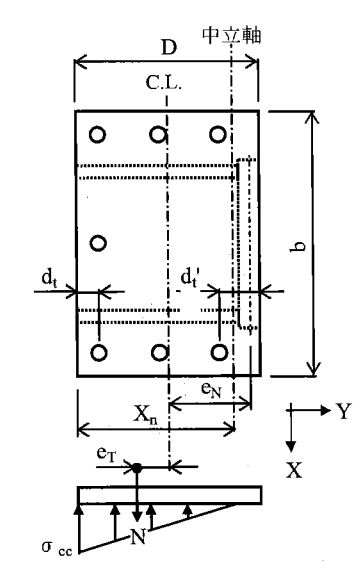
図 15 計算モデル図 (基礎ボルト)

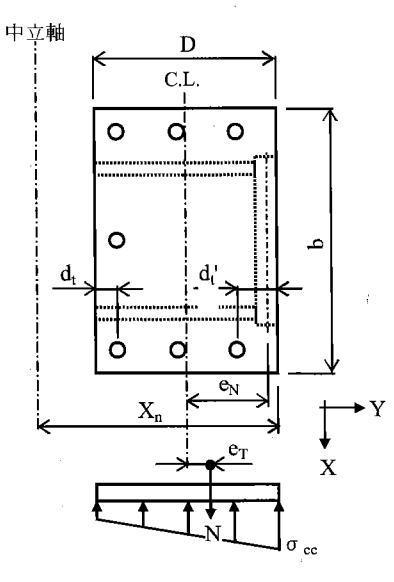
[設計事象 I + S s, 自重(-Z)+鉛直方向地震力(+Z)+軸直角方向水平地震力(-Y)]











基礎ボルトの引張応力計算モデル (i) er<-(D/6+d:/3)

・基礎ボルトに引張応力発生

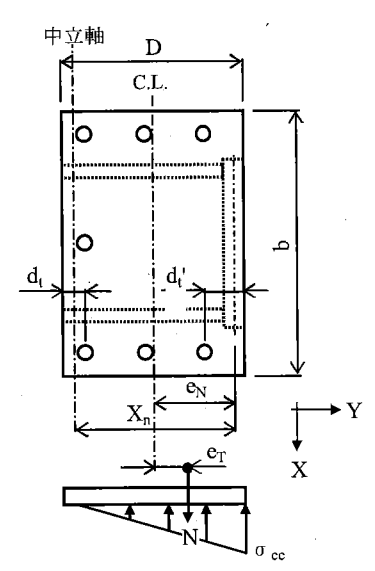
基礎ボルトの引張応力計算モデル (ii) -(D/6+d'/3)≤e_T<-D/6

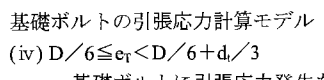
・基礎ボルトに引張応力発生なし

基礎ボルトの引張応力計算モデル

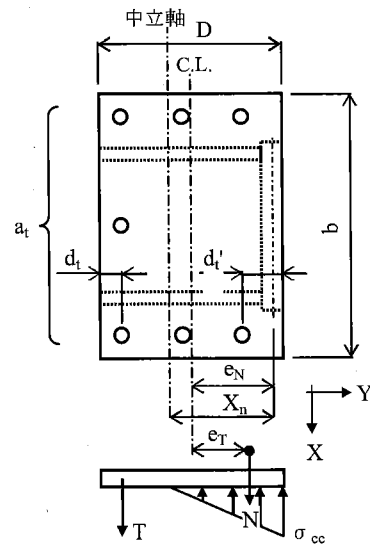
(iii) $-D/6 \le e_T < D/6$

・基礎ボルトに引張応力発生なし





・基礎ボルトに引張応力発生なし



基礎ボルトの引張応力計算モデル (v)D/6+d/3≦e_T

・基礎ボルトに引張応力発生

図16 計算モデル図(基礎ボルト)

[設計事象 I+S s, 自重(-Z)+鉛直方向地震力(-Z)+軸直角方向水平地震力(-Y)]

3.3.評価結果

鋼製支持架台の応力評価(設計事象 I+Ss, 輸送貯蔵兼用キャスクA)

(単位: N/mm²)

						(十匹。	N/mm-)
部位		応力の種類		計算値(注)		許容応力	評価
				ケース1	ケース 2		6千1四
		一次応力	圧縮	15	15	322	OK
			曲げ	, 37	150	326	OK
			せん断	15	16	188	- OK
	評価		組合せ	58	167	326	OK
	断面①	一次 + 二次応力	引張·圧縮	10	10	564	OK
			曲げ	74	150	564	OK
			せん断	30	16	324	OK
			座屈	15	15	279	OK
		一次応力	圧縮	.7	7	325	OK
			曲げ	32	37	326	OK
鋼製 支持架台			せん断	. 7	.7	188	OK
	評価		組合せ	41	45	326	OK
	断面② 一次	-	引張·圧縮	5	5	564	OK
		一次 + 二次応力	曲げ	47	32	564	OK
			せん断	14	7	324	OK
			座屈	7	7	280	OK
	評価		曲げ	276	185	326	OK
		一次応力	せん断	29	20	188	OK
			組合せ	280	188	326	OK
			曲げ	449	337	564	OK
		二次応力	せん断	45	33	324	OK

(注) ケース1: 自重+鉛直方向地震力+軸方向水平地震力

ケース2: 自重+鉛直方向地震力+軸直角方向水平地震力

埋め込み金物,基礎ボルトの応力評価(設計事象 I+Ss,輸送貯蔵兼用キャスク A) (単位: N/mm^2)

4p17 6-4-	応力の種類		計算値(注1)		許容応力(注2)	評価
部位			ケース1	ケース 2		рТ.[Щ
	一次応力	曲げ	58	85	270	OK
		せん断	13	18	155	OK
埋め込み金物		組合せ	62	90	270	OK
·	一次+ 二次応力	曲げ	115	85	450	OK
		せん断	25	18	258	OK
	一次応力	引張	124	126	ケース 1 : 196	OK
 基礎ボルト ^(注3)			144	_	ケース 2 : 333	
基礎小/レト	(人)心/]	火心力 せん断	174	88	261	ОК
			174	88	201	

- (注 1) ケース 1: 自重+鉛直方向地震力+軸方向水平地震力 ケース 2: 自重+鉛直方向地震力+軸直角方向水平地震力
- (注2) 基礎ボルトの許容引張応力は、発生せん断応力を考慮し低減させた値
- (注3) 上段の値は鉛直方向地震力が上向き(+2方向)のときの値を示し、下段の値は鉛直方向地震力が下向き(-2方向)のときの値を示す

鋼製支持架台の応力評価(設計事象 I +Ss, 輸送貯蔵兼用キャスク B)

(単位:N/mm²)

						(4-12-11)	
部	位	応力の種類		計算値(注)		新索内士	च्या देवत
- НН	1 <u>11</u>	//L/23 9	/ 2 1 里 天貝	ケース 1	ケース 2	許容応力	評価
	評価 断面①	一次応力	圧縮	15	15	322	OK
			曲げ	37	151	326	OK
			せん断	15	16	188	OK
			組合せ	58	168	326	OK
		一次十二二次応力	引張·圧縮	10	10	564	OK
•			曲げ	74	151	564	OK
			せん断	30	16	324	OK
			座屈	15	15	279	OK
	評価 断面②	一次応力	圧縮	7	7	325	OK
鋼製			曲げ	27	28	326	OK
支持架台		DC//L1/3	せん断	7	7	188	OK
∠14 ∦⊓			組合せ	35	36	326	OK
		一次 + 二次応力	引張·圧縮	5	5	564	OK
			曲げ	37	24	564	OK
			せん断	13	7	324	OK
			座屈	7	7	280	OK
	評価 断面③	一次応力	曲げ	201	111	326	OK
			せん断	23	13	188	ОК
			組合せ	205	114	326	OK
		一次+ 二次応力	曲げ	347	201	564	OK
			せん断	38	22	324	OK

(注) ケース1: 自重+鉛直方向地震力+軸方向水平地震力

ケース2: 自重+鉛直方向地震力+軸直角方向水平地震力

埋め込み金物,基礎ボルトの応力評価(設計事象 I+Ss,輸送貯蔵兼用キャスクB)

(単位: N/mm²)

☆ 17 /	応力の種類		計算値(注1)		許容応力(注2)	評価
部位			ケース 1	ケース 2		β 十 ↑ Ш
埋め込み金物	一次応力	曲げ	66	85	270	OK
		せん断	14	19	155	OK
		組合せ	70	91	270	OK
	一次+	曲げ	131	85	450	~. OK
		せん断	28	.19	258	OK
) 一次応力	引張	109	79	ケース 1 : 165	OK
- 基礎ボルト ^(注3)			129	_	ケース 2 : 332	
	1 がかいフリ	せん断	193	89	261	ОК
			193	89	201	, OK

(注1) ケース1: 自重+鉛直方向地震力+軸方向水平地震力

ケース2:自重+鉛直方向地震力+軸直角方向水平地震力

- (注2) 基礎ボルトの許容引張応力は、発生せん断応力を考慮し低減させた値
- (注3) 上段の値は鉛直方向地震力が上向き(+Z方向)のときの値を示し、下段の値は鉛直方向地震力が下向き(-Z方向)のときの値を示す

4. クレーン

4.1. 設計震度

設計震度を以下のように定める。

 C_{H} =0.15

 $C_{H1}=2.43$

 $C_{H2}=0.15$

 $C_{v_1}=1.6$

 $C_{v2}=1.38$

C_n:最大静止摩擦係数より求めた水平方向設計震度(EW方向)

C_H: 水平方向設計震度(NS方向)

Ct2:最大静止摩擦係数より求めた水平方向設計震度 (NS 方向)

C_{v1}: ガータ中央にトロリがある場合の固有周期より求まる鉛直方向設計震度

Cv2: ガータ端部にトロリがある場合の固有周期より求まる鉛直方向設計震度

4.2. 応力評価

4.2.1.クレーン本体ガータ

4.2.1.1.曲げ応力

ガータに対する最大曲げ応力は図17の場合である。

$$M_{1} = \frac{m_{g} \cdot g \cdot l}{8}$$

$$M_{2} = \frac{m_{t} \cdot g \cdot l_{1}}{4}$$

$$M_{3} = \frac{m_{m} \cdot g \cdot l_{1}}{4}$$

$$M_{V} = M_{1} + M_{2} + M_{3}$$

$$\sigma_{Vt} = \frac{M_{V}}{Z_{Xt}} \cdot (1 + C_{V1})$$

$$M_{4} = M_{1} \cdot C_{H}$$

$$M_{5} = M_{2} \cdot C_{H}$$

$$M_{H} = M_{4} + M_{5}$$

$$\sigma_{H} = \frac{M_{H}}{Z_{V1}}$$

$$\sigma_{t} = \sigma_{Vt} + \sigma_{H}$$

g: 重力加速度(=9.80665m/s²)

1: 走行レール間距離 (=19000mm)

1:トロリがクレーン中央部にある場合の走行レールとトロリ車輪との距離(mm)

m_g: ガーダ1本当たりの質量(kg)

mm: 主巻定格荷重(=150000kg)

m₊:トロリ質量(kg)

M:ガーダ質量によるガーダ中央部の垂直曲げモーメント(N·mm)

Mo: トロリ質量によるガーダ中央部の垂直曲げモーメント(N·mm)

Ma: 主巻定格荷重(質量)によるガータ中央部の垂直曲げモーメント(N·mm)

M₄: 水平地震力によるガータ質量に対するガーダ中央部の水平曲げモーメント (N·mm)

M₅: 水平地震力によるトロリ質量に対するガーダ中央部の水平曲げモーメント (N·mm)

Ma: ガーダ中央部の合計水平曲げモーメント(N·mm)

M_v:ガーダ中央部の合計垂直曲げモーメント(N·mm)

 $Z_{xt}:$ ガーダ中央部のX軸に関する断面係数(下フランジ側)(

Z_{y1}: ガーダ中央部のY軸に関する断面係数 (横行レール側) (mm

σ_н: M_нによるガーダ中央部の曲げ(引張)応力(N/mm²)

σ_t: ガーダ中央部の曲げ(引張) 応力(N/mm²)

σ_{wt}: M_wによるガーダ中央部の曲げ(引張) 応力(N/mm²)

4.2.1.2. せん断応力

ガーダに対する最大せん断応力は図18の場合である。

$$Q_1 = \frac{m_g \cdot g}{2} \cdot (1 + C_{V2})$$

$$Q_2 = \frac{m_i \cdot g}{2} \cdot \frac{(\frac{l_2}{2} + l_4)}{l} (1 + C_{V_2})$$

$$Q_3 = \frac{m_m \cdot g}{2} \cdot \frac{(\frac{l_2}{2} + l_4)}{l} \cdot (1 + C_{V2})$$

$$Q = Q_1 + Q_2 + Q_3$$

$$\tau = \frac{Q}{A_{V}}$$

A_v:ガーダ端部のウェブの断面積(mm²

g:重力加速度(=9.80665m/s²)

1:走行レール間距離(=19000mm)

12: トロリ車輪間距離(mm)

14:トロリが走行給電側クレーン端部にある場合の走行レールとトロリ車輪との距離

m_a: ガーダ 1 本当たりの質量(kg)

m_m: 主巻定格荷重(=150000kg)

m_t:トロリ質量(**kg**)

 $Q_1:$ ガーダ質量によるガーダ端部のせん断力(N)

 Q_2 : トロリ質量によるガーダ端部のせん断力(N)

Q₃:主巻定格荷重(質量)によるガーダ端部のせん断力(N)

Q:ガーダ端部の合計せん断力(N)

τ:ガーダ端部のせん断応力(N/mm²)

4.2.1.3.組合せ応力

$$Q_4 = (\frac{m_t \cdot g}{4} + \frac{m_m \cdot g}{4}) \cdot (1 + C_{V1})$$

$$\tau_3 = \frac{Q_4}{A_{\nu_1}}$$

$$\sigma_T = \sqrt{\sigma_t^2 + 3\tau_3^2}$$

A_{V1}: ガータ中央部の断面積(mm²

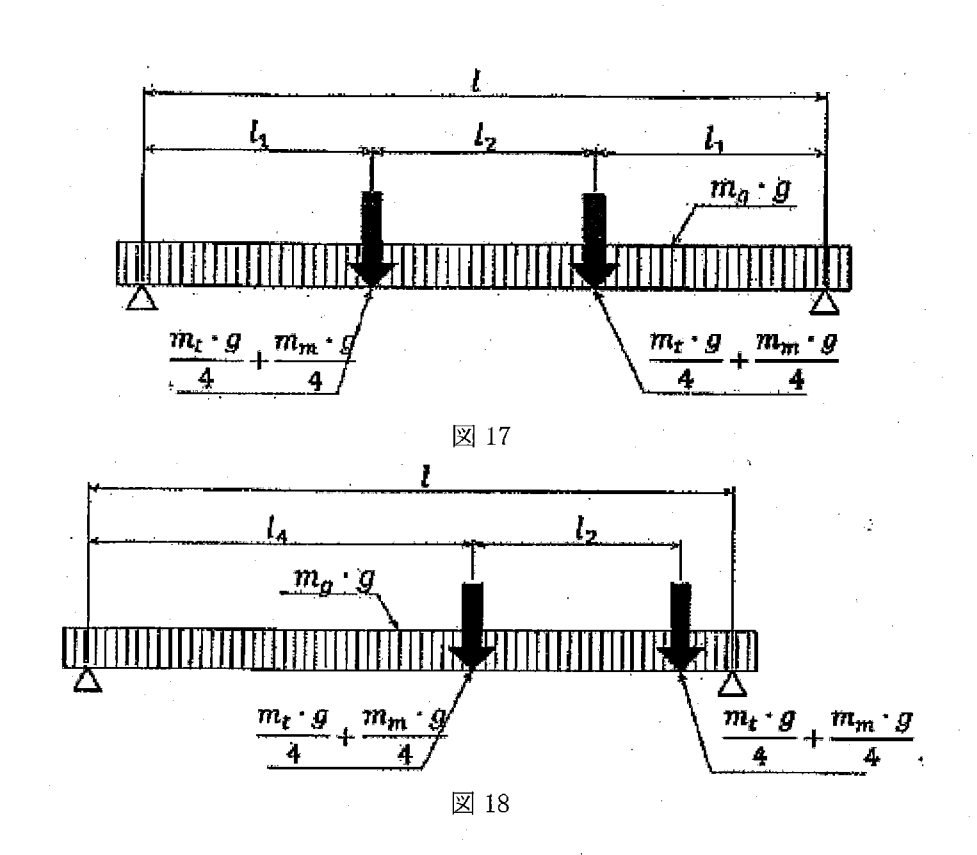
m_n: 主巻定格荷重(=150000kg) m_t: トロリ質量(**k**g)

Q4:主巻定格荷重(質量)及びトロリ質量によるガータ中央部(横行車輪位置)のせん断力(N)

τ₃: ガータ中央部(横行車輪位置)のせん断応力(N/mm²)

 σ_T : ガータ中央部の組合せ応力(N/mm²)

σ_t: ガータ中央部の曲げ(引張)応力(N/mm²)



$$k_1 = \frac{I_{x14} \cdot l_{24}}{I_{x11} \cdot l_{22}}$$

$$m_1 = 3 + 2 \times k$$

$$M_{B11} = \left| -\frac{P_{k11} \cdot l_{22}}{4 \cdot m_1} \right|$$

$$P_{k11} = \frac{m_{g} \cdot g + m_{g2} \cdot g}{2} + m_{g3} \cdot g$$

$$V_{a11} = \frac{P_{k11}}{2}$$

$$M_{B11a} = M_{B11} \cdot \frac{l_{26}}{l_{23}}$$

$$M_{B12} = |V_{a12} \cdot l_{25} - H_{a12} \cdot l_{23}|$$

$$P_{k12} = \frac{m_t \cdot g}{2} \cdot \frac{l_4 + \frac{l_2}{2}}{l}$$

$$H_{a12} = \frac{P_{k12} \cdot l_{25}}{l_{23}} + P_{k12} \cdot l_{9} \cdot (l_{8} + l_{9}) \cdot \frac{3}{l_{22} \cdot l_{23} \cdot m_{1}}$$

$$V_{a12} = P_{k12}$$

$$M_{B12a} = M_{B12} \cdot \frac{l_{26}}{l_{23}}$$

$$M_{B13} = |V_{a13} \cdot l_{25} - H_{a13} \cdot l_{23}|$$

$$P_{k13} = \frac{m_m \cdot g}{2} \cdot \frac{l_4 + \frac{l_2}{2}}{l}$$

$$H_{a13} = \frac{P_{k13} \cdot l_{25}}{l_{23}} + P_{k13} \cdot l_{9} \cdot (l_{8} + l_{9}) \cdot \frac{3}{l_{22} \cdot l_{23} \cdot m_{1}}$$

$$V_{a13} = P_{k13}$$

$$M_{B13a} = M_{B13} \cdot \frac{l_{26}}{l_{23}}$$

$$M_{v_1} = (M_{B11} + M_{B12} + M_{B13}) \times (1 + C_{v_1})$$

$$M_{V1a} = (M_{B11a} + M_{B12a} + M_{B13a}) \times (1 + C_{V1})$$

$$M_{B14} = \left| \frac{V_{a14} \cdot l_{22}}{2} \right|$$

$$P_{k14} = (P_{k11} + 2 \times P_{k12} + m_{l1} \cdot g) \times C_H$$

$$\begin{split} V_{a14} &= \frac{P_{k14} \cdot l_{23}}{l_{21}} \\ M_{B14a} &= M_{B14} \cdot \frac{l_{26}}{l_{23}} \\ \sigma_{vt1} &= \frac{M_{V1} + M_{B14}}{Z_{x11}} \\ \sigma_{Vt1a} &= \frac{M_{V1a} + M_{B14a}}{Z_{x13}} \\ M_{B15} &= \frac{P_{k15} \cdot l_{23}}{2} \\ P_{k15} &= \frac{m_g \cdot g + m_{g2} \cdot g + m_{g3} \cdot g + m_{g4} \cdot g + m_{l1} \cdot g}{2} \times C_{H1} + P_{k12} \times C_{H2} \\ V_{a15} &= \frac{P_{k15} \cdot l_{23}}{l} \\ M_{B15a} &= M_{B15} \cdot \frac{l_{26}}{l_{23}} \\ \sigma_{H1} &= \frac{M_{B15}}{Z_{y11}} \\ \sigma_{H1a} &= \frac{M_{B15a}}{Z_{y13}} \\ \sigma_{H11} &= \sigma_{V1} + \sigma_{H11} \\ \sigma_{t11a} &= \sigma_{Vt1a} + \sigma_{Ht1a} \end{split}$$

ここで

g:重力加速度(=9.80665m/s²)

H_{a12}:トロリ質量による剛脚下部の水平方向反力(N)

Ha13: 主巻定格荷重(質量)による剛脚下部の水平方向反力(N)

Ix11: 剛脚上部の X軸に関する断面二次モーメント(

 $I_{x_{14}}$: 剛脚側ガータつなぎの X 軸に関する断面二次モーメント

k1: 剛脚の剛比(-)

1: 走行レール間距離 (=19000mm)

12:トロリ車輪間距離(

14:トロリが走行給電側クレーン端部にある場合の走行レールとトロリ車輪との距離

18: トロリスパン(

1₉: 剛脚上側軸芯〜横行レール中心までの距離(**mm**) 1₂₁: 剛脚軸芯間距離 (下側) (**mm**)

122: 剛脚軸芯間距離(上側)(mm)

1₂₃: 剛脚高さ(____mm) 1₂₄: 剛脚長さ(___mm)

1₂₅: 剛脚上下軸芯の差(____mm)

1₂₆: 剛脚最小断面までの高さ(**mm**)

m₁: 剛脚の不静定時数(-)

m_g: ガーダ1本当たりの質量(kg)

m_{g2}: 反横行給電側ガータの質量(kg)

mg3: 走行給電側剛ガータつなぎ質量(kg)

m_{s4}: 反走行給電側ガータつなぎ質量(kg)

m₁₁:走行給電側剛脚の質量(____kg)

m₁₂: 反走行給電側剛脚の質量(kg)

mm: 主巻定格荷重 (質量) (=150000kg)

m_t:トロリ質量(ワイヤ,フック含む)(kg)

M_{RII}: ガータ質量による剛脚の最大曲げモーメント(N·mm)

Mana: ガータ質量による剛脚最小断面位置(下部)での曲げモーメント(N·mm)

M_{R12}:トロリ質量による剛脚の最大曲げモーメント(N·mm)

 M_{Bl2a} : トロリ質量による剛脚最小断面位置(下部)での曲げモーメント(N・mm)

M_{RI3}: 主巻定格荷重(質量)による剛脚の最大曲げモーメント(N·mm)

M_{B13a}: 主巻定格荷重(質量)による剛脚最小断面位置(下部)での曲げモーメント(N·mm)

M_{B14}: 走行方向水平地震力による剛脚の曲げモーメント(N·mm)

M_{B14a}: 走行方向水平地震力による剛脚最小断面位置(下部)での曲げモーメント(N·mm)

M_{B15}: 横行方向水平地震力による剛脚の曲げモーメント(N·mm)

M_{N15a}: 横行方向水平地震力による剛脚最小断面位置(下部)での曲げモーメント(N·mm)

 M_{V1} : 剛脚の垂直荷重による合計曲げモーメント $(N \cdot mm)$

M_{VIa}:垂直荷重による剛脚最小断面位置(下部)での合計曲げモーメント(N·mm)

Pku: ガーダ質量による剛脚に加わる荷重(N)

P₁₁₀:トロリ質量による剛脚に加わる荷重(N)

Pk13: 主巻定格荷重(質量)による剛脚に加わる荷重(N)

 P_{k14} : 走行方向水平地震力(N)

Pkt5: 剛脚1本に作用する横行方向水平地震力(N)

Vall: ガーダ質量による剛脚下部の鉛直方向反力(N)

V_{a12}:トロリ質量による剛脚下部の鉛直方向反力(N)

V_{a13}: 主巻定格荷重(質量)による剛脚下部の鉛直方向反力(N)

V_{a14}: 走行方向水平地震力による剛脚下部の鉛直方向反力(N)

V_{a15}: 横行方向水平地震力による剛脚下部の鉛直方向反力(N)

Zx11:剛脚上部の X 軸に関する断面係数(

Zx13:剛脚下部の X 軸に関する断面係数(

Z₁₁₁:剛脚上部の Y 軸に関する断面係数(mm^3)

Z_{v13}:剛脚下部の Y 軸に関する断面係数(

σ_{Vt1}: 剛脚の走行方向曲げ応力(N/mm²)

σ_{H1}:剛脚の横行方向曲げ応力(N/mm²)

σ_{t11}: 剛脚の曲げ応力(N/mm²)

σ_{Vtla}: 剛脚最小断面位置(下部)での走行方向曲げ応力(N/mm²)

σ_{Htla}: 剛脚最小断面位置(下部)での横行方向曲げ応力(N/mm²)

σ_{t11a}: 剛脚最小断面位置(下部)での曲げ応力(N/mm²)

4.2.2.2. 圧縮応力

$$P_{k16} = (V_{a11} + V_{a12} + V_{a13}) \times (1 + C_{V1}) + V_{a14} + V_{a15}$$

$$\sigma_{111} = \frac{P_{k16}}{P_{k16}}$$

 $\sigma_{c11} = \frac{P_{k16}}{A_{13}}$

A₁₃:剛脚下部の断面積(

Pk16: 剛脚軸方向の圧縮力(N)

V₃₁₁: ガーダ質量による剛脚下部の鉛直方向反力(N)

V_{a12}:トロリ質量による剛脚下部の鉛直方向反力(N)

Vals: 主巻定格荷重(質量)による剛脚下部の鉛直方向反力(N)

V_{a14}: 走行方向水平地震力による剛脚下部の鉛直方向反力(N)

V_{a15}: 横行方向水平地震力による剛脚下部の鉛直方向反力(N)

σ_{c11}: 剛脚の圧縮応力 (N/mm²)

4.3.評価結果

クレーン各部応力の評価結果

	応力の種類	算出応力 (N/mm²)	許容応力 (N/mm²)	評価結果
	曲げ	146	343	O. K.
本体ガーダ	せん断	51	198	O. K.
	組合せ	148	343	O. K.
剛脚 (上部)	曲げ	115	280	O. K.
門/// (上司)	圧縮	76	246	O. K.
剛脚(下部)	曲げ	174	280	O. K.
	圧縮	76	246	O. K.

放射性液体廃棄物処理施設及び関連施設に係る補足説明

A second of the second property of the confidence of the second property of the second p

The Analysis of the Control of the Analysis of

I 放射性液体廃棄物処理施設及び関連施設の構造強度及び耐震性について

放射性液体廃棄物処理設備等を構成する設備の構造強度及び耐震性等の評価結果のうち、 設備の代表性を考慮し許容値に対する裕度が小さい設備に対して、計算手順を示し、評価 の妥当性を示す。

強度評価は必要肉厚に対する裕度が小さい処理カラム、耐震性評価は安定モーメントに対する裕度が小さい処理済水移送ポンプ、バッチ処理タンクスキッド、HIC、処理カラム交換用クレーン及び一次一般膜応力に対する裕度が小さい処理カラムを代表設備とし、評価手順を以下に示す。

1.1 基本方針

1.1.1 構造強度評価の基本方針

多核種除去設備等を構成する機器は、「発電用原子力設備に関する技術基準を定める省令」において、廃棄物処理設備に相当するクラス3機器と位置付けられる。この適用規格は、「JSME S NC-1 発電用原子力設備規格 設計・建設規格」(以下、「設計・建設規格」という。)で規定される。ただし、福島第一原子力発電所構内の作業環境、機器等の設置環境等が通常時と大幅に異なっているため、設計・建設規格の要求を全て満足して設計・製作・検査を行うことは困難である。

従って、可能な限り設計・建設規格のクラス3機器相当の設計・製作・検査を行うものの、JIS等の規格に適合した一般産業品の機器等や、設計・建設規格に定める材料と同等の信頼性を有する材料・施工方法等を採用する。

1.1.2 耐震性評価の基本方針

多核種除去設備等を構成する機器のうち放射性物質を内包するものは、「発電用原子炉施設に関する耐震設計審査指針」のBクラス相当の設備と位置づけられ、耐震性を評価するにあたっては、「JEAC4601 原子力発電所耐震設計技術規程」(以下、「耐震設計技術規程」という。)等に準用する。

また、参考評価として、基準地震動Ss相当の水平震度に対して健全性が維持されることを確認する。

1.2 評価結果

1.2.1 ポンプ類(処理済水移送ポンプ)

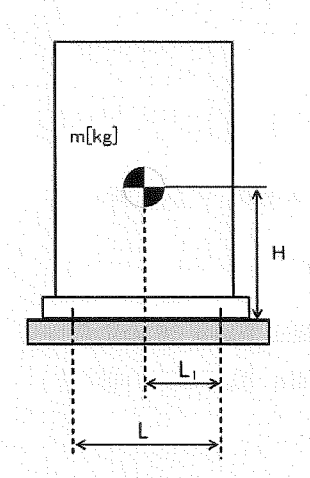
(1) 構造強度評価

ポンプは一般産業品とするため、設計・建設規格の要求には必ずしも適合しない。しか しながら、以下により高い信頼性を確保した。

- ・公的規格に適合したポンプを選定する。
- ・耐腐食性(塩分対策)を有したポンプを選定する。
- ・試運転により、有意な変形や漏えい、運転状態に異常がないことを確認する。

(2) 耐震性評価

a. 基礎ボルトの強度評価耐震設計技術規程の強度評価方法に準拠して評価を実施した。評 価の結果,基礎ボルトの強度が確保されることを確認した(表1)。



L:基礎ボルト間の水平方向距離

m : 機器重量

g : 重力加速度(9.80665m/s²)

H: 据付面からの重心までの距離(

L: 重心と基礎ボルト間の水平方向距離(

nf: 引張力の作用する基礎ボルトの評価本数(2本)

n : 基礎ボルトの本数(4 本)

Ab: 基礎ボルトの軸断面積(

CH: 水平方向設計震度

耐震 B クラス相当: 0.36

耐震Sクラス相当:0.80

Cv: 鉛直方向設計震度

耐震 Bクラス相当:0

耐震Sクラス相当:0

基礎ボルトに作用する引張力: $F_b = \frac{1}{L} (m \times g \times C_H \times H - m \times g \times (1 - C_V) \times L_1)$

 C_{H} = 0.36 の場合 F_{b} =-625N < 0 よって、引張力は発生しない。

C_H= 0.80 の場合 F_b=1218N

基礎ボルトの引張応力: $\sigma_b = \frac{F_b}{n_f \times A_b}$

 C_{H} = 0.36 の場合 σ_{h} =-1MPa < 0 よって、引張応力は発生しない。

C_H= 0.80 の場合 σ_b =3MPa

基礎ボルトのせん断応力: $\tau_b = \frac{m \times g \times C_H}{n \times A_L}$

C_H= 0.36 の場合 $\tau_b = 2MPa$

CH= 0.80 の場合 τ_b =5MPa また、許容応力は、以下の式で設定した。

基礎ボルトの許容引張応力 : $f = min(f_{to}, f_{ts})$

基礎ボルトの許容せん断応力: $f_{sb} = F/\sqrt{3}$

ここで、Fは日本機械学会 設計・建設規格 JSME S NC1-2005 付属図表 Part 5 表 8 及び表 9 より、設備運転温度 (常温) における Sy 値、Su 値を用い、下記式にて設定した。

F = min (Sy, 0.7Su)

Sy:表8より -30℃~40℃:245MPa

Su:表9より -30℃~40℃:400MPa

従って、F = min (Sy, 0.7Su) = min (245, 0.7×400) = 245 MPa

基礎ボルトの許容引張応力:

 $f = min(f_{to}, f_{ts}) = (183, 253) = 183 MPa (C_H=0.36 の場合)$

 $f = min(f_{to}, f_{ts}) = (183, 249) = 183 MPa (C_H=0.80 の場合)$

 $f_{to} = F/2*1.5 = 183$

 $f_{ts} = 1.4 \times fto -1.6 \times \tau_b$

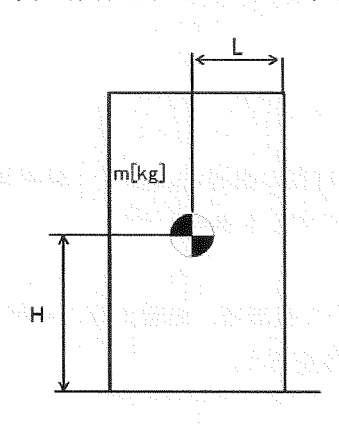
= 253 (C_H=0.36 の場合)

= 249 (C_H=0.80 の場合)

基礎ボルトの許容せん断応力 : $f_{sb}=F/\sqrt{3}$ = 141 MPa

b. 転倒評価

地震による転倒モーメントと自重による安定モーメントを算出し、それらを比較することにより転倒評価を実施した。評価の結果、地震による転倒モーメントは自重による安定モーメントより小さくなることから、転倒しないことを確認した。また、地震による転倒モーメント>自重による安定モーメントとなるものについては、a. での計算により基礎ボルトの強度が確保されることから転倒しないことを確認した(表1)。



C_H: 水平方向設計震度

耐震 B クラス相当: 0.36 耐震 S クラス相当: 0.80

m : 機器重量

g : 重力加速度(9.80665m/s²)

H: 据付面からの重心までの距離(

L: 転倒支点から機器重心までの距離(

地震による転倒モーメント: $M_1 = m \times g \times C_H \times H$

 $C_{H} = 0.36$ の場合 $M_1 = 8.30 \times 10^5 \text{N} \cdot \text{mm}$

C_H= 0.80 の場合 M₁ = 1.90×10⁶N·mm

自重による安定モーメント: $M_2 = m \times g \times L = 1.10 \times 10^6 \text{N·mm}$

表1:処理済水移送ポンプ耐震評価結果

機器名称	評価部位	評価項目	水平震度	算出値	許容値	単位
	本体	転倒	0.36	8.30×10^{5}	1.10×10^6	N·mm
処理済水移送ポンプ	基礎	引張	0. 36			MPa
	ボルト	せん断	0.36	2	141	MPa
	本体	転倒	0.80	1.90×10^6	1. 10×10^6	N•mm
	基礎	引張	0.80	3	183	MPa
	ボルト	せん断	0.80	5	141	MPa

※引張評価の算出値「一」については、引張応力が作用していない。

1.2.2 タンク類,吸着塔及び処理カラム(処理カラム)

(1) 構造強度評価

タンク類は、SUS316Lもしくは炭素鋼(ライニング付)とするが材料の調達において一般 産業品とするため、材料証明がなく、設計・建設規格の要求には必ずしも適合しない。し かしながら、以下により高い信頼性を確保した。

- ・工場にて溶接を行い高い品質を確保する。
- ・水張りによる溶接部の漏えい確認等を行う。

また、吸着塔及び処理カラムは、SUS316Lとするが材料の調達において一般産業品とする ため、材料証明がなく、設計・建設規格の要求には必ずしも適合しない。しかしながら、 以下を考慮することで、高い信頼性を確保した。

- ・公的規格に適合した一般産業品の SUS316L を用いて吸着塔, 処理カラムを製作する。
- ・溶接継手は、PT 検査、運転圧による漏えい確認等を行う。
- ・工場にて溶接を行い高い品質を確保する。

a. スカート支持たて置円筒形容器

スカート支持たて置円筒形容器については、設計・建設規格に準拠し、板厚評価を実施 した。評価の結果、水頭圧(開放型タンク)、最高使用圧力(密閉型タンク)に耐えられる ことを確認した(表 2)。

(密閉型の場合)

①胴板の必要肉厚

$$t = \frac{PD_i}{2S\eta - 1.2P}$$

=12.29mm

t: 胴の計算上必要な厚さ

Di: 胴の内径(1354mm)

P: 最高使用圧力 (1.37MPa)

S: 最高使用温度における材料の許容引張応力(109MPa)

η: 長手継手の効率 (0.7)

ただし、t の値は炭素鋼、低合金鋼の場合は t=3.00[mm]以上、その他の金属の場合は t=1.50[mm]以上とする。

②鏡板の必要肉厚

$$t = \frac{PRW}{2S \ \eta - 0.2P}$$

=13.09mm

t : 鏡の計算上必要な厚さ

P : 最高使用圧力(1.37MPa)

R: 鏡板の中央部における内面の半径(1350mm)

W: さら形鏡板の形状による係数(1.54)

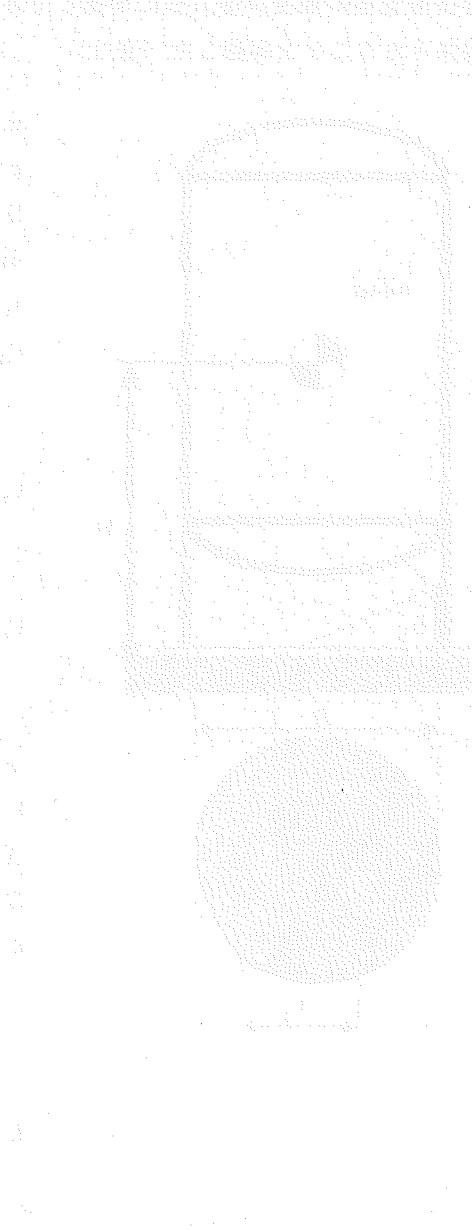
r : さら形鏡板のすみの丸みの内半径(135mm)

S: 最高使用温度における材料の許容引張応力(109MPa)

η: 継手の効率(1.0)

表2:処理カラム板厚評価結果

機器名称	評価部位	必要肉厚[mm]	実厚[mm]
加理カラム	胴板	12. 29	18, 70
	鏡板	13. 09	20. 70

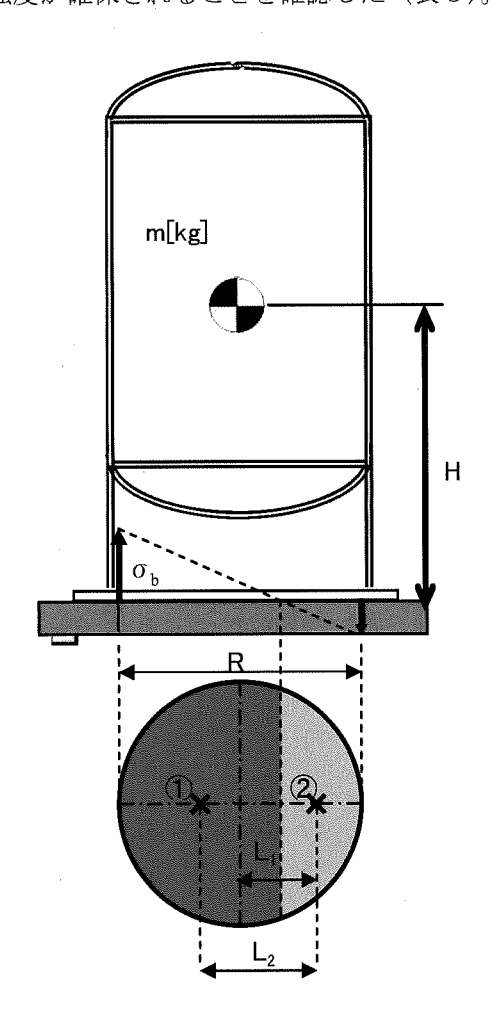


(2) 耐震性評価

a. スカート支持たて置円筒形容器

(a) 基礎ボルトの強度評価

耐震設計技術規程の強度評価方法に準拠して評価を実施した。評価の結果、基礎ボルト の強度が確保されることを確認した (表3)。



m :機器重量(

g : 重力加速度(9.80665m/s²)

H:据付面からの重心までの距離(

n : 基礎ボルトの本数 (4 本)

A_h:基礎ボルトの軸断面積(

C_H:水平方向設計震度

耐震 B クラス相当: 0.36

耐震Sクラス相当:0.80

C_v:鉛直方向設計震度

耐震Bクラス相当:0

耐震Sクラス相当:0

Ct: 中立軸の位置より求める係数

 $C_H = 0.36$ において: 2.245

 $C_H = 0.80$ において: 3.056

σ_b:基礎ボルトに作用する引張応力

F. : 基礎ボルトに作用する引張力

① : 基礎ボルトに作用する引張力の作用点

②:基礎部に作用する圧縮力の作用点

R : 基礎ボルトのピッチ円直径 (1258mm)

L. : 基礎ボルトのピッチ円中心から②までの距離

C_H = 0.36 において:

C_H = 0.80 において:

L。: ①から②までの距離

C_H = 0.36 において:

C_H = 0.80 において:

基礎ボルトに作用する引張力: $F_t = \frac{1}{L_2} \left(m \times g \times C_H \times H - m \times g \times (1 - C_V) \times L_1 \right)$

C_H= 0.36 の場合 F_t= 218 N

C_H= 0.80 の場合 F_t= 34303 N

基礎ボルトに作用する引張応力: $\sigma_{\rm b} = \frac{2\pi \times {\rm F_t}}{n \times {\rm A_b} \times C_t}$

 C_{H} = 0.36 の場合 σ_{b} = 1MPa

 C_{H} = 0.80 の場合 σ_{b} = 39MPa

基礎ボルトのせん断応力: $\tau_b = \frac{m \times g \times C_H}{n \times A_b}$

 $C_{H} = 0.36$ の場合 $\tau_{h} = 12MPa$

 C_{H} = 0.80 の場合 τ_{b} = 26MPa

また、許容応力は、以下の式で設定した。

基礎ボルトの許容引張応力 : $f = min(f_{to}, f_{ts})$

基礎ボルトの許容せん断応力: $f_{sb}=F/\sqrt{3}$

ここで、Fは日本機械学会 設計・建設規格 JSME S NC1-2005 付属図表 Part 5 表 8 及び表 9 より、設計温度 50 $^{\circ}$ にて設定した。

F = min (1.35Sy, 0.7Su, Sy(RT))

Sy:表8より 40℃:175MPa、75℃:154 MPa

 $Sy = 154 + (175 - 154) \times (75-50)/(75-40) = 169 \text{ MPa}$

Sy(RT): 表 8 より 室温:175MPa

Sy(RT) = 175MPa

Su:表9より 40℃:480MPa、75℃:452MPa

 $Su = 452 + (480 - 452) \times (75-50)/(75-40) = 472 \text{ MPa}$

従って、F = min (1.35Sy, 0.7Su, Sy(RT)) = min (228, 330,175) = 175 MPa

基礎ボルトの許容引張応力:

 $f = min(f_{to}, f_{ts}) = min(131, 164) = 131 MPa (C_H=0.36 の場合)$

 $f = min(f_{to}, f_{ts}) = min(131, 141) = 131 MPa (C_H=0.80 の場合)$

 $f_{to} = F/2*1.5 = 131$

 $f_{ts} = 1.4 \times fto - 1.6 \times \tau_b$

= 164 (C_H=0.36 の場合)

= 141 (C_H=0.80 の場合)

基礎ボルトの許容せん断応力 : $f_{sb}=F/\sqrt{3}=101$ MPa

(b) 胴板の強度評価

耐震設計技術規程の強度評価方法に準拠して、胴板の強度評価を実施した。 一次一般膜応力σοを下記の通り評価し、許容値を下回ることを確認した(表3)。

$$\sigma_0 = Max \{\sigma_{0t}, \sigma_{0c}\}$$
 C_H = 0.36 の場合 48 MPa C_H = 0.80 の場合 48 MPa

 σ_{xs} <0 となるため評価不要

$$\sigma_{0t}$$
:一次一般膜応力(引張側)

C_H=0.36 の場合 47.20 MPa

C_H=0.80 の場合 47.20 MPa

σ_{xt}:胴の軸方向応力の和(引張側)

C_H=0.36 の場合 24.96 MPa

C_H=0.80 の場合 26.10 MPa

σ_{xc}: 胴の軸方向応力の和(圧縮側)

C_H=0.36 の場合 -22.42 MPa

C_H=0.80 の場合 -21.29 MPa

τ : 地震により胴に生じるせん断応力

C_H=0.36 の場合 0.49 MPa

C_H=0.80 の場合 1.09 MPa

また、許容応力は、以下の式で設定した。

胴板一次一般膜応力の許容応力 : σ = MAX (Min(Sy, 0.6·Su), 1.2·S)

ここで、 σ は日本機械学会 設計・建設規格 JSME S NC1-2005 付属図表 Part 5 表 5、表 8 及び表 9 よ り、設計温度 60 Cにおける S 値、Sy 値及び Su 値を線形補間した値を用い、下記式にて設定した。

S:表5より 40℃:111MPa、75℃:108 MPa

 $S = 108 + (111 - 108) \times (75-60)/(75-40) = 109 \text{ MPa}$

Sy:表8より 40℃:175MPa、75℃:154 MPa

 $Sy = 154 + (175 - 154) \times (75-60)/(75-40) = 163 \text{ MPa}$

Su:表9より 40℃:480MPa、75℃:452MPa

 $Su = 452 + (480 - 452) \times (75-60)/(75-40) = 464 \text{ MPa}$

胴板一次一般膜応力の許容応力: σ = MAX (Min (Sy, 0.6·Su), 1.2·S) = MAX (Min (163, 278), 130) = 163 MPa

(c)スカートの強度評価

耐震設計技術規程の強度評価方法に準拠して、スカートの強度評価を実施した。 組合せ応力 σ 。を下記の通り評価し、許容値を下回ることを確認した(表 3)。

$$\sigma_s = \sqrt{\left(\sigma_1 + \sigma_2 + \sigma_3\right)^2 + 3 \cdot \tau^2}$$

C_H=0.36 の場合 4 MPa C_H=0.80 の場合 8 MPa σ₁:スカートの質量による軸方向応力

C_H=0.36 の場合 1.20 MPa

C_H=0.80 の場合 1.20 MPa

σ2:スカートの鉛直方向地震による軸方向応力

C_H=0.36 の場合 0 MPa

C_H=0.80 の場合 0 MPa

σ₃: スカートの曲げモーメントによる軸方向応力

C_H=0.36 の場合 2.29 MPa

C_H=0.80 の場合 5.07 MPa

τ:地震によるスカートに生じるせん断応力

C_H=0.36 の場合 0.865 MPa

C_H=0.80 の場合 1.93 MPa

また、許容応力は、以下の式で設定した。 スカート組合せ応力の許容応力 : σ = F

ここで、 σ は日本機械学会 設計・建設規格 JSME S NC1-2005 付属図表 Part 5 表 5 、表 8 及び表 9 より、設計温度 50 \mathbb{C} における Sy 値、Sy (RT) 値及び Su 値を線形補間した値を用い、下記式にて設定した。

 $F=min(1.35 \cdot Sy, 0.7 \cdot Su, Sy(RT))$

Sy:表8より 40℃:205MPa、75℃:183 MPa

 $Sy = 183 + (205 - 183) \times (75-50)/(75-40) = 198 \text{ MPa}$

Sy(RT):表8より 室温:205MPa

Sy(RT) = 205MPa

Su:表9より 40℃:520MPa、75℃:466MPa

 $Su = 466 + (520 - 466) \times (75-50)/(75-40) = 504 \text{ MPa}$

従って、F=min(1.35 · Sy, 0.7 · Su, Sy(RT)) = min (268, 353, 205) = 205 MPa

スカート組合せ応力の許容応力: σ_s = F = 205 MPa

また、座屈評価を下記の式により行い、スカートに座屈が発生しないことを確認した(表 5)。

 $\frac{\eta \cdot (\sigma_1 + \sigma_2)}{\sigma_1 + \sigma_2} + \frac{\eta \cdot \sigma_3}{f_b} \le 1$

CH=0.36 の場合 0.02

CH=0.80 の場合 0.03

 σ_1 :スカートの質量による軸方向応力

C_H=0.36 の場合 1.20 MPa

C_H=0.80 の場合 1.20 MPa

σ₂:スカートの鉛直方向地震による軸方向応力

C_H=0.36 の場合 0 MPa

C_H=0.80 の場合 0 MPa

σ₃:スカートの曲げモーメントによる軸方向応力

C_H=0.36 の場合 2.29 MPa

C_H=0.80 の場合 5.07 MPa

f。: 軸圧縮荷重に対する許容座屈応力 205 MPa

f_h:曲げモーメントに対する許容座屈応力 205 MPa

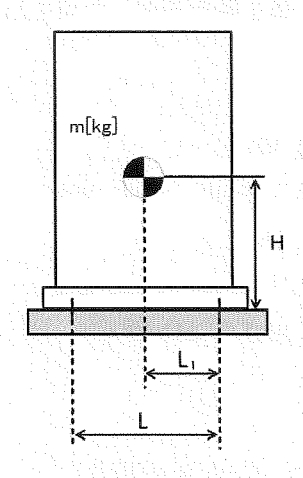
η:座屈応力に対する安全率 1

表3:処理カラム耐震評価結果

公 ・ た た ク ・ 一 一 加 水							
機器名称	評価部位	評価項目	水平震度	算出値	許容値	単位	
	胴板	一次一般膜	0.36	48	163	MPa	
	7 H. 1	組合せ	0.36	4	205	MPa	
	スカート	座屈	0.36	0.02	1	-	
	基礎	引張	0.36	1	131	MPa	
for which a second	ボルト	せん断	0.36	12	101	MPa	
処理カラム	胴板	一次一般膜	0.80	48	163	MPa	
	スカート	組合せ	0.80	8	205	MPa	
		座屈	0.80	0, 03	1	_	
	基礎	引張	0.80	39	131	MPa	
	ボルト	せん断	0.80	26	101	MPa	

- 1.2.3 スキッド (バッチ処理タンクスキッド)
- (1)耐震性評価
- a. 基礎ボルトの強度評価

耐震設計技術規程の強度評価方法に準拠して評価を実施した。評価の結果,基礎ボルトの強度が確保されることを確認した(表4)。



L :基礎ボルト間の水平方向距離(

m :機器重量(

g : 重力加速度(9.80665m/s²)

H:据付面からの重心までの距離(

L₁:重心と基礎ボルト間の水平方向距離(

n_f: 引張力の作用する基礎ボルトの評価本数(12本)

n : 基礎ボルトの本数(48 本)

A_b:基礎ボルトの軸断面積(

C_H:水平方向設計震度

耐震 B クラス相当: 0.36

耐震Sクラス相当:0.80

Cv:鉛直方向設計震度

耐震Bクラス相当:0

耐震Sクラス相当:0

基礎ボルトに作用する引張力:
$$F_b = \frac{1}{L} (m \times g \times C_H \times H - m \times g \times (1 - C_V) \times L_1)$$

C_H= 0.36 の場合 F_b= -43692 N

C_H= 0.80 の場合 F_b= 278068 N

基礎ボルトの引張応力: $\sigma_b = \frac{F_b}{n_f \times A_b}$

 C_{H} = 0.36 の場合 σ_b = -18.1 MPa < 0 よって、引張応力は発生しない。

 $C_{H}=0.80$ の場合 $\sigma_{h}=116MPa$

基礎ボルトのせん断応力: $\tau_b = \frac{m \times g \times C_H}{n \times A_b}$

 C_{H} = 0.36 の場合 τ_{h} = 23MPa

 C_{H} = 0.80 の場合 τ_{h} = 51MPa

また、許容応力は、以下の式で設定した。

基礎ボルトの許容引張応力 : $f = min(f_{to}, f_{ts})$

基礎ボルトの許容せん断応力: $f_{sb} = F/\sqrt{3}$

ここで、F は日本機械学会 設計・建設規格 JSME S NC1-2005 付属図表 Part 5 表 8 及び表 9 より、設計温度 50 Cにおける Sy 値、Su 値を線形補間した値を用い、下記式にて設定した。

F = min (Sy, 0.7Su)

Sy:表8より 40℃:245MPa、75℃:231 MPa

 $Sy = 231 + (245 - 231) \times (75-50)/(75-40) = 241 \text{ MPa}$

Su:表9より 40℃:400MPa、75℃:381MPa

 $Su = 381 + (400 - 381) \times (75-50)/(75-40) = 394 \text{ MPa}$

従って、F = min (Sy, 0.7Su) = min (241, 0.7×394) = 241 MPa

基礎ボルトの許容引張応力:

 $f = min(f_{to}, f_{ts}) = (180, 216) = 180 MPa (C_H=0.36 の場合)$

 $f = min(f_{to}, f_{ts}) = (180, 171) = 171 MPa (C_H=0.80 の場合)$

 $f_{to} = F/2*1.5 = 180$

 $f_{ts} = 1.4 \times fto - 1.6 \times \tau_b$

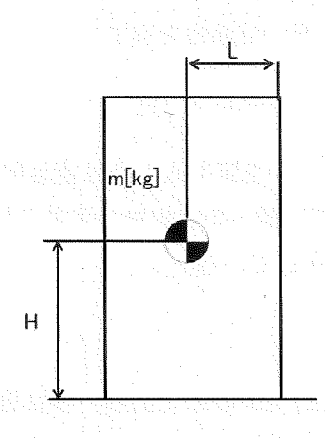
= 216 (C_H=0.36 の場合)

= 171 (C_H=0.80 の場合)

基礎ボルトの許容せん断応力 : $f_{sb} = F/\sqrt{3} = 139$ MPa

b. 転倒評価

地震による転倒モーメントと自重による安定モーメントを算出し、それらを比較することにより転倒評価を実施した。評価の結果、地震による転倒モーメントは自重による安定モーメントより小さく、転倒しないことを確認した。また、地震による転倒モーメント>自重による安定モーメントとなるものについては、a. での計算により基礎ボルトの強度が確保されることから転倒しないことを確認した(表 4)。



C_H:水平方向設計震度

耐震Bクラス相当: 0.36

耐震Sクラス相当: 0.80

m :機器重量(

g : 重力加速度(9.80665m/s²)

H:据付面からの重心までの距離

L:転倒支点から機器重心までの距離

地震による転倒モーメント: $M_1 = m \times g \times C_H \times H$

 C_{H} = 0.36 の場合 M_{1} = 9.27×10 8 N·mm

 $C_{H} = 0.80$ の場合 $M_1 = 2.06 \times 10^9 \text{N·mm}$

自重による安定モーメント: $M_2 = m \times g \times L = 1.08 \times 10^{9} \text{N·mm}$

表4:バッチ処理タンクスキッド耐震評価結果

機器名称	評価部位	評価項目	水平 震度	算出值	許容値	単位
	本体	転倒	0.36	9.27×10^8	1.08×10^9	N·mm
バッチ処理タンク スキッド	基礎	引張	0.36		-	MPa
	ボルト	せん断り	0.36	23	139	MΡa
	本体	転倒	0.80	2.06×10^9	1.08×10^9	N•mm
	基礎	引張	0.80	116	171	MPa
	ボルト	せん断	0.80	51	139	MPa

※引張評価の算出値「一」については、引張応力が作用していない。

1.2.4 高性能容器

(1) 構造強度評価

高性能容器本体は、ポリエチレン製の容器であり設計・建設規格の要求に適合するものではない。しかしながら、高性能容器は、米国において低レベル放射性廃棄物の最終処分に使用されている容器であり、米国 NRC (Nuclear Regulatory Commission、原子力規制委員会)から権限を委譲されたサウスカロライナ州健康環境局 (S. C. Department of Health and Environmental Control)の認可を得ており、高い信頼性を有している。

a. 収容物重量に対する評価

高性能容器の収容物重量は容積から決定しており、当該型式の高性能容器の設計重量は 約4.5tである。多核種除去設備で使用する高性能容器への収容物の重量は最大で3.5tと することから、収容物重量に対して十分な強度を有している。

b. 圧力に対する評価

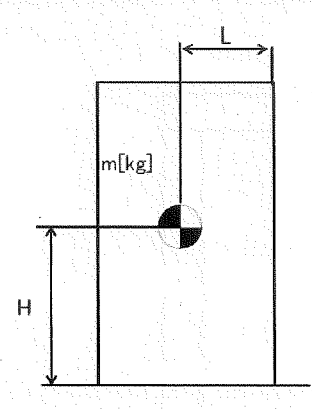
当該型式の高性能容器の外圧に対する設計圧力は,25 kPa である。多核種除去設備で用いる高性能容器の外圧は屋外設置のため大気圧程度であることから,設計圧力を満足している。

一方,内圧に対しては、サウスカロライナ州健康環境局の認可に当たり、50 kPa で試験を行い、容器に歪みがないことを確認している。高性能容器は、ベント機能を設けていることから、多核種除去設備で使用する際の内圧は、大気圧程度となり、試験圧力を満足している。

(2)耐震性評価

a. 転倒評価

地震による転倒モーメントと自重による安定モーメントを算出し、それらを比較することにより転倒評価を行った。評価の結果、地震による転倒モーメントは自重による安定モーメントより小さく、転倒しないことを確認した(表 5)。



C_H: 水平方向設計震度

耐震 B クラス相当: 0.36

耐震Sクラス相当:0.80

m:機器重量:

g: 重力加速度(9.80665m/s²)

H:据付面からの重心までの距離:

L:転倒支点から機器重心までの距離:

地震による転倒モーメント: $M_1 = m \times g \times C_H \times H$

 $C_{H}=0.36$ の場合 $M_{1}=2.04\times10^{7} \text{N}\cdot\text{mm}$

 $C_{H}=0.80$ の場合 $M_{1}=4.52\times10^{7} \text{N}\cdot\text{mm}$

自重による安定モーメント: $M_2 = m \times g \times L$

 $M_2 = 4.56 \times 10^7 \text{N} \cdot \text{mm}$

表 5 高性能容器評価結果

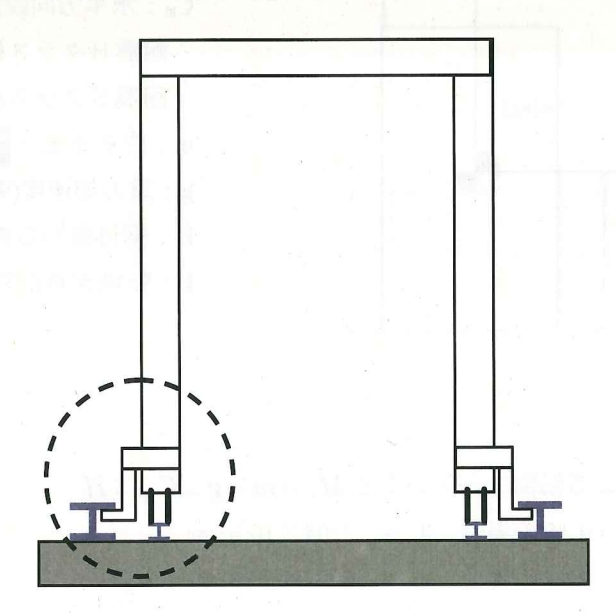
機器名称	評価部位	評価項目	水平震度	算出値	許容値	単位
高性能容器	*/*	転倒	0.36	2.04×10^7	4.56×10^{7}	N•mm
(補強体付き)	本体		0.80	4.52×10^7	4.00 10	1N - MM

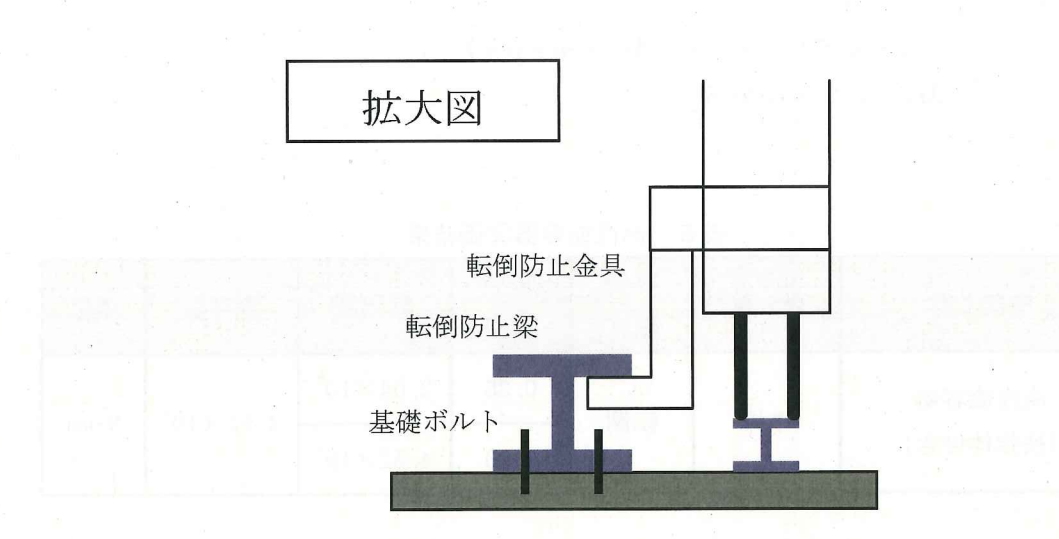
1.2.5 クレーン類 (処理カラム交換用クレーン)

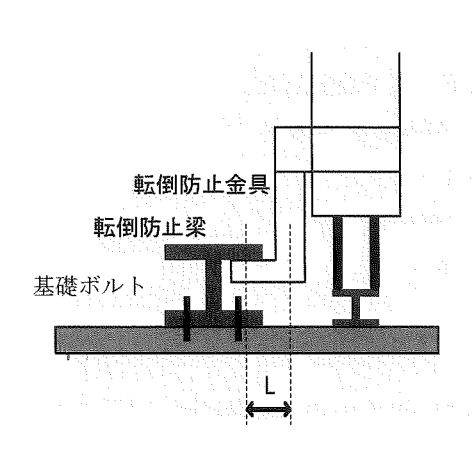
(1)耐震性評価

a. 基礎ボルト等の強度評価

耐震設計技術規程並びに「クレーン構造規格」(平成7年労働省告示第 134 号)の強度評価方法に準拠して評価を実施した。評価の結果,基礎ボルト・転倒防止金具・転倒防止梁の強度が確保されることを確認した(表6)。







L:転倒防止金具の中心軸と転倒防止梁 接触点までの距離(140mm)

g : 重力加速度(9.80665m/s²)

 Z_1 : 転倒防止金具の形状係数(7.90× 10^4 mm³)

Z₂: 転倒防止梁の形状係数 (8.60×10⁵mm³)

d:ボルトの断面積(149.50mm²)

1:転倒防止梁のアンカー固定ピッチ (2000mm)

C_H:水平方向設計震度

耐震Bクラス相当:0.36

耐震 S クラス相当: 0.80

Cv:鉛直方向設計震度

耐震Bクラス相当:0

耐震Sクラス相当:0

「b. 転倒評価」にて、地震による転倒モーメント>自重による安定モーメントとなる場合について、評価を行う。

転倒防止金具に作用する浮き上がり荷重をFとして、

F=(地震による転倒モーメントー自重による安定モーメント)/(クレーン両脚の距離)

= (22400-22500)/4.9 = -20 kg (Bクラス評価の場合) ←浮き上がり荷重は発生しない

= (49600-22500)/4.9 = 5600 kg (Sクラス評価の場合)

転倒防止金具は片側に4個設置しているが、うち3個が転倒時に有効に作用するものとする。また、転倒防止梁の基礎ボルトは1箇所あたり4本で固定されている。

転倒防止金具にかかる応力 : $\sigma_1 = \frac{F \times g \times L}{3 \times Z_1}$

C_H=0.36 の場合 応力が発生しない

 C_{H} = 0.80 の場合 σ_{1} = 32.5 N/mm²

基礎ボルトに作用する引張力: $F_b = \frac{F}{3 \times 4}$

C_H= 0.36 の場合 引張力が発生しない

C_H= 0.80 の場合 F_b= 467 kg

転倒防止用梁にかかる応力: $\sigma_2 = \frac{F \times g \times l}{3 \times 4 \times Z_2}$

C_H= 0.36 の場合 応力が発生しない

C_{H} = 0.80 の場合 σ_2 = 10.7 N/mm²

また、許容応力はクレーン構造規格に基づき以下の式で設定した。

許容引張応力: σ_{ta} = min (降伏点応力/1.5 , 引張強さ/1.8)

= min (2400/1.5, 4100/1.8)

= min (1600 , 2278) = 1600 kg/cm^2

基礎ボルトの許容引張力: $F_{Ba} = \sigma_{ta} \times d \times 0.6$

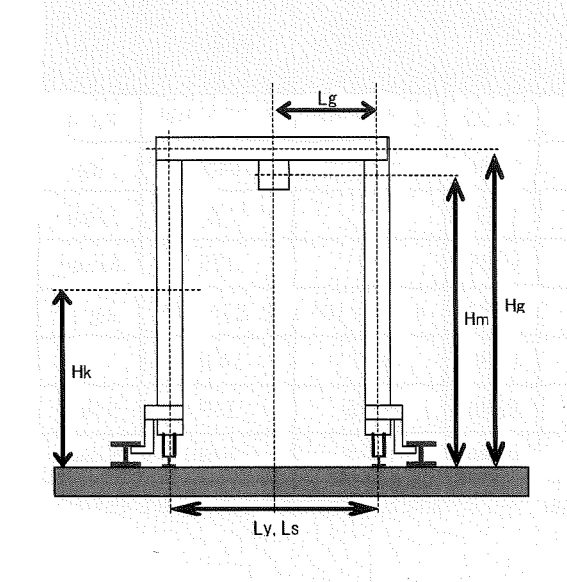
=1435 kg

許容圧縮応力: $\sigma_{\rm ca} = \sigma_{\rm ta}/1.15 = 1391~{\rm kg/cm^2}$

転倒防止金具,転倒防止梁の許容曲げ応力: $\sigma_{\rm bac}$ =1. 30× $\sigma_{\rm ca}$ = 1800 kg/cm² = 175 N/mm²

b. 転倒評価

地震による転倒モーメントと自重による安定モーメントを算出し、それらを比較することにより転倒評価を実施した。評価の結果、地震による転倒モーメントが自重による安定モーメントより小さくなるものについては、転倒しないことを確認した。また、地震による転倒モーメントが自重による安定モーメントより大きくなるものについては、a. での計算により基礎ボルト・転倒防止金具・転倒防止梁の強度が確保されることから転倒しないことを確認した(表 6)。



C_H:水平方向設計震度

耐震 B クラス相当: 0.36

耐震Sクラス相当:0.80

m :機器重量

mg: ガータ重量(

m_k: 脚重量

m_m: 巻上機重量

my: 摇脚重量

m_s: サドル重量

g : 重力加速度(9.80665m/s²)

H:据付面からの重心までの距離

Hg:ガータ重心高さ

H_k:脚重心高さ

H_m:巻上機重心高さ

L:転倒支点から機器重心までの距離

Lg:ガータ重心距離

L_v:摇脚重心距離

L_s:サドル重心距離

地震による転倒モーメント: $M_1=m \times C_H \times H$ $M_{1g}=m_g \times H_g \times C_H$ $M_{1k}=m_k \times H_k \times C_H$ $M_{1m}=m_m \times H_m \times C_H$

C_H= 0.36 の場合 M₁ =2.24×10⁴kg·m C_H= 0.80 の場合 M₁ =4.96×10⁴kg·m

 $M_1 = M_{1g} + M_{1k} + M_{1m}$

自重による安定モーメント: $M_2=m \times L$ $M_{2g}=m_g \times L_g$ $M_{2y}=m_y \times L_y$ $M_{2y}=m_s \times L_s$ $M_2=M_{2g}+M_{2g}+M_{2g}=2.25 \times 10^4 {\rm kg} \cdot {\rm m}$

表6:クレーン類耐震評価結果

機器名称	評価部位	評価項目	水平 震度	算出値	許容値	単位
	本体	転倒	0.36	2.24×10^4	2.25×10^4	kg•m
	基礎ボルト	引張	0.36	-	1435	kg
1	転倒防止金具	変形	0. 36	-	175	$ m N/mm^2$
処理カラム	転倒防止梁	変形	0.36	_	175	N/mm^2
交換用クレーン	本体	転倒	0.80	4.96×10^4	2.25×10^4	kg•m
	基礎ボルト	引張	0.80	467	1435	kg
	転倒防止金具	変形	0.80	32.5	175	N/mm^2
	転倒防止梁	変形	0.80	10.7	175	N/mm^2

※ 算出値「一」については、引張荷重・応力が作用していない。

1.2.6 配管

(1) 構造強度評価

a. 配管(鋼管)

配管(鋼管)はステンレスまたは炭素鋼の一般産業品とするため、設計・建設規格の要求には必ずしも適合しない。しかしながら、以下により高い信頼性を確保する。

- ・公的規格に適合した配管(鋼管)を選定する。
- ・溶接継手は、運転圧による漏えい確認もしくは代替検査を行う。
- ・可能な限り工場にて溶接を行い、現地での溶接作業を少なくする。

また,配管(鋼管)には保温材を取り付け凍結防止対策を施す。

b. 配管 (ポリエチレン管)

配管 (ポリエチレン管) は鋼材ではなく、一般産業品であるため、設計・建設規格の要求に適合するものではない。しかしながら、配管 (ポリエチレン管) は、一般に耐食性、電気特性 (耐電気腐食)、耐薬品性を有しており、鋼管と同等の信頼性を有している。また、以下により高い信頼性を確保する。

- ・日本水道協会規格に適合したポリエチレン管を採用する。
- ・継手は、可能な限り融着構造とする。

また、配管(ポリエチレン管)には保温材を取り付け凍結防止対策を施す。なお、本対策は、配管(ポリエチレン管)の紫外線劣化対策を兼ねる。

c. 配管 (耐圧ホース)

配管(耐圧ホース)は鋼材ではなく、一般産業品であるため、設計・建設規格の要求に 適合するものではない。しかしながら、以下により高い信頼性を確保する。

- ・耐圧ホースで発生した過去の不適合のうち、チガヤによる耐圧ホースの貫通に関して はチガヤが生息する箇所においては鉄板敷き等の対策を施す。
- ・継手金属と樹脂の結合部(カシメ部)の外れ防止対策として、結合部に外れ防止金具 を装着する。
- ・通水等による漏えい確認を行う。

また、配管(耐圧ホース)には保温材を取り付け凍結防止対策を施す。

(2)耐震性評価

a. 配管 (鋼管)

配管(鋼管)は、原子力発電所の耐震設計に用いられている定ピッチスパン法等により サポートスパンを確保する。

b. 配管 (ポリエチレン管)

配管(ポリエチレン管)は、可撓性を有しており地震により有意な応力は発生しない。

c. 配管 (耐圧ホース)

配管(耐圧ホース)は、可撓性を有しており地震により有意な応力は発生しない。

以上